

Universidade de Lisboa  
Faculdade de Medicina Dentária



**Estimativa da Idade pela Proporção da Área Polpa/Dente em  
Tomografia Computorizada de Feixe Cónico (CBCT):  
Aplicação Médico-Legal**

**Adriana Costa Pires**

Dissertação

Mestrado Integrado em Medicina Dentária

2019

Universidade de Lisboa  
Faculdade de Medicina Dentária



**Estimativa da Idade pela Proporção da Área Polpa/Dente em  
Tomografia Computorizada de Feixe Cónico (CBCT):  
Aplicação Médico-Legal**

**Adriana Costa Pires**

Orientadores:

Professora Doutora Cristiana Palmela Pereira

Professor Doutor Rui Santos

Dissertação

Mestrado Integrado em Medicina Dentária

2019



## AGRADECIMENTOS

À minha Orientadora, Professora Doutora Cristiana Palmela Pereira, por todo o apoio incansável prestado ao longo deste projeto. Foi uma longa caminhada, envolta num trabalho árduo de ambas as partes. Muito obrigada por me ter guiado da melhor forma possível na realização desta dissertação. Agradeço-lhe profundamente, não só pelo profissionalismo e empenho na parte académica, como por todo o carinho constante no decorrer desta época.

Ao meu Coorientador, professor Doutor Rui Santos, pela constante ajuda e empenho na parte na Análise Estatística.

Ao Professor Doutor António Ginjeira, Diretor Clínico da clínica dentária “Oralmente”, por ter disponibilizado a sua clínica para a recolha dos exames complementares de diagnóstico necessários para a realização desta dissertação.

Ao Rafael Dias, o melhor ombro amigo masculino nestes anos, por toda a amizade e, em especial, por todas as dúvidas mínimas de estatística que foram esclarecidas ao longo deste trabalho.

À Mariana Rebelo, a primeira amiga que a faculdade me deu e a que trabalhou mais arduamente a meu lado nesta fase importante da nossa vida. Nunca pensei que um ser humano pudesse pensar de uma forma tão semelhante à minha e partilhar os mesmos gostos. Muito obrigada por todos os dias de trabalho intenso, que se tornaram mais agradáveis a teu lado.

À minha dupla 18, Ana Rita Frade, por todas as gargalhadas soltas e lágrimas caídas, no meio de *stress* e de trabalhos de grupo. Estes dois anos de clínica fizeram-me crescer de uma maneira que nunca pensei que fosse possível, e contigo a meu lado tudo foi mais fácil.

Aos melhores amigos que poderia ter feito ao longo destes 5 anos. À Catarina Lopes, por todos os desabafos e conversas profundas. À Beatriz Fernandes, por ser a minha outra metade boémia e me acompanhar na vida académica. À Inês, uma surpresa tão agradável que não quero largar, nem que seja para me rir do seu desastre em pessoa. Ao Nuno, um grande líder de equipa e um grande amigo. Resumindo, a todos os “Mafiosos” que me trouxeram muita alegria nos dias cinzentos e coloridos. Que possamos levar isto para a vida.

À direção da Associação Académica de Medicina Dentária de Lisboa, um projeto que abracei durante 2 anos e que levo, para sempre, num cantinho do coração. Um obrigada muito especial à D. Fátima, por todas as longas conversas e conselhos de amiga.



À família que escolhi tarde, mas nunca tarde de mais: a Tuna Académica Dentária de Lisboa. A tuna que me acolheu há 2 anos e que me proporcionou tanta coisa boa. Muita música, muitos calos nos dedos, muitas dores de garganta, muita cerveja, muito amor. Obrigada, TADeLindas.

Ao Fábio, que chegou a meio do percurso académico, mas na altura certa. O rapaz que permaneceu a meu lado perante todas as adversidades, que me ensinou a respirar com calma nas alturas difíceis, que me ouviu em monólogos infindáveis, que me limpou as lágrimas e que, mesmo com tudo isso, me arrancou os melhores e mais genuínos sorrisos. Obrigada por toda a paciência para as minhas crises existenciais e por seres quem és.

E por último, mas sempre em primeiro lugar, um enorme obrigada aos meus pais. É injusto tentar agradecer numas frases quando nenhum testamento será alguma vez suficiente para lhes agradecer por tudo. A eles devo tudo o que sou e tudo o que cresci nestes 5 anos. Obrigada a Eles. Eles, que suportaram os meus estudos académicos, não só em termos monetários, mas em apoio moral. Eles, que apesar de 300 quilómetros de diferença e 3 horas de viagem, estiveram sempre a uma chamada de distância. Eles, que todos os dias me motivavam para dias de estudo, através de mensagens. Eles, que ficaram com a casa mais vazia quando iniciei este percurso, mas que a saudade só aumentou o Amor. Obrigada.

## RESUMO

**Introdução:** A Medicina Dentária Forense é um ramo importante da Medicina Dentária. Um dos seus objetivos é a identificação de indivíduos vivos e/ou mortos, com base nas características individuais presentes nos seus dentes. Diversos autores, entre os quais Kvaal, desenvolveram métodos de estimativa de idade com base na deposição de dentina secundária. Atualmente, exames imagiológicos tridimensionais como CBCT são utilizados na estimativa de idade.

**Objetivo:** O objetivo desta investigação consistiu em validar o método de Kvaal e respetivas variáveis explicativas, na estimativa de idade cronológica. Criou-se ainda uma fórmula de regressão linear para um cálculo de estimativa de idade mais ajustado à amostra estudada.

**Materiais e Métodos:** Foram selecionados 158 CBCT, com um total de 402 dentes íntegros (incisivos centrais, laterais e caninos). Realizaram-se as medições e rácios necessários em ambos os cortes, no programa informático *XelisDental*®. Foram aplicadas as fórmulas desenvolvidas por Kvaal para o cálculo da estimativa de idade. Posteriormente, os resultados foram analisados estatisticamente.

**Resultados e Discussão:** Os coeficientes de correlação intraclassa variaram entre 0,918 e 0,997. A estimativa de idade calculada apresentou um erro médio de -21,3554 (coronal) e -26,2814 (sagital). O teste *t* revelou diferenças estatisticamente significativas entre a idade cronológica e a idade estimada. A correlação de Pearson entre a idade e as duas variáveis de Kvaal variou, em termos absolutos, entre 0,061 e 0,382 e entre 0,058 e 0,554. Os coeficientes de determinação obtidos são claramente inferiores aos do estudo original (entre 0,031 e 0,394). Na fórmula de regressão linear criada, os coeficientes de determinação variaram entre 0,073 e 0,412.

**Conclusão:** Este estudo permite concluir a não reprodutibilidade do método de Kvaal na população portuguesa, havendo diferenças estatisticamente significativas entre a idade cronológica e a idade dentária dos indivíduos, estimada pelo método de proporção polpa/dente, com base em quaisquer dentes analisados neste estudo.

**PALAVRAS-CHAVE:** Medicina Dentária Forense; Estimativa de Idade; CBCT; Proporção Polpa/Dente; Método de Kvaal.

## ABSTRACT

**Introduction:** Forensic dentistry is an important field in Dentistry. One of its goals is the identification of living and/or deceased individuals, based on the individual features present in their teeth. Several authors, including Kvaal, have developed age estimation methods based on secondary dentin deposition. Nowadays, three-dimensional imaging tests, such as CBCT, are used in age estimation.

**Objective:** The aim of this research project was to validate the Kvaal's method and its variables, in the age estimation. A linear regression formula was also created for an age estimate calculation that best fits the studied sample.

**Materials and Methods:** We selected 158 CBCT, with a total of 402 safe teeth (central incisors, lateral incisors and canines). The necessary measurements and ratios were calculated in both sections, with *XelisDental*<sup>®</sup>. The formulas developed by Kvaal for the age estimate calculation were applied. Subsequently, the results were statistically analyzed.

**Results and Discussion:** The Intraclass correlation coefficients ranged from 0,918 to 0,997. The calculated age estimation had a mean error of -21,3554 (coronal section) and -26,2814 (sagittal section). The *t* test revealed statistically significant differences between chronological age and estimated age. The absolute values of Pearson's correlation between age and the two Kvaal's variables ranged from 0,061 to 0,382 and from 0,058 to 0,554. The determination coefficients are quite lower than in the original study (between 0,031 and 0,394). In the linear regression formula, the determination coefficients ranged from 0,073 to 0,412.

**Conclusion:** This investigation allows us to conclude the non-reproducibility of the Kvaal method in the Portuguese population, with statistically significant differences between the chronological age and the dental age, estimated by the pulp/tooth proportion method, based on any teeth analyzed in this study.

**KEYWORDS:** Forensic dentistry; Age estimation; CBCT; Pulp/Tooth Proportion; Kvaal's method.

## ÍNDICE

AGRADECIMENTOS .....	iii
RESUMO .....	v
ABSTRACT .....	vi
ÍNDICE .....	vii
ÍNDICE DE TABELAS .....	x
ÍNDICE DE FIGURAS .....	xi
LISTA DE ABREVIATURAS E SIGLAS .....	xii
1. INTRODUÇÃO.....	1
1.1 Considerações finais .....	2
2. OBJETIVOS.....	3
2.1 Objetivos principais .....	3
2.2 Objetivos secundários.....	4
2.3 Objetivo final .....	4
3. MATERIAIS E MÉTODOS.....	5
3.1 Delineamento experimental .....	5
3.2 Amostra populacional.....	5
3.2.1 Parâmetros identificativos .....	5
3.2.2 Parâmetros dentários específicos .....	5
3.3 Metodologia de recolha de dados .....	6
3.4 Metodologia de validação de dados.....	7
3.4.1 Concordância intra-observador .....	8
3.5 Análise estatística de dados .....	8
4. RESULTADOS .....	10
4.1 Análise descritiva .....	10
4.2 Análise estatística .....	11

4.2.1 Concordância intra-observador .....	11
4.2.2 Estimativa de idade, pela fórmula de Kvaal.....	12
4.2.2.1 Teste estatístico de amostras emparelhadas .....	13
4.2.3 Correlação de Pearson.....	15
4.2.4 Avaliação dos coeficientes da regressão linear de Kvaal.....	16
4.2.5 Regressão linear .....	17
5. DISCUSSÃO.....	19
5.1 Integridade da metodologia experimental .....	19
5.2 Análise descritiva .....	20
5.3 Concordância intra-observador.....	20
5.4 Estimativa de idade, pela fórmula de Kvaal .....	20
5.4.1 Teste estatístico de amostras emparelhadas .....	21
5.5 Correlação de Pearson .....	23
5.6 Avaliação dos coeficientes de regressão linear de Kvaal .....	24
5.7 Regressão linear.....	25
6. CONCLUSÕES.....	28
6.1 Conclusões relativas aos objetivos principais .....	28
6.2 Conclusões relativas aos objetivos secundários .....	28
6.3 Regressão Linear .....	28
6.4 Conclusões gerais .....	28
REFERÊNCIAS BIBLIOGRÁFICAS .....	29
ANEXOS.....	33
Anexo 1 – Cartas de pedido de autorização .....	33
I – Carta para o Diretor Clínico da Clínica Médica Dentária “Oralmente” .....	34
II – Carta para o Diretor Clínico da FMDUL.....	35
III – Carta para a Comissão de Ética para a Saúde da FMDUL.....	36
Anexo 2 – Parecer da Comissão de Ética para a Saúde da FMDUL.....	37

Anexo 3 – Critérios de inclusão e exclusão.....	38
Anexo 4 – Aplicação do método de <i>Kvaal</i> no <i>XelisDental</i> <sup>®</sup> .....	39
Anexo 5 – Editor de SPSS .....	40
Anexo 6 – Análise descritiva.....	68
I – Análise descritiva por pessoa.....	69
II – Análise descritiva por dente .....	70
Anexo 7 – Análise estatística.....	71
I – Concordância intra-observador .....	72
II – Estimativa de idade, pela fórmula de Kvaal .....	82
III – Teste estatístico de amostras emparelhadas .....	87
IV – Correlação de Pearson.....	93
V – Avaliação dos coeficientes da regressão linear de Kvaal.....	100
Corte coronal, idade em meses.....	100
Corte coronal, idade em anos .....	110
Corte sagital, idade em anos.....	119
VI – Regressão linear .....	127
Variáveis, corte coronal.....	127
Variáveis, corte sagital .....	145

## ÍNDICE DE TABELAS

<b>Tabela 1</b> - Fórmulas de regressão de Kvaal para cálculo da estimativa de idade. G=Género (0 feminino, 1 masculino).....	7
<b>Tabela 2</b> - CCI obtidos na validação intra-observador.....	11
<b>Tabela 3</b> - Erros de Estimativa obtidos .....	12
<b>Tabela 4</b> - Erros de estimativa absoluto, para os diferentes grupos (G0, G1 e G2) de qualidade de imagem .....	13
<b>Tabela 5</b> - Correlações de Pearson, relacionando a idade cronológica com as variável M e Dif. ....	16
<b>Tabela 6</b> - Avaliação das variáveis de Kvaal, para todos os grupos de dentes, no corte coronal, em meses .....	17
<b>Tabela 7</b> - Avaliação das variáveis de Kvaal para os dentes selecionados, em ambos os cortes, em anos.....	17
<b>Tabela 8</b> - Variáveis explicativas do melhor modelo, com valores do p-value do teste F, $R^2$ e SEE.....	18
<b>Tabela 9</b> - Fórmulas de regressão linear criadas, com base nos melhores modelos.....	18
<b>Tabela 10</b> - Coeficientes de Pearson deste estudo e de estudo original. *valor significativo, com p-value<0,05.....	23
<b>Tabela 11</b> - Coeficientes de Pearson (mínimo e máximo, em termos absolutos) descritos na literatura .....	24
<b>Tabela 12</b> - Tabela comparativa entre Kvaal et al. (11), as variáveis de Kvaal neste estudo e as novas variáveis .....	27

## ÍNDICE DE FIGURAS

<b>Figura 1</b> - Distribuição de dentes, por género .....	10
<b>Figura 2</b> - Distribuição dos pares de dentes, diferenciando o género .....	10
<b>Figura 3</b> - Gráfico de dispersão, relacionando a estimativa de idade (coronal) com a idade cronológica em anos.....	13
<b>Figura 4</b> - Gráfico das correlações de Pearson, com o respetivo p-value. Par 1: estimativa de idade (coronal) e idade em anos; Par 2: estimativa da idade (sagital) e idade em anos; Par 3: estimativa de idade (coronal) e estimativa de idade (sagital).....	14
<b>Figura 5</b> - Teste de amostras emparelhadas (IC de 95%), com N e o respetivo p-value .....	15
<b>Figura 6</b> - Gráfico de dispersão, relacionando a Estimativa de idade (Coronal) com a Estimativa de idade (Sagital).....	15



## **LISTA DE ABREVIATURAS E SIGLAS**

AEE – Erro de Estimativa Absoluto

Aind – Rácio  $A = A_p/A_t$

$A_p$  – Largura da polpa ao nível da JAC

$A_t$  – Largura do dente ao nível da JAC

Bind – Rácio  $B = B_p/B_t$

$B_p$  – Largura da polpa na distância média entre a Jac e o nível C

$B_t$  – Largura do dente na distância média entre a Jac e o nível C

C – Coronal

Cind – Rácio  $C = C_p/C_t$

$C_p$  – Largura da polpa entre a JAC e o ápex da raíz

$C_t$  – Largura do dente entre a JAC e o ápex da raíz

CBCT – Tomografia Computorizada de Feixe Cónico

CCI – Coeficiente de Correlação Intraclasse

Dif – Diferença entre W e L

EE – Erro de Estimativa

FMDUL – Faculdade de Medicina Dentária da Universidade de Lisboa

G – Género (0 feminino, 1 masculino)

G0 – Grupo 0 – má qualidade de imagem dos CBCT devido a curvatura da raíz

G1 – Grupo 1 - má qualidade de imagem dos CBCT devido a má definição da imagem

G2 – Grupo 2 - boa qualidade de imagem dos CBCT

IC – Intervalo de Confiança

L – Média de RP e RR

M – Média de RP, RR, Aind, Bind e Cind

mm – Milímetros

MD – Medicina Dentária

MDF – Medicina Dentária Forense

N – Frequência Absoluta

ODS – Objetivos de Desenvolvimento Sustentável

ONU – Organização das Nações Unidas

P – Comprimento máximo da polpa

R – Comprimento máximo da raiz

$R^2$  – Coeficiente de Determinação

RP – Rácio  $P = P/R$

RR – Rácio  $R = P/T$

RT – Rácio  $T = T/R$

S – Sagital

SEE – Standard Error of the Estimate (Desvio Padrão do Erro de Estimativa)

SPSS – Statistical Package for the Social Sciences

T – Comprimento máximo do dente

W – Média de Bind e Cind



## 1. INTRODUÇÃO

A Medicina Dentária Forense (MDF) é um ramo da Medicina Dentária (MD) que lida com o exame de evidências dentárias para posterior avaliação e apresentação dos resultados à Justiça. Uma das suas maiores vertentes passa pela estimativa de idade de indivíduos, sendo os dados obtidos utilizados tanto em casos relacionados com indivíduos vivos, como com indivíduos mortos. (1)

Um dos objetivos principais da MDF é a identificação de restos humanos, com base nas características individuais presentes nos dentes de diferentes indivíduos. (2) Os tecidos dentários contêm o tecido mais duro do corpo humano, o esmalte, pelo que apresentam uma elevada resistência às alterações *post mortem* causadas por condições ambientais, como humidade, altas temperaturas, atividade microbiana e forças mecânicas exercidas após a morte, o que os torna ferramentas essenciais na estimativa de idade. (3,4)

No entanto, e uma vez que a estimativa de idade não se limita apenas a identificações *post mortem*, pode também ser utilizada em contexto da investigação criminal, como agressões físicas, ou em casos relacionados com imigração ilegal – devido ao aumento gradual de pessoas desprovidas de documentação de identificação aquando a entrada em países europeus. (5,6)

Em 2015, a Organização das Nações Unidas (ONU) estabeleceu os 17 Objetivos de Desenvolvimento Sustentável (ODS), que prezam a criação de um modelo global que combata a pobreza e forneça o bem-estar e proteção do ser humano e do planeta. É sobre o 16.º objetivo, relacionado com o estabelecimento da Paz, Justiça e Instituições Eficazes, que a MDF exerce uma importante função. (7) Através da utilização de características morfológicas e físicas dos tecidos moles e duros da cavidade oral, é possível estabelecer uma estimativa de idade em grupos de refugiados e asilados. Assim, as leis n.º 27/2008 (atualizada para lei n.º 26/2014) e n.º 147/99 (atualmente n.º 26/2018), referentes à “Concessão de Asilo ou Proteção Subsidiária” e à “Proteção de Crianças e Jovens em Perigo”, respetivamente, são tidas em conta na função da MDF sobre o 16.º objetivo da ONU. (8–10)

Por forma a estimar a idade de adultos, diversos autores criaram métodos de estimativa de idade tendo em conta a deposição de dentina secundária (e consequente redução do tamanho pulpar), como Kvaal *et al.* e Cameriere *et al.* (11,12) Kvaal *et al.* desenvolveu um método de estimativa de idade dependente do género em adultos numa população norueguesa, onde avaliou a proporção polpa/dente em radiografias periapicais, concluindo não existir diferenças entre o lado direito e o lado esquerdo da arcada.

Diversos autores aplicaram com sucesso este método (13,14), enquanto outros o refutaram, defendendo a existência de diferenças entre grupos étnicos na deposição de dentina secundária. (15–18)

Atualmente, existem exames complementares de diagnóstico que possibilitam a visualização de tecidos orais em três dimensões, como é o caso da Tomografia Computorizada de Feixe Cônico (CBCT). Alguns autores têm utilizado CBCT nos seus estudos com o intuito de perceber se este exame tridimensional possibilita uma estimativa de idade mais fidedigna que as radiografias bidimensionais. Vários são os métodos de estimativa avaliados (19–22), entre eles o método de Kvaal. (23,24)

### **1.1 Considerações finais**

Desta forma, o objetivo desta investigação consistiu em validar o método da proporção polpa/dente, recorrendo a CBCT, a fim de se poder estimar a idade cronológica, no âmbito médico-legal.

## **2. OBJETIVOS**

### **2.1 Objetivos principais**

Os objetivos principais desta investigação consistiram em estimar a idade cronológica de uma população portuguesa pela idade dentária, no âmbito da identificação médico-legal da idade, utilizando o método de proporção polpa/dente nos dentes incisivos centrais, incisivos laterais e caninos permanentes, através de CBCT. Assim, formularam-se as seguintes hipóteses experimentais:

#### **2.1.1**

H0: Não há diferenças estatisticamente significativas entre a idade cronológica e a idade dentária dos indivíduos, estimada pelo método de proporção polpa/dente, com base nos incisivos centrais permanentes.

H1: Há diferenças estatisticamente significativas entre a idade cronológica e a idade dentária dos indivíduos, estimada pelo método de proporção polpa/dente, com base nos incisivos centrais permanentes.

#### **2.1.2**

H0: Não há diferenças estatisticamente significativas entre a idade cronológica e a idade dentária dos indivíduos, estimada pelo método de proporção polpa/dente, com base nos incisivos laterais permanentes.

H1: Há diferenças estatisticamente significativas entre a idade cronológica e a idade dentária dos indivíduos, estimada pelo método de proporção polpa/dente, com base nos incisivos laterais permanentes.

#### **2.1.3**

H0: Não há diferenças estatisticamente significativas entre a idade cronológica e a idade dentária dos indivíduos, estimada pelo método de proporção polpa/dente, com base nos caninos permanentes.

H1: Há diferenças estatisticamente significativas entre a idade cronológica e a idade dentária dos indivíduos, estimada pelo método de proporção polpa/dente, com base nos caninos permanentes.

## **2.2 Objetivos secundários**

Os objetivos secundários passaram por averiguar os coeficientes de correlação das variáveis explicativas definidas por Kvaal, quando aplicadas a este estudo, verificando a existência ou não de diferenças estatisticamente significativas entre os coeficientes de correlação calculados e os apresentados pelo método de Kvaal.

### **2.2.1**

H0: Não há diferenças estatisticamente significativas entre os coeficientes de correlação das variáveis explicativas definidas por Kvaal e os coeficientes de correlação das mesmas variáveis calculados neste estudo.

H1: Há diferenças estatisticamente significativas entre os coeficientes de correlação das variáveis explicativas definidas por Kvaal e os coeficientes de correlação das mesmas variáveis calculados neste estudo.

## **2.3 Objetivo final**

O objetivo final desta investigação foi, através da análise em CBCT das proporções da área dente/polpa, obter uma fórmula de regressão para um cálculo da estimativa de idade mais fidedigno com o método tridimensional e verificar se o género influencia a estimativa de idade.

### **3. MATERIAIS E MÉTODOS**

#### **3.1 Delineamento experimental**

O estudo foi realizado na Faculdade de Medicina Dentária da Universidade de Lisboa (FMDUL) e na Clínica Médica Dentária “Oralmente”, tendo como população alvo os pacientes da Clínica Médica Dentária “Oralmente” cuja ficha clínica se encontrava disponível e que apresentavam, associado ao seu processo, um exame complementar de diagnóstico de CBCT realizado entre 01/01/2016 e 31/12/2018.

O protocolo experimental foi elaborado e enviado para o Diretor Clínico da Clínica Médica Dentária “Oralmente”, o Diretor Clínico da FMDUL e a Comissão de Ética para a Saúde da FMDUL – juntamente com as cartas de pedido de autorização (Anexo 1) – tendo a última conferido parecer favorável (Anexo 2).

#### **3.2 Amostra populacional**

A amostra foi selecionada de entre a população alvo através de uma observação e análise dos CBCT e com base em vários critérios de inclusão e exclusão (Anexo 3):

##### **3.2.1 Parâmetros identificativos**

- Género conhecido;
- Idade igual ou superior a 21 anos.

##### **3.2.2 Parâmetros dentários específicos**

- Presença de qualquer dente permanente do segmento anterior (incisivo central, incisivo lateral ou canino, superior ou inferior), totalmente visível, que não apresente:
  - Mais do que um canal;
  - Lesões de cárie;
  - Restaurações ou reabilitações orais;
  - Tratamento endodôntico prévio;
  - Patologia periapical, oclusal ou periodontal;
  - Anomalias congénitas que possam estar na origem de alterações morfológicas.



### 3.3 Metodologia de recolha de dados

A listagem de pacientes da Clínica Médica Dentária “Oralmente” com exames imagiológicos associados ao processo foi consultada através do sistema informático *RayScan*<sup>®</sup>. De forma a aplicar os critérios de inclusão e exclusão, todos os CBCT foram abertos no programa informático *XelisDental*<sup>®</sup>, sendo posteriormente incluídos 158 CBCT, com um total de 402 dentes. Foram recolhidos do *RayScan*<sup>®</sup> os dados dos pacientes incluídos, referentes a:

- Nome do paciente;
- Género;
- Data de nascimento;
- Data de realização do CBCT.

De seguida, procedeu-se à realização das medições para calcular a estimativa de idade baseadas no método de Kvaal. (11) Foram, então, calculados:

- No nível A = largura do dente (At) e polpa (Ap) ao nível da JAC;
- No nível C = largura do dente (Ct) e polpa (Cp) entre a JAC e o ápex da raíz;
- No nível B = largura do dente (Bt) e polpa (Bp) na distância média entre A e C;
- T = comprimento máximo do dente;
- P = comprimento máximo da polpa;
- R = comprimento máximo da raíz.

Uma vez que se utilizaram exames imagiológicos tridimensionais, as medições foram realizadas em dois eixos distintos: coronal (C) e sagital (S). Ambos os eixos foram alinhados paralelamente ao maior eixo do dente e as medições foram realizadas nos cortes onde a polpa apresentava as suas maiores dimensões de largura e comprimento. As medições foram efetuadas diretamente no programa informático *XelisDental*<sup>®</sup> através da ferramenta “Régua” e com os devidos ajustes de contraste, sendo posteriormente guardadas em formato PNG (Anexo 4).

Devido às diferenças de qualidade de imagem dos CBCT, que influenciavam a definição dos limites da polpa, os dentes analisados foram divididos em 3 grupos: má qualidade devido a curvatura da raíz e, conseqüentemente, corte da polpa: G0; má qualidade devido a má definição da imagem: G1; boa qualidade: G2.

Posteriormente, calcularam-se os seguintes rácios de Kvaal (11):

- $A_{ind} = A_p/A_t$ ;

- $Bind = Bp/Bt$ ;
- $Cind = Cp/Ct$ ;
- $RP = P/R$ ;
- $RT = T/R$ ;
- $RR = P/T$ ;
- $M = (RP+RR+Aind+Bind+Cind)/5$
- $W = (Bind+Cind)/2$
- $L = (RP+RR)/2$
- $Dif = W-L$

Para calcular a estimativa de idade, foram aplicadas aos grupos de dentes 11/21, 12/22, 32/42 e 33/43 as fórmulas de regressão definidas por Kvaal *et al.* (Tabela 1).(11)

**Tabela 1** - Fórmulas de regressão de Kvaal para cálculo da estimativa de idade. G=Gênero (0 feminino, 1 masculino)

Grupo de dentes	Equação
11/21	Idade = $110,2 - 201,4(M) - 31,3(Dif)$
12/22	Idade = $103,5 - 216,6(M) - 46,6(Dif)$
32/42	Idade = $106,6 - 251,7(M) - 61,2(Dif) - 6,0(G)$
33/43	Idade = $158,8 - 255,7(M)$

Todos os dados foram recolhidos e registados em três folhas do *Microsoft Excel*<sup>®</sup>, numeradas de 1 a 3:

- 1: onde constou o nome do paciente e o número da amostra correspondente;
- 2: onde foram colocados os números da amostra, o género, a data de nascimento, a data de realização do CBCT e o cálculo da idade aquando a realização do CBCT (calculada em anos e em meses, com recurso a uma fórmula do *Microsoft Excel*<sup>®</sup>);
- 3: onde foram inseridos todos os cálculos realizados pela aplicação do método de Kvaal, posteriormente inseridos no *IBM SPSS*<sup>®</sup> (Anexo 5).

### 3.4 Metodologia de validação de dados

As observações deste estudo consistiram em diversas medições de larguras e comprimentos. Porém, existem fatores que podem levar à inclusão de erros experimentais aquando estas medições (podendo comprometer a veracidade dos resultados obtidos), tais como a introdução de vícios durante a recolha de dados.

Deste modo, e tendo em conta que houve apenas um observador a recolher os dados e a realizar as medições, foi necessário testar a validade dos resultados através da validação intra-observador.

### **3.4.1 Concordância intra-observador**

A variabilidade intra-observador consiste na não reprodutibilidade das medições, devido a alterações nos critérios aplicados pelo observador, que podem levar a uma introdução de erros.

De forma a diminuir esses mesmos erros, a validação dos dados deve ser obtida através de uma repetição de um número pré-determinado de medições, com um intervalo de tempo suficientemente grande para garantir a eliminação do efeito de memória. Deste modo, 10% das medições foram repetidas passados 3 meses.

Os dados da primeira observação foram ocultados do observador durante a repetição das medições. Posteriormente, os valores obtidos na primeira medição foram comparados com os da segunda medição. Obteve-se, assim, a concordância entre os resultados do observador, sendo esta medida através do Coeficiente de Correlação Intraclassa (CCI).

## **3.5 Análise estatística de dados**

Os dados inseridos no *Microsoft Excel*® foram exportados para o software de análise estatística de dados *IBM SPSS Statistics 25 (Statistical Package for the Social Sciences)*, no qual foi realizada toda a análise estatística dos dados.

De modo a estudar as hipóteses definidas nos objetivos de estudo, o nível de significância escolhido nos testes realizados foi de 5%. O *p-value* demonstra o menor nível de significância a partir do qual se rejeita a hipótese nula. Assim, quanto menor o *p-value* obtido nos testes realizados, mais forte é a evidência contra a hipótese nula, sendo possível rejeitá-la quando o *p-value* é inferior a 0,05. (25)

Seguida a análise descritiva, foi realizada a análise estatística dos dados. Na validação intra-observador foi utilizado o Coeficiente de Correlação Intraclassa (CCI), medida de validação e da concordância de variáveis quantitativas. Segundo Fleiss, este coeficiente pode ser interpretado da seguinte forma: (26)

- Até 0,39 – Concordância fraca;
- Entre 0,40 e 0,74 – Concordância satisfatória a boa;
- Acima de 0,75 – Concordância excelente.

Utilizou-se o teste  $t$  de Student para amostras emparelhadas, de modo a testar a existência ou não de diferenças estatisticamente significativas, em termos médios, entre a idade cronológica dos indivíduos e a idade dentária estimada pela aplicação das fórmulas definidas por Kvaal, para os pares de dentes selecionados. Por forma a confirmar a existência de uma distribuição Normal da nossa amostra, e tendo em conta a frequência absoluta maior que 50 ( $N=402$ ), foi aplicado o teste de Kolmogorov-Smirnov. (25)

O coeficiente de correlação de Pearson foi utilizado para medir a correlação entre a idade cronológica e as variáveis utilizadas por Kvaal como preditores (M e Dif) e definir se este era estatisticamente significativo. As variáveis foram posteriormente avaliadas com base no modelo de regressão linear, analisando a existência de variáveis explicativas pelo teste F e o coeficiente de determinação  $R^2$ , verificando se este é suficientemente explicativo.

Por fim, foi criada uma regressão linear multivariada através do método *backward*, em que somente as variáveis com  $p\text{-value} < 0,10$  foram incluídas. Utilizou-se o modelo que melhor descreveu a relação entre a variável dependente (idade cronológica em anos) e as variáveis independentes incluídas.

## 4. RESULTADOS

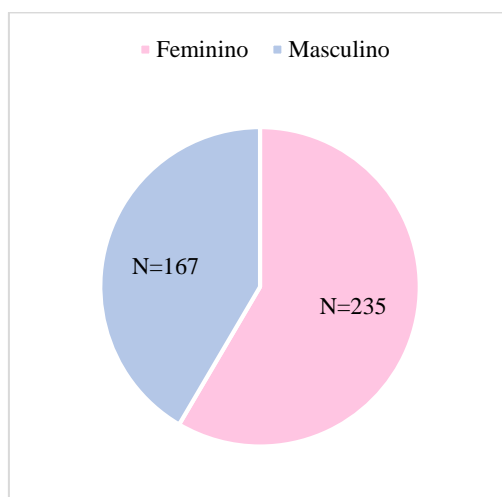
### 4.1 Análise descritiva

O nosso estudo consistiu em 158 pacientes com a realização de CBCT, dos quais obtivemos uma amostra de dentes de 402 (N=402).

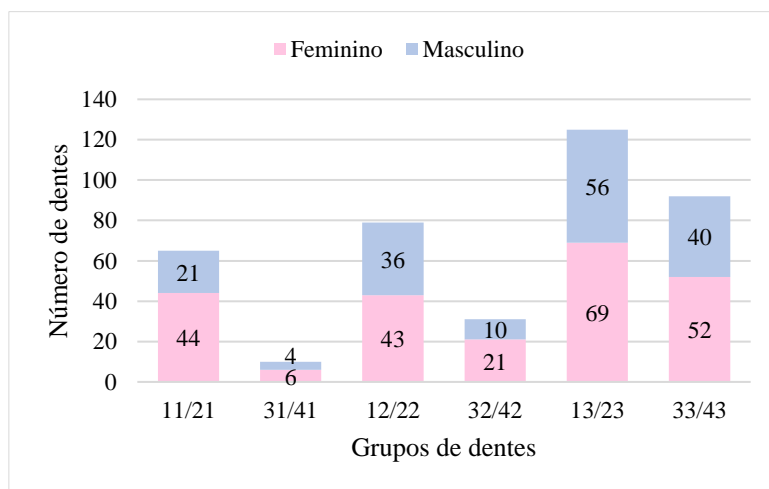
Dos 158 pacientes incluídos, 97 (61,4%) são do género feminino e 61 (38,6%) do género masculino. Apresentam idades compreendidas entre os 21 e os 80 anos, havendo uma maior concentração na faixa etária dos 40 anos, em ambos os géneros (Anexo 6, I).

No que diz respeito aos dentes analisados (N=402), 235 (58,5%) pertencem a indivíduos do género feminino e 167 (41,5%) ao género masculino (Gráfico 1).

O par 13/23 é o que apresenta um maior número de dentes (125 dentes) e o par 31/41 apresenta-se com um número de dentes mais baixo, sendo ainda notável um maior número de dentes pertencentes ao género feminino em todos os grupos (Gráfico 2) (Anexo 6, II).



**Figura 1** - Distribuição de dentes, por género



**Figura 2** - Distribuição dos pares de dentes, diferenciando o género

## 4.2 Análise estatística

### 4.2.1 Concordância intra-observador

A concordância intra-observador foi avaliada através do CCI, aplicado a medições (re)calculadas de 40 dentes observados em dois tempos.

No corte coronal obtiveram-se 4 dentes com má qualidade (devido a corte da polpa), 14 com má qualidade (devido a má definição) e 22 com boa qualidade, enquanto no corte sagital incluíram-se 13, 6 e 21 dentes nos grupos com má qualidade (devido a corte da polpa), má qualidade (devido a má definição) e boa qualidade, respetivamente.

Na Tabela 2 são visíveis os vários CCI obtidos para a validação intra-observador. A medida RT no corte coronal foi a que apresentou um CCI mais baixo, com um valor de CCI igual a 0,918, enquanto que o CCI mais elevado (0,997) se demonstrou em duas medições: Cp no corte coronal e Bp no corte sagital.

Seguindo os intervalos apresentados por Fleiss *et al.*, todos os valores de CCI apresentaram um nível de concordância excelente (Anexo 7, I). (26)

**Tabela 2** - CCI obtidos na validação intra-observador

Medida	Corte	
	Coronal	Sagital
T	0,981	0,987
P	0,992	0,983
R	0,984	0,985
RP	0,971	0,969
RT	0,918	0,969
RR	0,984	0,969
At	0,994	0,996
Ap	0,996	0,981
Aind	0,989	0,947
Bt	0,996	0,996
Bp	0,992	0,997
Bind	0,981	0,995
Ct	0,991	0,990
Cp	0,997	0,990
Cind	0,986	0,980
M	0,955	0,969
W	0,990	0,993
L	0,979	0,969
Dif	0,985	0,975

#### 4.2.2 Estimativa de idade, pela fórmula de Kvaal

Procurou-se estimar a idade dos indivíduos através da aplicação das fórmulas deduzidas por Kvaal (Tabela 1) e, posteriormente, verificar se existiam diferenças significativas entre a nossa estimativa (consoante o corte utilizado) e a idade cronológica (Anexo 7, II).

Somente os pares 11/21, 12/22, 32/42 e 33/43 foram incluídos nesta etapa, perfazendo um total de 267 dentes (uma vez que Kvaal *et al.* não utilizam os dentes 31/41 nem os 13/23).

Ao analisar o erro de estimativa (EE) (Tabela 3), é visível uma discrepância entre as estimativas de idade calculadas pela fórmula de Kvaal e a idade real, sendo a média dos valores calculados negativa, tanto para o corte coronal (-21,3554), como para o sagital (-26,2814). As estimativas mais desviadas indicaram uma idade inferior à real em cerca de 75 anos (em ambos os cortes) e uma idade superior à real em 24,15 e 15,69 anos para os cortes coronal e sagital, respetivamente.

**Tabela 3** - Erros de Estimativa obtidos

	EE (C)	EE (S)
<b>N</b>	267	267
<b>Média</b>	-21,3554	-26,2814
<b>Erro Desvio</b>	16,51447	17,01806
<b>Mínimo</b>	-74,75	-75,38
<b>Máximo</b>	24,15	15,69

Uma vez que a qualidade de imagem poderia influenciar as estimativas de idade calculadas, decidiu-se calcular os erros de estimativa absolutos (AEE) para os diferentes grupos de qualidade de imagem: má qualidade devido a corte (grupo 0 – G0), má qualidade devido a má definição (grupo 1 – G1) e boa qualidade (grupo 2 – G2) (Tabela 4).

Ao analisar o grupo de dentes com boa qualidade em ambos os cortes (C e S do grupo 2), verificou-se que os AEE se demonstraram elevados (23,6317 em coronal e 27,8887 em sagital). O grupo com má qualidade devido a corte foi o que apresentou um AEE mais baixo, tanto para o corte coronal (com um valor de 17,3643) como para sagital (24,9562).

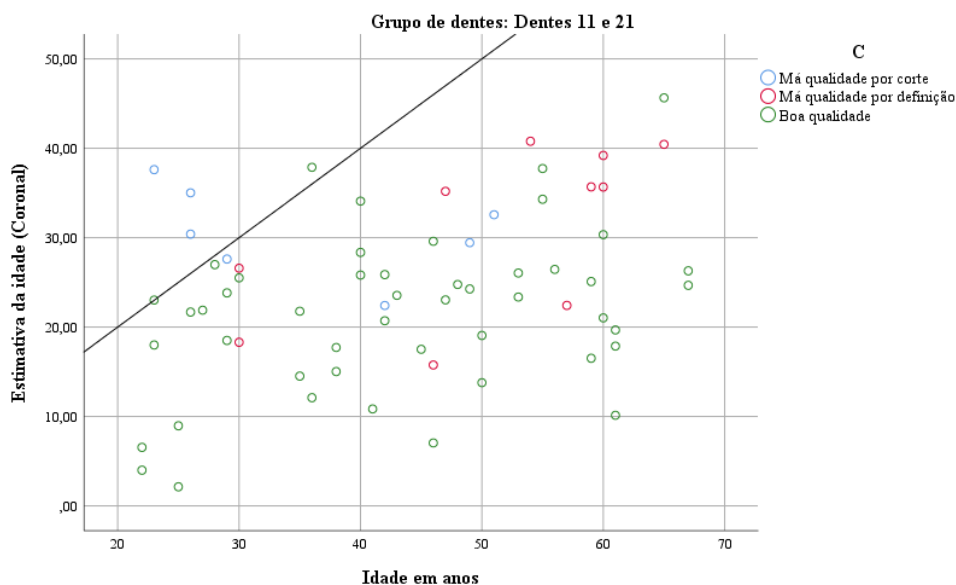
Foi ainda avaliada a diferença entre os EE obtidos em coronal e sagital (C-S), para os 135 dentes que apresentavam boa qualidade (grupo 2) em ambos os cortes (Tabela 4). Foi obtida uma média de 2,7762, sendo o valor mínimo -24,55 e o valor máximo 39,12.

**Tabela 4** - Erros de estimativa absoluto, para os diferentes grupos (G0, G1 e G2) de qualidade de imagem

	AEE (C, G0)	AEE (C, G1)	AEE (C, G2)	AEE (S, G0)	AEE (S, G1)	AEE (S, G2)	Diferença entre EE para Grupo 2 (C-S)
<b>N</b>	18	83	166	32	55	180	135
<b>Média</b>	17,3643	21,8047	23,6317	24,9562	23,3719	27,8887	2,7762
<b>Erro Desvio</b>	10,19403	14,51569	15,11040	21,63190	13,84193	16,14030	12,56581
<b>Mínimo</b>	2,31	0,63	0,05	0,66	0,50	0,16	-24,55
<b>Máximo</b>	41,42	74,75	72,32	75,38	62,88	68,67	39,12

Observou-se, com base nas médias apresentadas nas Tabelas 3 e 4, que o corte coronal foi o melhor no cálculo das estimativas de idade.

A Figura 3 representa um gráfico de dispersão, onde estão relacionadas a estimativa de idade no corte coronal e a idade cronológica em anos. No gráfico é visível a reta da regressão linear que relaciona as duas variáveis e o seu comportamento. Sob a reta é visível apenas um valor, pertencente ao grupo de boa qualidade. Todos os outros valores, independentemente do grupo, apresentam-se díspares no gráfico.



**Figura 3** - Gráfico de dispersão, relacionando a estimativa de idade (coronal) com a idade cronológica em anos

#### 4.2.2.1 Teste estatístico de amostras emparelhadas

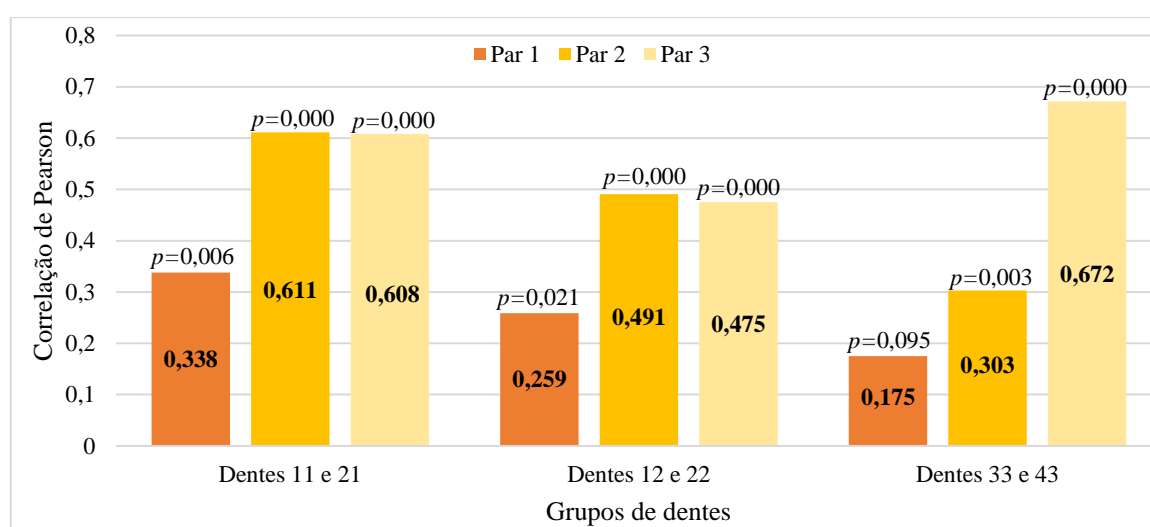
Foi realizado um teste *t* para amostras emparelhadas de modo a avaliar os cortes e testar as hipóteses estudadas (Anexo 7, III). Nesta análise não foram contabilizados os dentes pertencentes ao par 32/42, uma vez que o seu N era reduzido (N=31). Foram, então, incluídos apenas os pares de dentes 11/21 (N=65), 12/22 (N=79) e 33/43 (N=92).



Foram analisados 3 pares para cada grupo de dentes:

- Par 1: relacionou estimativa de idade no corte coronal com a idade em anos;
- Par 2: relacionou estimativa de idade no corte sagital com a idade em anos;
- Par 3: relacionou estimativas de idade no corte coronal com o corte sagital.

A Figura 4 apresenta as correlações de Pearson existentes entre as variáveis analisadas em cada par, com os respectivos valores de significância. Todas as correlações de Pearson são diferentes de 0 (sendo o valor mais baixo 0,175 e o mais alto 0,672) e quase todos os *p-values* se encontram abaixo do nível de significância 0,05 (a única exceção ocorre nos dentes 33/43 no par 1).

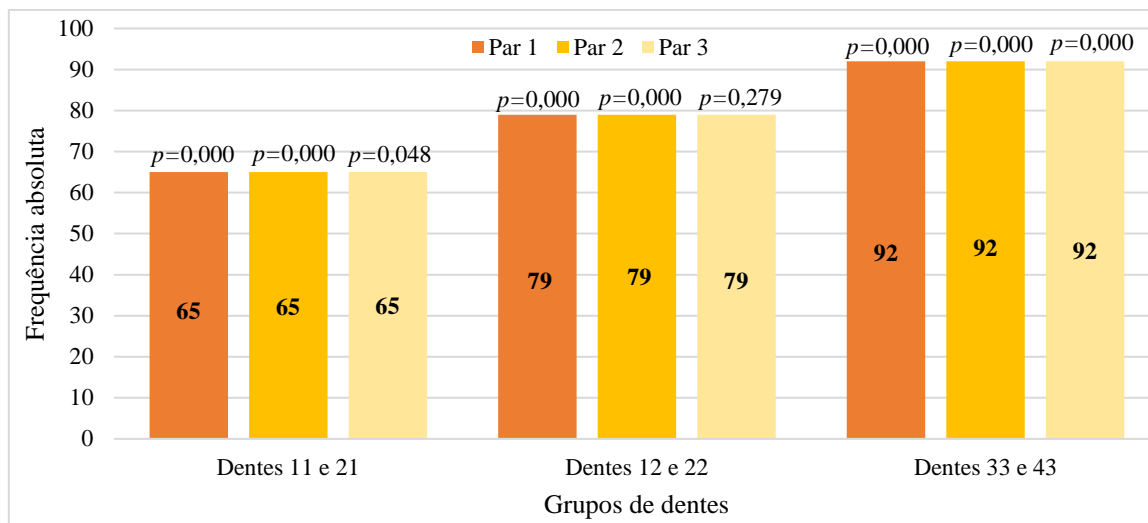


**Figura 4** - Gráfico das correlações de Pearson, com o respetivo *p-value*. Par 1: estimativa de idade (coronal) e idade em anos; Par 2: estimativa da idade (sagital) e idade em anos; Par 3: estimativa de idade (coronal) e estimativa de idade (sagital)

No que diz respeito ao teste estatístico em si realizado: primeiramente, foi aplicado aos pares 1 e 2 para verificar a existência ou não de diferenças estatisticamente significativas entre a média da estimativa de idade (quer coronal, quer sagital) e da idade real; posteriormente, o mesmo teste foi aplicado ao par 3, de modo a avaliar a possibilidade de haver ou não diferenças estatísticas entre as médias das estimativas de idades calculadas num corte e no outro (Figura 5).

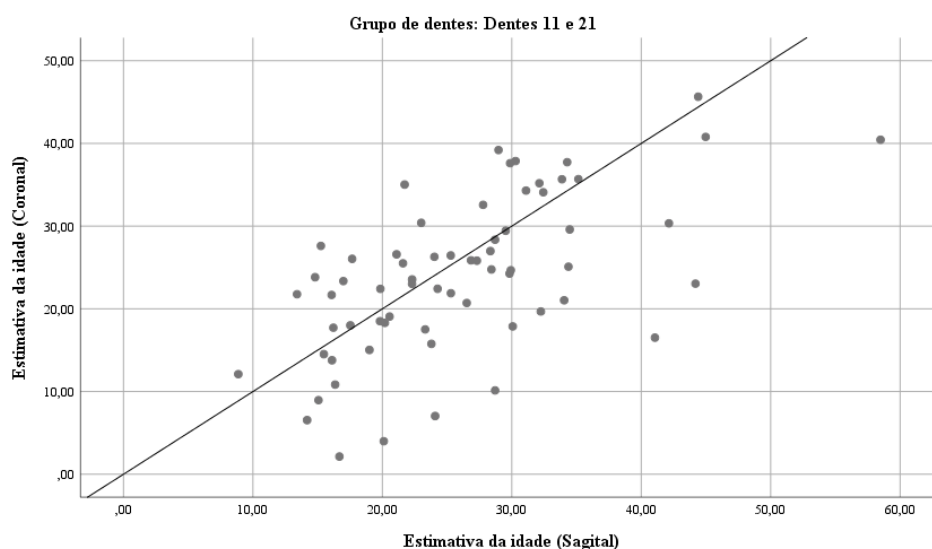
Para os pares 1 e 2 verificou-se um valor de *p-value* < 0,05 (sempre igual a 0,000), qualquer que fosse o conjunto de dentes (11/21, 12/22 ou 33/43). No par 3, obteve-se um *p-value* = 0,048 para os dentes 11/21, *p-value* = 0,279 para os dentes 12/22 e *p-value* = 0,000 para os dentes 33/43. O único *p-value* superior a 0,05 verifica-se no par 3 no grupo de dentes

12/22, no qual o intervalo de confiança (IC) para a diferença de médias vai de -3,60221 a 1,05244 (Anexo 7, III).



**Figura 5** - Teste de amostras emparelhadas (IC de 95%), com N e o respetivo *p-value*

O gráfico de dispersão que relaciona as estimativas de idade no corte coronal e sagital (par 3) para os dentes 11/21 encontra-se na Figura 6 e apresenta a reta de regressão que retrata a relação esperada (estimativas iguais independentemente do corte utilizado). É visível uma dispersão de resultados, relativamente à reta representada.



**Figura 6** - Gráfico de dispersão, relacionando a Estimativa de idade (Coronal) com a Estimativa de idade (Sagital)

#### 4.2.3 Correlação de Pearson

Foram determinados os valores das correlações existentes entre as medições/proporções calculadas neste estudo e a idade cronológica dos pacientes (Anexo 7, IV).

Como o corte coronal se demonstrou melhor que o sagital e, segundo Kvaal *et al.* (11), as variáveis M e Dif apresentaram melhor correlação com a idade real dos pacientes, apenas as correlações de C\_M (medida M no corte coronal) e C\_Dif (medida Dif no corte coronal) com a idade foram analisadas, tanto para a amostra total (N=402), como para os 6 pares de dentes separadamente (Tabela 5).

No que diz respeito à correlação existente entre a variável C\_M e a idade, todos os valores se apresentaram negativos. O valor -0,321 demonstrou a correlação existente na amostra total, variando consoante os pares de dentes entre -0,061 (dentes 31/41) e -0,382 (dentes 13/23).

No que toca à correlação entre a variável C\_Dif e a idade, o seu valor para a amostra total foi de 0,080, variando entre 0,058 nos dentes 13 e 23 (valor mais perto do 0) e -0,554 nos dentes 31 e 41 (mais perto, em termos absolutos, da unidade).

**Tabela 5** - Correlações de Pearson, relacionando a idade cronológica com as variáveis M e Dif.

		Idade						
		Amostra total N=402	Dentes 11 e 21	Dentes 31 e 41	Dentes 12 e 22	Dentes 32 e 42	Dentes 13 e 23	Dentes 33 e 43
C_M	Correlação	-0,321**	-0,381**	-0,061	-0,338**	-0,239	-0,382**	-0,178
	<i>p-value</i>	0,000	0,002	0,868	0,002	0,195	0,000	0,089
C_Dif	Correlação	0,080	0,222	-0,554	0,186	-0,402*	0,058	0,100
	<i>p-value</i>	0,107	0,076	0,097	0,100	0,025	0,522	0,345

\* A correlação é significativa no nível 0,05 (2 extremidades). \*\* A correlação é significativa no nível 0,01 (2 extremidades).

#### 4.2.4 Avaliação dos coeficientes da regressão linear de Kvaal

Procurou avaliar-se a adequação das variáveis utilizadas por Kvaal na regressão linear que visa estimar a idade. Assim, foi verificado qual o coeficiente de determinação ( $R^2$ ) do modelo que melhor descreve a idade e identificadas as variáveis que devem ser utilizadas, para cada grupo de dentes e em cada corte (Anexo 7, V).

A Tabela 6 traduz a avaliação realizada para as variáveis explicativas, em todos os grupos de dentes e sendo a variável dependente a idade em meses, somente para o corte coronal.

Os grupos de dentes 11/21, 12/22 e 33/43 incluíram somente a variável C\_M nos melhores modelos, apresentando valores de  $R^2$  de 0,145, 0,114 e 0,032, respetivamente. Os valores mais altos do  $R^2$  encontraram-se no grupo de dentes 31/41 e 32/42, onde todas as

variáveis utilizadas por Kvaal foram incluídas (G, C\_M e C\_Dif), com valores respectivos de 0,915 e 0,547.

**Tabela 6** - Avaliação das variáveis de Kvaal, para todos os grupos de dentes, no corte coronal, em meses

Grupos de dentes	Variáveis explicativas	N	R <sup>2</sup>	SEE
11/21	C_M	65	0,145	151,877
31/41	G, C_M, C_Dif	10	0,915	83,726
12/22	C_M	79	0,114	160,725
32/42	G, C_M, C_Dif	31	0,547	127,425
13/23	C_M, C_Dif	125	0,173	150,987
33/43	C_M	92	0,032	166,025

Contudo, como a frequência absoluta dos grupos de dentes 31/41 e 32/42 é muito baixa, apenas os restantes grupos de dentes foram avaliados no que toca às variáveis de Kvaal explicativas, nos cortes coronal e sagital, com base na idade em anos (Tabela 7).

Os melhores R<sup>2</sup>, com exceção do grupo 13/23, encontraram-se no corte sagital. O coeficiente de determinação maior pertence ao corte sagital dos dentes 11/21, com um valor de 0,394, sendo o valor mais baixo 0,031 no corte coronal dos dentes 33/43.

**Tabela 7** - Avaliação das variáveis de Kvaal para os dentes selecionados, em ambos os cortes, em anos

Grupos de dentes	Variáveis explicativas	N	R <sup>2</sup>	SEE
11/21	C_M	65	0,145	12,637
	S_M	65	0,394	10,632
12/22	C_M	79	0,114	13,411
	S_M, S_Dif	79	0,243	12,472
13/23	C_M, C_Dif	125	0,169	12,601
	S_M	125	0,107	13,013
33/43	C_M	92	0,031	13,878
	G, S_M, S_Dif	92	0,150	13,138

#### 4.2.5 Regressão linear

Verificaram-se quais as variáveis (entre G, RP, RT, RR, Aind, Bind e Cind) que permitem alcançar uma regressão linear com melhor R<sup>2</sup> com base na nossa amostra, de modo a criar uma fórmula de regressão linear que melhor traduzisse um correto cálculo da estimativa de idade para a nossa amostra (Anexo 7, VI).

A Tabela 8 apresenta as variáveis explicativas do melhor modelo (R<sup>2</sup>) com os respetivos *p-values* do teste F e o desvio padrão do erro de estimativa (SEE). Tal como na Tabela 7, os

melhores valores de  $R^2$  são obtidos utilizando as variáveis determinadas no corte sagital (com exceção no grupo de dentes 13/23). O coeficiente mais elevado demonstrou-se no corte sagital dos dentes 11/21 (com um valor de 0,412) e o mais baixo encontrou-se no corte coronal dos dentes 33/43,  $R^2 = 0,073$ .

**Tabela 8** - Variáveis explicativas do melhor modelo, com valores do  $p$ -value do teste F,  $R^2$  e SEE

Grupo de dentes	Variáveis explicativas	N	$p$ -value	$R^2$	SEE
11/21C	C_RR, C_RT, C_RP	65	0,006	0,183	12,548
11/21S	S_Cind, S_RP	65	0,000	0,412	10,565
12/22C	C_Cind, C_RR, C_Aind, C_Bind	79	0,001	0,231	12,743
12/22S	S_RP, S_Aind, S_RT, S_RR	79	0,000	0,304	12,121
13/23C	C_Cind, C_RP	125	0,000	0,170	12,592
13/23S	S_Bind, S_RR	125	0,000	0,118	12,984
33/43C	G, C_Aind	92	0,035	0,073	13,650
33/43S	G, S_Bind, S_RR	92	0,001	0,160	13,061

Com base nas variáveis discriminadas, foi então criada uma fórmula de regressão linear para cada situação descrita (Tabela 9).

**Tabela 9** - Fórmulas de regressão linear criadas, com base nos melhores modelos

Grupo de dentes	Regressão linear obtida
11/21C <sub>RR,RT,RP</sub>	- 484,166 - 526,419(C_RP) + 363,717(C_RT) + 764,473(C_RR)
11/21S <sub>Cind,RP</sub>	122,790 - 45,001(S_RP) - 93,512(S_Cind)
12/22C <sub>Cind,RR,Aind,Bind</sub>	84,756 - 41,578(C_RR) - 54,754(C_Aind) + 76,288(C_Bind) - 69,786(C_Cind)
12/22S <sub>RP,Aind,RT,RR</sub>	- 471,280 - 443,654(S_RP) + 326,338(S_RT) + 726,234(S_RR) - 75,834(S_Aind)
13/23C <sub>Cind,RP</sub>	90,821 - 26,662(C_RP) - 85,065(C_Cind)
13/23S <sub>Bind,RR</sub>	82,781 - 37,746(S_RR) - 43,978(S_Bind)
33/43C <sub>G,Aind</sub>	63,380 - 5,723(G) - 45,449(C_Aind)
33/43S <sub>G,Bind,RR</sub>	90,037 - 4,852(G) - 33,203(S_RR) - 43,764(S_Bind)

## 5. DISCUSSÃO

### 5.1 Integridade da metodologia experimental

Uma das grandes limitações deste estudo foi a amostra reduzida de determinados dentes. Apesar de o número total de dentes ser satisfatório, foi notória uma discrepância entre determinados grupos de dentes. Tomemos como exemplo o número reduzido de incisivos centrais e laterais inferiores, que tornou a análise destes dentes irrelevante em termos estatísticos.

Willems *et al.* defende a necessidade de um processamento de imagem igual ao método original, uma vez que processamentos diferentes podem conduzir a estimativas erróneas. (27) Neste estudo, as medições foram realizadas manualmente por um observador através da ferramenta “Régua” do programa *XelisDental*®. Uma vez que a transição entre dentina e polpa se apresentou muitas vezes como uma zona cinzenta e não uma linha clara, é possível que tenha existido uma interpretação incorreta dos limites de polpa. (13) Para além disso, o facto de os valores medidos serem pequenos faz com que diferenças de décimas de milímetros (mm) levem a grandes diferenças nos resultados. Neste caso, um software que possibilitasse a contagem de pixéis teria facilitado a obtenção de resultados.

Uma vez que foram observadas diferentes qualidades nas imagens dos CBCT, e de modo a verificar se haveria diferenças nos resultados, os dentes observados foram divididos em grupos, consoante qualidade da imagem. A divisão em grupos procurou ser o mais criteriosa possível. Determinou-se que, caso houvesse ligeira curvatura que não afetasse o comprimento da polpa, o dente era considerado “boa qualidade” (grupo 2). Para além disso, se o exame radiológico fosse da cavidade oral toda (comprometendo ligeiramente a definição de imagem), mas desse para visualizar a polpa no seu comprimento total ou quase total, o dente era também inserido no grupo 2. No entanto, apesar dos critérios terem sido seguidos sistematicamente de forma a minimizar os vieses do estudo, tal possibilidade não é descartada.

Por último, o facto do método de Kvaal ter sido originalmente aplicado em radiografias periapicais pode implicar um viés no estudo, uma vez tratar-se de um método radiográfico bidimensional e o estudo ter sido executado num método tridimensional, onde a escolha do corte pode influenciar a quantidade de polpa visualizada.

## 5.2 Análise descritiva

No que toca aos 158 pacientes incluídos, a amostra demonstrou-se desnivelada, com uma maioria de pessoas do género feminino (61,4%), comparativamente ao género masculino (38,6%). Houve também um desfasamento nos grupos etários, comprovando-se uma amostra masculina mais jovem (ver Anexo 6, I).

Relativamente aos dentes incluídos, existe um número reduzido de incisivos centrais inferiores (10 dentes) e incisivos laterais inferiores (31 dentes). Isto deve-se ao facto de a polpa ser mais pequena e, consequentemente, mais difícil de visualizar, tendo este sido um dos critérios de exclusão que mais dentes eliminou (ver Anexo 3).

## 5.3 Concordância intra-observador

Na validação intra-observador, o valor mais baixo obtido foi 0,918 (RT, corte coronal), sendo o mais elevado 0,997 (Cp no corte coronal e Bp no corte sagital). Não se demonstrou qualquer relação entre um corte específico e um valor de CCI mais elevado, havendo tanto valores baixos como elevados de CCI, dentro do mesmo corte de imagem.

Com base nos valores de concordância apresentados, verifica-se uma excelente calibração no observador. Esta calibração é concordante com a literatura existente: Li *et al.* apresentou CCI entre 0,837 e 0,855, tendo Erbudak *et al.* demonstrado os valores mais elevados, entre 0,95 e 0,99. (28,29) No entanto, tal não significa que os resultados estejam próximos da realidade, uma vez que apesar do observador estar calibrado, este pode estar a aplicar metodologias que originem o mesmo viés em ambas as medições.

## 5.4 Estimativa de idade, pela fórmula de Kvaal

No seu artigo original, Kvaal defendeu não existirem diferenças significativas entre o lado direito e o lado esquerdo da arcada. (11) Deste modo, todos os dentes foram agrupados com os da respetiva hemi-arcada. Para além disso, Kvaal apenas desenvolveu fórmulas de regressão linear para calcular a estimativa de idade em pares específicos de dentes. Assim, apenas os pares de dentes 11/21, 12/22, 32/42 e 33/43 foram incluídos.

A Tabela 3 apresenta os EE médios obtidos (-21,3554 em coronal e -26,2814 em sagital). A discrepância entre as estimativas de idade e a idade cronológica indica que as estimativas traduziram, em média, idades inferiores às reais, em cerca de 21 anos no corte coronal e 26 anos no corte sagital. Também Mittal *et al.* e Kanchan-Talreja *et al.* apresentaram

estimativas mais baixas que a idade real (6,30), ao passo que Li *et al.* apresentou uma estimativa superior. (28)

O intervalo apresentado neste estudo entre os valores de erro mínimo e máximo apresenta-se muito alargado, com uma diferença de 100 e de 90, nos cortes coronal e sagital, respetivamente. Intervalos destas dimensões não se mostram aplicáveis, uma vez que existe uma grande margem de erro no cálculo da estimativa da idade.

Na Tabela 4, onde se encontram os AEE consoante as diferentes qualidades de imagem dos CBCT, os resultados não foram os esperados. O grupo com boa qualidade de imagem (2) apresentou valores de AEE mais altos que a média geral. Para além disso, este grupo apresentou os erros de estimativa absolutos mais elevados dos 3 grupos de qualidade de imagem, com valores de 23,6317 (sagital) e 27,8887 (coronal). Assim, a ideia de que o grupo com melhor qualidade de imagem representaria uma melhor estimativa de idade (uma vez que a imagem apresentada seria a mais próxima da realidade) foi refutada.

Ao analisar a diferença entre os EE dos dentes que apresentam ambos os cortes com boa qualidade, verificou-se que o valor da média dos EE é baixo. Contudo, esta informação não nos indica que os valores estejam perto dos reais, mas sim que as estimativas obtidas com os diferentes cortes se encontram próximos. Conclui-se, portanto, não existir grande diferença entre cortes para o cálculo da estimativa de idade, uma vez que o erro é semelhante em ambos os cortes (neste grupo de dentes).

A disparidade dos valores estimados comparativamente à reta de regressão linear, visível na Figura 3, demonstra igualmente não existir qualquer relação entre a melhor qualidade de imagem e um cálculo mais aprimorado da estimativa de idade.

#### **5.4.1 Teste estatístico de amostras emparelhadas**

Apesar de todos os valores discrepantes observados entre as estimativas de idade e as idades cronológicas indicarem a má fiabilidade das estimativas obtidas, realizou-se o teste estatístico para comparar a média. De referir que previamente confirmou-se pelo teste estatístico de Kolmogorov-Smirnov que a amostra seguia uma distribuição normal (ver Anexo 7, III).

Para efeitos estatísticos, o par de dentes 32/42 não foi contabilizado devido ao N reduzido.



Todos os valores de correlação de Pearson foram diferentes de 0, o que indica a existência de correlação entre as variáveis de cada par, sendo umas mais fracas (0,175) e outras mais fortes (0,672). Os  $p\text{-value} < 0,05$  indicam que quase todas as correlações, entre estimativa e idade cronológica, são estatisticamente significativas.

No que toca ao teste de amostras emparelhadas para os pares 1 e 2 (idade estimada versus idade cronológica), o  $p\text{-value}$  apresentado é tão pequeno que podemos afirmar que há diferenças estatisticamente significativas entre a estimativa de idade (quer coronal, quer sagital) e a idade cronológica em anos, em todos os grupos de dentes. Por conseguinte, as estimativas obtidas são enviesadas. No par 3, os  $p\text{-value}$  obtidos para os dentes 11/21 e 33/43 indicaram valores  $p\text{-value} < 0,05$ , o que aponta uma existência de diferenças estatisticamente significativas. Contudo, para o grupo de dentes 12/22, o valor de  $p$  foi de 0,279. Assim, não se demonstraram diferenças estatisticamente significativas entre a estimativa de idade calculada por coronal ou por sagital neste grupo de dentes.

Kvaal *et al.* apresentou diferenças na estimativa de idade e a idade real entre 8,6 e 11,5 anos. (11) Na literatura, vários foram os estudos que apoiaram o método de Kvaal, aplicando o mesmo em radiografias panorâmicas. Paewinsky *et al.* desenvolveu uma fórmula de regressão com base nos rácios de largura definidos por Kvaal, obtendo um erro de estimativa de 6,68 anos. (13) Bosmans *et al.* obteve um EE entre 0,37 e 7,21 anos. (14) Estes e outros estudos demonstraram não haver diferenças estatisticamente significativas entre a idade estimada e a real. (30–32)

Todavia, existem estudos que apresentam diferenças estatisticamente significativas entre a estimativa de idade e a idade real, ao aplicar o método de Kvaal, não sendo este um método adequado. (28,33) Kanchan-Talreja *et al.*, no seu estudo em periapicais de uma população indiana, apresenta uma diferença média de 18,1 anos. (6) Meinel *et al.* expõe a maior diferença entre a idade estimada e a real, com valores entre 31,4 e 47,1 anos. (15) Os valores que mais se assemelham às diferenças observadas neste estudo são os de Erbudak *et al.*, com diferenças entre 12,17 e 25,1 anos. (29)

Gopal *et al.* (35) comparou ainda o método de Kvaal com o de Cameriere *et al.* (12), concluindo que o segundo apresenta melhores resultados da estimativa de idade.

Deste modo, verificou-se a existência de diferenças estatisticamente significativas quer entre as estimativas de idade e a idade cronológica, quer, em alguns grupos de dentes, entre as estimativas calculadas entre cortes.

## 5.5 Correlação de Pearson

Nesta parte experimental foi analisada a correlação entre as variáveis definidas por Kvaal como preditoras de idade e a idade cronológica dos pacientes.

No que toca aos coeficientes de correlação de Pearson entre C\_M e a idade, todos apresentaram valores negativos, o que indica uma correlação negativa: quando uma das variáveis aumenta, a outra diminui. A correlação mais fraca demonstrou-se no par de dentes 31 e 41 (com valor de -0,061) sendo uma correlação desprezível. A correlação mais forte de -0,382 no par de dentes 13 e 23, demonstrando ainda assim uma correlação fraca.

Relativamente à variável C\_Dif e a idade, a correlação mais fraca demonstrou-se no par de dentes 13 e 23, com valor de 0,058, sendo esta desprezível. A correlação mais forte foi de -0,554 nos dentes 31 e 41 (valor, em termos absolutos, mais alto estabelecido entre as variáveis analisadas), demonstrando uma correlação moderada. Saliente-se, ainda, que a correlação apresenta valores muito distintos, alguns positivos e outros negativos.

Pela Tabela 5, conclui-se que apenas 5 coeficientes são estatisticamente significativos, com  $p\text{-value} < 0,05$  (4 em C\_M e 1 em C\_Dif). Todos os coeficientes calculados foram inferiores ao do estudo original (Tabela 10), concluindo que as variáveis definidas como preditores por Kvaal não demonstram uma boa correlação com a idade, neste estudo.

**Tabela 10** - Coeficientes de Pearson deste estudo e de estudo original. \*valor significativo, com  $p\text{-value} < 0,05$

Variável	Par de dentes	Coeficientes Kvaal (11)	Coeficientes Estudo
C_M (M)	11/21	-0,83*	-0,381*
	12/22	-0,80*	-0,338*
	32/42	-0,71*	-0,239
	33/43	-0,75*	-0,178
C_Dif (W-L)	11/21	0,66*	0,222
	12/22	0,54*	0,186
	32/42	0,30*	-0,402*
	33/43	0,35*	0,100

Os coeficientes de Pearson obtidos variaram entre -0,061 e -0,554. Ao observar os valores mínimo e máximo dos Coeficientes de Pearson descritos na literatura (Tabela 11), é visível uma proximidade dos mesmos e dos valores obtidos neste estudo. Não se verificaram grandes diferenças entre os coeficientes de correlação, consoante os diferentes exames radiológicos. Contudo, os estudos que aplicaram o método de Cameriere em CBCT

apresentaram coeficientes superiores aos estudos onde o método aplicado em CBCT foi o de Kvaal, suportando a ideia de que as variáveis analisadas por Cameriere *et al.* produzirão melhores correlações com a idade que o método de Kvaal *et al.*, para CBCT. (21–24)

**Tabela 11** - Coeficientes de Pearson (mínimo e máximo, em termos absolutos) descritos na literatura

	Estudos	Coeficiente de Pearson	
		Mínimo	Máximo
Periapicais	Sharma <i>et al.</i> (34)	-0,01	-0,44
	Gopal <i>et al.</i> (35)	-0,008	0,951
Panorâmicas	Erbudak <i>et al.</i> (29)	-0,187	0,36
	Chandramala <i>et al.</i> (31)	-0,07	0,54
	Mittal <i>et al.</i> (30)	0,238	0,68
	Maini <i>et al.</i> (32)	-0,01	-0,493
	Roh <i>et al.</i> (33)	-0,11	-0,7
	Li <i>et al.</i> (28)	-0,119	-0,518
CBCT	Penaloza <i>et al.</i> (23)	-0,21	-0,65
	Akay <i>et al.</i> (24)	-0,117	-0,551
CBCT Aplicando Cameriere <i>et al.</i> (12)	Afify <i>et al.</i> (21)	-0,829	-0,959
	Haghandifar <i>et al.</i> (22)	-0,330	0,764

## 5.6 Avaliação dos coeficientes de regressão linear de Kvaal

O  $R^2$  traduz a variância da idade que aquele modelo consegue explicar, ou seja, as variáveis incluídas conseguem explicar a idade numa determinada percentagem, no grupo de dentes selecionados.

Os valores mais altos de  $R^2$  verificaram-se no grupo de dentes 31/41 (0,915) e 32/42 (0,547). Apesar de estes valores de  $R^2$  serem elevados, isto apenas acontece porque a amostra é muito pequena (N de 10 e 31, respetivamente), o que significa não existir grande relevância estatística. Uma vez que os grupos de dentes 31/41 e 32/42 são os que apresentam um N menor, estes apresentaram um número maior de variáveis, de modo a assegurar um modelo com um  $R^2$  melhor. No entanto, na Tabela 7, o par de dentes com maior  $R^2$  apresenta somente uma variável explicativa no seu modelo.

Ao aplicar as variáveis preditoras de Kvaal *et al.* aos grupos com maior N, e tendo em conta os cortes, verificou-se um  $R^2$  entre 0,031 no par de dentes 33/43 e 0,394 nos dentes 11/21. Estes valores são bastante mais baixos que os valores obtidos originalmente por Kvaal *et al.* No seu estudo, Kvaal adquiriu coeficientes de determinação entre 0,56 e 0,76, sendo estes mais elevados quando todos os dentes fossem contabilizados no modelo. (11)

Sharma *et al.* e Li *et al.* apresentaram  $R^2$  entre 0,011 e 0,198 e entre 0,01 e 0,23, respetivamente, sendo estes coeficientes ainda inferiores aos determinados neste estudo. (28,34)

Diversos são os artigos cujos coeficientes de determinação são mais elevados que os obtidos no nosso estudo. Mittal *et al.* obteve um  $R^2$  entre 0,240 e 0,453, ao passo que o maior  $R^2$  de Maini *et al.* foi de 0,517, defendendo os preditores estabelecidos por Kvaal *et al.* como os melhores. (30,32) Akay *et al.*, ao aplicar o método de Kvaal no corte coronal nos seus CBCT, obteve valores de  $R^2$  entre 0,162 e 0,550. (24)

Gopal *et al.*, na sua comparação de métodos em radiografias periapicais, apresentou os valores mais elevados para o método de Cameriere ( $R^2$  entre 0,833 e 0,935), sendo os valores de  $R^2$  pelo método de Kvaal também bastante elevados, entre 0,479 e 0,819. Assim, a ideia de que o método de Cameriere é mais fidedigno que Kvaal *et al.* é novamente suportada. (35)

Chandramala *et al.* foi o que apresentou resultados mais semelhantes aos nossos, com valores entre 0,014 e 0,385. (31)

Conclui-se assim, e com base nos valores de  $R^2$  apresentados, que as variáveis definidas por Kvaal não são suficientemente explicativas da idade para a nossa amostra, uma vez que não explicam uma percentagem suficiente da variação da idade cronológica.

Como esperado, o SEE mais pequeno encontra-se nos grupos com um  $R^2$  maior. Uma vez que a percentagem da variação da idade que não é explicável é mais pequena, os erros de estimação tendem a ser menores. O mesmo se verifica nos SEE maiores: quando o  $R^2$  é pequeno, existe uma grande parte da amostra que não é explicada pelo modelo definido, o que simboliza uma maior probabilidade de erros maiores. Li *et al.*, no seu estudo, apresentou SEE entre 11,4 e 12,9. (28)

Os SEE deste estudo variaram entre 10,632 e 13,878 anos, sendo estes superiores aos descritos na literatura. (30,35) Os nossos SEE foram ainda superiores ao intervalo definido por Solheim *et al.* como aceitável para aplicação forense (10 anos). (36)

## 5.7 Regressão linear

As restantes variáveis neste estudo foram analisadas segundo o modelo de regressão linear, através do método *backward*, por forma a definir quais as melhores variáveis a ser utilizadas para descrever a variável dependente (idade cronológica em anos).

Todos os modelos utilizados conseguem explicar parte da variação da idade, uma vez que o *p-value* é inferior a 0,05 no teste F em todos os casos (Tabela 8).

Tal como já referido anteriormente, e comparando os valores de  $R^2$  do estudo original com os valores determinados neste estudo (tanto para as variáveis preditoras de Kvaal, como para as novas variáveis) (Tabela 12), todos os valores originais se apresentaram superiores aos deste estudo (não só das variáveis M e Dif, mas também das novas variáveis estabelecidas).

No entanto, tendo em conta os coeficientes de determinação aqui definidos, o  $R^2$  das novas variáveis (entre 0,073 e 0,412) é superior ao obtido com os preditores definidos por Kvaal (0,031 a 0,394), o que indica uma maior representatividade da amostra com as novas variáveis.

A literatura existente vai de encontro aos nossos valores de  $R^2$ . Paewisnky *et al.*, na sua fórmula adaptada de Kvaal *et al.*, obteve um valor de  $R^2$  maior que o original, sendo este 0,839. (13) Em 2012, Kanchan-Talreja *et al.* e Erbudak *et al.* definiram novos preditores para as suas fórmulas de regressão linear, obtendo valores para  $R^2$  de 0,11 a 0,44 e de 0,035 a 0,345, respetivamente. (6,29) Roh *et al.* estipulou, para radiografias panorâmicas, um intervalo entre 0,14 e 0,49 para os coeficientes de determinação. (33)

No que concerne a estudos em CBCT, foram estudados não só o método de Kvaal *et al.*, como também o método de Cameriere *et al.* ou rácio de volume. Penaloza *et al.* aplicou o método de Kvaal *et al.*, obtendo valores de  $R^2$  entre 0,01 e 0,56. (23) É possível constatar que o limite inferior se encontra abaixo dos valores encontrados no nosso estudo, contudo, o valor mais alto de  $R^2$  é superior ao nosso. Ainda assim, são visíveis algumas semelhanças com os nossos valores. Yang *et al.* trabalhou um rácio de volume polpa/dente, onde o coeficiente apresentado foi inferior, com um valor de 0,29. (20) No que diz respeito aos dois artigos que aplicaram o método de Cameriere *et al.*, enquanto que Haghandifar *et al.* apresentou um  $R^2$  semelhante (entre 0,109 e 0,583), Afify *et al.* revelou valores bastante elevados, com um intervalo para  $R^2$  entre 0,687 e 0,919. (21,22)

No que diz respeito aos SEE (também apresentados na Tabela 12), os valores do estudo original foram os mais baixos. Relativamente aos SEE somente deste estudo, verifica-se o mesmo aquando a avaliação das variáveis de Kvaal *et al.*, vista anteriormente: os valores de SEE das novas variáveis foram inferiores aos SEE obtidos com as variáveis definidas por Kvaal *et al.* como preditores.

A literatura que determinou novas variáveis, com base no método de Kvaal *et al.*, apresentou toda valores superiores aos definidos por Solheim *et al.*, independentemente do exame radiológico analisado. (36) Kanchan-Talreja *et al.*, no seu estudo em periapicais, definiu um SEE entre 11 e 14 anos; Penaloza *et al.* apresentou valores entre 10,58 e 15,4 anos; Roh *et al.* estipulou valores de SEE entre 10,4 e 14,2, onde, naturalmente, os SEE menores coincidiam com maiores  $R^2$  e vice-versa. (6,23,33)

Os artigos que aplicaram o método de Cameriere *et al.* em CBCT foram os únicos que apresentaram SEE dentro do intervalo estabelecido por Solheim *et al.*: Haghandifar *et al.* estabeleceu um intervalo entre 7,1 e 10,5; Afify *et al.* apresentou os valores mais baixos, valores entre 4,76 e 8,1. (21,22)

**Tabela 12** - Tabela comparativa entre Kvaal *et al.* (11), as variáveis de Kvaal neste estudo e as novas variáveis

Dentes	$R^2$ Kvaal	$R^2$ Estudo Variáveis Kvaal	$R^2$ Estudo	SEE Kvaal	SEE Estudo Variáveis Kvaal	SEE Estudo
11/21C	0,7	0,145	0,183	9,5	12,637	12,548
11/21S		0,394	0,412		10,632	10,565
12/22C	0,67	0,114	0,231	10,0	13,411	12,743
12/22S		0,243	0,304		12,472	12,121
13/23C		0,169	0,170		12,601	12,592
13/23S		0,107	0,118		13,013	12,984
33/43C	0,56	0,031	0,073	11,5	13,878	13,650
33/43S		0,150	0,160		13,138	13,061

## **6. CONCLUSÕES**

### **6.1 Conclusões relativas aos objetivos principais**

Com base nos resultados obtidos, podemos retirar as seguintes conclusões relativamente às diversas hipóteses experimentais formuladas:

- Existem diferenças estatisticamente significativas entre a idade cronológica e a idade dentária dos indivíduos, estimada pelo método de proporção polpa/dente, com base em quaisquer dentes analisados neste estudo: quer estes sejam incisivos centrais, incisivos laterais ou caninos permanentes.

### **6.2 Conclusões relativas aos objetivos secundários**

No que diz respeito aos objetivos secundários, que passaram por averiguar a existência ou não de diferenças estatisticamente significativas entre os coeficientes de correlação calculados e os apresentados no artigo original de Kvaal, conclui-se que:

- Há diferenças estatisticamente significativas entre os coeficientes de correlação das variáveis explicativas definidas por Kvaal e os coeficientes de correlação das mesmas variáveis calculados neste estudo.

### **6.3 Regressão Linear**

Foi criada uma fórmula de regressão para um cálculo da estimativa de idade mais fidedigno com o método tridimensional, através da análise em CBCT das proporções da área dente/polpa. Contudo, sem aplicação prática pelos valores explicativos obtidos.

### **6.4 Conclusões gerais**

Os resultados deste estudo, bem como os apresentados noutros estudos, refutam os resultados apresentados por Kvaal, na população nórdica. Assim, o nosso estudo permite concluir que o método de Kvaal *et al.* não apresenta resultados reprodutíveis na população portuguesa. Deste modo, é importante referir a importância de mais estudos nesta área que apresentem um N maior e que possibilitem aumentar a evidência científica existente e contribuam para o progresso na Medicina Dentária Forense, no âmbito médico-legal.

## REFERÊNCIAS BIBLIOGRÁFICAS

1. Goldman AD. The scope of forensic dentistry. Outline of Forensic Dentistry, editor. Chicago: Yearbook Medical Publishers; 1982. 15–19 p.
2. Krishan K, Kanchan T, Garg AK. Dental Evidence in Forensic Identification – An Overview, Methodology and Present Status. Open Dent J. 2015;9(1):250–6.
3. Meinel A, Huber CD, Tangl S, Gruber GM, Teschler-Nicola M, Watzek G. Comparison of the validity of three dental methods for the estimation of age at death. Forensic Sci Int [Internet]. 2008 Jul;178(2–3):96–105. Available from: <https://linkinghub.elsevier.com/retrieve/pii/S0379073808000911>
4. Pretty IA, Sweet D. A look at forensic dentistry - Part 1: The role of teeth in the determination of human identity. Br Dent J. 2001;190(7):359–66.
5. Focardi M, Pinchi V, De Luca F, Norelli GA. Age estimation for forensic purposes in Italy: Ethical issues. Int J Legal Med. 2014;128(3):515–22.
6. Kanchan-Talreja P, Acharya AB, Naikmasur VG. An assessment of the versatility of Kvaal's method of adult dental age estimation in Indians. Arch Oral Biol [Internet]. 2012;57(3):277–84. Available from: <http://dx.doi.org/10.1016/j.archoralbio.2011.08.020>
7. Organização das Nações Unidas. Objetivo 16 - Paz, Justiça e Instituições Eficazes [Internet]. UNRIC. 2015. Available from: <https://www.unric.org/pt/ods-link-menu/31985-objetivo-16-paz-e-justica>
8. Pereira CP, Pereira Escobar C, Santos JC. Age Estimation of Unaccompanied Minors: A Portuguese Overview. Ann Forensic Res Anal [Internet]. 2015;2(1). Available from: <https://www.jscimedcentral.com/Forensic/forensic-2-1012.pdf>
9. Procuradoria-Geral Distrital de Lisboa. Concessão de asilo ou proteção subsidiária [Internet]. PGDLISBOA. 2014. Available from: [http://www.pgdlisboa.pt/leis/lei\\_mostra\\_articulado.php?nid=1584&tabela=leis](http://www.pgdlisboa.pt/leis/lei_mostra_articulado.php?nid=1584&tabela=leis)
10. Procuradoria-Geral Distrital de Lisboa. Lei de proteção de crianças e jovens em perigo [Internet]. PGDLISBOA. 2018. Available from: [http://www.pgdlisboa.pt/leis/lei\\_mostra\\_articulado.php?nid=545&tabela=leis](http://www.pgdlisboa.pt/leis/lei_mostra_articulado.php?nid=545&tabela=leis)



11. Kvaal SI, Kolltveit K, Thomsen I, Solheim T. Age estimation of adults from dental radiographs. *Forensic Sci Int.* 1995;74(3):175–85.
12. Cameriere R, Ferrante L, Cingolani M. Variations in Pulp/Tooth Area Ratio as an Indicator of Age: a Preliminary Study. *J Forensic Sci.* 2004;49(2):1–3.
13. Paewinsky E, Pfeiffer H, Brinkmann B. Quantification of secondary dentine formation from orthopantomograms - A contribution to forensic age estimation methods in adults. *Int J Legal Med.* 2005;119(1):27–30.
14. Bosmans N, Ann P, Aly M, Willems G. The application of Kvaal's dental age calculation technique on panoramic dental radiographs. *Forensic Sci Int.* 2005;153(2–3):208–12.
15. Meinel A, Tangl S, Pernicka E, Fenes C, Watzek G. On the applicability of secondary dentin formation to radiological age estimation in young adults. *J Forensic Sci.* 2007;52(2):438–41.
16. Landa MI, Garamendi PM, Botella MC, Alemán I. Application of the method of Kvaal et al. to digital orthopantomograms. *Int J Legal Med.* 2009;123(2):123–8.
17. Bang G. Age changes in teeth: developmental and regressive. In: Iscan M, editor. *Age markers in the human skeleton*. Springfield: CC Thomas; 1989. p. 211–35.
18. Woods MA, Robinson QC, Harris EF. Age-progressive changes in pulp widths and root lengths during adulthood: a study of American blacks and whites. *Gerodontology* [Internet]. 1990;9(2):41–50. Available from: <http://www.ncbi.nlm.nih.gov/pubmed/2133457>
19. Pinchi V, Pradella F, Buti J, Baldinotti C, Focardi M, Norelli GA. A new age estimation procedure based on the 3D CBCT study of the pulp cavity and hard tissues of the teeth for forensic purposes: A pilot study. *J Forensic Leg Med* [Internet]. 2015;36:150–7. Available from: <http://dx.doi.org/10.1016/j.jflm.2015.09.015>
20. Yang F, Jacobs R, Willems G. Dental age estimation through volume matching of teeth imaged by cone-beam CT. *Forensic Sci Int.* 2006;159(1):78–83.
21. Afify MM, Salem WS, Mahmoud NF. Age Estimation from Pulp / Tooth Area Ratio of Canines using Cone-Beam Computed Tomography Image Analysis: Study of an Egyptian Sample. *J Forensic Res.* 2019;10(1):1–7.

22. Haghanifar S, Ghobadi F, Vahdani N, Bijani A. Age estimation by pulp/tooth area ratio in anterior teeth using cone-beam computed tomography: comparison of four teeth. *J Appl Oral Sci* [Internet]. 2019;27:1–8. Available from: [http://www.scielo.br/scielo.php?script=sci\\_arttext&pid=S1678-77572019000100471&tlng=en](http://www.scielo.br/scielo.php?script=sci_arttext&pid=S1678-77572019000100471&tlng=en)
23. Marroquin Penaloza TY, Karkhanis S, Kvaal SI, Nurul F, Kanagasingam S, Franklin D, et al. Application of the Kvaal method for adult dental age estimation using Cone Beam Computed Tomography (CBCT). *J Forensic Leg Med* [Internet]. 2016;44:178–82. Available from: <http://dx.doi.org/10.1016/j.jflm.2016.10.013>
24. Akay G, Gungor K, Gurcan S. The applicability of Kvaal methods and pulp/tooth volume ratio for age estimation of the Turkish adult population on cone beam computed tomography images. *Aust J Forensic Sci* [Internet]. 2019;51(3):251–65. Available from: <http://doi.org/10.1080/00450618.2017.1356872>
25. Marôco J. *Análise Estatística com o SPSS Statistics*. 6th ed. Pêro Pinheiro: ReportNumber; 2014.
26. Fleiss J. *The Design and Analysis of Clinical Experiments*. New York: John Wiley Sons; 1986.
27. Willems G, Moulin-Romsee C, Solheim T. Non-destructive dental-age calculation methods in adults: Intra- and inter-observer effects. *Forensic Sci Int*. 2002;126(3):221–6.
28. Li M, Chu G, Han M, Chen T, Zhou H, Guo Y. Application of the Kvaal method for age estimation using digital panoramic radiography of Chinese individuals. *Forensic Sci Int* [Internet]. 2019 Aug;301:76–81. Available from: <https://linkinghub.elsevier.com/retrieve/pii/S0379073819302002>
29. Erbudak H özge, Özbek M, Uysal S, Karabulut E. Application of Kvaal et al.'s age estimation method to panoramic radiographs from Turkish individuals. *Forensic Sci Int*. 2012;219(1–3):141–6.
30. Mittal S, Nagendrareddy S, Sharma M, Agnihotri P, Chaudhary S, Dhillon M. Age estimation based on Kvaal's technique using digital panoramic radiographs. *J Forensic Dent Sci*. 2016;8(2):115.

31. Chandramala R, Sharma R, Khan M, Srivastava A. Application of Kvaal's Technique of Age Estimation on Digital Panoramic Radiographs. *Dentistry*. 2012;02(06):6–10.
32. Maini V, Kohli K, Aggarwal A, Aggarwal O. Forensic Age Estimation on Digital Panoramic Radiographs by Application of KVAALS Technique Central incisor , Maxillary Lateral incisor , Maxillary Second bicuspid Mandibular Lateral incisor , Mandibular Canine and Mandibular First bicuspid which are fr. *J Punjab Acad Forensic Med Toxicol*. 2017;17(1).
33. Roh B yoon, Lee WJ, Ryu JW, Ahn JM, Yoon CL, Lee SS. The application of the Kvaal method to estimate the age of live Korean subjects using digital panoramic radiographs. *Int J Legal Med* [Internet]. 2018;132(4):1161–6. Available from: <http://dx.doi.org/10.1007/s00414-017-1762-8>
34. Sharma R, Srivastava A. Radiographic evaluation of dental age of adults using Kvaal's method. *J Forensic Dent Sci* [Internet]. 2010;2(1):22. Available from: <http://www.jfds.org/text.asp?2010/2/1/22/71053>
35. Venu Gopal S, Krishnamurthy K, Chaudhari CP, Anupama P, Elampavai E. Assessment of Reliability of Width and Length Variables in Kvaal's and Cameriere's Methods of Age Estimation. *J Interdiscip Dent*. 2017;7(3):91.
36. Solheim T, Sundnes PK. Dental age estimation of Norwegian adults - A comparison of different methods. *Forensic Sci Int*. 1980;16(1):7–17.

## **ANEXOS**

### **Anexo 1 – Cartas de pedido de autorização**

I – Carta para o Diretor Clínico da Clínica Médica Dentária “Oralmente”

II – Carta para o Diretor Clínico da FMDUL

III – Carta para a Comissão de Ética para a Saúde da FMDUL

## I – Carta para o Diretor Clínico da Clínica Médica Dentária “Oralmente”

Exmo. Sr. Diretos Clínico da Clínica Médica Dentária *Oralmente*

Professor Doutor António Ginjeira

Lisboa, 17 de Outubro de 2018

Venho por este meio solicitar autorização para realizar um estudo intitulado ***“Estimativa de Idade pela proporção da área polpa/dente em Tomografia Computorizada de Feixe Cónico (CBCT): Aplicação Médico-Legal”***, sob a orientação da Professora Doutora Cristiana Palmela Pereira e do Professor Doutor Rui Santos.

O referido estudo investigará a aplicabilidade do método de Kvaal na estimativa da idade de uma amostra da população portuguesa, utilizando incisivos centrais e laterais, através da Tomografia Computorizada de Feixe Cónico (CBCT).

O estudo será realizado durante os próximos meses do ano letivo de 2018/2019 com recurso a exames de CBCT de pacientes submetidos a tratamento na Clínica Médica Dentária “Oralmente”.

Os dados necessários do processo clínico para a realização do estudo são o número de processo, idade, género, história clínica e data de realização do CBCT. Não serão recolhidos quaisquer outros dados identificativos dos pacientes.

Em anexo envia-se o protocolo do estudo.

Pede deferimento.

Com os melhores cumprimentos,

Adriana Costa Pires

(Adriana Costa Pires)

## II – Carta para o Diretor Clínico da FMDUL

Exmo. Sr. Diretor Clínico

da Faculdade de Medicina Dentária

da Universidade de Lisboa

Professor Doutor João Aquino Marques

Lisboa, 29 de Outubro de 2018

Venho por este meio solicitar autorização para realizar um estudo intitulado ***“Estimativa de Idade pela proporção da área polpa/dente em Tomografia Computorizada de Feixe Cónico (CBCT): Aplicação Médico-Legal”***, sob a orientação da Professora Doutora Cristiana Palmela Pereira e do Professor Doutor Rui Santos.

O referido estudo investigará a aplicabilidade do método de Kvaal na estimativa da idade de uma amostra da população portuguesa, utilizando incisivos centrais e laterais, através da Tomografia Computorizada de Feixe Cónico (CBCT).

O estudo será realizado durante os próximos meses do ano letivo de 2018/2019 com recurso a exames de CBCT de pacientes submetidos a tratamento na Clínica Médica Dentária “Oralmente” e na Clínica da Faculdade de Medicina Dentária da Universidade de Lisboa.

Os dados necessários do processo clínico para a realização do estudo são o número de processo, idade, género, história clínica e data de realização do CBCT. Não serão recolhidos quaisquer outros dados identificativos dos pacientes.

Em anexo envia-se o protocolo do estudo.

Pede deferimento.

Com os melhores cumprimentos,



(Adriana Costa Pires)

### III – Carta para a Comissão de Ética para a Saúde da FMDUL

Exmo. Sr. Presidente do Conselho Nacional de Ética para as Ciências da Vida

da Faculdade de Medicina Dentária

da Universidade de Lisboa

Professor Doutor João Aquino Marques

Lisboa, 17 de Outubro de 2018

Venho por este meio solicitar autorização para realizar um estudo intitulado ***“Estimativa de Idade pela proporção da área polpa/dente em Tomografia Computorizada de Feixe Cónico (CBCT): Aplicação Médico-Legal”***, sob a orientação da Professora Doutora Cristiana Palmela Pereira e do Professor Doutor Rui Santos.

O referido estudo investigará a aplicabilidade do método de Kvaal na estimativa da idade de uma amostra da população portuguesa, utilizando incisivos centrais e laterais, através da Tomografia Computorizada de Feixe Cónico (CBCT).

O estudo será realizado durante os próximos meses do ano letivo de 2018/2019 com recurso a exames de CBCT de pacientes submetidos a tratamento na Clínica Médica Dentária “Oralmente”.

Os dados necessários do processo clínico para a realização do estudo são o número de processo, idade, género, história clínica e data de realização do CBCT. Não serão recolhidos quaisquer outros dados identificativos dos pacientes.

Em anexo envia-se o protocolo do estudo.

Pede deferimento.

Com os melhores cumprimentos,

Adriana Costa Pires

(Adriana Costa Pires)

## Anexo 2 – Parecer da Comissão de Ética para a Saúde da FMDUL



### FACULDADE DE MEDICINA DENTÁRIA

### Comissão de Ética para a Saúde (CES-FMDUL)

#### PARECER

A Comissão de Ética para a Saúde da Faculdade de Medicina Dentária da Universidade de Lisboa (CES-FMDUL), apreciou o pedido de parecer para a realização de um estudo intitulado ***“Estimativa de Idade pela proporção da área polpa/dente em Tomografia Computorizada de Feixe Cónico (CBCT): Aplicação Médico-Legal”***, submetido pela estudante Adriana Costa Pires, tendo por orientadores os Professores Doutores Cristiana Palmela Pereira e Rui Santos e destinado ao trabalho final do curso de Mestrado Integrado em Medicina Dentária.

A CES-FMDUL deliberou e decidiu emitir **parecer favorável**.

Lisboa, 3 de dezembro 2018.

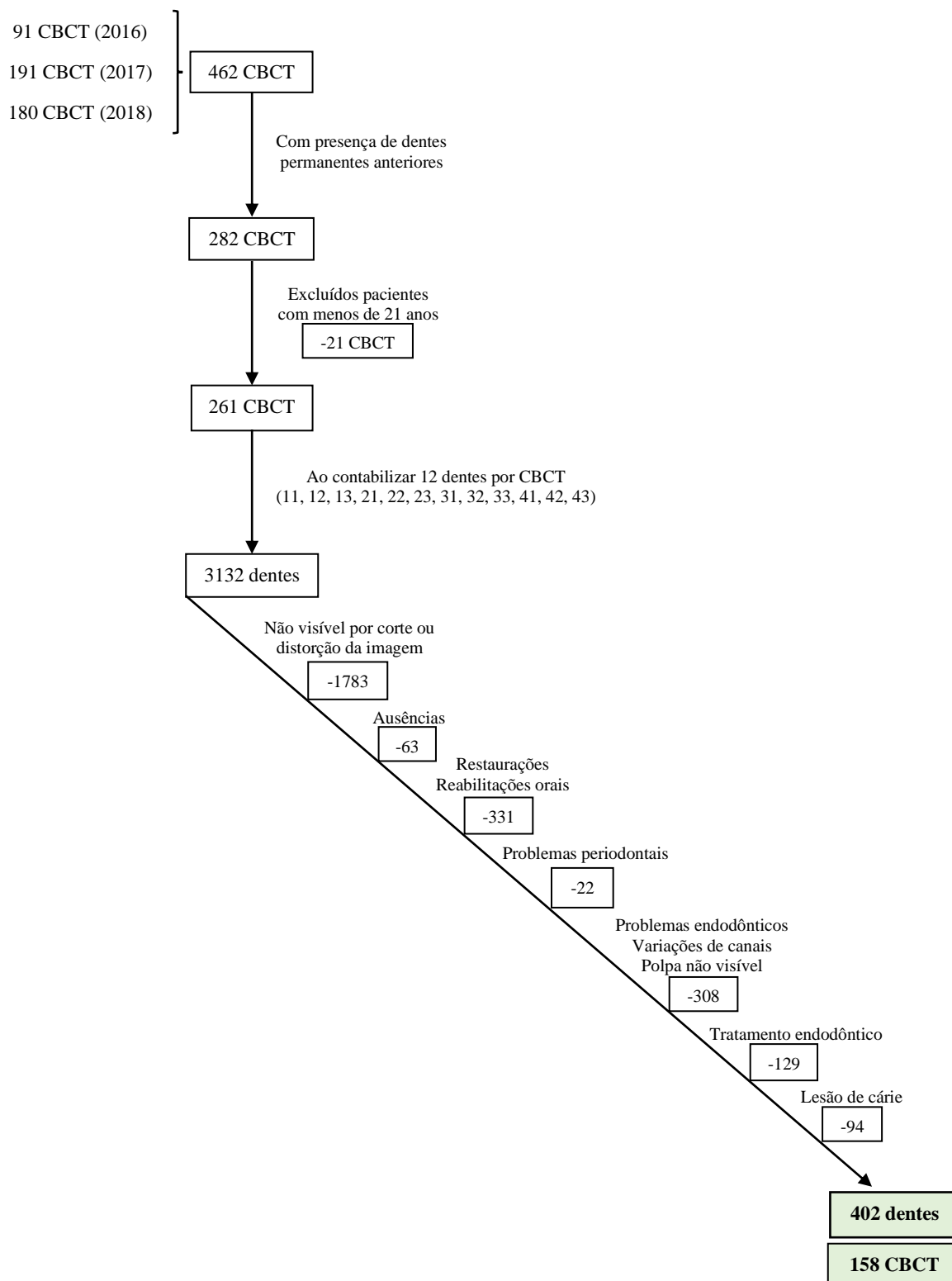
O presidente da CES-FMDUL.

(Professor Catedrático João Aquino)

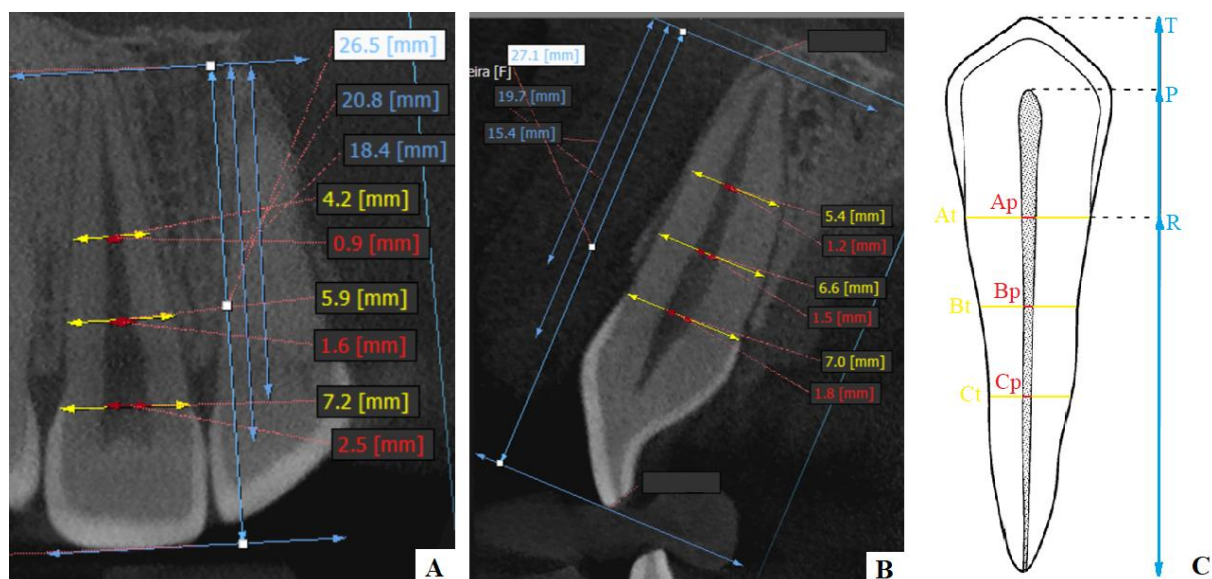


### Anexo 3 – Critérios de inclusão e exclusão

Ao utilizar o software *RayScan*® foi selecionado o intervalo de tempo de 01/01/2016 a 31/12/2018 e aplicado o filtro de exame radiológico “CBCT”.



#### Anexo 4 – Aplicação do método de *Kvaal* no *XelisDental*®



Representação das medições realizadas, com base no método de Kvaal. As imagens A e B representam as medições realizadas num dente 11, nos cortes coronal e sagital, respetivamente. A amarelo temos as larguras do dente, a vermelho as larguras da polpa e as restantes medidas a azul dizem respeito aos comprimentos. A imagem C apresenta um esquema representativo das medições realizadas, adaptado de Kvaal (10).

## Anexo 5 – Editor de SPSS

Amostra	Dente	GrupoDentes	Género	Idade	Idade_anos	C	C_T	C_P	C_R	C_RPC	C_RTC	C_RRC	At	C_Ap
1	11	1	0	333	27	2	26,50	20,80	18,40	1,13	1,44	0,78	7,20	2,50
1	22	3	0	333	27	2	24,80	19,10	17,90	1,07	1,39	0,77	5,20	1,50
1	12	3	0	333	27	2	24,80	19,00	16,80	1,13	1,48	0,77	4,80	1,40
1	23	5	0	333	27	0	24,80	17,20	16,30	1,06	1,52	0,69	5,80	1,10
2	21	1	1	727	60	1	22,60	12,10	14,90	0,81	1,52	0,54	6,80	2,20
2	11	1	1	727	60	1	22,20	14,70	14,70	1,00	1,51	0,66	6,60	1,60
2	22	3	1	727	60	1	23,80	16,40	17,60	0,93	1,35	0,69	4,60	1,30
2	33	6	1	727	60	1	22,90	15,80	17,00	0,93	1,35	0,69	6,10	1,30
2	43	6	1	727	60	1	23,40	14,80	17,30	0,86	1,35	0,63	5,80	1,40
3	13	5	1	530	44	1	23,60	18,10	15,90	1,14	1,48	0,77	6,00	1,40
4	23	5	0	511	42	2	27,10	20,90	19,00	1,10	1,43	0,77	5,40	1,20
5	12	3	1	511	42	2	24,10	18,90	16,50	1,15	1,46	0,78	5,80	2,10
6	23	5	1	558	46	2	23,30	17,50	15,10	1,16	1,54	0,75	6,00	1,30
7	32	4	1	677	56	2	22,30	15,20	14,70	1,03	1,52	0,68	4,20	0,90
7	42	4	1	677	56	2	20,80	14,10	13,50	1,04	1,54	0,68	4,10	0,80
7	33	6	1	677	56	2	25,30	20,50	17,00	1,21	1,49	0,81	5,50	0,90
7	43	6	1	677	56	2	24,90	19,40	15,60	1,24	1,60	0,78	5,40	1,10
8	23	5	0	834	69	2	24,40	18,50	17,60	1,05	1,39	0,76	5,10	0,90
9	13	5	0	802	66	2	25,10	20,20	18,10	1,12	1,39	0,80	5,20	0,70
10	11	1	0	574	47	1	21,20	13,40	13,40	1,00	1,58	0,63	6,40	2,10
11	13	5	0	687	57	0	23,70	17,60	17,30	1,02	1,37	0,74	5,10	1,20
12	11	1	0	574	47	2	21,10	14,90	13,10	1,14	1,61	0,71	6,60	1,80
13	23	5	1	795	66	2	26,90	20,40	18,50	1,10	1,45	0,76	5,50	1,30
14	11	1	0	441	36	2	23,50	17,10	15,20	1,13	1,55	0,73	6,10	1,50
14	12	3	0	441	36	2	21,60	16,10	14,90	1,08	1,45	0,75	4,40	1,10
15	23	5	1	626	52	0	24,10	17,00	16,70	1,02	1,44	0,71	5,70	0,90
15	33	6	1	626	52	2	23,60	15,10	15,50	0,97	1,52	0,64	5,20	0,70
15	43	6	1	626	52	1	23,60	14,60	15,60	0,94	1,51	0,62	5,40	0,80
16	43	6	0	697	58	1	25,80	13,30	18,90	0,70	1,37	0,52	6,00	1,30
17	22	3	1	275	22	2	23,60	17,00	16,70	1,02	1,41	0,72	5,00	1,60
17	12	3	1	275	22	1	23,50	15,80	16,90	0,93	1,39	0,67	5,20	1,90
17	13	5	1	275	22	2	28,80	23,80	20,20	1,18	1,43	0,83	5,70	1,30
17	23	5	1	275	22	2	28,50	23,10	20,40	1,13	1,40	0,81	5,90	1,10
17	33	6	1	275	22	1	27,10	19,90	20,20	0,99	1,34	0,73	5,80	1,10
17	43	6	1	275	22	1	26,70	18,60	18,70	0,99	1,43	0,70	5,70	1,10
18	32	4	0	769	64	2	20,80	17,20	15,90	1,08	1,31	0,83	4,10	0,60
18	33	6	0	769	64	2	22,20	16,50	15,80	1,04	1,41	0,74	4,50	0,60
19	33	6	0	498	41	0	24,80	18,90	16,90	1,12	1,47	0,76	4,90	0,80
20	13	5	0	295	24	1	26,50	14,60	18,80	0,78	1,41	0,55	5,10	1,20
20	33	6	0	295	24	1	22,30	15,70	15,40	1,02	1,45	0,70	3,90	0,90
21	21	1	0	673	56	2	22,50	17,10	14,50	1,18	1,55	0,76	6,20	1,40
21	13	5	0	673	56	2	25,80	19,40	18,40	1,05	1,40	0,75	5,30	0,80
22	21	1	1	484	40	2	22,90	17,90	15,20	1,18	1,51	0,78	6,20	1,80
22	12	3	1	484	40	2	22,30	17,10	15,30	1,12	1,46	0,77	4,80	1,30
22	23	5	1	484	40	1	28,40	21,70	18,40	1,18	1,54	0,76	7,20	2,20
22	13	5	1	484	40	2	26,70	21,10	18,10	1,17	1,48	0,79	5,80	1,00
23	13	5	0	495	41	2	25,50	20,50	17,90	1,15	1,42	0,80	5,40	1,00
24	13	5	0	328	27	2	23,60	17,50	15,40	1,14	1,53	0,74	4,70	1,30
25	33	6	1	593	49	1	25,50	17,00	18,90	0,90	1,35	0,67	4,70	1,30
25	43	6	1	593	49	2	24,90	19,20	18,10	1,06	1,38	0,77	4,90	1,60
26	33	6	0	839	69	1	22,90	13,10	15,00	0,87	1,53	0,57	4,60	0,80

Estimativa da Idade pela proporção da área polpa/dente em Tomografia Computorizada de Feixe Cônico (CBCT):  
Aplicação Médico-Legal

Amostra	Dente	GrupoDentes	Género	Idade	Idade_anos	C	C_T	C_P	C_R	C_RP	C_RTC	C_RRC	C_At	C_Ap
27	13	5	1	781	65	1	25,40	14,50	18,20	0,80	1,40	0,57	5,50	1,10
27	33	6	1	781	65	1	26,80	21,00	19,90	1,06	1,35	0,78	5,70	0,80
28	43	6	1	519	43	0	27,20	20,80	17,90	1,16	1,52	0,76	5,30	0,80
29	33	6	1	710	59	1	25,70	16,40	17,60	0,93	1,46	0,64	5,10	1,00
30	23	5	1	497	41	2	28,30	21,10	18,30	1,15	1,55	0,75	6,10	0,90
31	21	1	0	362	30	2	22,40	16,60	15,10	1,10	1,48	0,74	6,20	2,30
31	12	3	0	362	30	2	21,00	17,30	14,20	1,22	1,48	0,82	4,60	1,40
31	22	3	0	362	30	2	20,40	16,00	14,30	1,12	1,43	0,78	4,70	1,30
31	13	5	0	362	30	2	23,60	18,30	16,80	1,09	1,40	0,78	4,80	0,60
31	23	5	0	362	30	2	24,00	19,90	17,00	1,17	1,41	0,83	5,10	0,70
32	22	3	0	551	45	1	23,10	11,80	15,60	0,76	1,48	0,51	4,40	1,20
32	43	6	0	551	45	1	25,10	13,30	17,60	0,76	1,43	0,53	5,00	1,20
33	13	5	1	560	46	0	28,20	20,00	19,80	1,01	1,42	0,71	6,40	1,00
34	22	3	1	515	42	2	23,50	17,80	14,80	1,20	1,59	0,76	4,70	1,30
34	23	5	1	515	42	0	25,60	19,00	17,80	1,07	1,44	0,74	5,90	0,70
35	33	6	1	659	54	1	24,40	14,60	17,70	0,82	1,38	0,60	5,50	1,20
36	22	3	1	302	25	2	23,80	19,40	16,00	1,21	1,49	0,82	4,80	0,90
36	23	5	1	302	25	2	30,80	26,60	20,60	1,29	1,50	0,86	6,60	1,30
36	13	5	1	302	25	2	29,40	24,20	20,30	1,19	1,45	0,82	6,30	1,20
37	21	1	0	280	23	0	21,00	14,40	13,10	1,10	1,60	0,69	6,00	1,50
37	11	1	0	280	23	2	21,30	16,40	13,30	1,23	1,60	0,77	6,30	1,70
37	22	3	0	280	23	2	21,50	17,50	14,50	1,21	1,48	0,81	4,90	1,30
37	12	3	0	280	23	2	21,50	17,40	14,20	1,23	1,51	0,81	4,80	1,50
37	13	5	0	280	23	2	26,40	21,10	18,50	1,14	1,43	0,80	5,10	1,00
38	11	1	0	322	26	0	20,10	12,50	11,80	1,06	1,70	0,62	6,10	1,70
38	21	1	0	322	26	0	23,70	15,30	14,90	1,03	1,59	0,65	6,10	1,80
38	12	3	0	322	26	2	22,90	18,70	15,80	1,18	1,45	0,82	4,70	1,20
38	13	5	0	322	26	2	24,80	19,50	17,00	1,15	1,46	0,79	5,20	0,90
38	23	5	0	322	26	2	25,50	19,80	17,80	1,11	1,43	0,78	5,40	0,80
39	11	1	0	648	54	1	23,10	11,30	13,90	0,81	1,66	0,49	5,90	2,00
40	33	6	0	769	64	1	23,50	12,80	16,50	0,78	1,42	0,54	5,10	1,20
40	43	6	0	769	64	1	23,10	13,10	15,40	0,85	1,50	0,57	5,20	1,00
41	11	1	0	717	59	1	23,80	13,70	15,90	0,86	1,50	0,58	5,90	2,00
42	23	5	1	700	58	1	23,80	11,80	15,70	0,75	1,52	0,50	4,10	1,20
43	33	6	1	514	42	1	27,90	19,20	17,10	1,12	1,63	0,69	5,40	1,20
43	43	6	1	514	42	1	27,50	18,50	18,00	1,03	1,53	0,67	5,60	1,00
44	23	5	0	558	46	1	24,90	16,20	16,30	0,99	1,53	0,65	5,90	1,10
44	33	6	0	558	46	1	26,90	17,50	16,60	1,05	1,62	0,65	4,90	0,90
44	43	6	0	558	46	1	26,10	17,50	16,50	1,06	1,58	0,67	4,50	1,00
45	21	1	0	501	41	2	22,00	16,40	14,10	1,16	1,56	0,75	5,20	1,70
45	31	2	0	501	41	1	18,80	8,00	13,10	0,61	1,44	0,43	3,00	1,00
45	12	3	0	501	41	1	21,20	9,10	14,40	0,63	1,47	0,43	4,30	0,90
45	22	3	0	501	41	1	21,00	10,60	13,70	0,77	1,53	0,50	3,80	1,30
45	32	4	0	501	41	1	18,60	8,90	11,90	0,75	1,56	0,48	3,10	1,10
45	13	5	0	501	41	1	24,20	10,40	16,30	0,64	1,48	0,43	5,10	1,40
45	33	6	0	501	41	1	23,10	14,50	16,00	0,91	1,44	0,63	4,70	0,90
45	43	6	0	501	41	1	24,10	15,20	16,80	0,90	1,43	0,63	4,70	1,50
46	31	2	0	300	25	1	20,50	11,20	14,00	0,80	1,46	0,55	3,30	1,00
46	41	2	0	300	25	1	19,60	10,80	13,10	0,82	1,50	0,55	3,20	1,10
46	22	3	0	300	25	1	21,10	12,80	14,30	0,90	1,48	0,61	4,50	1,50
46	42	4	0	300	25	1	20,60	12,40	13,20	0,94	1,56	0,60	3,20	1,20

Estimativa da Idade pela proporção da área polpa/dente em Tomografia Computorizada de Feixe Cônico (CBCT):  
Aplicação Médico-Legal

Amostra	Dente	GrupoDentes	Género	Idade	Idade_anos	C	C_T	C_P	C_R	C_RP	C_RT	C_RRC	C_At	C_Ap
46	32	4	0	300	25	1	20,30	12,80	13,30	0,96	1,53	0,63	3,20	1,10
46	13	5	0	300	25	1	26,40	16,10	18,30	0,88	1,44	0,61	4,80	1,30
46	23	5	0	300	25	2	26,40	21,60	19,00	1,14	1,39	0,82	4,80	1,20
46	43	6	0	300	25	1	24,00	17,20	17,10	1,01	1,40	0,72	4,00	1,60
46	33	6	0	300	25	1	24,90	16,30	17,50	0,93	1,42	0,65	4,00	1,40
47	13	5	0	391	32	2	26,30	19,00	16,40	1,16	1,60	0,72	5,50	1,00
48	13	5	1	471	39	2	24,70	18,20	15,40	1,18	1,60	0,74	5,50	1,10
48	23	5	1	471	39	2	25,10	19,10	16,60	1,15	1,51	0,76	5,70	1,00
49	13	5	0	862	71	2	23,40	18,60	15,90	1,17	1,47	0,79	4,80	0,90
50	33	6	0	937	78	1	22,40	13,20	15,10	0,87	1,48	0,59	3,90	0,60
51	11	1	1	738	61	2	24,10	18,10	16,70	1,08	1,44	0,75	6,90	2,60
51	12	3	1	738	61	2	23,00	17,90	16,90	1,06	1,36	0,78	4,80	1,60
52	11	1	0	482	40	2	22,30	17,40	14,10	1,23	1,58	0,78	6,00	1,90
52	13	5	0	482	40	2	25,50	20,60	17,40	1,18	1,47	0,81	5,40	0,90
53	12	3	0	461	38	2	19,50	15,10	12,60	1,20	1,55	0,77	4,90	1,40
54	43	6	0	803	66	1	23,60	8,80	14,60	0,60	1,62	0,37	4,80	0,70
54	33	6	0	803	66	1	23,00	8,60	14,50	0,59	1,59	0,37	5,00	0,90
55	13	5	0	753	62	2	24,50	17,80	16,70	1,07	1,47	0,73	4,90	0,90
56	21	1	0	684	57	1	21,20	12,80	13,80	0,93	1,54	0,60	5,80	2,30
56	33	6	0	684	57	1	18,80	14,30	11,50	1,24	1,63	0,76	4,30	1,30
56	43	6	0	684	57	1	20,90	12,20	12,50	0,98	1,67	0,58	4,70	1,60
57	11	1	0	554	46	1	24,20	15,60	16,70	0,93	1,45	0,64	5,90	1,90
57	21	1	0	554	46	2	23,90	16,60	15,40	1,08	1,55	0,69	5,70	2,10
57	31	2	0	554	46	1	21,10	9,00	14,70	0,61	1,44	0,43	3,10	1,00
57	12	3	0	554	46	1	25,40	13,20	17,90	0,74	1,42	0,52	4,30	1,20
57	22	3	0	554	46	1	22,50	13,70	15,60	0,88	1,44	0,61	4,40	1,60
57	32	4	0	554	46	1	23,90	14,40	16,80	0,86	1,42	0,60	3,30	1,30
57	42	4	0	554	46	1	23,60	14,30	15,80	0,91	1,49	0,61	3,60	1,30
57	13	5	0	554	46	1	30,00	18,40	21,80	0,84	1,38	0,61	5,00	1,20
57	23	5	0	554	46	1	26,50	17,10	19,00	0,90	1,39	0,65	4,90	1,60
57	33	6	0	554	46	1	26,70	16,60	19,10	0,87	1,40	0,62	4,00	1,40
57	43	6	0	554	46	1	25,70	16,50	17,50	0,94	1,47	0,64	3,90	1,30
58	11	1	1	342	28	2	27,30	19,30	19,00	1,02	1,44	0,71	7,90	3,10
58	12	3	1	342	28	2	27,70	21,00	18,80	1,12	1,47	0,76	5,70	1,70
58	23	5	1	342	28	2	33,10	26,40	23,80	1,11	1,39	0,80	6,30	1,10
59	12	3	1	840	70	1	22,00	13,00	14,00	0,93	1,57	0,59	5,00	0,70
59	13	5	1	840	70	1	26,00	19,80	18,00	1,10	1,44	0,76	5,70	0,90
59	23	5	1	840	70	2	26,80	21,50	18,00	1,19	1,49	0,80	4,40	1,60
59	43	6	1	840	70	2	25,60	18,10	16,90	1,07	1,51	0,71	5,30	1,10
60	21	1	1	359	29	0	21,40	14,60	15,50	0,94	1,38	0,68	6,90	2,60
60	11	1	1	359	29	2	21,20	15,70	13,90	1,13	1,53	0,74	6,50	2,70
60	12	3	1	359	29	2	19,00	14,50	12,40	1,17	1,53	0,76	5,00	1,80
60	13	5	1	359	29	2	23,80	18,80	16,90	1,11	1,41	0,79	5,80	1,30
60	23	5	1	359	29	2	25,20	17,80	17,10	1,04	1,47	0,71	6,00	1,00
61	32	4	1	559	46	1	23,10	12,40	15,70	0,79	1,47	0,54	4,10	0,90
61	42	4	1	559	46	2	21,50	15,00	14,00	1,07	1,54	0,70	3,90	0,90
61	23	5	1	559	46	2	27,50	21,50	19,30	1,11	1,42	0,78	5,70	1,20
61	33	6	1	559	46	2	26,70	20,90	18,00	1,16	1,48	0,78	5,00	1,70
61	43	6	1	559	46	2	26,40	20,40	17,60	1,16	1,50	0,77	5,20	1,10
62	13	5	0	302	25	2	29,10	23,50	19,10	1,23	1,52	0,81	6,00	1,40
63	33	6	0	795	66	2	24,80	20,20	16,60	1,22	1,49	0,81	5,10	0,60

Estimativa da Idade pela proporção da área polpa/dente em Tomografia Computorizada de Feixe Cônico (CBCT):  
Aplicação Médico-Legal

Amostra	Dente	GrupoDentes	Género	Idade	Idade_anos	C	C_T	C_P	C_R	C_RPC	C_RTC	C_RRC	C_At	C_Ap
64	12	3	0	435	36	2	21,20	16,60	13,20	1,26	1,61	0,78	5,60	2,00
64	13	5	0	435	36	2	22,50	18,50	14,70	1,26	1,53	0,82	5,50	0,80
65	13	5	0	411	34	0	28,10	21,80	19,80	1,10	1,42	0,78	5,60	1,00
66	22	3	1	479	39	2	23,90	16,70	16,10	1,04	1,48	0,70	4,80	1,10
66	23	5	1	479	39	2	27,80	22,80	19,90	1,15	1,40	0,82	5,90	1,20
67	13	5	0	538	44	2	26,40	21,30	18,40	1,16	1,43	0,81	5,30	1,50
68	43	6	0	671	55	1	21,30	11,70	13,90	0,84	1,53	0,55	4,50	1,10
68	33	6	0	671	55	1	20,70	11,90	12,90	0,92	1,60	0,57	4,20	1,30
69	23	5	0	780	65	2	21,00	14,40	14,10	1,02	1,49	0,69	4,70	1,00
70	11	1	0	545	45	2	18,10	12,30	9,40	1,31	1,93	0,68	6,30	2,10
70	32	4	0	545	45	1	20,20	11,10	13,90	0,80	1,45	0,55	3,90	1,30
70	42	4	0	545	45	1	20,80	12,10	14,10	0,86	1,48	0,58	3,90	1,10
70	13	5	0	545	45	1	23,40	15,80	14,80	1,07	1,58	0,68	5,40	1,30
70	33	6	0	545	45	1	19,00	14,10	10,80	1,31	1,76	0,74	5,00	1,20
71	13	5	0	494	41	2	21,70	16,50	15,10	1,09	1,44	0,76	4,60	1,10
72	33	6	1	573	47	2	27,80	21,00	18,30	1,15	1,52	0,76	5,50	1,20
72	43	6	1	573	47	2	27,10	20,90	17,00	1,23	1,59	0,77	5,40	1,30
73	11	1	1	512	42	2	24,10	18,00	15,10	1,19	1,60	0,75	6,70	2,40
73	12	3	1	512	42	2	24,10	18,40	17,00	1,08	1,42	0,76	5,10	1,10
73	13	5	1	512	42	0	29,30	21,80	21,20	1,03	1,38	0,74	5,60	1,60
73	23	5	1	512	42	0	27,90	20,00	19,30	1,04	1,45	0,72	5,70	1,20
74	43	6	0	372	31	2	26,40	21,50	18,10	1,19	1,46	0,81	4,80	0,80
75	11	1	0	504	42	0	23,90	17,00	14,90	1,14	1,60	0,71	6,30	2,20
75	21	1	0	504	42	2	22,20	17,20	14,60	1,18	1,52	0,77	6,60	2,20
75	23	5	0	504	42	2	24,90	18,70	15,50	1,21	1,61	0,75	5,70	1,30
75	13	5	0	504	42	2	26,70	20,50	17,20	1,19	1,55	0,77	5,70	1,20
76	12	3	1	822	68	2	25,60	18,00	17,30	1,04	1,48	0,70	5,30	0,80
76	22	3	1	822	68	2	26,00	18,40	17,30	1,06	1,50	0,71	5,40	1,00
76	23	5	1	822	68	0	29,40	21,40	20,40	1,05	1,44	0,73	6,30	1,30
76	13	5	1	822	68	2	30,30	22,20	21,00	1,06	1,44	0,73	6,30	0,90
77	11	1	1	434	36	2	24,20	20,00	15,80	1,27	1,53	0,83	6,50	1,90
77	12	3	1	434	36	2	20,50	16,10	15,30	1,05	1,34	0,79	5,10	1,30
78	13	5	0	466	38	2	25,80	20,00	18,60	1,08	1,39	0,78	5,50	1,20
79	33	6	0	581	48	1	23,10	9,60	14,70	0,65	1,57	0,42	4,40	0,60
80	33	6	0	904	75	2	23,10	19,20	15,90	1,21	1,45	0,83	4,50	0,90
81	23	5	0	460	38	1	27,60	21,20	19,50	1,09	1,42	0,77	5,20	0,80
82	23	5	1	524	43	2	28,80	23,10	20,40	1,13	1,41	0,80	5,90	0,90
83	21	1	0	590	49	2	21,10	15,30	13,10	1,17	1,61	0,73	5,40	1,60
83	11	1	0	590	49	0	22,20	14,60	13,40	1,09	1,66	0,66	5,80	1,60
84	12	3	1	623	51	2	22,60	15,10	14,30	1,06	1,58	0,67	5,10	0,80
84	33	6	1	623	51	2	26,70	18,00	18,20	0,99	1,47	0,67	5,70	0,70
84	43	6	1	623	51	2	26,50	19,30	19,10	1,01	1,39	0,73	5,90	0,70
85	13	5	0	629	52	2	28,20	21,50	19,90	1,08	1,42	0,76	5,20	1,00
86	11	1	1	275	22	2	26,60	19,40	15,50	1,25	1,72	0,73	6,30	3,10
86	21	1	1	275	22	2	27,00	21,40	17,40	1,23	1,55	0,79	6,50	2,80
86	31	2	1	275	22	1	21,80	14,70	14,60	1,01	1,49	0,67	3,60	1,50
86	41	2	1	275	22	1	23,60	15,30	15,70	0,97	1,50	0,65	3,60	1,30
86	22	3	1	275	22	2	24,30	20,40	17,50	1,17	1,39	0,84	4,60	1,60
86	12	3	1	275	22	2	25,00	19,80	15,70	1,26	1,59	0,79	4,80	2,20
86	32	4	1	275	22	1	25,40	17,60	17,50	1,01	1,45	0,69	3,80	1,20
86	42	4	1	275	22	1	24,50	15,10	16,30	0,93	1,50	0,62	3,50	1,20

Estimativa da Idade pela proporção da área polpa/dente em Tomografia Computorizada de Feixe Cônico (CBCT):  
Aplicação Médico-Legal

Amostra	Dente	GrupoDentes	Gênero	Idade	Idade_anos	C	C_T	C_P	C_R	C_RP	C_RTC	C_RRC	C_At	C_Ap
86	13	5	1	275	22	2	31,00	24,80	21,20	1,17	1,46	0,80	6,20	1,60
86	23	5	1	275	22	2	31,30	23,60	21,40	1,10	1,46	0,75	5,90	1,10
86	43	6	1	275	22	1	30,30	22,60	20,50	1,10	1,48	0,75	5,70	1,60
86	33	6	1	275	22	2	31,10	23,30	20,50	1,14	1,52	0,75	5,30	1,10
87	13	5	0	814	67	2	22,90	17,50	15,90	1,10	1,44	0,76	5,30	0,70
88	12	3	1	452	37	2	21,50	16,00	15,40	1,04	1,40	0,74	4,40	0,60
88	23	5	1	452	37	2	26,30	19,70	17,80	1,11	1,48	0,75	5,80	1,00
88	13	5	1	452	37	2	29,30	24,00	21,70	1,11	1,35	0,82	5,70	1,10
89	11	1	1	485	40	2	24,10	19,00	14,50	1,31	1,66	0,79	7,20	2,30
89	12	3	1	485	40	2	22,40	17,60	14,50	1,21	1,54	0,79	5,50	1,40
89	22	3	1	485	40	2	20,90	16,60	13,30	1,25	1,57	0,79	5,60	1,50
89	13	5	1	485	40	2	24,10	18,70	14,90	1,26	1,62	0,78	5,90	1,10
89	23	5	1	485	40	2	24,40	20,30	16,00	1,27	1,53	0,83	6,20	0,90
90	13	5	1	587	48	1	25,20	10,90	17,50	0,62	1,44	0,43	5,60	1,40
90	23	5	1	587	48	1	26,50	11,60	18,40	0,63	1,44	0,44	5,50	1,10
90	33	6	1	587	48	1	26,00	10,60	17,50	0,61	1,49	0,41	5,40	1,20
90	43	6	1	587	48	1	25,40	12,60	17,20	0,73	1,48	0,50	5,80	1,30
91	41	2	1	424	35	1	20,70	13,40	14,30	0,94	1,45	0,65	3,30	0,60
91	43	6	1	424	35	2	26,20	20,50	18,60	1,10	1,41	0,78	4,70	0,70
91	33	6	1	424	35	2	27,40	23,20	19,80	1,17	1,38	0,85	4,90	0,70
92	13	5	0	249	20	2	25,80	19,30	18,20	1,06	1,42	0,75	5,30	1,10
93	33	6	0	286	23	2	24,70	20,40	15,40	1,32	1,60	0,83	5,30	0,80
94	22	3	0	396	33	2	23,40	18,40	16,80	1,10	1,39	0,79	5,40	1,80
94	23	5	0	396	33	0	26,90	20,60	18,10	1,14	1,49	0,77	5,40	1,20
95	13	5	1	512	42	2	29,50	24,20	22,70	1,07	1,30	0,82	5,60	1,30
96	12	3	0	615	51	0	19,30	13,60	12,90	1,05	1,50	0,70	5,30	1,10
97	12	3	0	785	65	1	19,80	9,80	13,80	0,71	1,43	0,49	4,30	1,20
97	13	5	0	785	65	1	19,30	8,70	12,70	0,69	1,52	0,45	4,60	1,10
97	33	6	0	785	65	1	20,10	13,80	13,60	1,01	1,48	0,69	4,10	1,10
97	43	6	0	785	65	1	18,90	10,20	12,30	0,83	1,54	0,54	4,20	0,90
98	23	5	0	522	43	0	25,50	17,10	17,80	0,96	1,43	0,67	5,80	1,50
99	11	1	0	367	30	1	23,60	14,40	15,00	0,96	1,57	0,61	5,70	2,60
99	21	1	0	367	30	1	23,80	12,60	15,30	0,82	1,56	0,53	5,50	2,20
99	22	3	0	367	30	1	21,50	14,50	14,30	1,01	1,50	0,67	3,90	1,40
99	12	3	0	367	30	1	20,50	9,60	13,10	0,73	1,56	0,47	4,40	1,60
99	13	5	0	367	30	1	24,40	14,60	16,10	0,91	1,52	0,60	5,20	1,50
99	23	5	0	367	30	1	24,50	15,00	16,50	0,91	1,48	0,61	5,10	1,60
99	33	6	0	367	30	1	24,60	16,90	16,20	1,04	1,52	0,69	4,40	1,60
99	43	6	0	367	30	1	24,80	16,00	16,30	0,98	1,52	0,65	4,30	1,20
100	32	4	0	716	59	1	20,80	8,80	12,50	0,70	1,66	0,42	3,50	0,90
100	42	4	0	716	59	2	20,10	12,50	12,50	1,00	1,61	0,62	3,50	0,40
100	33	6	0	716	59	2	23,80	18,10	15,60	1,16	1,53	0,76	4,90	1,20
100	43	6	0	716	59	2	23,50	17,20	15,80	1,09	1,49	0,73	4,80	0,70
101	22	3	0	727	60	2	18,30	13,40	12,40	1,08	1,48	0,73	4,50	1,00
101	23	5	0	727	60	0	21,10	14,40	13,90	1,04	1,52	0,68	5,50	1,30
101	13	5	0	727	60	1	21,20	15,10	14,70	1,03	1,44	0,71	5,10	1,30
102	11	1	0	427	35	2	22,40	17,10	14,00	1,22	1,60	0,76	6,30	2,10
102	21	1	0	427	35	2	23,10	17,90	15,10	1,19	1,53	0,77	6,50	2,40
102	12	3	0	427	35	2	21,60	17,50	14,20	1,23	1,52	0,81	4,80	1,60
102	23	5	0	427	35	2	26,30	20,40	18,10	1,13	1,45	0,78	5,40	1,10
102	13	5	0	427	35	2	27,40	22,60	18,70	1,21	1,47	0,82	5,20	1,00

Estimativa da Idade pela proporção da área polpa/dente em Tomografia Computorizada de Feixe Cônico (CBCT):  
Aplicação Médico-Legal

Amostra	Dente	GrupoDentes	Género	Idade	Idade_anos	C	C_T	C_P	C_R	C_RP	C_RT	C_RR	C_At	C_Ap
103	12	3	0	612	51	2	22,80	18,20	15,70	1,16	1,45	0,80	4,50	1,00
104	13	5	0	546	45	2	26,30	21,10	18,20	1,16	1,45	0,80	5,60	1,60
105	13	5	0	471	39	2	25,80	19,80	18,30	1,08	1,41	0,77	5,60	1,00
105	23	5	0	471	39	2	25,80	20,20	18,20	1,11	1,42	0,78	5,50	0,80
106	43	6	0	469	39	0	23,90	17,40	15,60	1,12	1,53	0,73	4,60	0,50
107	13	5	0	692	57	1	26,90	20,50	18,40	1,11	1,46	0,76	5,30	1,10
108	11	1	1	556	46	2	22,60	15,30	13,70	1,12	1,65	0,68	6,70	2,50
108	22	3	1	556	46	0	21,10	15,30	14,20	1,08	1,49	0,73	5,20	1,80
108	12	3	1	556	46	2	21,90	16,50	14,00	1,18	1,56	0,75	5,30	1,80
108	13	5	1	556	46	2	25,00	19,30	16,40	1,18	1,52	0,77	6,20	1,40
108	23	5	1	556	46	2	24,80	19,60	16,70	1,17	1,49	0,79	6,00	1,50
109	11	1	1	805	67	2	21,30	13,10	12,70	1,03	1,68	0,62	6,60	3,00
109	21	1	1	805	67	2	21,40	14,10	12,70	1,11	1,69	0,66	7,10	2,90
109	12	3	1	805	67	2	23,30	16,30	15,00	1,09	1,55	0,70	5,10	1,60
109	43	6	1	805	67	2	25,20	17,30	16,70	1,04	1,51	0,69	4,90	1,70
110	13	5	0	538	44	2	25,20	21,00	17,90	1,17	1,41	0,83	5,30	0,90
111	33	6	0	740	61	0	27,50	19,40	18,40	1,05	1,49	0,71	4,60	0,80
111	43	6	0	740	61	0	26,10	19,00	16,70	1,14	1,56	0,73	4,90	0,90
112	11	1	0	671	55	2	21,60	13,90	13,70	1,01	1,58	0,64	5,80	2,10
112	21	1	0	671	55	2	21,70	13,50	14,00	0,96	1,55	0,62	5,80	2,20
112	12	3	0	671	55	0	20,00	13,00	13,10	0,99	1,53	0,65	4,50	1,30
112	13	5	0	671	55	1	24,90	17,80	16,60	1,07	1,50	0,71	5,10	0,80
112	23	5	0	671	55	1	25,20	18,50	17,30	1,07	1,46	0,73	5,60	1,00
113	21	1	1	283	23	2	27,70	23,10	18,60	1,24	1,49	0,83	6,80	2,30
113	22	3	1	283	23	2	24,80	20,40	17,80	1,15	1,39	0,82	5,40	1,60
113	23	5	1	283	23	2	28,80	23,90	20,80	1,15	1,38	0,83	5,80	1,20
114	33	6	1	809	67	2	24,00	18,30	15,70	1,17	1,53	0,76	5,60	1,10
114	43	6	1	809	67	2	25,60	20,40	16,40	1,24	1,56	0,80	5,80	1,50
115	43	6	1	605	50	2	26,80	18,60	17,60	1,06	1,52	0,69	5,30	1,00
116	13	5	0	651	54	2	23,90	19,10	15,40	1,24	1,55	0,80	5,30	1,00
117	12	3	0	262	21	2	22,60	19,40	15,50	1,25	1,46	0,86	4,60	1,30
118	11	1	0	719	59	2	23,80	15,50	13,70	1,13	1,74	0,65	5,60	2,20
118	21	1	0	719	59	2	23,20	16,60	14,90	1,11	1,56	0,72	6,20	2,70
118	12	3	0	719	59	2	22,70	15,80	15,30	1,03	1,48	0,70	5,20	0,80
118	22	3	0	719	59	2	22,60	16,00	14,30	1,12	1,58	0,71	5,00	2,00
118	32	4	0	719	59	1	21,30	14,40	14,30	1,01	1,49	0,68	3,80	0,80
118	42	4	0	719	59	1	21,90	14,30	14,30	1,00	1,53	0,65	3,90	0,70
118	13	5	0	719	59	2	24,50	18,70	15,90	1,18	1,54	0,76	6,00	1,50
118	23	5	0	719	59	2	24,20	19,00	15,70	1,21	1,54	0,79	5,90	1,20
118	33	6	0	719	59	2	23,90	18,80	15,80	1,19	1,51	0,79	5,00	0,80
118	43	6	0	719	59	2	24,40	18,70	15,70	1,19	1,55	0,77	5,20	1,10
119	12	3	0	498	41	0	21,60	15,50	15,40	1,01	1,40	0,72	5,10	1,50
119	22	3	0	498	41	2	22,10	17,40	15,80	1,10	1,40	0,79	5,60	1,90
120	13	5	0	859	71	2	24,60	18,90	17,40	1,09	1,41	0,77	5,20	0,90
121	11	1	1	522	43	2	24,90	19,80	15,50	1,28	1,61	0,80	6,50	2,10
121	12	3	1	522	43	2	24,00	18,10	16,80	1,08	1,43	0,75	5,00	1,10
121	22	3	1	522	43	2	23,10	18,00	16,30	1,10	1,42	0,78	4,70	1,20
121	23	5	1	522	43	0	28,20	20,50	19,50	1,05	1,45	0,73	5,90	1,30
121	13	5	1	522	43	0	29,20	21,80	21,10	1,03	1,38	0,75	5,80	1,20
122	12	3	1	595	49	2	22,20	17,30	14,80	1,17	1,50	0,78	4,70	1,10
122	22	3	1	595	49	2	21,90	16,20	14,80	1,09	1,48	0,74	4,60	1,10



Estimativa da Idade pela proporção da área polpa/dente em Tomografia Computorizada de Feixe Cônico (CBCT):  
Aplicação Médico-Legal

Amostra	Dente	GrupoDentes	Género	Idade	Idade_anos	C	C_T	C_P	C_R	C_RP	C_RT	C_RR	C_At	C_Ap
122	13	5	1	595	49	2	25,30	18,30	16,80	1,09	1,51	0,72	6,10	1,10
122	23	5	1	595	49	2	26,80	19,70	18,50	1,06	1,45	0,74	5,80	1,20
123	11	1	0	647	53	2	22,80	18,40	15,80	1,16	1,44	0,81	6,70	2,10
123	21	1	0	647	53	2	21,90	17,80	15,20	1,17	1,44	0,81	6,60	2,10
123	22	3	0	647	53	2	23,20	18,50	15,70	1,18	1,48	0,80	4,80	1,00
123	43	6	0	647	53	1	24,80	20,00	16,90	1,18	1,47	0,81	4,10	1,10
123	33	6	0	647	53	2	24,20	20,90	16,10	1,30	1,50	0,86	4,70	0,70
124	32	4	1	566	47	2	23,70	18,00	16,50	1,09	1,44	0,76	4,80	1,20
124	33	6	1	566	47	2	24,50	18,10	14,80	1,22	1,66	0,74	5,00	1,40
125	21	1	1	580	48	2	23,90	18,30	14,80	1,24	1,61	0,77	5,70	2,00
125	22	3	1	580	48	2	22,40	15,90	15,40	1,03	1,45	0,71	4,60	1,70
126	22	3	0	914	76	2	22,80	17,90	16,00	1,12	1,43	0,79	5,40	1,20
127	23	5	0	349	29	2	26,70	21,60	18,10	1,19	1,48	0,81	5,50	1,40
128	43	6	1	552	46	2	28,50	22,00	18,70	1,18	1,52	0,77	5,70	1,10
129	32	4	0	932	77	1	20,40	14,80	14,80	1,00	1,38	0,73	4,10	1,10
129	42	4	0	932	77	2	20,90	16,20	14,60	1,11	1,43	0,78	4,00	1,00
129	33	6	0	932	77	1	22,20	17,40	15,10	1,15	1,47	0,78	4,30	0,90
129	43	6	0	932	77	2	22,90	17,70	15,20	1,16	1,51	0,77	4,70	1,10
130	22	3	1	495	41	2	23,90	19,10	16,20	1,18	1,48	0,80	5,60	1,70
130	23	5	1	495	41	0	25,30	19,90	16,00	1,24	1,58	0,79	6,30	1,10
131	13	5	1	659	54	2	26,70	21,50	19,50	1,10	1,37	0,81	5,70	1,10
132	41	2	0	964	80	2	22,00	16,20	14,80	1,09	1,49	0,74	3,70	0,80
133	32	4	0	857	71	2	22,40	16,50	16,10	1,02	1,39	0,74	3,70	0,40
134	11	1	0	790	65	1	23,70	13,30	14,30	0,93	1,66	0,56	5,60	1,30
134	21	1	0	790	65	2	23,70	14,70	14,30	1,03	1,66	0,62	5,80	1,10
134	33	6	0	790	65	0	24,50	16,90	16,00	1,06	1,53	0,69	4,40	1,00
135	11	1	0	621	51	0	22,20	13,90	14,00	0,99	1,59	0,63	5,90	1,90
135	22	3	0	621	51	2	25,80	20,20	17,80	1,13	1,45	0,78	4,60	1,90
136	42	4	1	351	29	2	20,30	16,00	13,50	1,19	1,50	0,79	4,50	1,10
137	22	3	1	299	24	2	23,80	19,40	16,50	1,18	1,44	0,82	5,00	1,70
137	12	3	1	299	24	2	22,60	18,80	13,80	1,36	1,64	0,83	5,30	1,70
137	13	5	1	299	24	2	27,40	22,50	17,30	1,30	1,58	0,82	6,10	1,50
138	31	2	0	747	62	0	20,20	11,60	11,80	0,98	1,71	0,57	3,60	0,80
138	32	4	0	747	62	2	22,30	16,90	14,90	1,13	1,50	0,76	4,40	0,90
139	22	3	0	537	44	2	24,20	18,30	17,40	1,05	1,39	0,76	5,30	1,40
139	23	5	0	537	44	2	28,70	22,50	19,50	1,15	1,47	0,78	5,70	1,00
140	43	6	0	811	67	1	23,70	16,90	15,50	1,09	1,53	0,71	4,90	1,00
140	33	6	0	811	67	2	21,90	16,50	14,10	1,17	1,55	0,75	4,70	1,00
141	11	1	1	466	38	2	25,30	19,90	16,00	1,24	1,58	0,79	6,60	2,40
141	21	1	1	466	38	2	25,10	20,10	15,30	1,31	1,64	0,80	6,60	2,80
141	12	3	1	466	38	2	23,50	18,00	16,10	1,12	1,46	0,77	5,00	1,40
141	22	3	1	466	38	2	20,60	15,70	13,10	1,20	1,57	0,76	4,80	1,80
141	42	4	1	466	38	0	24,10	18,50	16,20	1,14	1,49	0,77	4,30	1,40
141	32	4	1	466	38	2	24,40	18,50	16,70	1,11	1,46	0,76	3,70	1,30
141	13	5	1	466	38	2	27,90	24,20	18,50	1,31	1,51	0,87	6,10	1,20
141	23	5	1	466	38	2	29,60	25,20	20,60	1,22	1,44	0,85	5,80	0,80
141	33	6	1	466	38	2	28,50	23,10	18,70	1,24	1,52	0,81	5,10	0,70
141	43	6	1	466	38	2	28,70	23,60	18,50	1,28	1,55	0,82	5,70	0,70
142	11	1	0	609	50	2	24,30	20,30	16,10	1,26	1,51	0,84	5,50	1,60
142	21	1	0	609	50	2	24,60	22,10	17,10	1,29	1,44	0,90	5,30	1,70
142	32	4	0	609	50	1	21,40	17,70	15,80	1,12	1,35	0,83	3,60	1,10

Estimativa da Idade pela proporção da área polpa/dente em Tomografia Computorizada de Feixe Cônico (CBCT):  
Aplicação Médico-Legal

Amostra	Dente	GrupoDentes	Género	Idade	Idade_anos	C	C_T	C_P	C_R	C_RP	C_RTC	C_RRC	C_At	C_Ap
142	43	6	0	609	50	2	22,90	20,00	15,30	1,31	1,50	0,87	4,30	1,30
143	11	1	0	731	60	2	24,20	17,10	16,00	1,07	1,51	0,71	6,60	2,30
143	21	1	0	731	60	2	23,00	15,90	13,30	1,20	1,73	0,69	6,40	1,80
143	22	3	0	731	60	2	23,00	17,70	15,70	1,13	1,46	0,77	4,00	1,20
143	23	5	0	731	60	2	25,60	17,70	15,90	1,11	1,61	0,69	4,70	0,90
144	13	5	0	507	42	2	28,00	22,70	19,20	1,18	1,46	0,81	5,40	1,10
145	23	5	0	511	42	2	27,40	23,00	19,60	1,17	1,40	0,84	5,80	0,90
146	32	4	0	769	64	2	21,30	17,20	15,90	1,08	1,34	0,81	3,80	1,00
146	33	6	0	769	64	2	22,40	16,60	15,40	1,08	1,45	0,74	4,70	0,70
147	21	1	0	352	29	2	23,40	18,20	15,20	1,20	1,54	0,78	5,80	1,90
147	22	3	0	352	29	2	22,60	18,90	15,80	1,20	1,43	0,84	4,20	1,20
147	12	3	0	352	29	2	21,40	16,50	14,50	1,14	1,48	0,77	4,10	1,10
148	22	3	0	315	26	2	22,10	17,70	14,70	1,20	1,50	0,80	5,00	1,20
148	23	5	0	315	26	2	25,80	20,40	15,90	1,28	1,62	0,79	5,80	1,30
149	31	2	1	675	56	2	22,40	21,80	14,40	1,51	1,56	0,97	4,20	0,80
149	33	6	1	675	56	2	29,10	23,40	18,60	1,26	1,56	0,80	5,00	0,80
149	43	6	1	675	56	2	28,60	23,30	18,80	1,24	1,52	0,81	6,00	0,90
150	12	3	0	702	58	2	21,40	17,00	13,90	1,22	1,54	0,79	4,60	1,40
150	22	3	0	702	58	2	20,90	15,30	13,90	1,10	1,50	0,73	4,50	1,50
150	42	4	0	702	58	2	22,60	16,70	15,00	1,11	1,51	0,74	3,30	1,00
150	32	4	0	702	58	1	22,30	16,10	15,50	1,04	1,44	0,72	3,30	1,00
150	13	5	0	702	58	2	26,20	20,90	18,10	1,15	1,45	0,80	5,30	1,00
150	23	5	0	702	58	2	26,80	20,30	18,70	1,09	1,43	0,76	5,10	1,10
150	33	6	0	702	58	2	24,90	19,00	17,00	1,12	1,46	0,76	4,90	1,10
150	43	6	0	702	58	2	24,50	18,00	16,40	1,10	1,49	0,73	4,80	0,90
151	11	1	0	300	25	2	23,50	18,20	14,20	1,28	1,65	0,77	6,00	2,80
151	21	1	0	300	25	2	23,10	17,90	14,40	1,24	1,60	0,77	5,70	2,60
151	22	3	0	300	25	2	23,20	17,40	15,20	1,14	1,53	0,75	4,80	2,50
151	13	5	0	300	25	2	24,10	20,20	16,40	1,23	1,47	0,84	4,30	1,30
151	23	5	0	300	25	2	25,80	21,40	18,00	1,19	1,43	0,83	5,00	1,30
151	33	6	0	300	25	2	23,60	18,80	15,10	1,25	1,56	0,80	4,50	1,20
152	11	1	0	743	61	2	24,40	19,10	16,60	1,15	1,47	0,78	7,30	3,20
152	21	1	0	743	61	2	24,90	18,10	16,30	1,11	1,53	0,73	7,20	4,10
152	12	3	0	743	61	2	24,00	18,30	15,50	1,18	1,55	0,76	4,50	1,80
152	22	3	0	743	61	2	24,20	18,70	16,70	1,12	1,45	0,77	5,40	2,00
152	13	5	0	743	61	2	28,50	22,20	19,40	1,14	1,47	0,78	5,40	1,40
153	23	5	1	479	39	2	31,40	27,10	23,30	1,16	1,35	0,86	6,00	1,20
154	11	1	1	321	26	2	24,20	19,40	14,90	1,30	1,62	0,80	6,60	2,40
154	23	5	1	321	26	2	26,60	21,70	18,00	1,21	1,48	0,82	6,40	1,30
154	13	5	1	321	26	2	26,60	21,70	17,80	1,22	1,49	0,82	6,00	1,30
155	13	5	1	556	46	2	27,60	21,90	18,80	1,16	1,47	0,79	5,70	0,80
156	23	5	1	836	69	2	27,60	21,20	19,20	1,10	1,44	0,77	6,00	1,00
157	43	6	1	691	57	2	25,30	19,70	17,40	1,13	1,45	0,78	4,90	0,70
158	23	5	1	435	36	0	26,30	19,20	18,50	1,04	1,42	0,73	5,30	1,10

Estimativa da Idade pela proporção da área polpa/dente em Tomografia Computorizada de Feixe Cônico (CBCT):  
Aplicação Médico-Legal

Amostra	Dente	C_Aind	C_Bt	C_Bp	C_Bind	C_Ct	C_Cp	C_Cind	C_M	C_W	C_L	C_Dif	S	S_T	S_P	S_R	S_RP
1	11	0,35	5,90	1,60	0,27	4,20	0,90	0,21	0,55	0,24	0,96	-0,71	2	27,10	19,70	15,40	1,28
1	22	0,29	4,40	0,90	0,20	3,20	0,80	0,25	0,52	0,23	0,92	-0,69	0	25,80	17,10	15,20	1,13
1	12	0,29	4,20	0,90	0,21	3,30	0,90	0,27	0,54	0,24	0,95	-0,71	2	25,70	18,10	14,80	1,22
1	23	0,19	4,00	0,80	0,20	2,80	0,60	0,21	0,47	0,21	0,87	-0,67	2	24,90	18,40	14,90	1,23
2	21	0,32	6,30	1,70	0,27	5,50	1,30	0,24	0,44	0,25	0,67	-0,42	1	24,40	17,60	14,50	1,21
2	11	0,24	5,90	1,10	0,19	5,10	0,90	0,18	0,45	0,18	0,83	-0,65	2	22,40	15,90	12,00	1,33
2	22	0,28	4,60	1,20	0,26	4,10	0,90	0,22	0,48	0,24	0,81	-0,57	0	22,60	14,90	11,60	1,28
2	33	0,21	5,20	1,60	0,31	4,80	1,50	0,31	0,49	0,31	0,81	-0,50	0	24,10	17,20	16,40	1,05
2	43	0,24	5,40	1,70	0,31	4,30	1,30	0,30	0,47	0,31	0,74	-0,44	0	25,50	17,90	15,80	1,13
3	13	0,23	5,40	1,10	0,20	4,60	1,00	0,22	0,51	0,21	0,95	-0,74	2	24,70	18,20	14,50	1,26
4	23	0,22	4,10	0,90	0,22	3,30	0,60	0,18	0,50	0,20	0,94	-0,73	2	27,50	21,40	18,60	1,15
5	12	0,36	4,70	1,20	0,26	3,70	0,60	0,16	0,54	0,21	0,96	-0,76	0	22,60	15,90	13,50	1,18
6	23	0,22	5,50	1,30	0,24	4,50	1,10	0,24	0,52	0,24	0,96	-0,71	2	23,50	17,60	13,30	1,32
7	32	0,21	3,10	0,40	0,13	2,10	0,30	0,14	0,44	0,14	0,86	-0,72	2	22,80	16,30	13,20	1,23
7	42	0,20	3,50	0,50	0,14	2,20	0,40	0,18	0,45	0,16	0,86	-0,70	2	22,70	17,20	13,70	1,26
7	33	0,16	4,80	0,70	0,15	4,20	0,60	0,14	0,49	0,14	1,01	-0,86	2	25,30	20,00	14,80	1,35
7	43	0,20	4,40	0,70	0,16	3,30	0,50	0,15	0,51	0,16	1,01	-0,86	2	24,70	18,10	14,30	1,27
8	23	0,18	5,30	0,80	0,15	4,30	0,50	0,12	0,45	0,13	0,90	-0,77	0	24,10	17,90	16,10	1,11
9	13	0,13	4,80	0,80	0,17	4,70	0,70	0,15	0,47	0,16	0,96	-0,80	2	25,20	19,20	16,70	1,15
10	11	0,33	5,40	0,90	0,17	4,10	0,90	0,22	0,47	0,19	0,82	-0,62	2	22,10	16,00	11,60	1,38
11	13	0,24	4,50	0,70	0,16	3,70	0,50	0,14	0,46	0,15	0,88	-0,73	0	24,20	18,00	14,90	1,21
12	11	0,27	5,40	1,70	0,31	5,10	1,20	0,24	0,53	0,28	0,92	-0,65	0	22,20	11,80	11,50	1,03
13	23	0,24	4,80	1,30	0,27	3,30	0,70	0,21	0,52	0,24	0,93	-0,69	2	26,70	21,30	16,80	1,27
14	11	0,25	5,60	0,90	0,16	4,30	0,60	0,14	0,48	0,15	0,93	-0,78	2	22,90	17,50	12,60	1,39
14	12	0,25	3,90	0,80	0,21	2,90	0,50	0,17	0,49	0,19	0,91	-0,72	0	22,20	15,40	12,90	1,19
15	23	0,16	4,80	1,10	0,23	3,40	0,60	0,18	0,46	0,20	0,86	-0,66	2	23,90	17,70	14,60	1,21
15	33	0,13	4,50	0,70	0,16	3,30	0,60	0,18	0,42	0,17	0,81	-0,64	0	23,20	14,40	13,90	1,04
15	43	0,15	4,50	0,80	0,18	3,60	0,90	0,25	0,43	0,21	0,78	-0,56	1	24,70	15,70	14,90	1,05
16	43	0,22	5,10	1,20	0,24	4,10	1,00	0,24	0,38	0,24	0,61	-0,37	1	25,90	13,20	17,20	0,77
17	22	0,32	4,20	1,10	0,26	3,40	1,20	0,35	0,53	0,31	0,87	-0,56	0	24,00	17,30	14,40	1,20
17	12	0,37	4,50	1,20	0,27	3,10	1,00	0,32	0,51	0,29	0,80	-0,51	1	24,20	17,30	13,90	1,24
17	13	0,23	4,30	1,40	0,33	3,60	0,90	0,25	0,56	0,29	1,00	-0,71	0	28,10	20,40	17,80	1,15
17	23	0,19	4,50	1,20	0,27	3,30	0,90	0,27	0,53	0,27	0,97	-0,70	0	27,40	20,20	17,20	1,17
17	33	0,19	4,10	1,00	0,24	3,20	0,80	0,25	0,48	0,25	0,86	-0,61	2	26,90	19,70	18,60	1,06
17	43	0,19	4,20	1,10	0,26	3,20	0,80	0,25	0,48	0,26	0,85	-0,59	2	25,90	20,00	16,90	1,18
18	32	0,15	2,80	0,40	0,14	2,00	0,30	0,15	0,47	0,15	0,95	-0,81	2	20,60	16,30	13,70	1,19
18	33	0,13	3,60	0,50	0,14	2,50	0,50	0,20	0,45	0,17	0,89	-0,72	1	21,90	14,80	14,50	1,02
19	33	0,16	3,60	0,80	0,22	3,10	0,60	0,19	0,49	0,21	0,94	-0,73	2	25,50	20,50	16,00	1,28
20	13	0,24	4,10	1,00	0,24	2,70	0,60	0,22	0,41	0,23	0,66	-0,43	1	26,80	13,80	17,30	0,80
20	33	0,23	3,30	0,90	0,27	3,40	0,50	0,15	0,47	0,21	0,86	-0,65	2	24,40	19,90	15,80	1,26
21	21	0,23	5,20	1,20	0,23	4,40	1,10	0,25	0,53	0,24	0,97	-0,73	2	22,30	16,30	13,10	1,24
21	13	0,15	4,50	0,80	0,18	3,30	0,60	0,18	0,46	0,18	0,90	-0,72	2	25,60	20,40	16,20	1,26
22	21	0,29	5,30	1,30	0,25	4,70	0,90	0,19	0,54	0,22	0,98	-0,76	2	24,20	18,20	12,90	1,41
22	12	0,27	4,00	0,90	0,23	3,40	0,70	0,21	0,52	0,22	0,94	-0,73	2	23,20	17,40	14,30	1,22
22	23	0,31	6,40	1,80	0,28	5,00	0,90	0,18	0,54	0,23	0,97	-0,74	2	28,40	24,50	21,00	1,17
22	13	0,17	4,90	0,90	0,18	3,80	0,90	0,24	0,51	0,21	0,98	-0,77	2	27,10	21,60	17,30	1,25
23	13	0,19	4,50	1,20	0,27	3,70	1,10	0,30	0,54	0,28	0,97	-0,69	0	24,30	14,70	16,00	0,92
24	13	0,28	3,80	1,00	0,26	3,00	0,90	0,30	0,54	0,28	0,94	-0,66	2	23,70	17,40	14,30	1,22
25	33	0,28	3,60	0,90	0,25	2,80	0,60	0,21	0,46	0,23	0,78	-0,55	2	25,60	20,40	16,40	1,24
25	43	0,33	3,80	0,90	0,24	2,90	0,90	0,31	0,54	0,27	0,92	-0,64	2	25,40	20,00	16,80	1,19
26	33	0,17	3,70	0,90	0,24	2,60	0,80	0,31	0,43	0,28	0,72	-0,45	1	22,80	13,80	14,60	0,95

Estimativa da Idade pela proporção da área polpa/dente em Tomografia Computorizada de Feixe Cônico (CBCT):  
Aplicação Médico-Legal

Amostra	Dente	C_Aind	C_Bt	C_Bp	C_Bind	C_Ct	C_Cp	C_Cind	C_M	C_W	C_L	C_Dif	S	S_T	S_P	S_R	S_RP
27	13	0,20	4,80	0,90	0,19	4,30	0,70	0,16	0,38	0,18	0,68	-0,51	1	24,30	14,50	16,20	0,90
27	33	0,14	4,30	0,90	0,21	3,30	0,80	0,24	0,49	0,23	0,92	-0,69	1	25,10	19,20	16,40	1,17
28	43	0,15	4,10	0,90	0,22	3,60	0,70	0,19	0,50	0,21	0,96	-0,76	2	27,80	21,80	16,80	1,30
29	33	0,20	3,70	0,90	0,24	3,10	0,80	0,26	0,45	0,25	0,78	-0,53	1	24,10	16,40	14,40	1,14
30	23	0,15	5,10	1,00	0,20	4,10	0,80	0,20	0,49	0,20	0,95	-0,75	2	28,40	20,50	17,10	1,20
31	21	0,37	5,60	1,30	0,23	4,40	0,90	0,20	0,53	0,22	0,92	-0,70	2	22,60	17,20	11,90	1,45
31	12	0,30	3,70	0,80	0,22	2,80	0,70	0,25	0,56	0,23	1,02	-0,79	2	20,80	16,30	11,60	1,41
31	22	0,28	4,00	0,80	0,20	2,80	0,80	0,29	0,53	0,24	0,95	-0,71	2	20,70	15,10	11,50	1,31
31	13	0,13	4,70	0,80	0,17	3,50	0,70	0,20	0,47	0,19	0,93	-0,75	2	24,00	19,40	15,30	1,27
31	23	0,14	4,30	0,90	0,21	3,40	0,80	0,24	0,52	0,22	1,00	-0,78	2	23,60	20,00	15,30	1,31
32	22	0,27	3,80	0,90	0,24	3,40	0,80	0,24	0,40	0,24	0,63	-0,40	1	22,90	14,40	13,20	1,09
32	43	0,24	3,50	0,90	0,26	2,90	0,60	0,21	0,40	0,23	0,64	-0,41	2	22,80	17,60	13,50	1,30
33	13	0,16	4,80	1,30	0,27	3,50	0,80	0,23	0,47	0,25	0,86	-0,61	2	29,20	21,30	19,30	1,10
34	22	0,28	4,00	0,90	0,23	3,70	0,50	0,14	0,52	0,18	0,98	-0,80	0	23,20	16,90	13,20	1,28
34	23	0,12	4,30	0,70	0,16	4,10	0,60	0,15	0,45	0,15	0,90	-0,75	2	27,80	22,10	17,00	1,30
35	33	0,22	4,80	0,90	0,19	3,30	0,90	0,27	0,42	0,23	0,71	-0,48	1	24,70	15,10	15,30	0,99
36	22	0,19	4,30	0,90	0,21	3,90	0,60	0,15	0,52	0,18	1,01	-0,83	2	23,60	18,50	13,60	1,36
36	23	0,20	5,80	1,50	0,26	5,00	1,30	0,26	0,57	0,26	1,08	-0,82	1	30,70	23,80	19,20	1,24
36	13	0,19	5,80	1,20	0,21	4,80	1,10	0,23	0,53	0,22	1,01	-0,79	2	29,90	23,90	19,40	1,23
37	21	0,25	5,50	1,00	0,18	4,00	0,60	0,15	0,47	0,17	0,89	-0,73	2	21,60	15,60	11,80	1,32
37	11	0,27	5,40	1,50	0,28	4,40	0,90	0,20	0,55	0,24	1,00	-0,76	2	21,40	16,80	10,90	1,54
37	22	0,27	4,10	1,30	0,32	3,20	0,80	0,25	0,57	0,28	1,01	-0,73	0	21,60	16,90	12,20	1,39
37	12	0,31	4,20	1,10	0,26	3,30	0,70	0,21	0,56	0,24	1,02	-0,78	2	21,90	17,20	12,30	1,40
37	13	0,20	4,30	1,30	0,30	3,50	1,00	0,29	0,54	0,29	0,97	-0,68	2	26,30	21,70	15,60	1,39
38	11	0,28	5,80	1,40	0,24	4,50	1,10	0,24	0,49	0,24	0,84	-0,60	2	22,20	16,50	11,40	1,45
38	21	0,30	5,10	1,10	0,22	3,90	0,70	0,18	0,47	0,20	0,84	-0,64	2	24,10	18,40	12,90	1,43
38	12	0,26	3,80	0,80	0,21	3,00	0,70	0,23	0,54	0,22	1,00	-0,78	2	23,90	19,30	13,50	1,43
38	13	0,17	4,20	1,00	0,24	3,40	0,70	0,21	0,51	0,22	0,97	-0,74	0	23,90	18,90	14,70	1,29
38	23	0,15	4,20	0,80	0,19	3,20	0,70	0,22	0,49	0,20	0,94	-0,74	2	25,40	20,60	15,90	1,30
39	11	0,34	4,80	1,10	0,23	3,60	0,70	0,19	0,41	0,21	0,65	-0,44	1	23,90	13,50	14,00	0,96
40	33	0,24	4,10	1,10	0,27	3,30	0,90	0,27	0,42	0,27	0,66	-0,39	1	23,50	16,00	13,20	1,21
40	43	0,19	4,20	1,00	0,24	2,90	0,80	0,28	0,42	0,26	0,71	-0,45	1	23,60	14,20	15,50	0,92
41	11	0,34	4,90	1,10	0,22	3,90	0,90	0,23	0,45	0,23	0,72	-0,49	1	23,80	14,90	14,50	1,03
42	23	0,29	4,10	1,60	0,39	3,40	0,70	0,21	0,43	0,30	0,62	-0,33	1	23,60	13,70	15,20	0,90
43	33	0,22	4,20	1,00	0,24	3,40	0,80	0,24	0,50	0,24	0,91	-0,67	1	27,30	17,90	16,20	1,10
43	43	0,18	4,30	0,90	0,21	3,30	0,80	0,24	0,47	0,23	0,85	-0,62	1	27,80	19,10	16,90	1,13
44	23	0,19	5,60	1,40	0,25	3,90	1,10	0,28	0,47	0,27	0,82	-0,56	1	25,00	17,30	15,50	1,12
44	33	0,18	3,20	0,80	0,25	3,00	0,80	0,27	0,48	0,26	0,85	-0,59	1	27,30	17,40	16,90	1,03
44	43	0,22	3,80	0,80	0,21	3,20	1,00	0,31	0,50	0,26	0,87	-0,60	1	26,40	18,70	16,50	1,13
45	21	0,33	4,30	1,40	0,33	3,20	1,20	0,38	0,59	0,35	0,95	-0,60	2	21,90	16,60	12,30	1,35
45	31	0,33	3,10	0,80	0,26	2,80	0,50	0,18	0,36	0,22	0,52	-0,30	1	19,00	12,60	12,00	1,05
45	12	0,21	3,40	1,20	0,35	2,90	0,80	0,28	0,38	0,31	0,53	-0,22	1	21,20	13,70	12,10	1,13
45	22	0,34	3,70	1,00	0,27	3,10	1,00	0,32	0,44	0,30	0,64	-0,34	1	20,90	10,40	12,70	0,82
45	32	0,35	2,90	1,00	0,34	2,40	0,80	0,33	0,45	0,34	0,61	-0,27	1	20,00	13,40	12,20	1,10
45	13	0,27	3,80	1,10	0,29	2,80	0,80	0,29	0,38	0,29	0,53	-0,25	2	25,00	19,50	14,70	1,33
45	33	0,19	3,80	1,00	0,26	3,20	1,00	0,31	0,46	0,29	0,77	-0,48	1	21,60	14,80	13,00	1,14
45	43	0,32	3,80	1,00	0,26	3,20	1,00	0,31	0,49	0,29	0,77	-0,48	1	23,70	18,10	14,30	1,27
46	31	0,30	2,70	1,00	0,37	2,30	0,70	0,30	0,46	0,34	0,67	-0,34	2	20,90	16,20	12,80	1,27
46	41	0,34	2,60	1,00	0,38	2,20	0,70	0,32	0,48	0,35	0,69	-0,34	2	20,10	15,80	11,60	1,36
46	22	0,33	3,80	1,30	0,34	3,10	1,00	0,32	0,50	0,33	0,75	-0,42	1	21,30	12,80	13,00	0,98
46	42	0,38	2,70	1,00	0,37	2,40	0,70	0,29	0,52	0,33	0,77	-0,44	1	21,90	14,50	13,60	1,07

Estimativa da Idade pela proporção da área polpa/dente em Tomografia Computorizada de Feixe Cônico (CBCT):  
Aplicação Médico-Legal

Amostra	Dente	C_Aind	C_Bt	C_Bp	C_Bind	C_Ct	C_Cp	C_Cind	C_M	C_W	C_L	C_Dif	S	S_T	S_P	S_R	S_RP
46	32	0,34	2,60	1,00	0,38	2,30	0,80	0,35	0,53	0,37	0,80	-0,43	2	21,40	18,00	12,80	1,41
46	13	0,27	3,90	1,30	0,33	2,60	0,70	0,27	0,47	0,30	0,74	-0,44	2	26,60	20,70	17,50	1,18
46	23	0,25	4,00	1,00	0,25	2,90	0,90	0,31	0,55	0,28	0,98	-0,70	2	26,30	22,30	17,00	1,31
46	43	0,40	3,00	0,90	0,30	2,40	0,70	0,29	0,54	0,30	0,86	-0,57	1	24,80	19,10	16,70	1,14
46	33	0,35	3,20	0,90	0,28	3,10	0,80	0,26	0,50	0,27	0,79	-0,52	2	24,80	20,00	16,50	1,21
47	13	0,18	4,70	0,90	0,19	3,50	0,80	0,23	0,50	0,21	0,94	-0,73	2	25,40	19,10	15,50	1,23
48	13	0,20	4,50	1,00	0,22	3,50	0,70	0,20	0,51	0,21	0,96	-0,75	2	24,10	18,70	14,60	1,28
48	23	0,18	5,20	0,80	0,15	4,00	1,00	0,25	0,50	0,20	0,96	-0,75	2	25,20	18,80	15,70	1,20
49	13	0,19	3,60	0,70	0,19	2,90	0,70	0,24	0,52	0,22	0,98	-0,76	2	23,80	16,00	15,80	1,01
50	33	0,15	2,90	0,90	0,31	2,60	0,40	0,15	0,42	0,23	0,73	-0,50	1	22,20	13,70	14,30	0,96
51	11	0,38	5,90	1,80	0,31	4,70	1,10	0,23	0,55	0,27	0,92	-0,65	2	25,10	19,00	16,10	1,18
51	12	0,33	4,20	1,10	0,26	3,80	0,90	0,24	0,53	0,25	0,92	-0,67	2	23,30	17,80	14,10	1,26
52	11	0,32	5,30	0,70	0,13	4,40	0,50	0,11	0,52	0,12	1,01	-0,88	2	22,50	16,90	12,10	1,40
52	13	0,17	5,00	0,90	0,18	3,80	0,60	0,16	0,50	0,17	1,00	-0,83	2	25,50	19,40	15,80	1,23
53	12	0,29	4,10	0,90	0,22	3,50	0,60	0,17	0,53	0,20	0,99	-0,79	2	20,00	15,70	10,50	1,50
54	43	0,15	3,30	1,10	0,33	3,10	0,50	0,16	0,32	0,25	0,49	-0,24	1	23,80	12,60	14,40	0,88
54	33	0,18	3,60	1,10	0,31	3,30	0,90	0,27	0,35	0,29	0,48	-0,19	2	23,40	14,20	14,10	1,01
55	13	0,18	4,40	0,90	0,20	3,40	0,90	0,26	0,49	0,23	0,90	-0,66	2	25,00	17,80	15,70	1,13
56	21	0,40	5,00	1,50	0,30	4,20	1,30	0,31	0,51	0,30	0,77	-0,46	1	21,80	13,20	12,70	1,04
56	33	0,30	4,20	1,20	0,29	3,50	0,90	0,26	0,57	0,27	1,00	-0,73	1	20,50	16,00	12,90	1,24
56	43	0,34	3,60	1,40	0,39	3,20	1,20	0,38	0,53	0,38	0,78	-0,40	1	19,50	13,50	10,70	1,26
57	11	0,32	4,70	1,80	0,38	3,70	1,40	0,38	0,53	0,38	0,79	-0,41	2	24,50	18,70	14,20	1,32
57	21	0,37	4,80	2,10	0,44	3,60	1,30	0,36	0,59	0,40	0,89	-0,49	2	24,60	18,60	14,00	1,33
57	31	0,32	2,70	0,90	0,33	2,30	0,50	0,22	0,38	0,28	0,52	-0,24	1	21,20	12,50	13,00	0,96
57	12	0,28	3,50	1,20	0,34	2,90	1,10	0,38	0,45	0,36	0,63	-0,27	1	24,30	13,30	15,00	0,89
57	22	0,36	3,90	1,40	0,36	3,20	0,90	0,28	0,50	0,32	0,74	-0,42	1	23,40	14,20	14,50	0,98
57	32	0,39	2,90	1,00	0,34	2,20	0,80	0,36	0,51	0,35	0,73	-0,38	1	24,20	16,20	15,10	1,07
57	42	0,36	3,00	1,00	0,33	2,20	0,50	0,23	0,49	0,28	0,76	-0,48	1	23,30	15,70	14,50	1,08
57	13	0,24	4,10	1,20	0,29	3,50	1,10	0,31	0,46	0,30	0,73	-0,43	1	27,90	18,30	18,90	0,97
57	23	0,33	4,00	1,60	0,40	3,20	1,30	0,41	0,54	0,40	0,77	-0,37	1	26,20	17,00	17,50	0,97
57	33	0,35	3,20	1,30	0,41	2,90	1,10	0,38	0,53	0,39	0,75	-0,35	1	26,60	17,20	17,50	0,98
57	43	0,33	2,90	1,10	0,38	2,80	1,00	0,36	0,53	0,37	0,79	-0,42	1	26,30	17,10	17,10	1,00
58	11	0,39	7,20	1,70	0,24	5,70	1,20	0,21	0,51	0,22	0,86	-0,64	2	28,40	20,50	16,20	1,27
58	12	0,30	4,70	0,80	0,17	3,40	0,70	0,21	0,51	0,19	0,94	-0,75	2	28,00	21,70	16,70	1,30
58	23	0,17	5,20	1,10	0,21	4,40	0,90	0,20	0,50	0,21	0,95	-0,75	2	33,20	26,20	21,90	1,20
59	12	0,14	3,90	1,00	0,26	2,90	0,70	0,24	0,43	0,25	0,76	-0,51	1	22,70	15,90	13,00	1,22
59	13	0,16	4,80	1,00	0,21	4,40	0,80	0,18	0,48	0,20	0,93	-0,74	1	26,90	19,90	16,40	1,21
59	23	0,36	4,40	1,60	0,36	3,60	1,00	0,28	0,60	0,32	1,00	-0,68	2	27,10	21,40	16,90	1,27
59	43	0,21	4,30	0,90	0,21	3,80	0,80	0,21	0,48	0,21	0,89	-0,68	2	26,30	19,40	16,30	1,19
60	21	0,38	6,20	1,90	0,31	4,90	0,90	0,18	0,50	0,25	0,81	-0,57	2	22,00	18,40	12,70	1,45
60	11	0,42	5,60	1,50	0,27	5,20	0,80	0,15	0,54	0,21	0,94	-0,72	2	21,50	16,20	11,50	1,41
60	12	0,36	4,00	1,10	0,28	3,20	0,80	0,25	0,56	0,26	0,97	-0,70	2	19,00	14,50	9,90	1,46
60	13	0,22	5,40	1,20	0,22	4,40	0,80	0,18	0,51	0,20	0,95	-0,75	0	24,60	16,90	14,80	1,14
60	23	0,17	5,20	1,10	0,21	4,40	0,60	0,14	0,45	0,17	0,87	-0,70	0	25,10	14,90	13,80	1,08
61	32	0,22	3,40	0,90	0,26	2,20	0,50	0,23	0,41	0,25	0,66	-0,42	2	22,50	16,20	13,40	1,21
61	42	0,23	2,90	0,70	0,24	2,70	0,70	0,26	0,50	0,25	0,88	-0,63	2	23,00	16,60	13,90	1,19
61	23	0,21	4,70	1,00	0,21	3,60	0,70	0,19	0,50	0,20	0,95	-0,74	2	27,50	20,90	17,20	1,22
61	33	0,34	4,50	0,80	0,18	3,30	0,60	0,18	0,53	0,18	0,97	-0,79	0	26,70	19,20	15,20	1,26
61	43	0,21	4,00	0,90	0,23	3,30	0,50	0,15	0,50	0,19	0,97	-0,78	2	27,20	20,20	15,90	1,27
62	13	0,23	4,80	1,20	0,25	3,70	1,00	0,27	0,56	0,26	1,02	-0,76	2	29,70	24,20	18,20	1,33
63	33	0,12	3,20	0,40	0,13	2,80	0,50	0,18	0,49	0,15	1,02	-0,86	0	21,70	17,20	12,60	1,37

Estimativa da Idade pela proporção da área polpa/dente em Tomografia Computorizada de Feixe Cônico (CBCT):  
Aplicação Médico-Legal

Amostra	Dente	C_Aind	C_Bt	C_Bp	C_Bind	C_Ct	C_Cp	C_Cind	C_M	C_W	C_L	C_Dif	S	S_T	S_P	S_R	S_RP
64	12	0,36	5,20	1,30	0,25	4,00	0,70	0,18	0,56	0,21	1,02	-0,81	2	21,10	14,90	11,60	1,28
64	13	0,15	4,60	1,00	0,22	3,70	0,80	0,22	0,53	0,22	1,04	-0,82	2	22,90	18,10	13,30	1,36
65	13	0,18	4,90	1,30	0,27	4,00	0,70	0,18	0,50	0,22	0,94	-0,72	2	28,00	19,80	19,00	1,04
66	22	0,23	4,10	0,60	0,15	3,40	0,50	0,15	0,45	0,15	0,87	-0,72	2	23,90	18,40	14,10	1,30
66	23	0,20	5,70	1,10	0,19	5,30	0,80	0,15	0,50	0,17	0,98	-0,81	2	27,90	22,80	17,20	1,33
67	13	0,28	4,90	1,00	0,20	4,10	0,80	0,20	0,53	0,20	0,98	-0,78	2	26,60	20,30	16,70	1,22
68	43	0,24	3,70	1,10	0,30	2,80	0,90	0,32	0,45	0,31	0,70	-0,39	1	21,30	11,60	12,90	0,90
68	33	0,31	3,50	1,00	0,29	3,00	0,70	0,23	0,47	0,26	0,75	-0,49	2	21,00	16,00	11,80	1,36
69	23	0,21	4,20	1,00	0,24	3,30	0,50	0,15	0,46	0,19	0,85	-0,66	2	20,40	14,40	12,20	1,18
70	11	0,33	5,70	1,90	0,33	4,80	1,00	0,21	0,57	0,27	0,99	-0,72	2	18,20	12,80	7,60	1,68
70	32	0,33	3,30	1,10	0,33	2,60	0,90	0,35	0,47	0,34	0,67	-0,33	1	20,50	13,30	11,00	1,21
70	42	0,28	3,00	0,90	0,30	2,40	0,80	0,33	0,47	0,32	0,72	-0,40	1	21,60	13,70	13,00	1,05
70	13	0,24	4,90	1,60	0,33	3,50	1,20	0,34	0,53	0,33	0,87	-0,54	2	23,40	19,20	13,90	1,38
70	33	0,24	4,70	1,10	0,23	3,90	1,00	0,26	0,56	0,25	1,02	-0,78	1	19,30	14,80	9,70	1,53
71	13	0,24	3,70	0,80	0,22	3,00	0,50	0,17	0,50	0,19	0,93	-0,74	0	21,00	15,80	12,20	1,30
72	33	0,22	4,20	0,80	0,19	3,50	0,70	0,20	0,50	0,20	0,95	-0,76	2	27,40	20,70	15,30	1,35
72	43	0,24	4,60	0,90	0,20	3,10	0,70	0,23	0,53	0,21	1,00	-0,79	2	27,10	21,10	14,80	1,43
73	11	0,36	6,10	1,10	0,18	5,10	1,10	0,22	0,54	0,20	0,97	-0,77	2	25,00	18,40	13,30	1,38
73	12	0,22	3,40	0,90	0,26	2,80	0,60	0,21	0,51	0,24	0,92	-0,68	0	23,00	15,10	13,50	1,12
73	13	0,29	4,70	1,10	0,23	3,90	0,80	0,21	0,50	0,22	0,89	-0,67	0	29,70	22,40	19,60	1,14
73	23	0,21	4,90	1,30	0,27	4,70	0,90	0,19	0,48	0,23	0,88	-0,65	0	28,60	20,00	17,90	1,12
74	43	0,17	4,40	0,90	0,20	3,50	0,60	0,17	0,51	0,19	1,00	-0,81	2	26,20	21,30	15,00	1,42
75	11	0,35	5,30	1,80	0,34	4,30	0,70	0,16	0,54	0,25	0,93	-0,67	2	24,40	17,50	13,80	1,27
75	21	0,33	5,60	1,60	0,29	4,20	0,90	0,21	0,56	0,25	0,98	-0,73	2	24,10	17,20	13,20	1,30
75	23	0,23	4,70	1,00	0,21	3,90	0,80	0,21	0,52	0,21	0,98	-0,77	0	24,50	17,60	14,50	1,21
75	13	0,21	5,20	1,30	0,25	4,00	0,80	0,20	0,52	0,23	0,98	-0,75	2	26,40	20,20	15,60	1,29
76	12	0,15	4,30	1,00	0,23	3,50	0,80	0,23	0,47	0,23	0,87	-0,64	2	25,90	17,10	14,90	1,15
76	22	0,19	4,40	1,10	0,25	3,70	0,70	0,19	0,48	0,22	0,89	-0,67	2	25,90	17,50	14,90	1,17
76	23	0,21	5,90	1,30	0,22	5,10	1,00	0,20	0,48	0,21	0,89	-0,68	2	29,80	21,90	18,00	1,22
76	13	0,14	5,80	1,40	0,24	4,90	1,00	0,20	0,48	0,22	0,89	-0,67	2	31,60	22,40	19,90	1,13
77	11	0,29	5,50	1,90	0,35	4,70	1,30	0,28	0,60	0,31	1,05	-0,74	2	24,30	19,10	12,70	1,50
77	12	0,25	3,70	0,90	0,24	2,80	0,60	0,21	0,51	0,23	0,92	-0,69	2	22,50	16,60	13,60	1,22
78	13	0,22	4,90	1,00	0,20	3,90	0,90	0,23	0,50	0,22	0,93	-0,71	2	26,30	20,30	16,30	1,25
79	33	0,14	3,20	0,90	0,28	3,00	0,60	0,20	0,34	0,24	0,53	-0,29	1	25,70	15,10	16,50	0,92
80	33	0,20	4,40	0,70	0,16	3,50	0,60	0,17	0,51	0,17	1,02	-0,85	2	23,00	19,30	14,30	1,35
81	23	0,15	4,20	0,90	0,21	3,80	0,60	0,16	0,48	0,19	0,93	-0,74	0	26,00	17,10	16,40	1,04
82	23	0,15	4,60	1,30	0,28	3,30	1,10	0,33	0,54	0,31	0,97	-0,66	2	28,90	23,60	19,00	1,24
83	21	0,30	3,90	1,20	0,31	3,30	0,60	0,18	0,54	0,24	0,95	-0,70	0	21,10	14,20	11,20	1,27
83	11	0,28	5,80	1,60	0,28	3,50	0,70	0,20	0,50	0,24	0,87	-0,64	2	22,50	14,80	11,60	1,28
84	12	0,16	4,80	1,10	0,23	3,70	0,80	0,22	0,47	0,22	0,86	-0,64	0	25,10	14,60	13,60	1,07
84	33	0,12	5,00	1,00	0,20	4,40	0,80	0,18	0,43	0,19	0,83	-0,64	2	27,20	19,40	17,60	1,10
84	43	0,12	4,90	0,90	0,18	4,00	0,60	0,15	0,44	0,17	0,87	-0,70	2	25,60	18,10	15,50	1,17
85	13	0,19	4,20	1,40	0,33	3,50	0,90	0,26	0,53	0,30	0,92	-0,63	2	28,40	21,50	18,40	1,17
86	11	0,49	6,00	1,90	0,32	4,50	1,60	0,36	0,63	0,34	0,99	-0,65	2	27,40	20,70	14,90	1,39
86	21	0,43	6,00	2,00	0,33	4,70	1,50	0,32	0,62	0,33	1,01	-0,68	2	27,80	21,60	15,50	1,39
86	31	0,42	2,80	0,80	0,29	2,10	0,70	0,33	0,54	0,31	0,84	-0,53	2	22,60	18,30	13,30	1,38
86	41	0,36	2,60	0,80	0,31	2,20	0,60	0,27	0,51	0,29	0,81	-0,52	2	24,00	19,20	14,30	1,34
86	22	0,35	3,80	1,20	0,32	3,10	1,10	0,35	0,60	0,34	1,00	-0,67	1	24,80	16,10	14,70	1,10
86	12	0,46	4,40	2,00	0,45	3,50	1,30	0,37	0,67	0,41	1,03	-0,61	2	27,20	21,50	15,90	1,35
86	32	0,32	2,50	0,90	0,36	1,90	0,70	0,37	0,55	0,36	0,85	-0,49	2	26,10	21,10	16,20	1,30
86	42	0,34	2,90	0,90	0,31	2,50	0,60	0,24	0,49	0,28	0,77	-0,50	2	25,10	20,10	15,20	1,32

Estimativa da Idade pela proporção da área polpa/dente em Tomografia Computorizada de Feixe Cônico (CBCT):  
Aplicação Médico-Legal

Amostra	Dente	C_Aind	C_Bt	C_Bp	C_Bind	C_Ct	C_Cp	C_Cind	C_M	C_W	C_L	C_Dif	S	S_T	S_P	S_R	S_RP
86	13	0,26	4,90	1,60	0,33	4,00	1,40	0,35	0,58	0,34	0,98	-0,65	2	31,00	24,50	19,90	1,23
86	23	0,19	4,60	1,50	0,33	3,80	1,40	0,37	0,55	0,35	0,93	-0,58	2	31,20	24,50	19,70	1,24
86	43	0,28	4,90	1,10	0,22	4,40	1,10	0,25	0,52	0,24	0,92	-0,69	2	31,30	23,90	20,30	1,18
86	33	0,21	4,20	1,10	0,26	3,50	1,10	0,31	0,53	0,29	0,94	-0,65	2	30,40	24,10	18,50	1,30
87	13	0,13	4,60	0,70	0,15	3,50	0,60	0,17	0,46	0,16	0,93	-0,77	0	22,60	15,50	14,50	1,07
88	12	0,14	4,00	1,00	0,25	3,00	0,80	0,27	0,49	0,26	0,89	-0,63	0	21,70	13,00	13,30	0,98
88	23	0,17	5,00	0,60	0,12	4,10	0,70	0,17	0,46	0,15	0,93	-0,78	0	25,00	13,70	14,70	0,93
88	13	0,19	4,70	1,00	0,21	3,50	0,80	0,23	0,51	0,22	0,96	-0,74	2	29,00	23,30	19,00	1,23
89	11	0,32	6,40	1,10	0,17	5,10	0,70	0,14	0,55	0,15	1,05	-0,89	2	24,40	18,40	12,10	1,52
89	12	0,25	4,30	1,00	0,23	3,60	0,60	0,17	0,53	0,20	1,00	-0,80	2	22,20	17,60	11,50	1,53
89	22	0,27	5,20	1,00	0,19	4,70	0,70	0,15	0,53	0,17	1,02	-0,85	2	21,20	16,80	10,30	1,63
89	13	0,19	5,50	1,20	0,22	4,50	1,30	0,29	0,54	0,25	1,02	-0,76	2	24,30	19,40	13,70	1,42
89	23	0,15	5,40	1,20	0,22	4,00	0,90	0,23	0,54	0,22	1,05	-0,83	2	25,00	20,50	14,10	1,45
90	13	0,25	5,20	1,70	0,33	5,10	1,10	0,22	0,37	0,27	0,53	-0,26	1	25,70	16,80	15,80	1,06
90	23	0,20	5,10	1,20	0,24	4,60	1,00	0,22	0,34	0,23	0,53	-0,31	1	26,50	13,40	15,60	0,86
90	33	0,22	4,70	1,40	0,30	4,50	1,00	0,22	0,35	0,26	0,51	-0,25	1	26,20	13,00	16,00	0,81
90	43	0,22	4,70	1,20	0,26	4,10	1,00	0,24	0,39	0,25	0,61	-0,36	1	26,10	17,00	15,80	1,08
91	41	0,18	2,40	0,50	0,21	1,80	0,40	0,22	0,44	0,22	0,79	-0,58	2	20,40	16,10	13,00	1,24
91	43	0,15	3,50	0,60	0,17	2,80	0,60	0,21	0,48	0,19	0,94	-0,75	1	27,30	19,10	17,60	1,09
91	33	0,14	3,70	0,40	0,11	2,80	0,40	0,14	0,48	0,13	1,01	-0,88	2	27,50	23,20	17,50	1,33
92	13	0,21	3,80	1,10	0,29	3,30	0,70	0,21	0,50	0,25	0,90	-0,65	0	25,90	18,40	17,00	1,08
93	33	0,15	3,90	0,50	0,13	3,30	0,60	0,18	0,52	0,16	1,08	-0,92	2	25,40	20,40	14,80	1,38
94	22	0,33	4,40	1,00	0,23	3,30	0,70	0,21	0,53	0,22	0,94	-0,72	0	21,70	16,10	12,80	1,26
94	23	0,22	4,20	0,90	0,21	3,20	0,70	0,22	0,51	0,22	0,95	-0,74	2	27,50	21,30	17,80	1,20
95	13	0,23	4,60	1,10	0,24	4,50	0,90	0,20	0,51	0,22	0,94	-0,72	2	29,40	25,00	20,70	1,21
96	12	0,21	4,90	1,10	0,22	4,10	0,60	0,15	0,47	0,19	0,88	-0,69	0	19,30	14,00	12,70	1,10
97	12	0,28	3,00	0,80	0,27	2,80	0,70	0,25	0,40	0,26	0,60	-0,34	2	19,60	14,70	11,50	1,28
97	13	0,24	4,40	1,10	0,25	3,50	0,90	0,26	0,38	0,25	0,57	-0,31	2	19,30	14,60	12,20	1,20
97	33	0,27	3,60	1,20	0,33	2,60	0,90	0,35	0,53	0,34	0,85	-0,51	2	21,10	16,30	13,10	1,24
97	43	0,21	3,10	0,90	0,29	2,80	0,90	0,32	0,44	0,31	0,68	-0,38	2	19,50	14,20	12,00	1,18
98	23	0,26	4,40	0,90	0,20	3,50	0,80	0,23	0,46	0,22	0,82	-0,60	2	25,60	19,40	16,30	1,19
99	11	0,46	4,90	1,50	0,31	4,10	1,30	0,32	0,53	0,31	0,79	-0,47	1	23,80	15,10	12,30	1,23
99	21	0,40	4,80	1,60	0,33	3,60	1,00	0,28	0,47	0,31	0,68	-0,37	1	23,70	12,50	13,00	0,96
99	22	0,36	3,40	1,10	0,32	2,70	0,90	0,33	0,54	0,33	0,84	-0,52	1	21,50	14,90	12,10	1,23
99	12	0,36	3,60	1,20	0,33	2,80	0,90	0,32	0,44	0,33	0,60	-0,27	2	20,80	16,20	10,90	1,49
99	13	0,29	4,20	1,20	0,29	3,50	1,10	0,31	0,48	0,30	0,75	-0,45	1	23,10	14,70	13,90	1,06
99	23	0,31	4,00	1,50	0,38	3,20	1,10	0,34	0,51	0,36	0,76	-0,40	1	25,00	15,00	16,00	0,94
99	33	0,36	3,30	1,20	0,36	2,80	0,80	0,29	0,55	0,32	0,87	-0,54	1	25,20	16,80	15,40	1,09
99	43	0,28	3,10	1,10	0,35	2,60	0,80	0,31	0,51	0,33	0,81	-0,48	2	24,90	19,10	15,80	1,21
100	32	0,26	2,70	0,40	0,15	2,00	0,30	0,15	0,34	0,15	0,56	-0,41	2	21,20	12,70	11,80	1,08
100	42	0,11	2,50	0,60	0,24	1,80	0,40	0,22	0,44	0,23	0,81	-0,58	2	19,60	12,20	10,50	1,16
100	33	0,24	3,60	0,80	0,22	2,80	0,60	0,21	0,52	0,22	0,96	-0,74	2	24,00	17,90	14,20	1,26
100	43	0,15	3,60	1,10	0,31	2,80	0,60	0,21	0,50	0,26	0,91	-0,65	2	23,90	17,70	14,00	1,26
101	22	0,22	4,00	1,20	0,30	3,10	0,60	0,19	0,51	0,25	0,91	-0,66	0	18,60	12,20	10,20	1,20
101	23	0,24	4,90	0,90	0,18	4,00	0,80	0,20	0,47	0,19	0,86	-0,67	0	20,50	13,50	12,20	1,11
101	13	0,25	5,00	1,00	0,20	4,60	0,70	0,15	0,47	0,18	0,87	-0,69	1	21,60	14,60	13,30	1,10
102	11	0,33	5,80	1,70	0,29	4,60	0,80	0,17	0,56	0,23	0,99	-0,76	2	22,50	16,70	12,00	1,39
102	21	0,37	5,80	2,10	0,36	4,10	0,90	0,22	0,58	0,29	0,98	-0,69	2	23,00	17,40	13,00	1,34
102	12	0,33	4,00	0,90	0,23	3,20	0,60	0,19	0,56	0,21	1,02	-0,82	0	21,40	15,10	11,50	1,31
102	23	0,20	4,30	0,90	0,21	3,30	0,80	0,24	0,51	0,23	0,95	-0,73	0	25,30	18,60	15,80	1,18
102	13	0,19	4,50	0,90	0,20	3,60	0,60	0,17	0,52	0,18	1,02	-0,83	2	27,00	22,40	16,60	1,35

Estimativa da Idade pela proporção da área polpa/dente em Tomografia Computorizada de Feixe Cônico (CBCT):  
Aplicação Médico-Legal

Amostra	Dente	C_Aind	C_Bt	C_Bp	C_Bind	C_Ct	C_Cp	C_Cind	C_M	C_W	C_L	C_Dif	S	S_T	S_P	S_R	S_RP
103	12	0,22	3,50	1,20	0,34	2,90	0,60	0,21	0,55	0,27	0,98	-0,70	0	23,10	16,90	14,30	1,18
104	13	0,29	4,90	1,00	0,20	4,00	0,80	0,20	0,53	0,20	0,98	-0,78	0	26,00	18,20	16,20	1,12
105	13	0,18	4,80	1,00	0,21	4,10	0,80	0,20	0,49	0,20	0,92	-0,72	0	26,30	18,00	16,40	1,10
105	23	0,15	4,80	0,90	0,19	4,00	0,50	0,13	0,47	0,16	0,95	-0,79	2	26,10	20,70	16,00	1,29
106	43	0,11	3,40	0,30	0,09	3,20	0,50	0,16	0,44	0,12	0,92	-0,80	2	24,10	20,00	15,00	1,33
107	13	0,21	3,90	0,80	0,21	3,10	0,60	0,19	0,50	0,20	0,94	-0,74	0	23,80	15,70	14,20	1,11
108	11	0,37	5,90	1,10	0,19	5,10	1,00	0,20	0,51	0,19	0,90	-0,71	2	22,60	15,70	11,30	1,39
108	22	0,35	4,80	1,30	0,27	3,60	1,10	0,31	0,55	0,29	0,90	-0,61	2	21,80	16,20	12,20	1,33
108	12	0,34	4,70	1,10	0,23	3,20	0,60	0,19	0,54	0,21	0,97	-0,76	2	22,10	15,40	12,40	1,24
108	13	0,23	5,30	1,30	0,25	4,30	0,90	0,21	0,53	0,23	0,97	-0,75	2	25,60	20,00	14,80	1,35
108	23	0,25	5,30	1,00	0,19	4,20	1,20	0,29	0,54	0,24	0,98	-0,74	2	25,50	20,10	15,40	1,31
109	11	0,45	6,60	1,80	0,27	4,90	1,00	0,20	0,52	0,24	0,82	-0,58	2	21,80	13,70	12,40	1,10
109	21	0,41	6,20	1,30	0,21	4,60	1,00	0,22	0,52	0,21	0,88	-0,67	2	22,10	13,70	12,60	1,09
109	12	0,31	4,70	1,70	0,36	3,70	1,50	0,41	0,57	0,38	0,89	-0,51	2	23,50	16,70	15,10	1,11
109	43	0,35	4,20	1,30	0,31	3,80	0,90	0,24	0,52	0,27	0,86	-0,59	2	25,40	18,10	15,00	1,21
110	13	0,17	4,00	0,80	0,20	3,30	0,60	0,18	0,51	0,19	1,00	-0,81	2	26,00	20,40	17,70	1,15
111	33	0,17	3,70	0,70	0,19	3,10	0,50	0,16	0,46	0,18	0,88	-0,70	2	26,90	20,20	16,30	1,24
111	43	0,18	4,10	0,40	0,10	3,20	0,40	0,13	0,45	0,11	0,93	-0,82	2	25,90	20,00	15,80	1,27
112	11	0,36	5,30	0,80	0,15	3,90	0,60	0,15	0,46	0,15	0,83	-0,68	2	21,00	14,30	11,30	1,27
112	21	0,38	5,10	1,20	0,24	4,00	0,60	0,15	0,47	0,19	0,79	-0,60	2	21,50	14,30	11,80	1,21
112	12	0,29	3,70	0,90	0,24	2,60	0,50	0,19	0,47	0,22	0,82	-0,60	1	20,00	12,30	10,50	1,17
112	13	0,16	4,60	0,70	0,15	4,30	0,60	0,14	0,45	0,15	0,89	-0,75	1	26,90	18,70	17,50	1,07
112	23	0,18	4,70	0,80	0,17	4,20	0,90	0,21	0,47	0,19	0,90	-0,71	1	25,20	18,40	15,40	1,19
113	21	0,34	5,80	1,30	0,22	4,50	1,20	0,27	0,58	0,25	1,04	-0,79	2	27,60	22,40	15,70	1,43
113	22	0,30	4,40	1,00	0,23	3,50	0,80	0,23	0,54	0,23	0,98	-0,76	0	24,60	18,90	14,60	1,29
113	23	0,21	5,10	1,10	0,22	4,20	0,90	0,21	0,52	0,21	0,99	-0,77	2	29,10	25,40	17,40	1,46
114	33	0,20	4,80	1,00	0,21	3,40	0,90	0,26	0,52	0,24	0,96	-0,73	2	24,10	19,20	14,10	1,36
114	43	0,26	4,80	1,20	0,25	3,70	1,10	0,30	0,57	0,27	1,02	-0,75	2	25,90	19,30	15,10	1,28
115	43	0,19	4,90	1,00	0,20	3,70	1,00	0,27	0,48	0,24	0,88	-0,64	2	26,80	17,00	15,20	1,12
116	13	0,19	4,90	1,00	0,20	4,00	0,90	0,23	0,53	0,21	1,02	-0,81	2	23,60	17,80	13,80	1,29
117	12	0,28	3,90	1,00	0,26	3,10	0,70	0,23	0,57	0,24	1,06	-0,81	2	22,60	19,30	12,70	1,52
118	11	0,39	5,40	1,10	0,20	4,00	1,00	0,25	0,53	0,23	0,89	-0,66	2	23,80	16,10	11,60	1,39
118	21	0,44	5,20	1,20	0,23	4,00	1,30	0,33	0,56	0,28	0,91	-0,64	2	23,40	15,70	12,40	1,27
118	12	0,15	4,20	0,70	0,17	3,40	0,60	0,18	0,45	0,17	0,86	-0,69	2	23,40	15,40	12,60	1,22
118	22	0,40	4,10	1,20	0,29	3,00	1,00	0,33	0,57	0,31	0,91	-0,60	2	22,90	16,00	11,90	1,34
118	32	0,21	2,90	0,90	0,31	2,40	0,60	0,25	0,49	0,28	0,84	-0,56	2	21,80	16,30	12,30	1,33
118	42	0,18	3,00	0,70	0,23	2,40	0,50	0,21	0,45	0,22	0,83	-0,61	2	22,20	16,00	12,30	1,30
118	13	0,25	4,90	1,20	0,24	3,80	0,70	0,18	0,52	0,21	0,97	-0,76	2	24,50	18,90	14,30	1,32
118	23	0,20	4,70	1,10	0,23	3,60	0,40	0,11	0,51	0,17	1,00	-0,83	2	23,80	18,30	13,90	1,32
118	33	0,16	3,70	0,80	0,22	2,50	0,60	0,24	0,52	0,23	0,99	-0,76	2	24,20	17,70	13,10	1,35
118	43	0,21	4,20	0,90	0,21	3,20	0,80	0,25	0,53	0,23	0,98	-0,75	2	24,30	18,90	13,50	1,40
119	12	0,29	4,60	1,20	0,26	3,60	0,60	0,17	0,49	0,21	0,86	-0,65	2	21,70	16,70	11,80	1,42
119	22	0,34	4,90	1,50	0,31	4,00	0,80	0,20	0,55	0,25	0,94	-0,69	2	22,40	17,40	12,80	1,36
120	13	0,17	4,30	0,80	0,19	3,50	0,60	0,17	0,48	0,18	0,93	-0,75	0	24,20	16,70	16,40	1,02
121	11	0,32	6,10	1,00	0,16	5,00	1,20	0,24	0,56	0,20	1,04	-0,83	2	25,70	20,20	13,70	1,47
121	12	0,22	3,80	0,70	0,18	3,00	0,60	0,20	0,49	0,19	0,92	-0,72	0	23,50	16,30	13,60	1,20
121	22	0,26	4,00	0,90	0,23	2,80	0,80	0,29	0,53	0,26	0,94	-0,69	0	23,30	16,20	13,50	1,20
121	23	0,22	4,90	1,50	0,31	3,60	1,00	0,28	0,52	0,29	0,89	-0,60	0	28,50	19,50	17,60	1,11
121	13	0,21	4,80	1,20	0,25	4,10	0,70	0,17	0,48	0,21	0,89	-0,68	2	29,30	22,80	19,10	1,19
122	12	0,23	4,50	1,00	0,22	3,60	0,60	0,17	0,51	0,19	0,97	-0,78	2	22,50	17,40	12,90	1,35
122	22	0,24	4,60	1,00	0,22	3,70	0,70	0,19	0,50	0,20	0,92	-0,71	2	21,80	16,00	12,20	1,31



Estimativa da Idade pela proporção da área polpa/dente em Tomografia Computorizada de Feixe Cônico (CBCT):  
Aplicação Médico-Legal

Amostra	Dente	C_Aind	C_Bt	C_Bp	C_Bind	C_Ct	C_Cp	C_Cind	C_M	C_W	C_L	C_Dif	S	S_T	S_P	S_R	S_RP
122	13	0,18	5,60	1,10	0,20	5,30	0,70	0,13	0,46	0,16	0,91	-0,74	2	25,80	18,60	16,00	1,16
122	23	0,21	5,60	1,00	0,18	5,40	0,80	0,15	0,47	0,16	0,90	-0,74	2	27,00	19,40	17,30	1,12
123	11	0,31	5,80	1,40	0,24	4,60	1,00	0,22	0,55	0,23	0,99	-0,76	2	22,80	18,70	13,40	1,40
123	21	0,32	5,80	1,30	0,22	4,50	0,80	0,18	0,54	0,20	0,99	-0,79	2	21,90	17,90	12,50	1,43
123	22	0,21	4,10	0,80	0,20	3,30	0,60	0,18	0,51	0,19	0,99	-0,80	2	23,40	19,50	13,80	1,41
123	43	0,27	3,30	0,80	0,24	2,70	0,50	0,19	0,54	0,21	0,99	-0,78	0	25,20	20,70	16,90	1,22
123	33	0,15	3,40	0,60	0,18	2,70	0,70	0,26	0,55	0,22	1,08	-0,86	0	23,20	18,50	15,40	1,20
124	32	0,25	3,90	0,60	0,15	2,90	0,60	0,21	0,49	0,18	0,93	-0,74	2	24,40	19,10	14,60	1,31
124	33	0,28	4,50	1,40	0,31	3,70	1,10	0,30	0,57	0,30	0,98	-0,68	2	24,90	19,00	15,60	1,22
125	21	0,35	5,10	1,20	0,24	3,80	0,60	0,16	0,55	0,20	1,00	-0,80	2	24,90	17,30	13,00	1,33
125	22	0,37	4,20	1,50	0,36	3,30	0,90	0,27	0,55	0,31	0,87	-0,56	2	22,10	15,90	12,20	1,30
126	22	0,22	4,30	1,10	0,26	3,30	0,50	0,15	0,51	0,20	0,95	-0,75	2	23,50	18,00	13,40	1,34
127	23	0,25	4,50	1,20	0,27	3,50	0,90	0,26	0,56	0,26	1,00	-0,74	2	27,20	22,60	17,60	1,28
128	43	0,19	4,70	0,90	0,19	4,00	0,80	0,20	0,51	0,20	0,97	-0,78	2	28,60	22,00	18,40	1,20
129	32	0,27	3,30	1,10	0,33	2,50	0,90	0,36	0,54	0,35	0,86	-0,52	2	20,70	16,20	12,00	1,35
129	42	0,25	3,80	1,20	0,32	2,50	0,80	0,32	0,55	0,32	0,94	-0,62	2	20,90	16,70	12,20	1,37
129	33	0,21	3,90	1,00	0,26	3,10	0,80	0,26	0,53	0,26	0,97	-0,71	2	22,40	18,40	13,40	1,37
129	43	0,23	3,80	0,80	0,21	3,00	0,90	0,30	0,54	0,26	0,97	-0,71	2	22,70	18,30	13,10	1,40
130	22	0,30	4,50	1,20	0,27	3,50	1,10	0,31	0,57	0,29	0,99	-0,70	2	23,80	19,10	12,70	1,50
130	23	0,17	6,00	1,30	0,22	4,60	1,20	0,26	0,54	0,24	1,02	-0,78	2	25,50	20,80	14,30	1,45
131	13	0,19	5,00	1,00	0,20	3,90	0,70	0,18	0,50	0,19	0,95	-0,76	2	26,50	21,70	18,00	1,21
132	41	0,22	3,30	0,50	0,15	2,80	0,40	0,14	0,47	0,15	0,92	-0,77	2	22,00	16,30	13,40	1,22
133	32	0,11	2,90	0,40	0,14	2,40	0,30	0,13	0,43	0,13	0,88	-0,75	2	21,70	17,10	12,90	1,33
134	11	0,23	5,10	1,00	0,20	4,40	1,00	0,23	0,43	0,21	0,75	-0,53	2	23,80	13,80	14,20	0,97
134	21	0,19	5,60	0,80	0,14	4,70	0,70	0,15	0,43	0,15	0,82	-0,68	2	23,50	14,80	13,50	1,10
134	33	0,23	3,80	0,80	0,21	3,20	0,60	0,19	0,47	0,20	0,87	-0,67	1	24,50	16,80	15,00	1,12
135	11	0,32	5,00	0,90	0,18	3,80	1,00	0,26	0,48	0,22	0,81	-0,59	2	22,60	15,00	12,20	1,23
135	22	0,41	3,70	1,00	0,27	3,10	0,80	0,26	0,57	0,26	0,96	-0,69	2	25,00	19,60	15,80	1,24
136	42	0,24	3,50	1,00	0,29	2,50	0,50	0,20	0,54	0,24	0,99	-0,74	2	20,40	16,30	11,90	1,37
137	22	0,34	3,90	0,60	0,15	3,10	0,70	0,23	0,54	0,19	1,00	-0,81	0	22,90	16,80	12,30	1,37
137	12	0,32	4,30	0,70	0,16	3,40	0,70	0,21	0,58	0,18	1,10	-0,91	2	22,70	18,60	12,00	1,55
137	13	0,25	5,10	1,00	0,20	4,10	1,00	0,24	0,56	0,22	1,06	-0,84	2	27,20	22,10	15,50	1,43
138	31	0,22	2,80	0,40	0,14	1,90	0,40	0,21	0,43	0,18	0,78	-0,60	0	20,20	10,70	10,10	1,06
138	32	0,20	3,30	0,50	0,15	2,40	0,50	0,21	0,49	0,18	0,95	-0,77	2	22,40	16,70	12,80	1,30
139	22	0,26	4,20	1,30	0,31	3,40	0,50	0,15	0,51	0,23	0,90	-0,68	2	25,00	19,50	14,60	1,34
139	23	0,18	4,20	0,60	0,14	3,50	0,60	0,17	0,49	0,16	0,97	-0,81	2	28,50	23,10	19,00	1,22
140	43	0,20	3,40	1,10	0,32	2,50	0,90	0,36	0,54	0,34	0,90	-0,56	1	24,30	17,60	14,80	1,19
140	33	0,21	3,80	1,00	0,26	2,60	0,70	0,27	0,53	0,27	0,96	-0,70	2	22,20	16,70	13,90	1,20
141	11	0,36	5,90	1,60	0,27	5,30	1,20	0,23	0,58	0,25	1,02	-0,77	2	26,30	20,70	13,30	1,56
141	21	0,42	6,20	1,60	0,26	5,80	1,20	0,21	0,60	0,23	1,06	-0,82	2	24,90	20,00	13,40	1,49
141	12	0,28	3,90	1,20	0,31	3,40	0,90	0,26	0,55	0,29	0,94	-0,66	2	23,90	19,20	13,10	1,47
141	22	0,38	4,30	1,60	0,37	3,70	1,10	0,30	0,60	0,33	0,98	-0,65	2	20,60	16,30	10,20	1,60
141	42	0,33	2,90	1,10	0,38	2,20	0,50	0,23	0,57	0,30	0,95	-0,65	2	25,10	20,30	15,40	1,32
141	32	0,35	3,20	1,00	0,31	2,70	1,00	0,37	0,58	0,34	0,93	-0,59	2	24,50	20,00	14,60	1,37
141	13	0,20	4,80	1,30	0,27	3,90	1,00	0,26	0,58	0,26	1,09	-0,82	2	28,20	14,40	17,50	0,82
141	23	0,14	5,00	1,20	0,24	3,90	0,90	0,23	0,54	0,24	1,04	-0,80	2	30,00	24,20	19,30	1,25
141	33	0,14	4,30	0,90	0,21	3,50	0,80	0,23	0,52	0,22	1,02	-0,80	2	29,00	23,50	18,10	1,30
141	43	0,12	4,20	0,80	0,19	3,50	0,80	0,23	0,53	0,21	1,05	-0,84	2	29,70	25,40	18,40	1,38
142	11	0,29	4,10	1,10	0,27	3,50	0,80	0,23	0,58	0,25	1,05	-0,80	2	24,40	21,20	15,10	1,40
142	21	0,32	4,70	1,10	0,23	3,40	1,00	0,29	0,61	0,26	1,10	-0,83	2	24,40	21,50	14,60	1,47
142	32	0,31	3,10	1,10	0,35	2,20	0,70	0,32	0,59	0,34	0,97	-0,64	2	21,80	19,70	14,40	1,37

Estimativa da Idade pela proporção da área polpa/dente em Tomografia Computorizada de Feixe Cônico (CBCT):  
Aplicação Médico-Legal

Amostra	Dente	C_Aind	C_Bt	C_Bp	C_Bind	C_Ct	C_Cp	C_Cind	C_M	C_W	C_L	C_Dif S	S_T	S_P	S_R	S_RP	
142	43	0,30	3,70	0,70	0,19	3,00	1,10	0,37	0,61	0,28	1,09	-0,81	0	23,10	18,90	14,90	1,27
143	11	0,35	6,10	1,90	0,31	4,00	1,00	0,25	0,54	0,28	0,89	-0,61	2	24,20	17,20	12,70	1,35
143	21	0,28	5,50	0,90	0,16	3,90	0,90	0,23	0,51	0,20	0,94	-0,75	2	22,90	15,60	12,50	1,25
143	22	0,30	3,70	1,00	0,27	2,90	0,60	0,21	0,53	0,24	0,95	-0,71	2	23,20	16,50	13,70	1,20
143	23	0,19	4,00	1,00	0,25	3,10	0,70	0,23	0,49	0,24	0,90	-0,66	2	26,00	18,20	15,90	1,14
144	13	0,20	5,00	1,40	0,28	4,00	1,10	0,28	0,55	0,28	1,00	-0,72	2	28,10	21,80	18,50	1,18
145	23	0,16	4,00	0,80	0,20	3,90	0,80	0,21	0,51	0,20	1,01	-0,80	2	27,70	21,80	18,60	1,17
146	32	0,26	2,90	0,50	0,17	2,10	0,40	0,19	0,50	0,18	0,94	-0,76	1	21,90	16,60	14,60	1,14
146	33	0,15	3,70	0,60	0,16	3,10	0,60	0,19	0,46	0,18	0,91	-0,73	2	22,30	17,10	14,80	1,16
147	21	0,33	4,70	1,30	0,28	3,50	0,90	0,26	0,57	0,27	0,99	-0,72	2	24,00	18,80	12,60	1,49
147	22	0,29	3,30	0,90	0,27	2,60	0,80	0,31	0,58	0,29	1,02	-0,73	0	22,30	16,90	13,20	1,28
147	12	0,27	3,50	1,00	0,29	2,40	0,50	0,21	0,53	0,25	0,95	-0,71	2	21,20	17,00	12,00	1,42
148	22	0,24	4,20	0,90	0,21	2,90	0,60	0,21	0,53	0,21	1,00	-0,79	2	23,00	18,80	12,70	1,48
148	23	0,22	4,40	1,00	0,23	3,70	0,70	0,19	0,54	0,21	1,04	-0,83	2	25,50	20,70	14,80	1,40
149	31	0,19	3,20	1,00	0,31	3,10	0,80	0,26	0,65	0,29	1,24	-0,96	2	24,10	19,20	15,10	1,27
149	33	0,16	4,00	0,80	0,20	3,70	1,20	0,32	0,55	0,26	1,03	-0,77	0	26,50	20,10	15,70	1,28
149	43	0,15	4,60	0,90	0,20	3,80	0,80	0,21	0,52	0,20	1,03	-0,82	2	28,70	23,90	17,60	1,36
150	12	0,30	3,90	1,50	0,38	3,10	1,20	0,39	0,62	0,39	1,01	-0,62	2	20,80	15,70	11,90	1,32
150	22	0,33	4,00	1,60	0,40	3,60	0,90	0,25	0,56	0,33	0,92	-0,59	2	21,20	15,80	12,60	1,25
150	42	0,30	2,50	0,80	0,32	2,10	0,60	0,29	0,55	0,30	0,93	-0,62	0	21,70	16,60	14,30	1,16
150	32	0,30	2,80	0,50	0,18	2,20	0,50	0,23	0,49	0,20	0,88	-0,68	2	22,90	17,70	14,60	1,21
150	13	0,19	4,40	1,00	0,23	3,60	1,00	0,28	0,53	0,25	0,98	-0,72	2	26,50	20,80	17,90	1,16
150	23	0,22	4,60	0,90	0,20	3,80	0,90	0,24	0,50	0,22	0,92	-0,71	2	26,50	20,90	17,80	1,17
150	33	0,22	4,30	0,80	0,19	3,50	0,80	0,23	0,50	0,21	0,94	-0,73	2	24,90	18,90	14,90	1,27
150	43	0,19	4,10	0,70	0,17	3,30	0,80	0,24	0,49	0,21	0,92	-0,71	2	24,10	18,20	14,90	1,22
151	11	0,47	5,10	2,00	0,39	3,40	0,60	0,18	0,62	0,28	1,03	-0,74	2	23,60	18,20	11,80	1,54
151	21	0,46	4,70	2,00	0,43	3,80	1,10	0,29	0,64	0,36	1,01	-0,65	2	23,00	18,20	11,30	1,61
151	22	0,52	4,20	1,70	0,40	3,20	1,10	0,34	0,63	0,37	0,95	-0,57	2	23,00	17,50	12,20	1,43
151	13	0,30	3,30	2,00	0,61	3,00	0,60	0,20	0,64	0,40	1,03	-0,63	2	24,80	19,30	14,50	1,33
151	23	0,26	3,90	1,20	0,31	2,90	0,90	0,31	0,58	0,31	1,01	-0,70	2	25,80	21,50	15,40	1,40
151	33	0,27	3,80	0,90	0,24	2,60	0,90	0,35	0,58	0,29	1,02	-0,73	2	24,80	19,50	13,60	1,43
152	11	0,44	6,90	2,70	0,39	6,50	1,50	0,23	0,60	0,31	0,97	-0,66	2	24,90	18,60	14,50	1,28
152	21	0,57	7,00	2,00	0,29	4,80	0,70	0,15	0,57	0,22	0,92	-0,70	2	24,90	17,60	14,10	1,25
152	12	0,40	3,80	1,00	0,26	3,20	0,80	0,25	0,57	0,26	0,97	-0,71	2	24,00	18,40	13,70	1,34
152	22	0,37	4,50	1,10	0,24	3,30	0,60	0,18	0,54	0,21	0,95	-0,73	2	23,80	17,70	13,10	1,35
152	13	0,26	4,20	1,00	0,24	3,70	0,60	0,16	0,52	0,20	0,96	-0,76	2	27,90	21,10	18,10	1,17
153	23	0,20	5,20	1,30	0,25	4,10	0,60	0,15	0,52	0,20	1,01	-0,81	2	31,40	27,00	20,20	1,34
154	11	0,36	6,00	1,30	0,22	4,50	0,80	0,18	0,57	0,20	1,05	-0,85	2	24,40	18,80	12,50	1,50
154	23	0,20	5,60	1,30	0,23	4,80	0,90	0,19	0,53	0,21	1,01	-0,80	0	26,50	20,90	16,30	1,28
154	13	0,22	5,30	1,30	0,25	4,30	1,00	0,23	0,55	0,24	1,02	-0,78	2	26,60	20,60	15,70	1,31
155	13	0,14	4,80	1,00	0,21	3,80	0,60	0,16	0,49	0,18	0,98	-0,80	2	27,70	22,60	17,40	1,30
156	23	0,17	4,90	1,00	0,20	4,10	0,70	0,17	0,48	0,19	0,94	-0,75	2	27,20	21,10	17,40	1,21
157	43	0,14	3,80	0,60	0,16	3,20	0,50	0,16	0,47	0,16	0,96	-0,80	2	24,80	19,70	14,70	1,34
158	23	0,21	4,40	1,00	0,23	3,30	1,00	0,30	0,50	0,27	0,88	-0,62	2	27,20	21,10	16,80	1,26

Estimativa da Idade pela proporção da área polpa/dente em Tomografia Computorizada de Feixe Cônico (CBCT):  
Aplicação Médico-Legal

Amostra	Dente	S_RT	S_RR	S_At	S_Ap	S_Aind	S_Bt	S_Bp	S_Bind	S_Ct	S_Cp	S_Cind	S_M	S_W	S_L	S_Dif	C_Age
1	11	1,76	0,73	7,00	1,80	0,26	6,60	1,50	0,23	5,40	1,20	0,22	0,54	0,22	1,00	-0,78	21,89
1	22	1,70	0,66	7,20	1,90	0,26	6,10	1,60	0,26	5,40	1,30	0,24	0,51	0,25	0,89	-0,64	23,94
1	12	1,74	0,70	6,90	2,10	0,30	5,60	1,40	0,25	5,00	1,30	0,26	0,55	0,26	0,96	-0,71	20,44
1	23	1,67	0,74	8,60	3,10	0,36	8,10	4,40	0,54	6,40	1,60	0,25	0,63	0,40	0,99	-0,59	
2	21	1,68	0,72	7,10	1,70	0,24	6,80	1,20	0,18	5,50	0,90	0,16	0,50	0,17	0,97	-0,80	35,67
2	11	1,87	0,71	6,90	1,60	0,23	6,60	1,30	0,20	5,20	1,00	0,19	0,53	0,19	1,02	-0,82	39,20
2	22	1,95	0,66	5,80	1,90	0,33	5,00	1,30	0,26	4,70	0,90	0,19	0,54	0,23	0,97	-0,75	26,80
2	33	1,47	0,71	7,90	2,30	0,29	8,10	1,80	0,22	7,80	1,40	0,18	0,49	0,20	0,88	-0,68	33,37
2	43	1,61	0,70	8,60	2,50	0,29	8,30	1,90	0,23	7,10	0,90	0,13	0,50	0,18	0,92	-0,74	38,80
3	13	1,70	0,74	8,30	2,80	0,34	7,40	1,90	0,26	6,20	1,10	0,18	0,55	0,22	1,00	-0,78	
4	23	1,48	0,78	7,50	2,20	0,29	8,10	2,30	0,28	6,30	0,70	0,11	0,52	0,20	0,96	-0,77	
5	12	1,67	0,70	5,90	1,40	0,24	5,20	0,90	0,17	4,60	0,60	0,13	0,48	0,15	0,94	-0,79	21,37
6	23	1,77	0,75	8,60	2,60	0,30	8,20	2,10	0,26	7,10	1,30	0,18	0,56	0,22	1,04	-0,82	
7	32	1,73	0,71	6,20	1,90	0,31	5,70	1,80	0,32	4,60	0,90	0,20	0,55	0,26	0,97	-0,72	33,94
7	42	1,66	0,76	6,50	1,80	0,28	6,10	1,70	0,28	4,70	0,80	0,17	0,55	0,22	1,01	-0,78	30,50
7	33	1,71	0,79	8,00	2,40	0,30	7,00	1,60	0,23	6,10	0,90	0,15	0,56	0,19	1,07	-0,88	32,56
7	43	1,73	0,73	7,70	2,30	0,30	7,10	1,70	0,24	5,80	1,10	0,19	0,55	0,21	1,00	-0,78	29,06
8	23	1,50	0,74	7,10	1,90	0,27	7,60	1,10	0,14	5,90	0,70	0,12	0,48	0,13	0,93	-0,80	
9	13	1,51	0,76	8,40	2,10	0,25	7,90	1,40	0,18	6,00	1,00	0,17	0,50	0,17	0,96	-0,78	
10	11	1,91	0,72	6,10	1,00	0,16	5,30	0,90	0,17	4,40	0,80	0,18	0,52	0,18	1,05	-0,88	35,19
11	13	1,62	0,74	7,00	2,30	0,33	6,60	2,10	0,32	5,20	0,80	0,15	0,55	0,24	0,98	-0,74	
12	11	1,93	0,53	6,30	1,00	0,16	5,80	1,20	0,21	5,20	0,90	0,17	0,42	0,19	0,78	-0,59	23,04
13	23	1,59	0,80	8,60	3,20	0,37	8,50	2,90	0,34	6,90	1,90	0,28	0,61	0,31	1,03	-0,72	
14	11	1,82	0,76	6,00	1,40	0,23	5,50	0,90	0,16	4,70	0,70	0,15	0,54	0,16	1,08	-0,92	37,87
14	12	1,72	0,69	5,50	1,20	0,22	5,00	0,70	0,14	4,30	0,70	0,16	0,48	0,15	0,94	-0,79	30,96
15	23	1,64	0,74	8,00	2,20	0,28	6,80	1,30	0,19	5,20	0,70	0,13	0,51	0,16	0,98	-0,81	
15	33	1,67	0,62	7,60	2,10	0,28	7,10	2,10	0,30	5,90	0,90	0,15	0,48	0,22	0,83	-0,60	52,12
15	43	1,66	0,64	7,80	2,00	0,26	6,80	1,50	0,22	5,40	0,80	0,15	0,46	0,18	0,84	-0,66	49,85
16	43	1,51	0,51	7,60	2,10	0,28	6,80	1,50	0,22	5,50	1,00	0,18	0,39	0,20	0,64	-0,44	60,86
17	22	1,67	0,72	5,90	1,30	0,22	5,30	1,20	0,23	4,50	1,00	0,22	0,52	0,22	0,96	-0,74	13,88
17	12	1,74	0,71	6,40	1,70	0,27	5,50	1,20	0,22	4,70	1,40	0,30	0,55	0,26	0,98	-0,72	16,24
17	13	1,58	0,73	8,70	2,60	0,30	7,80	1,90	0,24	5,80	1,20	0,21	0,52	0,23	0,94	-0,71	
17	23	1,59	0,74	8,60	2,30	0,27	7,50	2,10	0,28	5,80	1,30	0,22	0,54	0,25	0,96	-0,70	
17	33	1,45	0,73	7,80	2,10	0,27	7,40	2,80	0,38	6,10	1,50	0,25	0,54	0,31	0,90	-0,58	35,91
17	43	1,53	0,77	8,00	2,10	0,26	7,90	3,10	0,39	6,40	1,90	0,30	0,58	0,34	0,98	-0,63	36,26
18	32	1,50	0,79	6,30	2,20	0,35	6,50	2,40	0,37	5,70	1,50	0,26	0,59	0,32	0,99	-0,67	37,85
18	33	1,51	0,68	7,30	2,00	0,27	7,60	2,80	0,37	6,30	1,40	0,22	0,51	0,30	0,85	-0,55	43,24
19	33	1,59	0,80	7,40	2,10	0,28	7,00	1,80	0,26	5,50	1,40	0,25	0,58	0,26	1,04	-0,79	33,02
20	13	1,55	0,51	7,20	2,10	0,29	6,50	1,40	0,22	5,20	1,10	0,21	0,41	0,21	0,66	-0,44	
20	33	1,54	0,82	6,80	1,70	0,25	6,60	1,40	0,21	5,70	1,00	0,18	0,54	0,19	1,04	-0,84	37,39
21	21	1,70	0,73	6,50	1,50	0,23	5,90	1,40	0,24	4,90	1,20	0,24	0,54	0,24	0,99	-0,75	26,45
21	13	1,58	0,80	7,20	2,80	0,39	7,00	2,50	0,36	5,60	1,50	0,27	0,61	0,31	1,03	-0,72	
22	21	1,88	0,75	5,80	1,20	0,21	4,70	0,90	0,19	3,70	0,70	0,19	0,55	0,19	1,08	-0,89	25,82
22	12	1,62	0,75	6,00	1,10	0,18	5,00	1,40	0,28	4,10	1,00	0,24	0,53	0,26	0,98	-0,72	25,34
22	23	1,35	0,86	6,10	1,50	0,25	4,90	0,80	0,16	3,70	0,90	0,24	0,54	0,20	1,01	-0,81	
22	13	1,57	0,80	6,60	1,60	0,24	5,70	1,80	0,32	4,80	0,90	0,19	0,56	0,25	1,02	-0,77	
23	13	1,52	0,60	7,20	1,90	0,26	6,90	1,80	0,26	6,20	1,20	0,19	0,45	0,23	0,76	-0,53	
24	13	1,66	0,73	7,00	1,60	0,23	6,50	1,40	0,22	5,00	0,80	0,16	0,51	0,19	0,98	-0,79	
25	33	1,56	0,80	8,50	2,90	0,34	8,00	2,50	0,31	5,80	0,80	0,14	0,57	0,23	1,02	-0,80	40,82
25	43	1,51	0,79	8,90	3,50	0,39	8,40	3,80	0,45	6,30	1,10	0,17	0,60	0,31	0,99	-0,68	20,44
26	33	1,56	0,61	6,70	1,40	0,21	6,50	0,90	0,14	5,70	0,50	0,09	0,40	0,11	0,78	-0,66	47,81

Estimativa da Idade pela proporção da área polpa/dente em Tomografia Computorizada de Feixe Cônico (CBCT):  
Aplicação Médico-Legal

Amostra	Dente	S_RT	S_RR	S_At	S_Ap	S_Aind	S_Bt	S_Bp	S_Bind	S_Ct	S_Cp	S_Cind	S_M	S_W	S_L	S_Dif	C_Age
27	13	1,50	0,60	7,10	1,60	0,23	6,90	1,70	0,25	5,50	0,60	0,11	0,41	0,18	0,75	-0,57	
27	33	1,53	0,76	8,20	2,30	0,28	7,30	1,90	0,26	6,20	0,70	0,11	0,52	0,19	0,97	-0,78	34,48
28	43	1,65	0,78	7,90	2,70	0,34	7,10	1,60	0,23	5,90	1,40	0,24	0,58	0,23	1,04	-0,81	31,38
29	33	1,67	0,68	7,70	1,50	0,19	7,40	3,30	0,45	6,10	1,10	0,18	0,53	0,31	0,91	-0,60	42,85
30	23	1,66	0,72	8,60	2,70	0,31	8,10	1,90	0,23	6,90	1,00	0,14	0,52	0,19	0,96	-0,77	
31	21	1,90	0,76	5,60	1,40	0,25	5,00	1,00	0,20	4,30	1,00	0,23	0,58	0,22	1,10	-0,89	25,50
31	12	1,79	0,78	5,40	1,60	0,30	5,20	1,30	0,25	4,30	1,00	0,23	0,59	0,24	1,09	-0,85	18,37
31	22	1,80	0,73	5,50	1,70	0,31	4,80	0,90	0,19	4,20	0,80	0,19	0,55	0,19	1,02	-0,83	21,06
31	13	1,57	0,81	7,00	2,40	0,34	6,90	2,90	0,42	5,70	1,20	0,21	0,61	0,32	1,04	-0,72	
31	23	1,54	0,85	6,80	2,10	0,31	6,70	2,20	0,33	5,20	0,70	0,13	0,59	0,23	1,08	-0,85	
32	22	1,73	0,63	5,40	1,20	0,22	5,00	1,10	0,22	4,10	0,90	0,22	0,48	0,22	0,86	-0,64	34,86
32	43	1,69	0,77	7,00	1,50	0,21	6,30	2,00	0,32	5,90	1,30	0,22	0,57	0,27	1,04	-0,77	57,05
33	13	1,51	0,73	9,30	2,40	0,26	9,00	1,90	0,21	6,10	1,10	0,18	0,50	0,20	0,92	-0,72	
34	22	1,76	0,73	6,10	1,30	0,21	5,50	1,60	0,29	4,60	0,80	0,17	0,54	0,23	1,00	-0,77	28,28
34	23	1,64	0,79	8,40	3,20	0,38	8,20	3,10	0,38	6,30	1,20	0,19	0,61	0,28	1,05	-0,76	
35	33	1,61	0,61	7,80	1,50	0,19	8,00	1,40	0,18	6,50	0,80	0,12	0,42	0,15	0,80	-0,65	51,32
36	22	1,74	0,78	6,40	1,60	0,25	5,80	1,00	0,17	5,40	1,00	0,19	0,55	0,18	1,07	-0,89	30,59
36	23	1,60	0,78	8,30	3,20	0,39	7,40	1,70	0,23	6,90	1,20	0,17	0,56	0,20	1,01	-0,81	
36	13	1,54	0,80	7,40	2,30	0,31	6,50	1,40	0,22	5,30	1,50	0,28	0,57	0,25	1,02	-0,77	
37	21	1,83	0,72	5,50	0,90	0,16	5,50	1,20	0,22	5,00	1,00	0,20	0,53	0,21	1,02	-0,81	37,61
37	11	1,96	0,79	5,70	1,40	0,25	5,50	1,20	0,22	4,60	0,70	0,15	0,59	0,19	1,16	-0,98	23,02
37	22	1,77	0,78	5,60	1,70	0,30	4,90	1,10	0,22	4,30	1,00	0,23	0,59	0,23	1,08	-0,86	13,77
37	12	1,78	0,79	5,50	1,40	0,25	5,20	1,00	0,19	5,00	0,90	0,18	0,56	0,19	1,09	-0,91	17,65
37	13	1,69	0,83	7,20	2,30	0,32	7,10	1,60	0,23	6,10	1,00	0,16	0,58	0,19	1,11	-0,91	
38	11	1,95	0,74	5,50	1,20	0,22	5,20	1,00	0,19	4,90	1,20	0,24	0,57	0,22	1,10	-0,88	30,39
38	21	1,87	0,76	5,80	1,30	0,22	5,40	1,20	0,22	4,70	1,10	0,23	0,57	0,23	1,09	-0,87	35,02
38	12	1,77	0,81	5,50	1,40	0,25	4,80	1,10	0,23	3,90	0,70	0,18	0,58	0,20	1,12	-0,91	22,83
38	13	1,63	0,79	7,50	2,20	0,29	7,00	2,50	0,36	5,80	1,40	0,24	0,59	0,30	1,04	-0,74	
38	23	1,60	0,81	7,40	2,10	0,28	6,20	2,10	0,34	5,50	1,50	0,27	0,60	0,31	1,05	-0,75	
39	11	1,71	0,56	6,90	1,30	0,19	5,90	0,90	0,15	4,40	0,90	0,20	0,41	0,18	0,76	-0,59	40,78
40	33	1,78	0,68	7,40	2,50	0,34	7,10	2,30	0,32	5,70	1,20	0,21	0,55	0,27	0,95	-0,68	51,57
40	43	1,52	0,60	7,70	2,70	0,35	6,90	3,10	0,45	5,50	1,40	0,25	0,51	0,35	0,76	-0,41	50,18
41	11	1,64	0,63	6,20	1,30	0,21	5,20	1,30	0,25	4,70	1,00	0,21	0,47	0,23	0,83	-0,60	35,68
42	23	1,55	0,58	6,60	0,60	0,09	6,80	1,20	0,18	5,80	0,80	0,14	0,38	0,16	0,74	-0,58	
43	33	1,69	0,66	9,00	3,10	0,34	8,00	2,70	0,34	7,20	1,30	0,18	0,52	0,26	0,88	-0,62	30,61
43	43	1,64	0,69	8,90	3,30	0,37	9,10	3,40	0,37	7,50	1,90	0,25	0,56	0,31	0,91	-0,60	39,60
44	23	1,61	0,69	7,60	2,60	0,34	7,60	3,90	0,51	6,60	2,30	0,35	0,60	0,43	0,90	-0,47	
44	33	1,62	0,64	6,60	2,70	0,41	7,30	3,40	0,47	5,90	1,90	0,32	0,57	0,39	0,83	-0,44	35,80
44	43	1,60	0,71	7,10	3,20	0,45	7,50	3,50	0,47	5,60	2,00	0,36	0,62	0,41	0,92	-0,51	32,16
45	21	1,78	0,76	5,80	2,30	0,40	5,20	1,30	0,25	4,20	0,90	0,21	0,59	0,23	1,05	-0,82	10,84
45	31	1,58	0,66	5,00	1,80	0,36	4,80	1,30	0,27	3,70	0,80	0,22	0,51	0,24	0,86	-0,61	
45	12	1,75	0,65	5,50	1,70	0,31	5,00	1,10	0,22	4,10	1,00	0,24	0,51	0,23	0,89	-0,66	31,30
45	22	1,65	0,50	4,90	1,60	0,33	4,60	1,10	0,24	3,70	1,00	0,27	0,43	0,25	0,66	-0,40	23,59
45	32	1,64	0,67	4,90	1,80	0,37	4,80	1,50	0,31	4,50	1,00	0,22	0,53	0,27	0,88	-0,62	9,64
45	13	1,70	0,78	6,70	3,30	0,49	6,10	1,60	0,26	5,20	0,80	0,15	0,60	0,21	1,05	-0,85	
45	33	1,66	0,69	6,40	2,80	0,44	6,20	1,90	0,31	5,10	0,70	0,14	0,54	0,22	0,91	-0,69	41,12
45	43	1,66	0,76	6,70	2,70	0,40	6,20	1,50	0,24	4,60	0,80	0,17	0,57	0,21	1,01	-0,81	34,52
46	31	1,63	0,78	5,20	1,30	0,25	5,00	1,00	0,20	4,30	0,70	0,16	0,53	0,18	1,02	-0,84	
46	41	1,73	0,79	5,00	1,20	0,24	5,00	1,00	0,20	4,40	0,80	0,18	0,55	0,19	1,07	-0,88	
46	22	1,64	0,60	5,20	1,40	0,27	5,10	1,50	0,29	4,50	1,00	0,22	0,47	0,26	0,79	-0,53	14,71
46	42	1,61	0,66	5,50	1,30	0,24	5,70	1,20	0,21	5,10	1,20	0,24	0,48	0,22	0,86	-0,64	3,71

Estimativa da Idade pela proporção da área polpa/dente em Tomografia Computorizada de Feixe Cônico (CBCT):  
Aplicação Médico-Legal

Amostra	Dente	S_RT	S_RR	S_At	S_Ap	S_Aind	S_Bt	S_Bp	S_Bind	S_Ct	S_Cp	S_Cind	S_M	S_W	S_L	S_Dif	C_Age
46	32	1,67	0,84	5,50	1,30	0,24	5,80	0,90	0,16	5,00	1,60	0,32	0,59	0,24	1,12	-0,89	-1,43
46	13	1,52	0,78	6,90	2,20	0,32	7,00	2,00	0,29	5,40	0,90	0,17	0,55	0,23	0,98	-0,75	
46	23	1,55	0,85	6,40	2,70	0,42	6,40	1,00	0,16	5,20	0,70	0,13	0,57	0,15	1,08	-0,93	
46	43	1,49	0,77	6,60	1,90	0,29	6,70	1,40	0,21	5,50	1,40	0,25	0,53	0,23	0,96	-0,73	20,00
46	33	1,50	0,81	6,60	1,60	0,24	6,70	1,60	0,24	5,20	1,00	0,19	0,54	0,22	1,01	-0,79	32,21
47	13	1,64	0,75	7,40	2,50	0,34	7,30	3,20	0,44	6,10	1,70	0,28	0,61	0,36	0,99	-0,63	
48	13	1,65	0,78	8,10	2,00	0,25	7,50	1,80	0,24	5,90	1,00	0,17	0,54	0,20	1,03	-0,82	
48	23	1,61	0,75	7,80	1,90	0,24	7,30	1,80	0,25	5,50	1,00	0,18	0,52	0,21	0,97	-0,76	
49	13	1,51	0,67	7,20	1,20	0,17	6,80	1,30	0,19	5,60	0,90	0,16	0,44	0,18	0,84	-0,67	
50	33	1,55	0,62	6,90	0,70	0,10	6,70	1,10	0,16	5,20	0,60	0,12	0,39	0,14	0,79	-0,65	52,35
51	11	1,56	0,76	7,20	1,40	0,19	5,40	1,30	0,24	5,00	0,80	0,16	0,51	0,20	0,97	-0,77	19,68
51	12	1,65	0,76	5,80	1,40	0,24	5,30	1,10	0,21	4,20	0,70	0,17	0,53	0,19	1,01	-0,83	19,05
52	11	1,86	0,75	5,70	1,10	0,19	4,90	0,90	0,18	4,10	0,50	0,12	0,53	0,15	1,07	-0,92	34,09
52	13	1,61	0,76	6,90	1,90	0,28	6,40	1,10	0,17	5,30	0,80	0,15	0,52	0,16	0,99	-0,83	
53	12	1,90	0,79	6,00	1,40	0,23	5,60	0,90	0,16	4,70	0,90	0,19	0,57	0,18	1,14	-0,96	25,58
54	43	1,65	0,53	7,40	0,60	0,08	7,20	2,20	0,31	5,80	1,10	0,19	0,40	0,25	0,70	-0,45	76,15
54	33	1,66	0,61	7,20	1,10	0,15	7,50	2,50	0,33	5,90	1,10	0,19	0,46	0,26	0,81	-0,55	70,57
55	13	1,59	0,71	6,80	2,50	0,37	6,50	0,80	0,12	5,10	0,50	0,10	0,49	0,11	0,92	-0,81	
56	21	1,72	0,61	6,20	2,00	0,32	5,50	1,60	0,29	4,50	1,30	0,29	0,51	0,29	0,82	-0,53	22,42
56	33	1,59	0,78	6,90	2,10	0,30	6,20	1,70	0,27	5,40	1,50	0,28	0,58	0,28	1,01	-0,73	13,09
56	43	1,82	0,69	6,50	2,20	0,34	6,70	1,70	0,25	6,00	1,40	0,23	0,56	0,24	0,98	-0,73	22,56
57	11	1,73	0,76	6,40	1,90	0,30	6,60	1,30	0,20	5,50	1,20	0,22	0,56	0,21	1,04	-0,83	15,76
57	21	1,76	0,76	6,30	1,70	0,27	6,10	1,20	0,20	5,20	1,20	0,23	0,56	0,21	1,04	-0,83	7,04
57	31	1,63	0,59	5,30	1,30	0,25	5,20	1,40	0,27	4,70	1,30	0,28	0,47	0,27	0,78	-0,50	
57	12	1,62	0,55	5,80	1,70	0,29	5,70	1,20	0,21	4,70	1,50	0,32	0,45	0,26	0,72	-0,45	18,13
57	22	1,61	0,61	5,30	1,60	0,30	5,70	1,50	0,26	4,30	1,30	0,30	0,49	0,28	0,79	-0,51	15,32
57	32	1,60	0,67	6,00	1,90	0,32	5,60	2,00	0,36	4,80	1,20	0,25	0,53	0,30	0,87	-0,57	0,61
57	42	1,61	0,67	5,70	1,50	0,26	6,20	2,00	0,32	5,10	1,30	0,25	0,52	0,29	0,88	-0,59	13,22
57	13	1,48	0,66	6,70	1,80	0,27	6,90	1,50	0,22	5,40	1,40	0,26	0,47	0,24	0,81	-0,57	
57	23	1,50	0,65	6,50	1,90	0,29	6,40	2,30	0,36	5,40	1,40	0,26	0,51	0,31	0,81	-0,50	
57	33	1,52	0,65	6,40	1,90	0,30	6,40	2,40	0,38	5,20	1,50	0,29	0,52	0,33	0,81	-0,48	24,49
57	43	1,54	0,65	6,90	2,40	0,35	6,70	1,90	0,28	5,30	1,50	0,28	0,51	0,28	0,83	-0,54	23,04
58	11	1,75	0,72	6,80	1,50	0,22	6,40	1,30	0,20	5,30	1,20	0,23	0,53	0,21	0,99	-0,78	26,98
58	12	1,68	0,78	6,50	2,10	0,32	6,30	2,20	0,35	6,00	1,50	0,25	0,60	0,30	1,04	-0,74	27,98
58	23	1,52	0,79	9,20	3,00	0,33	8,20	2,40	0,29	7,00	1,50	0,21	0,56	0,25	0,99	-0,74	
59	12	1,75	0,70	5,40	0,50	0,09	5,20	0,80	0,15	4,30	0,50	0,12	0,46	0,14	0,96	-0,83	33,85
59	13	1,64	0,74	8,30	2,70	0,33	7,90	2,20	0,28	6,20	0,90	0,15	0,54	0,21	0,98	-0,76	
59	23	1,60	0,79	7,70	2,60	0,34	7,30	1,70	0,23	5,50	1,00	0,18	0,56	0,21	1,03	-0,82	
59	43	1,61	0,74	7,90	2,70	0,34	7,40	1,60	0,22	6,30	1,20	0,19	0,54	0,20	0,96	-0,76	35,79
60	21	1,73	0,84	6,30	1,60	0,25	5,20	1,50	0,29	5,00	1,10	0,22	0,61	0,25	1,14	-0,89	27,61
60	11	1,87	0,75	6,20	2,00	0,32	5,90	1,60	0,27	5,20	1,30	0,25	0,60	0,26	1,08	-0,82	23,82
60	12	1,92	0,76	5,90	2,00	0,34	5,30	1,20	0,23	5,00	1,00	0,20	0,60	0,21	1,11	-0,90	14,24
60	13	1,66	0,69	8,20	2,40	0,29	7,70	3,20	0,42	6,50	0,90	0,14	0,54	0,28	0,91	-0,64	
60	23	1,82	0,59	8,20	2,60	0,32	7,40	2,70	0,36	6,40	1,20	0,19	0,51	0,28	0,84	-0,56	
61	32	1,68	0,72	5,60	1,70	0,30	5,40	1,40	0,26	4,90	0,90	0,18	0,54	0,22	0,96	-0,74	23,54
61	42	1,65	0,72	5,40	1,40	0,26	5,40	1,50	0,28	5,10	0,80	0,16	0,52	0,22	0,96	-0,74	13,54
61	23	1,60	0,76	7,40	3,10	0,42	6,80	2,20	0,32	5,60	0,90	0,16	0,58	0,24	0,99	-0,75	
61	33	1,76	0,72	7,40	2,10	0,28	7,00	1,50	0,21	6,10	0,80	0,13	0,52	0,17	0,99	-0,82	23,61
61	43	1,71	0,74	7,70	2,40	0,31	6,60	1,60	0,24	5,90	0,90	0,15	0,54	0,20	1,01	-0,81	29,93
62	13	1,63	0,81	8,60	3,20	0,37	7,40	2,10	0,28	6,10	1,70	0,28	0,62	0,28	1,07	-0,79	
63	33	1,72	0,79	7,10	3,20	0,45	7,40	2,90	0,39	6,00	1,70	0,28	0,66	0,34	1,08	-0,74	33,37

Estimativa da Idade pela proporção da área polpa/dente em Tomografia Computorizada de Feixe Cônico (CBCT):  
Aplicação Médico-Legal

Amostra	Dente	S_RT	S_RR	S_At	S_Ap	S_Aind	S_Bt	S_Bp	S_Bind	S_Ct	S_Cp	S_Cind	S_M	S_W	S_L	S_Dif	C_Age
64	12	1,82	0,71	5,90	1,20	0,20	4,40	0,80	0,18	4,40	0,60	0,14	0,50	0,16	1,00	-0,84	18,86
64	13	1,72	0,79	7,90	2,60	0,33	7,40	1,40	0,19	5,80	0,90	0,16	0,56	0,17	1,08	-0,90	
65	13	1,47	0,71	7,30	2,00	0,27	7,00	1,20	0,17	6,10	0,70	0,11	0,46	0,14	0,87	-0,73	
66	22	1,70	0,77	6,20	1,80	0,29	5,60	0,80	0,14	4,40	0,40	0,09	0,52	0,12	1,04	-0,92	39,27
66	23	1,62	0,82	7,80	2,30	0,29	7,10	1,50	0,21	5,90	0,70	0,12	0,55	0,16	1,07	-0,91	
67	13	1,59	0,76	7,00	1,90	0,27	6,40	1,60	0,25	5,60	1,10	0,20	0,54	0,22	0,99	-0,77	
68	43	1,65	0,54	6,50	2,00	0,31	6,30	1,70	0,27	5,60	1,00	0,18	0,44	0,22	0,72	-0,50	43,52
68	33	1,78	0,76	6,50	1,90	0,29	6,30	1,40	0,22	5,70	0,90	0,16	0,56	0,19	1,06	-0,87	39,85
69	23	1,67	0,71	6,00	1,50	0,25	5,40	1,20	0,22	4,00	0,50	0,13	0,50	0,17	0,94	-0,77	
70	11	2,39	0,70	6,10	1,00	0,16	5,80	1,30	0,22	5,00	0,80	0,16	0,59	0,19	1,19	-1,00	17,51
70	32	1,86	0,65	5,60	1,60	0,29	5,80	1,70	0,29	4,70	0,90	0,19	0,53	0,24	0,93	-0,69	8,21
70	42	1,66	0,63	5,80	1,40	0,24	5,70	1,60	0,28	5,00	0,80	0,16	0,47	0,22	0,84	-0,62	12,72
70	13	1,68	0,82	7,00	2,10	0,30	7,00	1,30	0,19	6,30	0,90	0,14	0,57	0,16	1,10	-0,94	
70	33	1,99	0,77	7,00	1,90	0,27	7,30	2,40	0,33	6,40	1,40	0,22	0,62	0,27	1,15	-0,87	16,73
71	13	1,72	0,75	6,10	1,40	0,23	5,40	0,50	0,09	4,90	0,50	0,10	0,49	0,10	1,02	-0,93	
72	33	1,79	0,76	8,20	3,10	0,38	7,60	2,30	0,30	6,50	1,10	0,17	0,59	0,24	1,05	-0,82	30,36
72	43	1,83	0,78	7,90	2,50	0,32	7,70	1,70	0,22	6,80	0,90	0,13	0,57	0,18	1,10	-0,93	22,62
73	11	1,88	0,74	7,00	1,60	0,23	6,40	1,50	0,23	5,70	0,90	0,16	0,55	0,20	1,06	-0,86	25,87
73	12	1,70	0,66	6,40	2,00	0,31	5,60	1,00	0,18	4,90	0,60	0,12	0,48	0,15	0,89	-0,74	25,29
73	13	1,52	0,75	8,30	2,90	0,35	7,20	1,50	0,21	5,30	0,60	0,11	0,51	0,16	0,95	-0,79	
73	23	1,60	0,70	8,20	3,00	0,37	7,40	1,30	0,18	6,10	0,60	0,10	0,49	0,14	0,91	-0,77	
74	43	1,75	0,81	6,70	1,40	0,21	6,80	0,90	0,13	5,50	0,80	0,15	0,54	0,14	1,12	-0,98	28,65
75	11	1,77	0,72	6,30	1,40	0,22	5,80	1,80	0,31	4,80	1,30	0,27	0,56	0,29	0,99	-0,70	22,41
75	21	1,83	0,71	6,30	1,80	0,29	6,10	1,60	0,26	5,00	0,70	0,14	0,54	0,20	1,01	-0,81	20,71
75	23	1,69	0,72	8,00	2,30	0,29	8,00	3,50	0,44	7,20	1,90	0,26	0,58	0,35	0,97	-0,62	
75	13	1,69	0,77	7,20	2,70	0,38	7,10	2,30	0,32	5,70	1,00	0,18	0,59	0,25	1,03	-0,78	
76	12	1,74	0,66	6,80	1,60	0,24	6,20	1,50	0,24	5,30	1,30	0,25	0,51	0,24	0,90	-0,66	31,33
76	22	1,74	0,68	6,00	1,40	0,23	5,40	1,20	0,22	4,90	1,00	0,20	0,50	0,21	0,93	-0,71	30,76
76	23	1,66	0,73	9,40	2,80	0,30	9,00	2,70	0,30	6,90	2,10	0,30	0,57	0,30	0,98	-0,67	
76	13	1,59	0,71	9,10	3,60	0,40	8,60	2,20	0,26	6,70	1,60	0,24	0,54	0,25	0,92	-0,67	
77	11	1,91	0,79	5,90	1,80	0,31	5,60	1,60	0,29	4,70	1,40	0,30	0,64	0,29	1,14	-0,85	12,10
77	12	1,65	0,74	6,00	1,60	0,27	5,20	1,00	0,19	4,20	1,20	0,29	0,54	0,24	0,98	-0,74	25,19
78	13	1,61	0,77	7,20	2,70	0,38	6,90	1,70	0,25	6,00	0,80	0,13	0,55	0,19	1,01	-0,82	
79	33	1,56	0,59	6,90	0,90	0,13	7,30	0,90	0,12	6,30	0,60	0,10	0,37	0,11	0,75	-0,64	72,56
80	33	1,61	0,84	6,70	2,00	0,30	7,20	1,70	0,24	6,20	0,70	0,11	0,57	0,17	1,09	-0,92	27,41
81	23	1,59	0,66	6,70	2,10	0,31	6,20	1,50	0,24	5,20	0,60	0,12	0,47	0,18	0,85	-0,67	
82	23	1,52	0,82	9,00	2,90	0,32	8,70	2,20	0,25	7,20	1,60	0,22	0,57	0,24	1,03	-0,79	
83	21	1,88	0,67	6,40	1,60	0,25	5,60	1,30	0,23	4,70	0,80	0,17	0,52	0,20	0,97	-0,77	24,26
83	11	1,94	0,66	6,20	1,30	0,21	5,10	1,20	0,24	4,40	0,90	0,20	0,52	0,22	0,97	-0,75	29,44
84	12	1,85	0,58	6,20	0,90	0,15	5,40	0,90	0,17	4,70	0,70	0,15	0,42	0,16	0,83	-0,67	32,52
84	33	1,55	0,71	7,90	0,80	0,10	8,00	2,50	0,31	6,80	1,30	0,19	0,48	0,25	0,91	-0,66	47,94
84	43	1,65	0,71	8,10	2,40	0,30	8,30	2,20	0,27	7,30	1,50	0,21	0,53	0,24	0,94	-0,70	46,75
85	13	1,54	0,76	7,50	2,40	0,32	6,50	1,30	0,20	5,40	1,00	0,19	0,53	0,19	0,96	-0,77	
86	11	1,84	0,76	6,60	1,70	0,26	6,00	1,30	0,22	5,30	1,40	0,26	0,58	0,24	1,07	-0,83	3,99
86	21	1,79	0,78	7,00	1,90	0,27	6,50	1,80	0,28	5,20	1,50	0,29	0,60	0,28	1,09	-0,80	6,54
86	31	1,70	0,81	6,30	1,80	0,29	6,10	2,60	0,43	5,60	2,30	0,41	0,66	0,42	1,09	-0,67	
86	41	1,68	0,80	5,90	1,60	0,27	5,60	1,90	0,34	5,30	1,70	0,32	0,61	0,33	1,07	-0,74	
86	22	1,69	0,65	7,00	3,70	0,53	6,30	2,50	0,40	5,20	2,00	0,38	0,61	0,39	0,87	-0,48	3,61
86	12	1,71	0,79	6,50	2,60	0,40	5,90	1,60	0,27	5,20	1,30	0,25	0,61	0,26	1,07	-0,81	-12,49
86	32	1,61	0,81	7,00	2,20	0,31	6,70	2,90	0,43	6,10	3,00	0,49	0,67	0,46	1,06	-0,59	-7,79
86	42	1,65	0,80	6,90	1,60	0,23	6,90	3,50	0,51	6,10	2,30	0,38	0,65	0,44	1,06	-0,62	8,34

Estimativa da Idade pela proporção da área polpa/dente em Tomografia Computorizada de Feixe Cônico (CBCT):  
Aplicação Médico-Legal

Amostra	Dente	S_RT	S_RR	S_At	S_Ap	S_Aind	S_Bt	S_Bp	S_Bind	S_Ct	S_Cp	S_Cind	S_M	S_W	S_L	S_Dif	C_Age
86	13	1,56	0,79	7,90	3,40	0,43	7,70	2,30	0,30	6,20	1,50	0,24	0,60	0,27	1,01	-0,74	
86	23	1,58	0,79	8,00	3,20	0,40	8,20	2,50	0,30	5,80	2,10	0,36	0,62	0,33	1,01	-0,68	
86	43	1,54	0,76	8,50	3,00	0,35	8,20	2,80	0,34	6,80	1,50	0,22	0,57	0,28	0,97	-0,69	25,66
86	33	1,64	0,79	8,30	3,70	0,45	8,40	3,20	0,38	7,10	2,10	0,30	0,64	0,34	1,05	-0,71	22,28
87	13	1,56	0,69	7,60	2,00	0,26	6,70	0,80	0,12	5,50	0,80	0,15	0,46	0,13	0,88	-0,74	
88	12	1,63	0,60	5,40	1,30	0,24	5,20	0,80	0,15	4,40	0,40	0,09	0,41	0,12	0,79	-0,67	27,47
88	23	1,70	0,55	8,70	2,70	0,31	8,00	2,50	0,31	6,90	1,20	0,17	0,46	0,24	0,74	-0,50	
88	13	1,53	0,80	8,50	2,90	0,34	7,60	2,20	0,29	6,10	0,80	0,13	0,56	0,21	1,01	-0,80	
89	11	2,02	0,75	6,50	1,20	0,18	6,30	1,00	0,16	5,50	0,90	0,16	0,56	0,16	1,14	-0,98	28,35
89	12	1,93	0,79	6,90	1,70	0,25	6,30	1,10	0,17	5,80	1,50	0,26	0,60	0,22	1,16	-0,95	25,85
89	22	2,06	0,79	6,70	1,40	0,21	6,40	1,00	0,16	6,20	1,40	0,23	0,60	0,19	1,21	-1,02	28,27
89	13	1,77	0,80	7,80	1,90	0,24	7,60	2,00	0,26	6,40	1,30	0,20	0,58	0,23	1,11	-0,87	
89	23	1,77	0,82	7,30	1,70	0,23	7,10	1,80	0,25	5,70	1,00	0,18	0,59	0,21	1,14	-0,92	
90	13	1,63	0,65	7,60	2,30	0,30	7,10	1,30	0,18	5,30	0,90	0,17	0,47	0,18	0,86	-0,68	
90	23	1,70	0,51	7,80	2,80	0,36	7,10	2,00	0,28	5,90	1,60	0,27	0,46	0,28	0,68	-0,41	
90	33	1,64	0,50	6,50	1,70	0,26	6,70	1,70	0,25	5,90	1,20	0,20	0,41	0,23	0,65	-0,43	69,01
90	43	1,65	0,65	7,50	2,30	0,31	7,50	1,90	0,25	5,80	1,30	0,22	0,50	0,24	0,86	-0,62	58,98
91	41	1,57	0,79	6,10	2,30	0,38	5,90	2,10	0,36	5,50	2,20	0,40	0,63	0,38	1,01	-0,64	
91	43	1,55	0,70	7,60	2,50	0,33	8,10	3,30	0,41	6,00	1,20	0,20	0,54	0,30	0,89	-0,59	35,08
91	33	1,57	0,84	7,70	2,10	0,27	7,80	3,30	0,42	6,30	1,30	0,21	0,61	0,31	1,08	-0,77	35,44
92	13	1,52	0,71	7,50	2,00	0,27	6,60	1,00	0,15	5,30	0,60	0,11	0,46	0,13	0,90	-0,76	
93	33	1,72	0,80	8,20	2,50	0,30	7,00	2,80	0,40	5,50	1,20	0,22	0,62	0,31	1,09	-0,78	25,25
94	22	1,70	0,74	5,90	1,40	0,24	5,20	0,90	0,17	4,10	0,70	0,17	0,52	0,17	1,00	-0,83	22,12
94	23	1,54	0,77	7,80	2,70	0,35	7,60	3,50	0,46	5,80	1,00	0,17	0,59	0,32	0,99	-0,67	
95	13	1,42	0,85	8,10	2,20	0,27	7,20	1,00	0,14	5,60	1,00	0,18	0,53	0,16	1,03	-0,87	
96	12	1,52	0,73	5,30	1,10	0,21	4,80	1,10	0,23	3,90	0,60	0,15	0,48	0,19	0,91	-0,72	34,59
97	12	1,70	0,75	5,40	1,10	0,20	5,00	1,00	0,20	3,90	0,70	0,18	0,52	0,19	1,01	-0,82	32,86
97	13	1,58	0,76	6,30	1,90	0,30	6,40	1,20	0,19	5,30	1,00	0,19	0,53	0,19	0,98	-0,79	
97	33	1,61	0,77	6,10	1,90	0,31	5,90	1,40	0,24	5,50	0,70	0,13	0,54	0,18	1,01	-0,83	23,33
97	43	1,63	0,73	6,40	2,30	0,36	6,90	2,00	0,29	6,10	2,10	0,34	0,58	0,32	0,96	-0,64	46,55
98	23	1,57	0,76	7,60	2,30	0,30	6,90	2,00	0,29	5,70	0,70	0,12	0,53	0,21	0,97	-0,77	
99	11	1,93	0,63	5,40	1,90	0,35	5,20	1,40	0,27	4,50	1,20	0,27	0,55	0,27	0,93	-0,66	18,30
99	21	1,82	0,53	5,40	2,40	0,44	4,90	1,80	0,37	4,40	1,10	0,25	0,51	0,31	0,74	-0,44	26,59
99	22	1,78	0,69	4,90	2,10	0,43	4,70	1,20	0,26	4,00	1,30	0,33	0,59	0,29	0,96	-0,67	10,39
99	12	1,91	0,78	5,40	2,10	0,39	5,10	1,70	0,33	4,60	1,20	0,26	0,65	0,30	1,13	-0,84	20,08
99	13	1,66	0,64	7,10	2,60	0,37	6,70	2,80	0,42	5,70	1,30	0,23	0,54	0,32	0,85	-0,52	
99	23	1,56	0,60	7,00	3,00	0,43	6,50	2,60	0,40	5,00	1,10	0,22	0,52	0,31	0,77	-0,46	
99	33	1,64	0,67	6,90	3,20	0,46	6,80	3,20	0,47	5,70	1,70	0,30	0,60	0,38	0,88	-0,49	18,51
99	43	1,58	0,77	7,00	3,60	0,51	7,10	3,40	0,48	6,20	2,30	0,37	0,67	0,42	0,99	-0,56	27,45
100	32	1,80	0,60	5,70	1,30	0,23	5,80	1,60	0,28	5,00	1,30	0,26	0,49	0,27	0,84	-0,57	47,27
100	42	1,87	0,62	5,80	1,50	0,26	6,00	1,50	0,25	5,20	1,40	0,27	0,51	0,26	0,89	-0,63	31,42
100	33	1,69	0,75	7,10	1,70	0,24	6,90	1,50	0,22	5,60	1,10	0,20	0,53	0,21	1,00	-0,80	25,73
100	43	1,71	0,74	7,10	1,70	0,24	7,00	1,30	0,19	5,70	0,80	0,14	0,51	0,16	1,00	-0,84	31,66
101	22	1,82	0,66	5,40	1,50	0,28	4,70	1,20	0,26	3,80	0,50	0,13	0,50	0,19	0,93	-0,73	24,70
101	23	1,68	0,66	6,70	1,90	0,28	6,60	1,20	0,18	5,60	0,70	0,13	0,47	0,15	0,88	-0,73	
101	13	1,62	0,68	7,10	2,60	0,37	6,80	1,20	0,18	5,50	0,70	0,13	0,49	0,15	0,89	-0,73	
102	11	1,88	0,74	7,20	2,20	0,31	6,50	2,00	0,31	5,70	1,50	0,26	0,60	0,29	1,07	-0,78	21,77
102	21	1,77	0,76	6,50	1,70	0,26	6,40	2,10	0,33	5,50	1,40	0,25	0,59	0,29	1,05	-0,76	14,52
102	12	1,86	0,71	6,00	2,40	0,40	5,70	2,20	0,39	4,80	1,30	0,27	0,62	0,33	1,01	-0,68	20,69
102	23	1,60	0,74	7,90	3,00	0,38	7,80	3,30	0,42	6,10	1,10	0,18	0,58	0,30	0,96	-0,65	
102	13	1,63	0,83	7,50	3,60	0,48	7,20	2,90	0,40	6,00	1,30	0,22	0,66	0,31	1,09	-0,78	

Estimativa da Idade pela proporção da área polpa/dente em Tomografia Computorizada de Feixe Cônico (CBCT):  
Aplicação Médico-Legal

Amostra	Dente	S_RT	S_RR	S_At	S_Ap	S_Aind	S_Bt	S_Bp	S_Bind	S_Ct	S_Cp	S_Cind	S_M	S_W	S_L	S_Dif	C_Age
103	12	1,62	0,73	5,50	1,30	0,24	5,10	0,80	0,16	4,40	0,60	0,14	0,49	0,15	0,96	-0,81	18,06
104	13	1,60	0,70	7,00	2,00	0,29	6,20	1,30	0,21	5,90	0,90	0,15	0,49	0,18	0,91	-0,73	
105	13	1,60	0,68	7,10	2,40	0,34	7,10	1,90	0,27	5,90	0,90	0,15	0,51	0,21	0,89	-0,68	
105	23	1,63	0,79	7,60	2,50	0,33	7,20	1,80	0,25	6,30	1,00	0,16	0,56	0,20	1,04	-0,84	
106	43	1,61	0,83	6,70	1,20	0,18	6,10	1,20	0,20	4,90	0,60	0,12	0,53	0,16	1,08	-0,92	46,47
107	13	1,68	0,66	8,10	4,00	0,49	7,00	2,70	0,39	5,50	2,40	0,44	0,62	0,41	0,88	-0,47	
108	11	2,00	0,69	6,70	1,20	0,18	5,40	0,60	0,11	5,10	1,00	0,20	0,51	0,15	1,04	-0,89	29,60
108	22	1,79	0,74	6,20	1,40	0,23	5,30	1,10	0,21	4,10	0,90	0,22	0,54	0,21	1,04	-0,82	14,02
108	12	1,78	0,70	5,40	1,30	0,24	4,60	1,40	0,30	3,90	0,80	0,21	0,54	0,25	0,97	-0,71	22,03
108	13	1,73	0,78	8,20	3,10	0,38	7,50	1,70	0,23	6,40	1,10	0,17	0,58	0,20	1,07	-0,87	
108	23	1,66	0,79	8,10	2,90	0,36	7,50	2,20	0,29	6,10	1,10	0,18	0,59	0,24	1,05	-0,81	
109	11	1,76	0,63	7,00	1,80	0,26	6,20	1,50	0,24	4,90	1,20	0,24	0,50	0,24	0,87	-0,62	24,67
109	21	1,75	0,62	6,00	1,90	0,32	5,70	1,50	0,26	4,70	1,40	0,30	0,52	0,28	0,85	-0,57	26,29
109	12	1,56	0,71	7,40	2,00	0,27	7,70	2,40	0,31	5,60	1,10	0,20	0,52	0,25	0,91	-0,65	3,04
109	43	1,69	0,71	7,40	3,00	0,41	7,90	2,10	0,27	6,60	0,80	0,12	0,54	0,19	0,96	-0,77	25,03
110	13	1,47	0,78	7,80	2,70	0,35	6,50	2,20	0,34	5,60	0,80	0,14	0,55	0,24	0,97	-0,73	
111	33	1,65	0,75	7,20	1,90	0,26	6,80	1,00	0,15	5,40	0,70	0,13	0,51	0,14	1,00	-0,86	41,99
111	43	1,64	0,77	7,00	1,40	0,20	6,90	1,10	0,16	6,00	1,00	0,17	0,51	0,16	1,02	-0,86	42,61
112	11	1,86	0,68	5,60	0,80	0,14	5,20	1,00	0,19	3,90	0,80	0,21	0,50	0,20	0,97	-0,77	37,73
112	21	1,82	0,67	5,90	1,50	0,25	5,40	1,00	0,19	4,10	0,90	0,22	0,51	0,20	0,94	-0,74	34,30
112	12	1,90	0,62	5,90	1,30	0,22	5,10	1,00	0,20	4,60	0,90	0,20	0,48	0,20	0,89	-0,70	29,09
112	13	1,54	0,70	7,80	3,50	0,45	7,20	2,60	0,36	5,40	0,90	0,17	0,55	0,26	0,88	-0,62	
112	23	1,64	0,73	7,60	3,40	0,45	7,50	2,80	0,37	5,70	1,00	0,18	0,58	0,27	0,96	-0,69	
113	21	1,76	0,81	6,10	1,70	0,28	5,80	1,40	0,24	4,80	1,10	0,23	0,60	0,24	1,12	-0,88	18,00
113	22	1,68	0,77	5,90	2,30	0,39	5,70	1,40	0,25	5,10	0,90	0,18	0,57	0,21	1,03	-0,82	20,88
113	23	1,67	0,87	7,40	3,70	0,50	6,90	2,00	0,29	5,40	0,80	0,15	0,65	0,22	1,17	-0,95	
114	33	1,71	0,80	7,30	2,30	0,32	7,20	1,20	0,17	6,20	1,00	0,16	0,56	0,16	1,08	-0,92	25,96
114	43	1,72	0,75	7,90	2,90	0,37	7,50	1,00	0,13	6,00	1,00	0,17	0,54	0,15	1,01	-0,86	13,22
115	43	1,76	0,63	8,20	1,70	0,21	7,60	1,60	0,21	5,90	0,60	0,10	0,45	0,16	0,88	-0,72	35,35
116	13	1,71	0,75	7,90	2,30	0,29	7,70	2,40	0,31	6,50	1,60	0,25	0,58	0,28	1,02	-0,74	
117	12	1,78	0,85	6,00	1,30	0,22	5,70	1,30	0,23	5,00	1,50	0,30	0,62	0,26	1,19	-0,92	16,89
118	11	2,05	0,68	5,80	1,10	0,19	5,00	0,80	0,16	4,00	0,60	0,15	0,51	0,16	1,03	-0,88	25,09
118	21	1,89	0,67	5,70	1,00	0,18	5,10	0,80	0,16	4,00	0,40	0,10	0,47	0,13	0,97	-0,84	16,51
118	12	1,86	0,66	5,70	0,80	0,14	5,10	0,80	0,16	4,10	0,80	0,20	0,47	0,18	0,94	-0,76	39,37
118	22	1,92	0,70	5,70	1,60	0,28	5,00	1,00	0,20	4,50	0,50	0,11	0,53	0,16	1,02	-0,87	7,89
118	32	1,77	0,75	5,80	1,50	0,26	5,60	1,00	0,18	4,60	0,60	0,13	0,53	0,15	1,04	-0,88	17,42
118	42	1,80	0,72	5,70	1,50	0,26	5,30	1,00	0,19	4,40	0,90	0,20	0,54	0,20	1,01	-0,81	29,19
118	13	1,71	0,77	6,90	2,50	0,36	6,40	0,70	0,11	4,40	0,80	0,18	0,55	0,15	1,05	-0,90	
118	23	1,71	0,77	7,60	2,10	0,28	6,90	1,30	0,19	5,40	0,70	0,13	0,54	0,16	1,04	-0,88	
118	33	1,85	0,73	7,20	2,20	0,31	6,40	1,20	0,19	4,90	0,60	0,12	0,54	0,15	1,04	-0,89	26,21
118	43	1,80	0,78	6,80	2,30	0,34	6,50	1,10	0,17	5,00	1,00	0,20	0,58	0,18	1,09	-0,90	24,13
119	12	1,84	0,77	5,90	1,70	0,29	5,40	1,20	0,22	4,40	0,90	0,20	0,58	0,21	1,09	-0,88	27,76
119	22	1,75	0,78	5,90	1,40	0,24	5,40	1,20	0,22	4,60	0,80	0,17	0,55	0,20	1,07	-0,87	17,27
120	13	1,48	0,69	8,40	2,40	0,29	8,20	1,10	0,13	6,80	0,50	0,07	0,44	0,10	0,85	-0,75	
121	11	1,88	0,79	7,20	1,70	0,24	6,50	1,50	0,23	5,70	1,00	0,18	0,58	0,20	1,13	-0,93	23,55
121	12	1,73	0,69	6,20	2,40	0,39	5,40	1,20	0,22	4,70	0,70	0,15	0,53	0,19	0,95	-0,76	31,71
121	22	1,73	0,70	6,00	2,30	0,38	5,50	1,30	0,24	4,90	0,90	0,18	0,54	0,21	0,95	-0,74	20,71
121	23	1,62	0,68	7,90	2,70	0,34	7,40	1,20	0,16	5,70	1,10	0,19	0,50	0,18	0,90	-0,72	
121	13	1,53	0,78	8,10	2,70	0,33	7,40	1,00	0,14	5,70	0,80	0,14	0,52	0,14	0,99	-0,85	
122	12	1,74	0,77	5,90	1,30	0,22	6,10	1,00	0,16	5,60	1,20	0,21	0,54	0,19	1,06	-0,87	28,45
122	22	1,79	0,73	5,80	1,60	0,28	6,00	1,00	0,17	5,70	1,00	0,18	0,53	0,17	1,02	-0,85	29,33



Estimativa da Idade pela proporção da área polpa/dente em Tomografia Computorizada de Feixe Cônico (CBCT):  
Aplicação Médico-Legal

Amostra	Dente	S_RT	S_RR	S_At	S_Ap	S_Aind	S_Bt	S_Bp	S_Bind	S_Ct	S_Cp	S_Cind	S_M	S_W	S_L	S_Dif	C_Age
122	13	1,61	0,72	8,20	2,10	0,26	7,50	1,30	0,17	6,30	0,80	0,13	0,49	0,15	0,94	-0,79	
122	23	1,56	0,72	7,90	2,20	0,28	8,20	1,60	0,20	6,80	0,90	0,13	0,49	0,16	0,92	-0,76	
123	11	1,70	0,82	6,90	2,00	0,29	6,60	1,50	0,23	5,10	1,30	0,25	0,60	0,24	1,11	-0,87	23,36
123	21	1,75	0,82	6,90	1,90	0,28	6,50	1,70	0,26	4,90	1,00	0,20	0,60	0,23	1,12	-0,89	26,04
123	22	1,70	0,83	6,30	2,30	0,37	6,20	1,20	0,19	5,10	1,10	0,22	0,60	0,20	1,12	-0,92	29,81
123	43	1,49	0,82	7,70	3,90	0,51	8,40	3,80	0,45	7,00	2,90	0,41	0,68	0,43	1,02	-0,59	21,45
123	33	1,51	0,80	7,70	4,10	0,53	7,70	3,80	0,49	6,90	2,80	0,41	0,69	0,45	1,00	-0,55	18,35
124	32	1,67	0,78	6,10	1,20	0,20	5,70	1,20	0,21	5,00	0,90	0,18	0,54	0,20	1,05	-0,85	22,29
124	33	1,60	0,76	7,40	2,10	0,28	7,00	1,70	0,24	5,50	0,90	0,16	0,53	0,20	0,99	-0,79	13,04
125	21	1,92	0,69	5,80	1,80	0,31	5,30	1,00	0,19	3,80	0,60	0,16	0,54	0,17	1,01	-0,84	24,76
125	22	1,81	0,72	5,60	1,50	0,27	5,00	1,30	0,26	4,60	1,10	0,24	0,56	0,25	1,01	-0,76	10,65
126	22	1,75	0,77	6,40	1,10	0,17	5,90	0,80	0,14	4,80	0,60	0,13	0,51	0,13	1,05	-0,92	28,62
127	23	1,55	0,83	7,30	2,10	0,29	6,50	1,70	0,26	5,10	0,70	0,14	0,56	0,20	1,06	-0,86	
128	43	1,55	0,77	7,80	2,00	0,26	8,00	2,20	0,28	7,00	1,30	0,19	0,54	0,23	0,98	-0,75	29,27
129	32	1,73	0,78	6,00	1,60	0,27	5,90	1,10	0,19	5,10	0,90	0,18	0,55	0,18	1,07	-0,88	2,91
129	42	1,71	0,80	5,70	1,80	0,32	5,60	1,30	0,23	5,30	0,90	0,17	0,58	0,20	1,08	-0,88	5,35
129	33	1,67	0,82	6,70	2,10	0,31	6,90	1,60	0,23	5,90	1,10	0,19	0,59	0,21	1,10	-0,89	22,77
129	43	1,73	0,81	6,80	1,80	0,26	6,60	1,80	0,27	5,90	1,10	0,19	0,59	0,23	1,10	-0,87	21,64
130	22	1,87	0,80	6,40	1,70	0,27	6,10	1,00	0,16	5,60	0,90	0,16	0,58	0,16	1,15	-0,99	12,04
130	23	1,78	0,82	8,90	3,90	0,44	8,80	2,60	0,30	7,10	0,70	0,10	0,62	0,20	1,14	-0,94	
131	13	1,47	0,82	7,70	1,80	0,23	7,30	1,50	0,21	5,60	0,70	0,13	0,52	0,17	1,01	-0,85	
132	41	1,64	0,74	4,80	1,00	0,21	5,30	0,60	0,11	4,80	0,40	0,08	0,47	0,10	0,98	-0,88	
133	32	1,68	0,79	5,60	1,00	0,18	5,60	0,60	0,11	4,70	0,40	0,09	0,50	0,10	1,06	-0,96	45,11
134	11	1,68	0,58	6,30	0,40	0,06	5,90	0,70	0,12	5,20	0,40	0,08	0,36	0,10	0,78	-0,68	40,44
134	21	1,74	0,63	6,10	0,90	0,15	5,70	0,80	0,14	5,30	0,90	0,17	0,44	0,16	0,86	-0,71	45,64
134	33	1,63	0,69	7,10	2,00	0,28	6,50	1,10	0,17	5,20	0,70	0,13	0,48	0,15	0,90	-0,75	37,53
135	11	1,85	0,66	5,60	1,00	0,18	5,10	1,30	0,25	3,90	1,00	0,26	0,52	0,26	0,95	-0,69	32,57
135	22	1,58	0,78	6,40	1,60	0,25	6,10	1,70	0,28	4,60	1,10	0,24	0,56	0,26	1,01	-0,75	12,02
136	42	1,71	0,80	6,00	1,30	0,22	5,90	1,50	0,25	5,30	0,90	0,17	0,56	0,21	1,08	-0,87	10,03
137	22	1,86	0,73	6,10	2,70	0,44	5,70	2,50	0,44	5,20	1,50	0,29	0,65	0,36	1,05	-0,69	23,62
137	12	1,89	0,82	6,00	2,70	0,45	5,70	1,80	0,32	4,90	1,20	0,24	0,68	0,28	1,18	-0,90	21,12
137	13	1,75	0,81	8,00	3,60	0,45	7,50	3,20	0,43	6,50	2,20	0,34	0,69	0,38	1,12	-0,74	
138	31	2,00	0,53	5,70	1,40	0,25	5,70	1,20	0,21	4,90	0,90	0,18	0,45	0,20	0,79	-0,60	
138	32	1,75	0,75	6,30	1,70	0,27	5,90	1,30	0,22	4,50	1,10	0,24	0,56	0,23	1,03	-0,79	29,83
139	22	1,71	0,78	6,20	1,70	0,27	5,50	0,80	0,15	4,80	1,00	0,21	0,55	0,18	1,06	-0,88	25,44
139	23	1,50	0,81	8,10	2,50	0,31	7,70	1,60	0,21	6,00	1,00	0,17	0,54	0,19	1,01	-0,83	
140	43	1,64	0,72	6,60	1,90	0,29	7,00	1,00	0,14	5,10	0,70	0,14	0,50	0,14	0,96	-0,82	21,18
140	33	1,60	0,75	7,10	2,30	0,32	7,10	1,20	0,17	6,20	0,80	0,13	0,52	0,15	0,98	-0,83	22,32
141	11	1,98	0,79	6,10	1,30	0,21	5,50	1,50	0,27	4,50	1,00	0,22	0,61	0,25	1,17	-0,92	17,72
141	21	1,86	0,80	6,50	1,80	0,28	5,80	1,30	0,22	5,10	1,00	0,20	0,60	0,21	1,15	-0,94	15,03
141	12	1,82	0,80	5,60	1,80	0,32	5,00	1,20	0,24	4,40	1,20	0,27	0,62	0,26	1,13	-0,88	15,52
141	22	2,02	0,79	5,70	1,50	0,26	5,20	1,40	0,27	4,60	1,30	0,28	0,64	0,28	1,19	-0,92	3,41
141	42	1,63	0,81	6,60	2,30	0,35	6,20	3,00	0,48	5,10	2,00	0,39	0,67	0,44	1,06	-0,63	-2,58
141	32	1,68	0,82	6,10	2,00	0,33	5,80	1,90	0,33	5,30	1,70	0,32	0,63	0,32	1,09	-0,77	-9,19
141	13	1,61	0,51	8,30	3,50	0,42	7,60	2,00	0,26	6,30	1,60	0,25	0,45	0,26	0,67	-0,41	
141	23	1,55	0,81	8,60	3,30	0,38	7,10	1,90	0,27	5,60	1,10	0,20	0,58	0,23	1,03	-0,80	
141	33	1,60	0,81	8,40	3,50	0,42	7,90	1,70	0,22	6,20	1,40	0,23	0,59	0,22	1,05	-0,83	24,76
141	43	1,61	0,86	8,70	3,70	0,43	8,10	1,90	0,23	6,00	1,40	0,23	0,63	0,23	1,12	-0,88	23,80
142	11	1,62	0,87	6,00	2,00	0,33	5,40	0,90	0,17	4,10	0,80	0,20	0,59	0,18	1,14	-0,96	19,06
142	21	1,67	0,88	5,70	1,50	0,26	5,50	1,20	0,22	4,20	1,00	0,24	0,61	0,23	1,18	-0,95	13,78
142	32	1,51	0,90	5,50	1,80	0,33	5,50	2,10	0,38	4,60	0,80	0,17	0,63	0,28	1,14	-0,86	-1,70

Estimativa da Idade pela proporção da área polpa/dente em Tomografia Computorizada de Feixe Cônico (CBCT):  
Aplicação Médico-Legal

Amostra	Dente	S_RT	S_RR	S_At	S_Ap	S_Aind	S_Bt	S_Bp	S_Bind	S_Ct	S_Cp	S_Cind	S_M	S_W	S_L	S_Dif	C_Age
142	43	1,55	0,82	6,30	2,20	0,35	6,60	3,10	0,47	6,00	1,00	0,17	0,61	0,32	1,04	-0,73	3,40
143	11	1,91	0,71	6,40	1,00	0,16	5,90	1,00	0,17	4,70	0,80	0,17	0,51	0,17	1,03	-0,86	21,03
143	21	1,83	0,68	6,50	0,90	0,14	6,20	0,90	0,15	4,90	0,60	0,12	0,47	0,13	0,96	-0,83	30,34
143	22	1,69	0,71	5,10	0,50	0,10	5,10	0,70	0,14	4,00	1,00	0,25	0,48	0,19	0,96	-0,76	20,74
143	23	1,64	0,70	7,10	2,90	0,41	6,80	1,40	0,21	4,40	1,00	0,23	0,54	0,22	0,92	-0,71	
144	13	1,52	0,78	7,50	2,30	0,31	7,80	1,90	0,24	6,40	1,10	0,17	0,54	0,21	0,98	-0,77	
145	23	1,49	0,79	7,20	2,20	0,31	8,10	2,50	0,31	6,10	0,80	0,13	0,54	0,22	0,98	-0,76	
146	32	1,50	0,76	6,20	2,40	0,39	6,30	2,20	0,35	5,20	1,30	0,25	0,58	0,30	0,95	-0,65	26,69
146	33	1,51	0,77	7,40	2,50	0,34	7,60	3,00	0,39	6,40	1,40	0,22	0,57	0,31	0,96	-0,65	39,97
147	21	1,90	0,78	6,00	1,70	0,28	5,70	1,30	0,23	4,40	0,80	0,18	0,59	0,20	1,14	-0,93	18,50
147	22	1,69	0,76	5,30	1,80	0,34	5,30	1,40	0,26	4,10	0,90	0,22	0,57	0,24	1,02	-0,78	11,76
147	12	1,77	0,80	5,10	1,40	0,27	5,20	1,90	0,37	4,20	0,70	0,17	0,61	0,27	1,11	-0,84	20,75
148	22	1,81	0,82	5,60	1,40	0,25	5,40	0,80	0,15	4,70	0,60	0,13	0,56	0,14	1,15	-1,01	24,90
148	23	1,72	0,81	7,80	3,20	0,41	7,10	1,80	0,25	5,30	0,90	0,17	0,61	0,21	1,11	-0,89	
149	31	1,60	0,80	6,10	1,70	0,28	6,40	1,40	0,22	5,10	1,40	0,27	0,57	0,25	1,03	-0,79	
149	33	1,69	0,76	8,60	4,10	0,48	9,20	3,30	0,36	8,30	2,00	0,24	0,62	0,30	1,02	-0,72	18,34
149	43	1,63	0,83	8,70	3,70	0,43	8,40	2,50	0,30	7,10	1,40	0,20	0,62	0,25	1,10	-0,85	25,31
150	12	1,75	0,75	5,50	1,40	0,25	5,20	1,30	0,25	4,50	0,90	0,20	0,56	0,23	1,04	-0,81	-1,48
150	22	1,68	0,75	5,50	1,30	0,24	5,00	1,00	0,20	4,50	0,80	0,18	0,52	0,19	1,00	-0,81	9,06
150	42	1,52	0,76	5,90	1,60	0,27	6,00	2,00	0,33	5,20	1,80	0,35	0,58	0,34	0,96	-0,62	5,76
150	32	1,57	0,77	6,00	1,60	0,27	6,00	2,50	0,42	5,10	1,80	0,35	0,60	0,38	0,99	-0,61	23,74
150	13	1,48	0,78	7,10	2,90	0,41	7,10	2,40	0,34	5,50	1,20	0,22	0,58	0,28	0,97	-0,70	
150	23	1,49	0,79	7,20	2,70	0,38	7,30	2,30	0,32	5,70	1,10	0,19	0,57	0,25	0,98	-0,73	
150	33	1,67	0,76	7,40	2,60	0,35	6,90	2,60	0,38	5,80	1,50	0,26	0,60	0,32	1,01	-0,70	29,94
150	43	1,62	0,76	7,10	2,70	0,38	6,60	2,70	0,41	5,20	1,20	0,23	0,60	0,32	0,99	-0,67	34,38
151	11	2,00	0,77	6,20	1,30	0,21	5,50	1,40	0,25	4,70	1,30	0,28	0,61	0,27	1,16	-0,89	8,96
151	21	2,04	0,79	6,10	1,30	0,21	5,50	1,30	0,24	4,90	1,10	0,22	0,62	0,23	1,20	-0,97	2,13
151	22	1,89	0,76	5,60	2,30	0,41	5,30	1,40	0,26	4,60	1,10	0,24	0,62	0,25	1,10	-0,85	-6,86
151	13	1,71	0,78	7,70	3,00	0,39	7,10	2,30	0,32	5,80	1,00	0,17	0,60	0,25	1,05	-0,81	
151	23	1,68	0,83	7,30	2,60	0,36	6,20	2,00	0,32	5,40	1,20	0,22	0,63	0,27	1,11	-0,84	
151	33	1,82	0,79	7,70	3,30	0,43	7,20	2,80	0,39	6,00	1,00	0,17	0,64	0,28	1,11	-0,83	10,94
152	11	1,72	0,75	6,70	1,70	0,25	6,00	1,50	0,25	4,60	0,60	0,13	0,53	0,19	1,01	-0,82	10,13
152	21	1,77	0,71	6,70	1,60	0,24	6,20	1,40	0,23	4,60	0,80	0,17	0,52	0,20	0,98	-0,78	17,87
152	12	1,75	0,77	6,40	2,20	0,34	5,70	1,80	0,32	4,80	0,90	0,19	0,59	0,25	1,05	-0,80	13,08
152	22	1,82	0,74	6,50	2,00	0,31	5,60	1,30	0,23	4,70	1,00	0,21	0,57	0,22	1,05	-0,82	21,17
152	13	1,54	0,76	8,90	2,70	0,30	8,80	3,10	0,35	7,10	1,70	0,24	0,56	0,30	0,96	-0,67	
153	23	1,55	0,86	8,60	4,00	0,47	7,50	1,50	0,20	6,00	1,20	0,20	0,61	0,20	1,10	-0,90	
154	11	1,95	0,77	5,80	1,60	0,28	4,30	1,00	0,23	4,00	1,00	0,25	0,61	0,24	1,14	-0,90	21,68
154	23	1,63	0,79	7,60	2,20	0,29	7,10	1,70	0,24	6,10	1,30	0,21	0,56	0,23	1,04	-0,81	
154	13	1,69	0,77	8,00	2,70	0,34	7,50	1,80	0,24	5,80	1,10	0,19	0,57	0,21	1,04	-0,83	
155	13	1,59	0,82	8,40	3,70	0,44	8,10	2,60	0,32	6,30	1,50	0,24	0,62	0,28	1,06	-0,78	
156	23	1,56	0,78	9,40	4,10	0,44	8,40	1,50	0,18	7,10	1,30	0,18	0,56	0,18	0,99	-0,81	
157	43	1,69	0,79	7,70	2,40	0,31	7,30	1,80	0,25	6,90	1,80	0,26	0,59	0,25	1,07	-0,81	37,71
158	23	1,62	0,78	7,80	2,00	0,26	7,50	1,70	0,23	6,10	1,00	0,16	0,54	0,20	1,02	-0,82	

Estimativa da Idade pela proporção da área polpa/dente em Tomografia Computorizada de Feixe Cônico (CBCT):  
Aplicação Médico-Legal

Amostra	Dente	S_Age	C_EE	S_EE	C_AEE	S_AEE	Dif_EE	Amostra	Dente	S_Age	C_EE	S_EE	C_AEE	S_AEE	Dif_EE
1	11	25,29	-5,86	-2,46	5,86	2,46	-3,40	27	13						
1	22	22,76	-3,81	-4,99	3,81	4,99	1,18	27	33	26,38	-30,60	-38,70	30,60	38,70	8,10
1	12	17,76	-7,31	-9,99	7,31	9,99	2,68	28	43	11,20	-11,87	-32,05	11,87	32,05	20,18
1	23							29	33	23,77	-16,32	-35,40	16,32	35,40	19,08
2	21	33,87	-24,92	-26,71	24,92	26,71	1,80	30	23						
2	11	28,97	-21,38	-31,61	21,38	31,61	10,23	31	21	21,59	-4,66	-8,57	4,66	8,57	3,91
2	22	20,32	-33,78	-40,27	33,78	40,27	6,49	31	12	14,70	-11,79	-15,47	11,79	15,47	3,68
2	33	33,23	-27,21	-27,35	27,21	27,35	0,14	31	22	24,04	-9,11	-6,13	9,11	6,13	-2,98
2	43	31,91	-21,78	-28,67	21,78	28,67	6,89	31	13						
3	13							31	23						
4	23							32	22	30,16	-11,05	-15,75	11,05	15,75	4,70
5	12	35,34	-21,21	-7,25	21,21	7,25	-13,97	32	43	14,19	11,14	-31,73	11,14	31,73	42,86
6	23							33	13						
7	32	5,29	-22,48	-51,13	22,48	51,13	28,65	34	22	23,09	-14,63	-19,83	14,63	19,83	5,20
7	42	10,59	-25,92	-45,83	25,92	45,83	19,91	34	23						
7	33	14,69	-23,86	-41,73	23,86	41,73	17,87	35	33	51,99	-3,59	-2,93	3,59	2,93	-0,66
7	43	19,38	-27,36	-37,04	27,36	37,04	9,68	36	22	25,92	5,42	0,75	5,42	0,75	4,67
8	23							36	23						
9	13							36	13						
10	11	32,13	-12,65	-15,71	12,65	15,71	3,06	37	21	29,87	14,27	6,54	14,27	6,54	7,74
11	13							37	11	22,30	-0,31	-1,04	0,31	1,04	0,72
12	11	44,19	-24,79	-3,64	24,79	3,64	-21,15	37	22	16,50	-9,56	-6,83	9,56	6,83	-2,73
13	23							37	12	23,95	-5,68	0,62	5,68	0,62	-6,30
14	11	30,29	1,12	-6,46	1,12	6,46	7,58	37	13						
14	12	36,09	-5,79	-0,66	5,79	0,66	-5,13	38	11	23,00	3,56	-3,83	3,56	3,83	7,39
15	23							38	21	21,72	8,19	-5,12	8,19	5,12	13,30
15	33	37,02	-0,05	-15,15	0,05	15,15	15,10	38	12	20,46	-4,01	-6,37	4,01	6,37	2,37
15	43	40,44	-2,32	-11,73	2,32	11,73	9,41	38	13						
16	43	58,78	2,78	0,70	2,78	0,70	2,08	38	23						
17	22	25,58	-9,04	2,67	9,04	2,67	-11,71	39	11	44,98	-13,22	-9,02	13,22	9,02	-4,19
17	12	18,38	-6,68	-4,53	6,68	4,53	-2,15	40	33	17,38	-12,51	-46,70	12,51	46,70	34,19
17	13							40	43	27,25	-13,91	-36,83	13,91	36,83	22,93
17	23							41	11	35,14	-24,07	-24,61	24,07	24,61	0,54
17	33	21,49	12,99	-1,43	12,99	1,43	14,42	42	23						
17	43	10,11	13,34	-12,80	13,34	12,80	26,15	43	33	24,65	-12,22	-18,18	12,22	18,18	5,96
18	32	-1,27	-26,23	-65,35	26,23	65,35	39,12	43	43	14,84	-3,23	-27,99	3,23	27,99	24,76
18	33	27,83	-20,85	-36,26	20,85	36,26	15,41	44	23						
19	33	11,48	-8,48	-30,02	8,48	30,02	21,54	44	33	12,34	-10,70	-34,16	10,70	34,16	23,46
20	13							44	43	-0,56	-14,34	-47,06	14,34	47,06	32,72
20	33	20,08	12,81	-4,51	12,81	4,51	17,31	45	21	16,35	-30,91	-25,40	30,91	25,40	-5,51
21	21	25,29	-29,63	-30,80	29,63	30,80	1,16	45	31						
21	13							45	12	23,60	-10,45	-18,15	10,45	18,15	7,70
22	21	27,30	-14,51	-13,03	14,51	13,03	-1,48	45	22	29,06	-18,16	-12,69	18,16	12,69	-5,47
22	12	21,28	-15,00	-19,05	15,00	19,05	4,05	45	32	9,92	-32,11	-31,83	32,11	31,83	-0,28
22	23							45	13						
22	13							45	33	20,47	-0,63	-21,28	0,63	21,28	20,65
23	13							45	43	13,14	-7,23	-28,61	7,23	28,61	21,38
24	13							46	31						
25	33	13,95	-8,60	-35,46	8,60	35,46	26,87	46	41						
25	43	5,48	-28,98	-43,94	28,98	43,94	14,96	46	22	25,70	-10,29	0,70	10,29	0,70	-10,98
26	33	57,26	-22,10	-12,66	22,10	12,66	-9,44	46	42	24,50	-21,29	-0,50	21,29	0,50	-20,79

Estimativa da Idade pela proporção da área polpa/dente em Tomografia Computorizada de Feixe Cônico (CBCT):  
Aplicação Médico-Legal

Amostra	Dente	S_Age	C_EE	S_EE	C_AEE	S_AEE	Dif_EE	Amostra	Dente	S_Age	C_EE	S_EE	C_AEE	S_AEE	Dif_EE
46	32	11,88	-26,43	-13,12	26,43	13,12	-13,31	64	12	33,64	-17,39	-2,61	17,39	2,61	-14,78
46	13							64	13						
46	23							65	13						
46	43	22,50	-5,00	-2,50	5,00	2,50	-2,50	66	22	33,81	-0,65	-6,11	0,65	6,11	5,46
46	33	21,13	7,21	-3,87	7,21	3,87	11,08	66	23						
47	13							67	13						
48	13							68	43	46,30	-12,40	-9,62	12,40	9,62	-2,77
48	23							68	33	16,11	-16,06	-39,81	16,06	39,81	23,75
49	13							69	23						
50	33	58,76	-25,73	-19,32	25,73	19,32	-6,41	70	11	23,31	-27,90	-22,11	27,90	22,11	-5,80
51	11	32,24	-41,82	-29,26	41,82	29,26	-12,57	70	32	16,32	-37,21	-29,10	37,21	29,10	-8,11
51	12	27,55	-42,45	-33,95	42,45	33,95	-8,50	70	42	25,46	-32,70	-19,96	32,70	19,96	-12,74
52	11	32,43	-6,08	-7,73	6,08	7,73	1,66	70	13						
52	13							70	33	-0,33	-28,69	-45,74	28,69	45,74	17,05
53	12	24,28	-12,83	-14,14	12,83	14,14	1,31	71	13						
54	43	57,51	9,24	-9,41	9,24	9,41	18,65	72	33	7,51	-17,39	-40,24	17,39	40,24	22,85
54	33	41,87	3,65	-25,05	3,65	25,05	28,70	72	43	11,83	-25,13	-35,92	25,13	35,92	10,79
55	13							73	11	26,85	-16,80	-15,82	16,80	15,82	-0,99
56	21	24,27	-34,58	-32,73	34,58	32,73	-1,85	73	12	34,37	-17,37	-8,29	17,37	8,29	-9,08
56	33	11,66	-43,91	-45,34	43,91	45,34	1,42	73	13						
56	43	16,66	-34,44	-40,34	34,44	40,34	5,91	73	23						
57	11	23,79	-30,41	-22,38	30,41	22,38	-8,03	74	43	19,71	-2,35	-11,29	2,35	11,29	8,94
57	21	24,08	-39,13	-22,09	39,13	22,09	-17,04	75	11	19,84	-19,59	-22,16	19,59	22,16	2,57
57	31							75	21	26,52	-21,29	-15,48	21,29	15,48	-5,81
57	12	26,81	-28,03	-19,36	28,03	19,36	-8,67	75	23						
57	22	21,00	-30,84	-25,17	30,84	25,17	-5,67	75	13						
57	32	7,12	-45,55	-39,04	45,55	39,04	-6,51	76	12	24,65	-37,17	-43,85	37,17	43,85	6,68
57	42	11,94	-32,95	-34,23	32,95	34,23	1,28	76	22	27,95	-37,74	-40,55	37,74	40,55	2,81
57	13							76	23						
57	23							76	13						
57	33	26,36	-21,68	-19,81	21,68	19,81	-1,87	77	11	8,87	-24,06	-27,30	24,06	27,30	3,23
57	43	27,65	-23,13	-18,52	23,13	18,52	-4,61	77	12	20,90	-10,98	-15,27	10,98	15,27	4,29
58	11	28,34	-1,52	-0,16	1,52	0,16	-1,36	78	13						
58	12	8,06	-0,52	-20,44	0,52	20,44	19,93	79	33	64,11	24,15	15,69	24,15	15,69	8,46
58	23							80	33	13,75	-47,92	-61,58	47,92	61,58	13,66
59	12	42,98	-36,15	-27,02	36,15	27,02	-9,13	81	23						
59	13							82	23						
59	23							83	21	29,82	-24,91	-19,34	24,91	19,34	-5,56
59	43	21,93	-34,21	-48,07	34,21	48,07	13,85	83	11	29,53	-19,73	-19,64	19,73	19,64	-0,09
60	21	15,25	-2,31	-14,67	2,31	14,67	12,36	84	12	43,05	-19,40	-8,87	19,40	8,87	-10,53
60	11	14,80	-6,09	-15,11	6,09	15,11	9,02	84	33	35,02	-3,98	-16,90	3,98	16,90	12,92
60	12	15,81	-15,68	-14,11	15,68	14,11	-1,57	84	43	23,71	-5,17	-28,21	5,17	28,21	23,04
60	13							85	13						
60	23							86	11	20,11	-18,92	-2,81	18,92	2,81	-16,12
61	32	11,39	-23,04	-35,19	23,04	35,19	12,15	86	21	14,18	-16,38	-8,73	16,38	8,73	-7,64
61	42	14,55	-33,04	-32,04	33,04	32,04	-1,01	86	31						
61	23							86	41						
61	33	25,25	-22,97	-21,33	22,97	21,33	-1,64	86	22	-6,38	-19,31	-29,30	19,31	29,30	9,99
61	43	19,71	-16,65	-26,87	16,65	26,87	10,22	86	12	8,55	-35,40	-14,36	35,40	14,36	-21,04
62	13							86	32	-31,73	-30,70	-54,65	30,70	54,65	23,94
63	33	-9,13	-32,88	-75,38	32,88	75,38	42,50	86	42	-24,56	-14,57	-47,48	14,57	47,48	32,90

Estimativa da Idade pela proporção da área polpa/dente em Tomografia Computorizada de Feixe Cônico (CBCT):  
Aplicação Médico-Legal

Amostra	Dente	S_Age	C_EE	S_EE	C_AEE	S_AEE	Dif_EE	Amostra	Dente	S_Age	C_EE	S_EE	C_AEE	S_AEE	Dif_EE
86	13							103	12	35,42	-32,94	-15,58	32,94	15,58	-17,36
86	23							104	13						
86	43	12,75	2,74	-10,17	2,74	10,17	12,91	105	13						
86	33	-5,77	-0,64	-28,68	0,64	28,68	28,05	105	23						
87	13							106	43	22,69	7,38	-16,39	7,38	16,39	23,77
88	12	45,20	-10,19	7,54	10,19	7,54	-17,73	107	13						
88	23							108	11	34,47	-16,74	-11,86	16,74	11,86	-4,88
88	13							108	22	23,81	-32,32	-22,53	32,32	22,53	-9,79
89	11	28,71	-12,07	-11,71	12,07	11,71	-0,35	108	12	20,32	-24,31	-26,02	24,31	26,02	1,71
89	12	17,45	-14,57	-22,96	14,57	22,96	8,39	108	13						
89	22	20,48	-12,14	-19,94	12,14	19,94	7,80	108	23						
89	13							109	11	29,92	-42,41	-37,16	42,41	37,16	-5,25
89	23							109	21	24,02	-40,79	-43,07	40,79	43,07	2,27
90	13							109	12	21,57	-64,04	-45,51	64,04	45,51	-18,53
90	23							109	43	20,12	-42,05	-46,96	42,05	46,96	4,91
90	33	55,12	20,10	6,21	20,10	6,21	13,89	110	13						
90	43	30,37	10,06	-18,55	10,06	18,55	28,61	111	33	29,38	-19,68	-32,29	19,68	32,29	12,61
91	41							111	43	27,67	-19,05	-34,00	19,05	34,00	14,94
91	43	19,64	-0,25	-15,70	0,25	15,70	15,44	112	11	34,28	-18,19	-21,64	18,19	21,64	3,45
91	33	1,72	0,10	-33,61	0,10	33,61	33,71	112	21	31,09	-21,62	-24,82	21,62	24,82	3,20
92	13							112	12	32,09	-26,83	-23,82	26,83	23,82	-3,00
93	33	0,03	1,41	-23,80	1,41	23,80	25,21	112	13						
94	22	30,28	-10,88	-2,72	10,88	2,72	-8,16	112	23						
94	23							113	21	17,53	-5,59	-6,06	5,59	6,06	0,47
95	13							113	22	17,20	-2,70	-6,39	2,70	6,39	3,69
96	12	32,40	-16,66	-18,85	16,66	18,85	2,19	113	23						
97	12	28,79	-32,55	-36,63	32,55	36,63	4,08	114	33	15,54	-41,46	-51,88	41,46	51,88	10,42
97	13							114	43	21,21	-54,20	-46,20	54,20	46,20	-7,99
97	33	21,09	-42,09	-44,33	42,09	44,33	2,24	115	43	42,60	-15,06	-7,82	15,06	7,82	-7,24
97	43	10,24	-18,87	-55,18	18,87	55,18	36,31	116	13						
98	23							117	12	11,41	-4,94	-10,42	4,94	10,42	5,48
99	11	20,19	-12,29	-10,39	12,29	10,39	-1,89	118	11	34,38	-34,82	-25,54	34,82	25,54	-9,28
99	21	21,10	-4,00	-9,49	4,00	9,49	5,49	118	21	41,06	-43,41	-18,86	43,41	18,86	-24,55
99	22	7,75	-20,20	-22,84	20,20	22,84	2,64	118	12	36,33	-20,55	-23,59	20,55	23,59	3,04
99	12	1,72	-10,50	-28,86	10,50	28,86	18,36	118	22	29,71	-52,02	-30,21	52,02	30,21	-21,82
99	13							118	32	27,65	-42,49	-32,27	42,49	32,27	-10,23
99	23							118	42	21,62	-30,73	-38,30	30,73	38,30	7,57
99	33	5,88	-12,07	-24,70	12,07	24,70	12,63	118	13						
99	43	-12,01	-3,13	-42,59	3,13	42,59	39,46	118	23						
100	32	18,68	-12,39	-40,99	12,39	40,99	28,60	118	33	20,82	-33,71	-39,10	33,71	39,10	5,39
100	42	16,33	-28,25	-43,34	28,25	43,34	15,09	118	43	11,25	-35,78	-48,67	35,78	48,67	12,88
100	33	22,79	-33,94	-36,88	33,94	36,88	2,94	119	12	18,85	-13,74	-22,65	13,74	22,65	8,91
100	43	27,35	-28,01	-32,32	28,01	32,32	4,30	119	22	24,06	-24,23	-17,44	24,23	17,44	-6,79
101	22	28,61	-35,88	-31,97	35,88	31,97	-3,92	120	13						
101	23							121	11	22,30	-19,95	-21,20	19,95	21,20	1,25
101	13							121	12	24,12	-11,79	-19,38	11,79	19,38	7,58
102	11	13,41	-13,82	-22,18	13,82	22,18	8,36	121	22	20,97	-22,79	-22,53	22,79	22,53	-0,26
102	21	15,48	-21,07	-20,11	21,07	20,11	-0,96	121	23						
102	12	2,00	-14,90	-33,58	14,90	33,58	18,68	121	13						
102	23							122	12	26,27	-21,13	-23,31	21,13	23,31	2,18
102	13							122	22	27,81	-20,25	-21,77	20,25	21,77	1,52

Estimativa da Idade pela proporção da área polpa/dente em Tomografia Computorizada de Feixe Cônico (CBCT):  
Aplicação Médico-Legal

Amostra	Dente	S_Age	C_EE	S_EE	C_AEE	S_AEE	Dif_EE	Amostra	Dente	S_Age	C_EE	S_EE	C_AEE	S_AEE	Dif_EE
122	13							142	43	1,69	-47,35	-49,06	47,35	49,06	1,71
122	23							143	11	34,04	-39,88	-26,87	39,88	26,87	-13,01
123	11	16,98	-30,56	-36,93	30,56	36,93	6,37	143	21	42,14	-30,58	-18,78	30,58	18,78	-11,80
123	21	17,66	-27,87	-36,25	27,87	36,25	8,38	143	22	35,10	-40,18	-25,81	40,18	25,81	-14,37
123	22	15,45	-24,11	-38,47	24,11	38,47	14,36	143	23						
123	43	-16,07	-32,47	-69,99	32,47	69,99	37,52	144	13						
123	33	-16,63	-35,57	-70,55	35,57	70,55	34,98	145	23						
124	32	17,81	-24,88	-29,36	24,88	29,36	4,48	146	32	1,21	-37,40	-62,88	37,40	62,88	25,48
124	33	22,19	-34,12	-24,98	34,12	24,98	-9,15	146	33	11,85	-24,11	-52,24	24,11	52,24	28,12
125	21	28,43	-23,57	-19,91	23,57	19,91	-3,66	147	21	19,82	-10,83	-9,51	10,83	9,51	-1,31
125	22	18,15	-37,69	-30,18	37,69	30,18	-7,50	147	22	15,76	-17,57	-13,57	17,57	13,57	-4,00
126	22	36,47	-47,54	-39,70	47,54	39,70	-7,84	147	12	11,75	-8,59	-17,59	8,59	17,59	9,00
127	23							148	22	28,30	-1,35	2,05	1,35	2,05	-3,39
128	43	21,64	-16,73	-24,36	16,73	24,36	7,63	148	23						
129	32	21,70	-74,75	-55,96	74,75	55,96	-18,79	149	31						
129	42	15,37	-72,32	-62,29	72,32	62,29	-10,02	149	33	-0,51	-37,91	-56,76	37,91	56,76	18,85
129	33	9,15	-54,89	-68,52	54,89	68,52	13,63	149	43	-0,29	-30,94	-56,54	30,94	56,54	25,60
129	43	9,11	-56,02	-68,55	56,02	68,55	12,53	150	12	20,97	-59,98	-37,53	59,98	37,53	-22,45
130	22	24,19	-29,21	-17,06	29,21	17,06	-12,15	150	22	28,07	-49,44	-30,43	49,44	30,43	-19,00
130	23							150	42	-0,06	-52,74	-58,56	52,74	58,56	5,82
131	13							150	32	-8,30	-34,76	-66,80	34,76	66,80	32,05
132	41							150	13						
133	32	40,33	-26,31	-31,09	26,31	31,09	4,78	150	23						
134	11	58,49	-25,39	-7,35	25,39	7,35	-18,05	150	33	4,65	-28,56	-53,85	28,56	53,85	25,29
134	21	44,40	-20,19	-21,44	20,19	21,44	1,25	150	43	5,54	-24,12	-52,96	24,12	52,96	28,84
134	33	36,51	-28,30	-29,32	28,30	29,32	1,02	151	11	15,06	-16,04	-9,94	16,04	9,94	-6,11
135	11	27,78	-19,18	-23,97	19,18	23,97	4,79	151	21	16,68	-22,87	-8,32	22,87	8,32	-14,55
135	22	17,64	-39,73	-34,11	39,73	34,11	-5,63	151	22	8,23	-31,86	-16,77	31,86	16,77	-15,09
136	42	12,56	-19,22	-16,69	19,22	16,69	-2,53	151	13						
137	22	-6,14	-1,30	-31,06	1,30	31,06	29,76	151	23						
137	12	-0,78	-3,80	-25,70	3,80	25,70	21,90	151	33	-5,06	-14,06	-30,06	14,06	30,06	16,00
137	13							152	11	28,71	-51,79	-33,21	51,79	33,21	-18,58
138	31							152	21	30,07	-44,04	-31,85	44,04	31,85	-12,20
138	32	14,93	-32,42	-47,32	32,42	47,32	14,90	152	12	12,84	-48,83	-49,07	48,83	49,07	0,24
139	22	25,70	-19,31	-19,05	19,31	19,05	-0,25	152	22	18,59	-40,75	-43,32	40,75	43,32	2,58
139	23							152	13						
140	43	31,90	-46,40	-35,69	46,40	35,69	-10,72	153	23						
140	33	27,08	-45,27	-40,50	45,27	40,50	-4,76	154	11	16,08	-5,07	-10,67	5,07	10,67	5,60
141	11	16,21	-21,12	-22,62	21,12	22,62	1,50	154	23						
141	21	19,00	-23,81	-19,83	23,81	19,83	-3,97	154	13						
141	12	9,99	-23,31	-28,84	23,31	28,84	5,53	155	13						
141	22	7,50	-35,42	-31,33	35,42	31,33	-4,09	156	23						
141	42	-29,83	-41,42	-68,67	41,42	68,67	27,25	157	43	7,75	-19,87	-49,83	19,87	49,83	29,96
141	32	-11,54	-48,03	-50,37	48,03	50,37	2,34	158	23						
141	13														
141	23														
141	33	7,10	-14,07	-31,73	14,07	31,73	17,66								
141	43	-1,21	-15,03	-40,04	15,03	40,04	25,01								
142	11	20,56	-31,69	-30,19	31,69	30,19	-1,50								
142	21	16,11	-36,97	-34,64	36,97	34,64	-2,33								
142	32	0,30	-52,45	-50,45	52,45	50,45	-2,00								

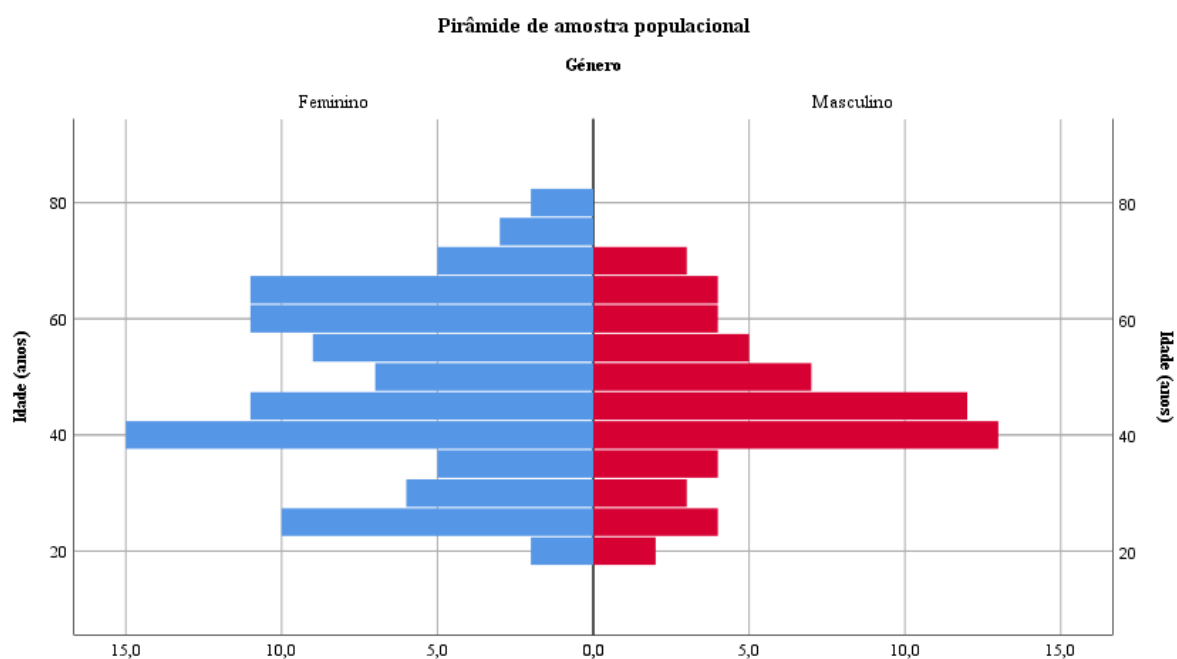
## **Anexo 6 – Análise descritiva**

I – Análise descritiva por pessoa

II – Análise descritiva por dente

## I – Análise descritiva por pessoa

		Gênero			
		Frequência	Percentagem	Percentagem válida	Percentagem acumulativa
Válido	Feminino	97	61,4	61,4	61,4
	Masculino	61	38,6	38,6	100,0
	Total	158	100,0	100,0	





## II – Análise descritiva por dente

**Tabulação cruzada (Dente \* Género)**

Contagem

		Género		Total
		Feminino	Masculino	
Dente	11	24	13	37
	12	21	20	41
	13	43	24	67
	21	20	8	28
	22	22	16	38
	23	26	32	58
	31	4	2	6
	32	13	5	18
	33	30	19	49
	41	2	2	4
	42	8	5	13
	43	22	21	43
Total		235	167	402

**Tabulação cruzada (Associação de dentes \* Género)**

Contagem

		Género		Total
		Feminino	Masculino	
Associação de dentes	Dentes 11 e 21	44	21	65
	Dentes 31 e 41	6	4	10
	Dentes 12 e 22	43	36	79
	Dentes 32 e 42	21	10	31
	Dentes 13 e 23	69	56	125
	Dentes 33 e 43	52	40	92
Total		235	167	402

## **Anexo 7 – Análise estatística**

- I – Concordância intra-observador
- II – Estimativa de idade, pela fórmula de Kvaal
- III – Teste estatístico de amostras emparelhadas
- IV – Correlação de Pearson
- V – Avaliação dos coeficientes da regressão linear de Kvaal
- VI – Regressão linear

## I – Concordância intra-observador

**Tabulação cruzada C \* C2**

		C2			Total
		Má qualidade (corte)	Má qualidade (definição)	Boa qualidade	
C	Má qualidade (corte)	4	0	0	4
	Má qualidade (definição)	0	14	0	14
	Boa qualidade	0	0	22	22
Total		4	14	22	40

**Tabulação cruzada S \* S2**

		S2			Total
		Má qualidade (corte)	Má qualidade (definição)	Boa qualidade	
S	Má qualidade (corte)	13	0	0	13
	Má qualidade (definição)	0	6	0	6
	Boa qualidade	0	0	21	21
Total		13	6	21	40

**Coefficiente de correlação intraclass (Coronal\_T)**

	Correlação intraclass <sup>b</sup>	Intervalo de Confiança 95%		Teste F com Valor Real 0			
		Limite inferior	Limite superior	Valor	df1	df2	Sig
Medidas únicas	,981 <sup>a</sup>	,961	,990	115,192	39	39	,000
Medidas médias	,990 <sup>c</sup>	,980	,995	115,192	39	39	,000

Modelo de efeitos mistos bidirecional em que os efeitos das pessoas são aleatórios e os das medidas são fixos.

- O estimador é o mesmo, esteja o efeito de interação presente ou não.
- Os coeficientes de correlação intraclass tipo A que usam uma definição de concordância absoluta.
- Essa estimativa é calculada considerando que o efeito de interação esteja ausente, porque ele não pode ser estimado de outra forma.

**Coefficiente de correlação intraclass (Coronal\_P)**

	Correlação intraclass <sup>b</sup>	Intervalo de Confiança 95%		Teste F com Valor Real 0			
		Limite inferior	Limite superior	Valor	df1	df2	Sig
Medidas únicas	,992 <sup>a</sup>	,959	,997	416,937	39	39	,000
Medidas médias	,996 <sup>c</sup>	,979	,999	416,937	39	39	,000

Modelo de efeitos mistos bidirecional em que os efeitos das pessoas são aleatórios e os das medidas são fixos.

- O estimador é o mesmo, esteja o efeito de interação presente ou não.
- Os coeficientes de correlação intraclass tipo A que usam uma definição de concordância absoluta.
- Essa estimativa é calculada considerando que o efeito de interação esteja ausente, porque ele não pode ser estimado de outra forma.

Estimativa da Idade pela proporção da área polpa/dente em Tomografia Computorizada de Feixe Cônico (CBCT):  
Aplicação Médico-Legal

**Coefficiente de correlação intraclass (Coronal\_R)**

	Correlação intraclass <sup>b</sup>	Intervalo de Confiança 95%		Teste F com Valor Real 0			
		Limite inferior	Limite superior	Valor	df1	df2	Sig
Medidas únicas	<b>,984<sup>a</sup></b>	,970	,992	122,379	39	39	,000
Medidas médias	,992 <sup>c</sup>	,985	,996	122,379	39	39	,000

Modelo de efeitos mistos bidirecional em que os efeitos das pessoas são aleatórios e os das medidas são fixos.

- O estimador é o mesmo, esteja o efeito de interação presente ou não.
- Os coeficientes de correlação intraclass tipo A que usam uma definição de concordância absoluta.
- Essa estimativa é calculada considerando que o efeito de interação esteja ausente, porque ele não pode ser estimado de outra forma.

**Coefficiente de correlação intraclass (Coronal\_RP)**

	Correlação intraclass <sup>b</sup>	Intervalo de Confiança 95%		Teste F com Valor Real 0			
		Limite inferior	Limite superior	Valor	df1	df2	Sig
Medidas únicas	<b>,971<sup>a</sup></b>	,917	,987	88,681	39	39	,000
Medidas médias	,985 <sup>c</sup>	,957	,993	88,681	39	39	,000

Modelo de efeitos mistos bidirecional em que os efeitos das pessoas são aleatórios e os das medidas são fixos.

- O estimador é o mesmo, esteja o efeito de interação presente ou não.
- Os coeficientes de correlação intraclass tipo A que usam uma definição de concordância absoluta.
- Essa estimativa é calculada considerando que o efeito de interação esteja ausente, porque ele não pode ser estimado de outra forma.

**Coefficiente de correlação intraclass (Coronal\_RT)**

	Correlação intraclass <sup>b</sup>	Intervalo de Confiança 95%		Teste F com Valor Real 0			
		Limite inferior	Limite superior	Valor	df1	df2	Sig
Medidas únicas	<b>,918<sup>a</sup></b>	,840	,958	26,296	39	39	,000
Medidas médias	,957 <sup>c</sup>	,913	,978	26,296	39	39	,000

Modelo de efeitos mistos bidirecional em que os efeitos das pessoas são aleatórios e os das medidas são fixos.

- O estimador é o mesmo, esteja o efeito de interação presente ou não.
- Os coeficientes de correlação intraclass tipo A que usam uma definição de concordância absoluta.
- Essa estimativa é calculada considerando que o efeito de interação esteja ausente, porque ele não pode ser estimado de outra forma.

**Coefficiente de correlação intraclass (Coronal\_RR)**

	Correlação intraclass <sup>b</sup>	Intervalo de Confiança 95%		Teste F com Valor Real 0			
		Limite inferior	Limite superior	Valor	df1	df2	Sig
Medidas únicas	<b>,984<sup>a</sup></b>	,968	,992	140,256	39	39	,000
Medidas médias	,992 <sup>c</sup>	,984	,996	140,256	39	39	,000

Modelo de efeitos mistos bidirecional em que os efeitos das pessoas são aleatórios e os das medidas são fixos.

- O estimador é o mesmo, esteja o efeito de interação presente ou não.
- Os coeficientes de correlação intraclass tipo A que usam uma definição de concordância absoluta.
- Essa estimativa é calculada considerando que o efeito de interação esteja ausente, porque ele não pode ser estimado de outra forma.

Estimativa da Idade pela proporção da área polpa/dente em Tomografia Computorizada de Feixe Cônico (CBCT):  
Aplicação Médico-Legal

**Coefficiente de correlação intraclasse (Coronal\_At)**

	Correlação intraclasse <sup>b</sup>	Intervalo de Confiança 95%		Teste F com Valor Real 0			
		Limite inferior	Limite superior	Valor	df1	df2	Sig
Medidas únicas	<b>,994<sup>a</sup></b>	,988	,997	343,768	39	39	,000
Medidas médias	,997 <sup>c</sup>	,994	,998	343,768	39	39	,000

Modelo de efeitos mistos bidirecional em que os efeitos das pessoas são aleatórios e os das medidas são fixos.

- O estimador é o mesmo, esteja o efeito de interação presente ou não.
- Os coeficientes de correlação intraclasse tipo A que usam uma definição de concordância absoluta.
- Essa estimativa é calculada considerando que o efeito de interação esteja ausente, porque ele não pode ser estimado de outra forma.

**Coefficiente de correlação intraclasse (Coronal\_Ap)**

	Correlação intraclasse <sup>b</sup>	Intervalo de Confiança 95%		Teste F com Valor Real 0			
		Limite inferior	Limite superior	Valor	df1	df2	Sig
Medidas únicas	<b>,996<sup>a</sup></b>	,992	,998	467,716	39	39	,000
Medidas médias	,998 <sup>c</sup>	,996	,999	467,716	39	39	,000

Modelo de efeitos mistos bidirecional em que os efeitos das pessoas são aleatórios e os das medidas são fixos.

- O estimador é o mesmo, esteja o efeito de interação presente ou não.
- Os coeficientes de correlação intraclasse tipo A que usam uma definição de concordância absoluta.
- Essa estimativa é calculada considerando que o efeito de interação esteja ausente, porque ele não pode ser estimado de outra forma.

**Coefficiente de correlação intraclasse (Coronal\_Aind)**

	Correlação intraclasse <sup>b</sup>	Intervalo de Confiança 95%		Teste F com Valor Real 0			
		Limite inferior	Limite superior	Valor	df1	df2	Sig
Medidas únicas	<b>,989<sup>a</sup></b>	,979	,994	189,574	39	39	,000
Medidas médias	,994 <sup>c</sup>	,989	,997	189,574	39	39	,000

Modelo de efeitos mistos bidirecional em que os efeitos das pessoas são aleatórios e os das medidas são fixos.

- O estimador é o mesmo, esteja o efeito de interação presente ou não.
- Os coeficientes de correlação intraclasse tipo A que usam uma definição de concordância absoluta.
- Essa estimativa é calculada considerando que o efeito de interação esteja ausente, porque ele não pode ser estimado de outra forma.

**Coefficiente de correlação intraclasse (Coronal\_Bt)**

	Correlação intraclasse <sup>b</sup>	Intervalo de Confiança 95%		Teste F com Valor Real 0			
		Limite inferior	Limite superior	Valor	df1	df2	Sig
Medidas únicas	<b>,996<sup>a</sup></b>	,993	,998	539,324	39	39	,000
Medidas médias	,998 <sup>c</sup>	,997	,999	539,324	39	39	,000

Modelo de efeitos mistos bidirecional em que os efeitos das pessoas são aleatórios e os das medidas são fixos.

- O estimador é o mesmo, esteja o efeito de interação presente ou não.
- Os coeficientes de correlação intraclasse tipo A que usam uma definição de concordância absoluta.
- Essa estimativa é calculada considerando que o efeito de interação esteja ausente, porque ele não pode ser estimado de outra forma.

**Coefficiente de correlação intraclasse (Coronal\_Bp)**

	Correlação intraclasse <sup>b</sup>	Intervalo de Confiança 95%		Teste F com Valor Real 0			
		Limite inferior	Limite superior	Valor	df1	df2	Sig
Medidas únicas	<b>,992<sup>a</sup></b>	,984	,996	234,823	39	39	,000
Medidas médias	,996 <sup>c</sup>	,992	,998	234,823	39	39	,000

Modelo de efeitos mistos bidirecional em que os efeitos das pessoas são aleatórios e os das medidas são fixos.

- O estimador é o mesmo, esteja o efeito de interação presente ou não.
- Os coeficientes de correlação intraclasse tipo A que usam uma definição de concordância absoluta.
- Essa estimativa é calculada considerando que o efeito de interação esteja ausente, porque ele não pode ser estimado de outra forma.

**Coefficiente de correlação intraclasse (Coronal\_Bind)**

	Correlação intraclasse <sup>b</sup>	Intervalo de Confiança 95%		Teste F com Valor Real 0			
		Limite inferior	Limite superior	Valor	df1	df2	Sig
Medidas únicas	<b>,981<sup>a</sup></b>	,964	,990	99,616	39	39	,000
Medidas médias	,990 <sup>c</sup>	,981	,995	99,616	39	39	,000

Modelo de efeitos mistos bidirecional em que os efeitos das pessoas são aleatórios e os das medidas são fixos.

- O estimador é o mesmo, esteja o efeito de interação presente ou não.
- Os coeficientes de correlação intraclasse tipo A que usam uma definição de concordância absoluta.
- Essa estimativa é calculada considerando que o efeito de interação esteja ausente, porque ele não pode ser estimado de outra forma.

**Coefficiente de correlação intraclasse (Coronal\_Ct)**

	Correlação intraclasse <sup>b</sup>	Intervalo de Confiança 95%		Teste F com Valor Real 0			
		Limite inferior	Limite superior	Valor	df1	df2	Sig
Medidas únicas	<b>,991<sup>a</sup></b>	,983	,995	213,245	39	39	,000
Medidas médias	,995 <sup>c</sup>	,991	,998	213,245	39	39	,000

Modelo de efeitos mistos bidirecional em que os efeitos das pessoas são aleatórios e os das medidas são fixos.

- O estimador é o mesmo, esteja o efeito de interação presente ou não.
- Os coeficientes de correlação intraclasse tipo A que usam uma definição de concordância absoluta.
- Essa estimativa é calculada considerando que o efeito de interação esteja ausente, porque ele não pode ser estimado de outra forma.

**Coefficiente de correlação intraclasse (Coronal\_Cp)**

	Correlação intraclasse <sup>b</sup>	Intervalo de Confiança 95%		Teste F com Valor Real 0			
		Limite inferior	Limite superior	Valor	df1	df2	Sig
Medidas únicas	<b>,997<sup>a</sup></b>	,994	,998	659,947	39	39	,000
Medidas médias	,998 <sup>c</sup>	,997	,999	659,947	39	39	,000

Modelo de efeitos mistos bidirecional em que os efeitos das pessoas são aleatórios e os das medidas são fixos.

- O estimador é o mesmo, esteja o efeito de interação presente ou não.
- Os coeficientes de correlação intraclasse tipo A que usam uma definição de concordância absoluta.
- Essa estimativa é calculada considerando que o efeito de interação esteja ausente, porque ele não pode ser estimado de outra forma.

**Coefficiente de correlação intraclasse (Coronal\_Cind)**

	Correlação intraclasse <sup>b</sup>	Intervalo de Confiança 95%		Teste F com Valor Real 0			
		Limite inferior	Limite superior	Valor	df1	df2	Sig
Medidas únicas	<b>,986<sup>a</sup></b>	,973	,992	143,039	39	39	,000
Medidas médias	,993 <sup>c</sup>	,986	,996	143,039	39	39	,000

Modelo de efeitos mistos bidirecional em que os efeitos das pessoas são aleatórios e os das medidas são fixos.

- O estimador é o mesmo, esteja o efeito de interação presente ou não.
- Os coeficientes de correlação intraclasse tipo A que usam uma definição de concordância absoluta.
- Essa estimativa é calculada considerando que o efeito de interação esteja ausente, porque ele não pode ser estimado de outra forma.

**Coefficiente de correlação intraclasse (Coronal\_M)**

	Correlação intraclasse <sup>b</sup>	Intervalo de Confiança 95%		Teste F com Valor Real 0			
		Limite inferior	Limite superior	Valor	df1	df2	Sig
Medidas únicas	<b>,955<sup>a</sup></b>	,866	,981	60,079	39	39	,000
Medidas médias	,977 <sup>c</sup>	,928	,990	60,079	39	39	,000

Modelo de efeitos mistos bidirecional em que os efeitos das pessoas são aleatórios e os das medidas são fixos.

- O estimador é o mesmo, esteja o efeito de interação presente ou não.
- Os coeficientes de correlação intraclasse tipo A que usam uma definição de concordância absoluta.
- Essa estimativa é calculada considerando que o efeito de interação esteja ausente, porque ele não pode ser estimado de outra forma.

**Coefficiente de correlação intraclasse (Coronal\_W)**

	Correlação intraclasse <sup>b</sup>	Intervalo de Confiança 95%		Teste F com Valor Real 0			
		Limite inferior	Limite superior	Valor	df1	df2	Sig
Medidas únicas	<b>,990<sup>a</sup></b>	,981	,995	201,631	39	39	,000
Medidas médias	,995 <sup>c</sup>	,990	,997	201,631	39	39	,000

Modelo de efeitos mistos bidirecional em que os efeitos das pessoas são aleatórios e os das medidas são fixos.

- O estimador é o mesmo, esteja o efeito de interação presente ou não.
- Os coeficientes de correlação intraclasse tipo A que usam uma definição de concordância absoluta.
- Essa estimativa é calculada considerando que o efeito de interação esteja ausente, porque ele não pode ser estimado de outra forma.

**Coefficiente de correlação intraclasse (Coronal\_L)**

	Correlação intraclasse <sup>b</sup>	Intervalo de Confiança 95%		Teste F com Valor Real 0			
		Limite inferior	Limite superior	Valor	df1	df2	Sig
Medidas únicas	<b>,979<sup>a</sup></b>	,942	,991	122,450	39	39	,000
Medidas médias	,989 <sup>c</sup>	,970	,995	122,450	39	39	,000

Modelo de efeitos mistos bidirecional em que os efeitos das pessoas são aleatórios e os das medidas são fixos.

- O estimador é o mesmo, esteja o efeito de interação presente ou não.
- Os coeficientes de correlação intraclasse tipo A que usam uma definição de concordância absoluta.
- Essa estimativa é calculada considerando que o efeito de interação esteja ausente, porque ele não pode ser estimado de outra forma.

**Coefficiente de correlação intraclasse (Coronal\_Dif)**

	Correlação intraclasse <sup>b</sup>	Intervalo de Confiança 95%		Teste F com Valor Real 0			
		Limite inferior	Limite superior	Valor	df1	df2	Sig
Medidas únicas	<b>,985<sup>a</sup></b>	,968	,993	156,196	39	39	,000
Medidas médias	,993 <sup>c</sup>	,984	,996	156,196	39	39	,000

Modelo de efeitos mistos bidirecional em que os efeitos das pessoas são aleatórios e os das medidas são fixos.

- O estimador é o mesmo, esteja o efeito de interação presente ou não.
- Os coeficientes de correlação intraclasse tipo A que usam uma definição de concordância absoluta.
- Essa estimativa é calculada considerando que o efeito de interação esteja ausente, porque ele não pode ser estimado de outra forma.

**Coefficiente de correlação intraclasse (Sagital\_T)**

	Correlação intraclasse <sup>b</sup>	Intervalo de Confiança 95%		Teste F com Valor Real 0			
		Limite inferior	Limite superior	Valor	df1	df2	Sig
Medidas únicas	<b>,987<sup>a</sup></b>	,975	,993	146,173	39	39	,000
Medidas médias	,993 <sup>c</sup>	,987	,996	146,173	39	39	,000

Modelo de efeitos mistos bidirecional em que os efeitos das pessoas são aleatórios e os das medidas são fixos.

- O estimador é o mesmo, esteja o efeito de interação presente ou não.
- Os coeficientes de correlação intraclasse tipo A que usam uma definição de concordância absoluta.
- Essa estimativa é calculada considerando que o efeito de interação esteja ausente, porque ele não pode ser estimado de outra forma.

**Coefficiente de correlação intraclasse (Sagital\_P)**

	Correlação intraclasse <sup>b</sup>	Intervalo de Confiança 95%		Teste F com Valor Real 0			
		Limite inferior	Limite superior	Valor	df1	df2	Sig
Medidas únicas	<b>,983<sup>a</sup></b>	,966	,991	125,906	39	39	,000
Medidas médias	,991 <sup>c</sup>	,982	,996	125,906	39	39	,000

Modelo de efeitos mistos bidirecional em que os efeitos das pessoas são aleatórios e os das medidas são fixos.

- O estimador é o mesmo, esteja o efeito de interação presente ou não.
- Os coeficientes de correlação intraclasse tipo A que usam uma definição de concordância absoluta.
- Essa estimativa é calculada considerando que o efeito de interação esteja ausente, porque ele não pode ser estimado de outra forma.

**Coefficiente de correlação intraclasse (Sagital\_R)**

	Correlação intraclasse <sup>b</sup>	Intervalo de Confiança 95%		Teste F com Valor Real 0			
		Limite inferior	Limite superior	Valor	df1	df2	Sig
Medidas únicas	<b>,985<sup>a</sup></b>	,971	,992	135,874	39	39	,000
Medidas médias	,992 <sup>c</sup>	,985	,996	135,874	39	39	,000

Modelo de efeitos mistos bidirecional em que os efeitos das pessoas são aleatórios e os das medidas são fixos.

- O estimador é o mesmo, esteja o efeito de interação presente ou não.
- Os coeficientes de correlação intraclasse tipo A que usam uma definição de concordância absoluta.
- Essa estimativa é calculada considerando que o efeito de interação esteja ausente, porque ele não pode ser estimado de outra forma.



Estimativa da Idade pela proporção da área polpa/dente em Tomografia Computorizada de Feixe Cônico (CBCT):  
Aplicação Médico-Legal

**Coefficiente de correlação intraclasse (Sagital\_RP)**

	Correlação intraclasse <sup>b</sup>	Intervalo de Confiança 95%		Teste F com Valor Real 0			
		Limite inferior	Limite superior	Valor	df1	df2	Sig
Medidas únicas	<b>,969<sup>a</sup></b>	,920	,986	81,446	39	39	,000
Medidas médias	,984 <sup>c</sup>	,959	,993	81,446	39	39	,000

Modelo de efeitos mistos bidirecional em que os efeitos das pessoas são aleatórios e os das medidas são fixos.

- O estimador é o mesmo, esteja o efeito de interação presente ou não.
- Os coeficientes de correlação intraclasse tipo A que usam uma definição de concordância absoluta.
- Essa estimativa é calculada considerando que o efeito de interação esteja ausente, porque ele não pode ser estimado de outra forma.

**Coefficiente de correlação intraclasse (Sagital\_RT)**

	Correlação intraclasse <sup>b</sup>	Intervalo de Confiança 95%		Teste F com Valor Real 0			
		Limite inferior	Limite superior	Valor	df1	df2	Sig
Medidas únicas	<b>,969<sup>a</sup></b>	,942	,984	67,333	39	39	,000
Medidas médias	,984 <sup>c</sup>	,970	,992	67,333	39	39	,000

Modelo de efeitos mistos bidirecional em que os efeitos das pessoas são aleatórios e os das medidas são fixos.

- O estimador é o mesmo, esteja o efeito de interação presente ou não.
- Os coeficientes de correlação intraclasse tipo A que usam uma definição de concordância absoluta.
- Essa estimativa é calculada considerando que o efeito de interação esteja ausente, porque ele não pode ser estimado de outra forma.

**Coefficiente de correlação intraclasse (Sagital\_RR)**

	Correlação intraclasse <sup>b</sup>	Intervalo de Confiança 95%		Teste F com Valor Real 0			
		Limite inferior	Limite superior	Valor	df1	df2	Sig
Medidas únicas	<b>,969<sup>a</sup></b>	,937	,984	69,976	39	39	,000
Medidas médias	,984 <sup>c</sup>	,967	,992	69,976	39	39	,000

Modelo de efeitos mistos bidirecional em que os efeitos das pessoas são aleatórios e os das medidas são fixos.

- O estimador é o mesmo, esteja o efeito de interação presente ou não.
- Os coeficientes de correlação intraclasse tipo A que usam uma definição de concordância absoluta.
- Essa estimativa é calculada considerando que o efeito de interação esteja ausente, porque ele não pode ser estimado de outra forma.

**Coefficiente de correlação intraclasse (Sagital\_At)**

	Correlação intraclasse <sup>b</sup>	Intervalo de Confiança 95%		Teste F com Valor Real 0			
		Limite inferior	Limite superior	Valor	df1	df2	Sig
Medidas únicas	<b>,996<sup>a</sup></b>	,993	,998	535,786	39	39	,000
Medidas médias	,998 <sup>c</sup>	,996	,999	535,786	39	39	,000

Modelo de efeitos mistos bidirecional em que os efeitos das pessoas são aleatórios e os das medidas são fixos.

- O estimador é o mesmo, esteja o efeito de interação presente ou não.
- Os coeficientes de correlação intraclasse tipo A que usam uma definição de concordância absoluta.
- Essa estimativa é calculada considerando que o efeito de interação esteja ausente, porque ele não pode ser estimado de outra forma.

**Coefficiente de correlação intraclasse (Sagital\_Ap)**

	Correlação intraclasse <sup>b</sup>	Intervalo de Confiança 95%		Teste F com Valor Real 0			
		Limite inferior	Limite superior	Valor	df1	df2	Sig
Medidas únicas	<b>,981<sup>a</sup></b>	,964	,990	114,765	39	39	,000
Medidas médias	,991 <sup>c</sup>	,981	,995	114,765	39	39	,000

Modelo de efeitos mistos bidirecional em que os efeitos das pessoas são aleatórios e os das medidas são fixos.

- O estimador é o mesmo, esteja o efeito de interação presente ou não.
- Os coeficientes de correlação intraclasse tipo A que usam uma definição de concordância absoluta.
- Essa estimativa é calculada considerando que o efeito de interação esteja ausente, porque ele não pode ser estimado de outra forma.

**Coefficiente de correlação intraclasse (Sagital\_Aind)**

	Correlação intraclasse <sup>b</sup>	Intervalo de Confiança 95%		Teste F com Valor Real 0			
		Limite inferior	Limite superior	Valor	df1	df2	Sig
Medidas únicas	<b>,947<sup>a</sup></b>	,900	,972	38,586	39	39	,000
Medidas médias	,973 <sup>c</sup>	,947	,986	38,586	39	39	,000

Modelo de efeitos mistos bidirecional em que os efeitos das pessoas são aleatórios e os das medidas são fixos.

- O estimador é o mesmo, esteja o efeito de interação presente ou não.
- Os coeficientes de correlação intraclasse tipo A que usam uma definição de concordância absoluta.
- Essa estimativa é calculada considerando que o efeito de interação esteja ausente, porque ele não pode ser estimado de outra forma.

**Coefficiente de correlação intraclasse (Sagital\_Bt)**

	Correlação intraclasse <sup>b</sup>	Intervalo de Confiança 95%		Teste F com Valor Real 0			
		Limite inferior	Limite superior	Valor	df1	df2	Sig
Medidas únicas	<b>,996<sup>a</sup></b>	,992	,998	504,792	39	39	,000
Medidas médias	,998 <sup>c</sup>	,996	,999	504,792	39	39	,000

Modelo de efeitos mistos bidirecional em que os efeitos das pessoas são aleatórios e os das medidas são fixos.

- O estimador é o mesmo, esteja o efeito de interação presente ou não.
- Os coeficientes de correlação intraclasse tipo A que usam uma definição de concordância absoluta.
- Essa estimativa é calculada considerando que o efeito de interação esteja ausente, porque ele não pode ser estimado de outra forma.

**Coefficiente de correlação intraclasse (Sagital\_Bp)**

	Correlação intraclasse <sup>b</sup>	Intervalo de Confiança 95%		Teste F com Valor Real 0			
		Limite inferior	Limite superior	Valor	df1	df2	Sig
Medidas únicas	<b>,997<sup>a</sup></b>	,995	,999	816,673	39	39	,000
Medidas médias	,999 <sup>c</sup>	,997	,999	816,673	39	39	,000

Modelo de efeitos mistos bidirecional em que os efeitos das pessoas são aleatórios e os das medidas são fixos.

- O estimador é o mesmo, esteja o efeito de interação presente ou não.
- Os coeficientes de correlação intraclasse tipo A que usam uma definição de concordância absoluta.
- Essa estimativa é calculada considerando que o efeito de interação esteja ausente, porque ele não pode ser estimado de outra forma.

Estimativa da Idade pela proporção da área polpa/dente em Tomografia Computorizada de Feixe Cônico (CBCT):  
Aplicação Médico-Legal

**Coefficiente de correlação intraclasse (Sagital\_Bind)**

	Correlação intraclasse <sup>b</sup>	Intervalo de Confiança 95%		Teste F com Valor Real 0			
		Limite inferior	Limite superior	Valor	df1	df2	Sig
Medidas únicas	<b>,995<sup>a</sup></b>	,990	,997	364,321	39	39	,000
Medidas médias	,997 <sup>c</sup>	,995	,999	364,321	39	39	,000

Modelo de efeitos mistos bidirecional em que os efeitos das pessoas são aleatórios e os das medidas são fixos.

- O estimador é o mesmo, esteja o efeito de interação presente ou não.
- Os coeficientes de correlação intraclasse tipo A que usam uma definição de concordância absoluta.
- Essa estimativa é calculada considerando que o efeito de interação esteja ausente, porque ele não pode ser estimado de outra forma.

**Coefficiente de correlação intraclasse (Sagital\_Ct)**

	Correlação intraclasse <sup>b</sup>	Intervalo de Confiança 95%		Teste F com Valor Real 0			
		Limite inferior	Limite superior	Valor	df1	df2	Sig
Medidas únicas	<b>,990<sup>a</sup></b>	,982	,995	207,653	39	39	,000
Medidas médias	,995 <sup>c</sup>	,991	,997	207,653	39	39	,000

Modelo de efeitos mistos bidirecional em que os efeitos das pessoas são aleatórios e os das medidas são fixos.

- O estimador é o mesmo, esteja o efeito de interação presente ou não.
- Os coeficientes de correlação intraclasse tipo A que usam uma definição de concordância absoluta.
- Essa estimativa é calculada considerando que o efeito de interação esteja ausente, porque ele não pode ser estimado de outra forma.

**Coefficiente de correlação intraclasse (Sagital\_Cp)**

	Correlação intraclasse <sup>b</sup>	Intervalo de Confiança 95%		Teste F com Valor Real 0			
		Limite inferior	Limite superior	Valor	df1	df2	Sig
Medidas únicas	<b>,990<sup>a</sup></b>	,982	,995	199,688	39	39	,000
Medidas médias	,995 <sup>c</sup>	,991	,997	199,688	39	39	,000

Modelo de efeitos mistos bidirecional em que os efeitos das pessoas são aleatórios e os das medidas são fixos.

- O estimador é o mesmo, esteja o efeito de interação presente ou não.
- Os coeficientes de correlação intraclasse tipo A que usam uma definição de concordância absoluta.
- Essa estimativa é calculada considerando que o efeito de interação esteja ausente, porque ele não pode ser estimado de outra forma.

**Coefficiente de correlação intraclasse (Sagital\_Cind)**

	Correlação intraclasse <sup>b</sup>	Intervalo de Confiança 95%		Teste F com Valor Real 0			
		Limite inferior	Limite superior	Valor	df1	df2	Sig
Medidas únicas	<b>,980<sup>a</sup></b>	,962	,989	96,842	39	39	,000
Medidas médias	,990 <sup>c</sup>	,981	,995	96,842	39	39	,000

Modelo de efeitos mistos bidirecional em que os efeitos das pessoas são aleatórios e os das medidas são fixos.

- O estimador é o mesmo, esteja o efeito de interação presente ou não.
- Os coeficientes de correlação intraclasse tipo A que usam uma definição de concordância absoluta.
- Essa estimativa é calculada considerando que o efeito de interação esteja ausente, porque ele não pode ser estimado de outra forma.

Estimativa da Idade pela proporção da área polpa/dente em Tomografia Computorizada de Feixe Cônico (CBCT):  
Aplicação Médico-Legal

**Coefficiente de correlação intraclasse (Sagital\_M)**

	Correlação intraclasse <sup>b</sup>	Intervalo de Confiança 95%		Teste F com Valor Real 0			
		Limite inferior	Limite superior	Valor	df1	df2	Sig
Medidas únicas	<b>,969<sup>a</sup></b>	,915	,986	84,590	39	39	,000
Medidas médias	,984 <sup>c</sup>	,956	,993	84,590	39	39	,000

Modelo de efeitos mistos bidirecional em que os efeitos das pessoas são aleatórios e os das medidas são fixos.

- O estimador é o mesmo, esteja o efeito de interação presente ou não.
- Os coeficientes de correlação intraclasse tipo A que usam uma definição de concordância absoluta.
- Essa estimativa é calculada considerando que o efeito de interação esteja ausente, porque ele não pode ser estimado de outra forma.

**Coefficiente de correlação intraclasse (Sagital\_W)**

	Correlação intraclasse <sup>b</sup>	Intervalo de Confiança 95%		Teste F com Valor Real 0			
		Limite inferior	Limite superior	Valor	df1	df2	Sig
Medidas únicas	<b>,993<sup>a</sup></b>	,987	,996	275,071	39	39	,000
Medidas médias	,996 <sup>c</sup>	,993	,998	275,071	39	39	,000

Modelo de efeitos mistos bidirecional em que os efeitos das pessoas são aleatórios e os das medidas são fixos.

- O estimador é o mesmo, esteja o efeito de interação presente ou não.
- Os coeficientes de correlação intraclasse tipo A que usam uma definição de concordância absoluta.
- Essa estimativa é calculada considerando que o efeito de interação esteja ausente, porque ele não pode ser estimado de outra forma.

**Coefficiente de correlação intraclasse (Sagital\_L)**

	Correlação intraclasse <sup>b</sup>	Intervalo de Confiança 95%		Teste F com Valor Real 0			
		Limite inferior	Limite superior	Valor	df1	df2	Sig
Medidas únicas	<b>,969<sup>a</sup></b>	,924	,986	79,887	39	39	,000
Medidas médias	,984 <sup>c</sup>	,960	,993	79,887	39	39	,000

Modelo de efeitos mistos bidirecional em que os efeitos das pessoas são aleatórios e os das medidas são fixos.

- O estimador é o mesmo, esteja o efeito de interação presente ou não.
- Os coeficientes de correlação intraclasse tipo A que usam uma definição de concordância absoluta.
- Essa estimativa é calculada considerando que o efeito de interação esteja ausente, porque ele não pode ser estimado de outra forma.

**Coefficiente de correlação intraclasse (Sagital\_Dif)**

	Correlação intraclasse <sup>b</sup>	Intervalo de Confiança 95%		Teste F com Valor Real 0			
		Limite inferior	Limite superior	Valor	df1	df2	Sig
Medidas únicas	<b>,975<sup>a</sup></b>	,941	,988	99,131	39	39	,000
Medidas médias	,988 <sup>c</sup>	,970	,994	99,131	39	39	,000

Modelo de efeitos mistos bidirecional em que os efeitos das pessoas são aleatórios e os das medidas são fixos.

- O estimador é o mesmo, esteja o efeito de interação presente ou não.
- Os coeficientes de correlação intraclasse tipo A que usam uma definição de concordância absoluta.
- Essa estimativa é calculada considerando que o efeito de interação esteja ausente, porque ele não pode ser estimado de outra forma.

## II – Estimativa de idade, pela fórmula de Kvaal

**Erros de Estimativa**

		Erro de Estimativa (Coronal)	Erro de Estimativa (Sagital)	Erro de Estimativa em termos absolutos (Coronal)	Erro de Estimativa em termos absolutos (Sagital)	Diferenças entre Estimativas (estimativa coronal menos sagital)
N	Válido	267	267	267	267	267
	Omisso	135	135	135	135	135
Média		-21,3554	-26,2814	22,6413	26,6068	4,9260
Mediana		-21,0665	-24,8221	21,1180	24,8221	2,9399
Erro Desvio		16,51447	17,01806	14,69491	16,50270	13,85202
Mínimo		-74,75	-75,38	,05	,16	-24,55
Máximo		24,15	15,69	74,75	75,38	42,86

**Estatísticas (C=2)**

		Erro de estimativa (Coronal)	Erro de estimativa em termos absolutos (Coronal)
N	Válido	166	166
	Omisso	89	89
Média		-23,5346	23,6317
Mediana		-22,6346	22,6346
Erro Desvio		15,26215	15,11040
Mínimo		-72,32	,05
Máximo		5,42	72,32

**Estatísticas (S=2)**

		Estimativa da idade (Sagital)	Erro de Estimativa em termos absolutos (Sagital)
N	Válido	180	180
	Omisso	93	93
Média		18,8015	27,8887
Mediana		20,1156	26,4443
Erro Desvio		12,48077	16,14030
Mínimo		-31,73	,16
Máximo		58,49	68,67

**Diferenças entre estimativas (estimativa C menos S, grupo 2)**

N	Válido	135
	Omisso	71
Média		2,7762
Mediana		2,2707
Erro Desvio		12,56581
Mínimo		-24,55
Máximo		39,12

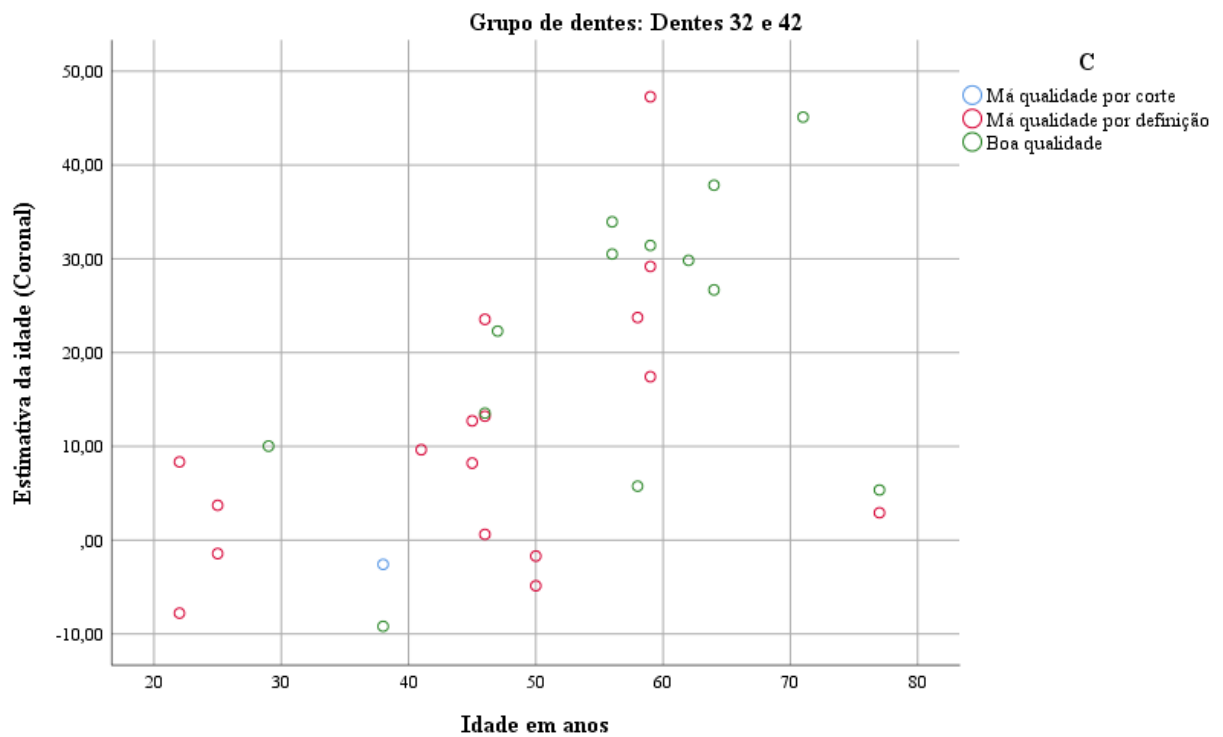
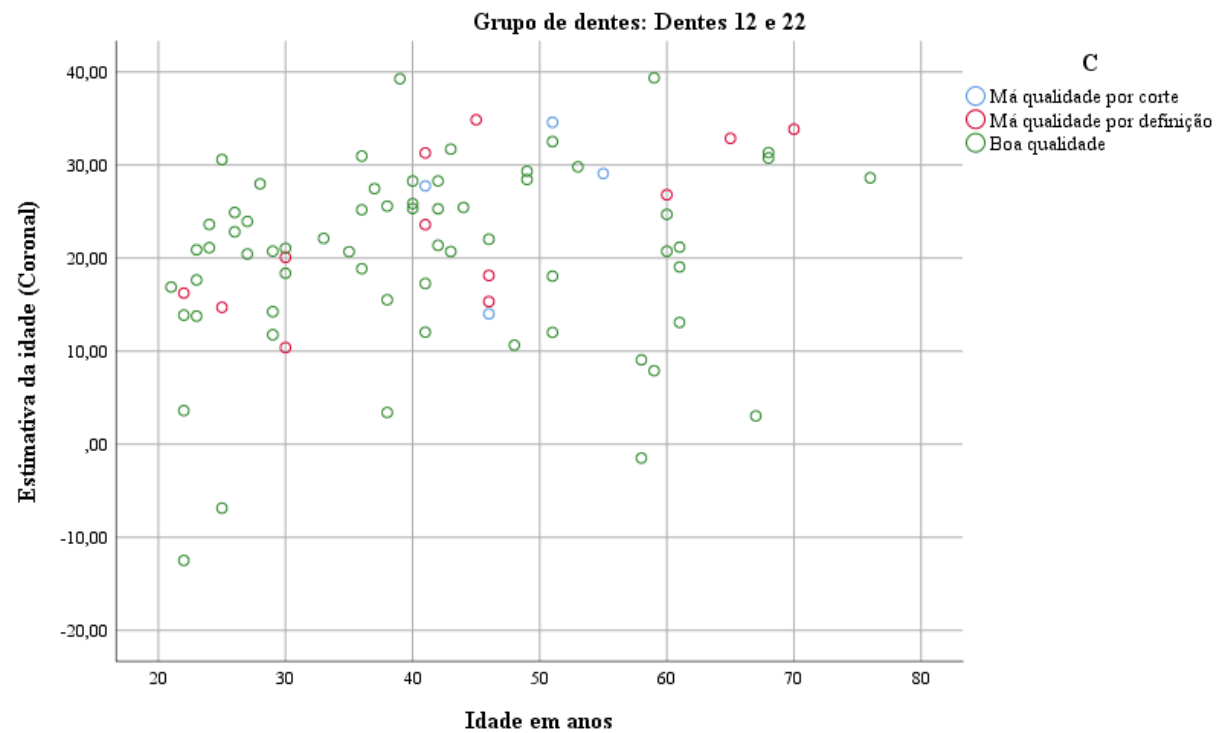
Estimativa da Idade pela proporção da área polpa/dente em Tomografia Computorizada de Feixe Cônico (CBCT):  
Aplicação Médico-Legal

Estatísticas					
C			Erro de estimativa (Coronal)	Erro de estimativa em termos absolutos (Coronal)	
Má qualidade por corte	N	Válido	18	18	
		Omisso	17	17	
	Média		-13,6526	17,3643	
	Mediana		-17,8563	17,8563	
	Erro Desvio		15,02715	10,19403	
	Mínimo		-41,42	2,31	
	Máximo		14,27	41,42	
Má qualidade por definição	N	Válido	83	83	
		Omisso	29	29	
	Média		-18,6673	21,8047	
	Mediana		-18,8683	20,1962	
	Erro Desvio		18,41813	14,51569	
	Mínimo		-74,75	,63	
	Máximo		24,15	74,75	
Boa qualidade	N	Válido	166	166	
		Omisso	89	89	
	Média		-23,5346	23,6317	
	Mediana		-22,6346	22,6346	
	Erro Desvio		15,26215	15,11040	
	Mínimo		-72,32	,05	
	Máximo		5,42	72,32	

Estimativa da Idade pela proporção da área polpa/dente em Tomografia Computorizada de Feixe Cônico (CBCT):  
Aplicação Médico-Legal

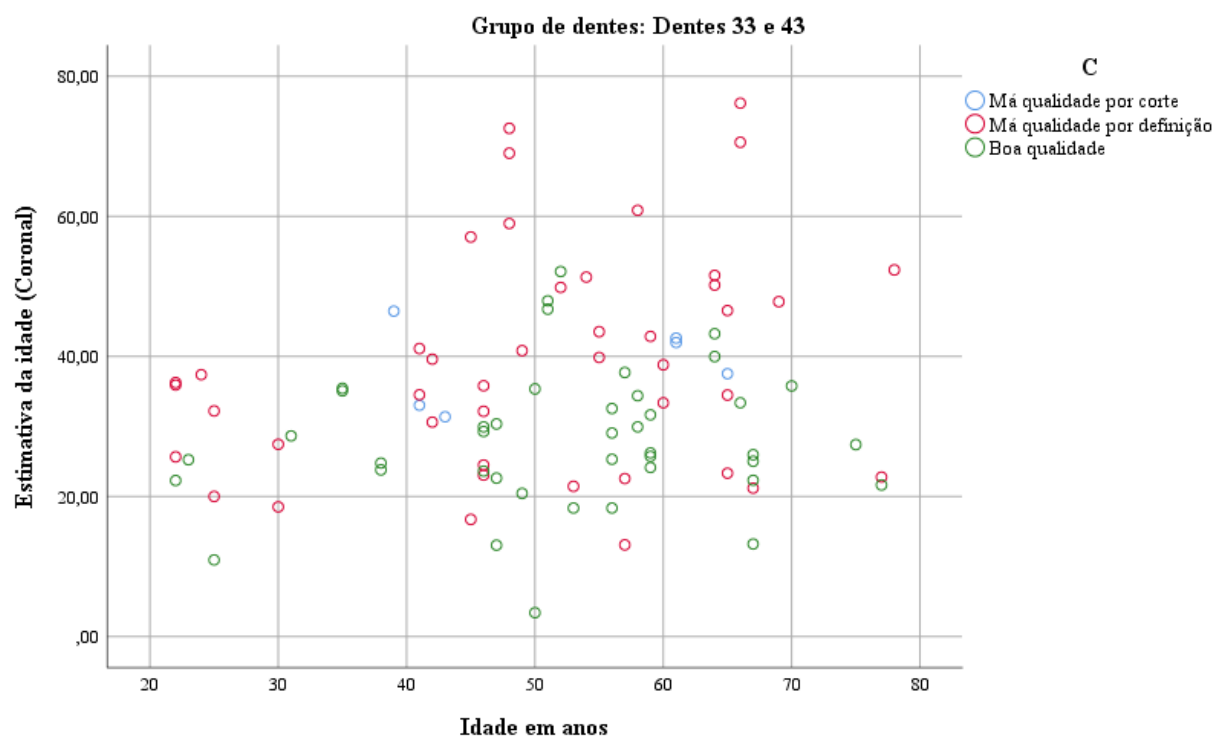
<b>Estatísticas</b>					
S			Erro de Estimativa (Sagital)	Erro de Estimativa em termos absolutos (Sagital)	
Má qualidade por corte	N	Válido	32	<b>32</b>	
		Omisso	25	25	
	Média		-24,3185	<b>24,9562</b>	
	Mediana		-19,3599	19,3599	
	Erro Desvio		22,36912	<b>21,63190</b>	
	Mínimo		-75,38	<b>,66</b>	
	Máximo		7,54	<b>75,38</b>	
Má qualidade por definição	N	Válido	55	<b>55</b>	
		Omisso	17	17	
	Média		-22,5251	<b>23,3719</b>	
	Mediana		-22,8370	22,8370	
	Erro Desvio		15,20471	<b>13,84193</b>	
	Mínimo		-62,88	<b>,50</b>	
	Máximo		15,69	<b>62,88</b>	
Boa qualidade	N	Válido	180	<b>180</b>	
		Omisso	93	93	
	Média		-27,7781	<b>27,8887</b>	
	Mediana		-26,4443	26,4443	
	Erro Desvio		16,33095	<b>16,14030</b>	
	Mínimo		-68,67	<b>,16</b>	
	Máximo		6,54	<b>68,67</b>	

Estimativa da Idade pela proporção da área polpa/dente em Tomografia Computorizada de Feixe Cônico (CBCT):  
Aplicação Médico-Legal





Estimativa da Idade pela proporção da área polpa/dente em Tomografia Computorizada de Feixe Cônico (CBCT):  
Aplicação Médico-Legal



### III – Teste estatístico de amostras emparelhadas

#### Estatísticas de amostras emparelhadas

Grupo de dentes			Média	N	Erro Desvio	Erro padrão da média
Dentes 11 e 21	Par 1	Estimativa da idade (Coronal)	23,9769	65	9,47073	1,17470
		Idade em anos	43,72	65	13,556	1,681
	Par 2	Estimativa da idade (Sagital)	26,0408	65	9,16204	1,13641
		Idade em anos	43,72	65	13,556	1,681
	Par 3	Estimativa da idade (Coronal)	23,9769	65	9,47073	1,17470
		Estimativa da idade (Sagital)	26,0408	65	9,16204	1,13641
Dentes 12 e 22	Par 1	Estimativa da idade (Coronal)	20,9290	79	9,77699	1,10000
		Idade em anos	41,61	79	14,152	1,592
	Par 2	Estimativa da idade (Sagital)	22,2039	79	10,46895	1,17785
		Idade em anos	41,61	79	14,152	1,592
	Par 3	Estimativa da idade (Coronal)	20,9290	79	9,77699	1,10000
		Estimativa da idade (Sagital)	22,2039	79	10,46895	1,17785
Dentes 33 e 43	Par 1	Estimativa da idade (Coronal)	34,1273	92	13,98559	1,45810
		Idade em anos	51,17	92	14,018	1,461
	Par 2	Estimativa da idade (Sagital)	19,5283	92	16,77646	1,74907
		Idade em anos	51,17	92	14,018	1,461
	Par 3	Estimativa da idade (Coronal)	34,1273	92	13,98559	1,45810
		Estimativa da idade (Sagital)	19,5283	92	16,77646	1,74907

**Correlações de amostras emparelhadas**

Grupo de dentes			N	Correlação	Sig.
Dentes 11 e 21	Par 1	Estimativa da idade (Coronal) & Idade em anos	65	<b>,338</b>	<b>,006</b>
	Par 2	Estimativa da idade (Sagital) & Idade em anos	65	<b>,611</b>	<b>,000</b>
	Par 3	Estimativa da idade (Coronal) & Estimativa da idade (Sagital)	65	<b>,608</b>	<b>,000</b>
Dentes 12 e 22	Par 1	Estimativa da idade (Coronal) & Idade em anos	79	<b>,259</b>	<b>,021</b>
	Par 2	Estimativa da idade (Sagital) & Idade em anos	79	<b>,491</b>	<b>,000</b>
	Par 3	Estimativa da idade (Coronal) & Estimativa da idade (Sagital)	79	<b>,475</b>	<b>,000</b>
Dentes 33 e 43	Par 1	Estimativa da idade (Coronal) & Idade em anos	92	<b>,175</b>	<b>,095</b>
	Par 2	Estimativa da idade (Sagital) & Idade em anos	92	<b>,303</b>	<b>,003</b>
	Par 3	Estimativa da idade (Coronal) & Estimativa da idade (Sagital)	92	<b>,672</b>	<b>,000</b>

Estimativa da Idade pela proporção da área polpa/dente em Tomografia Computorizada de Feixe Cônico (CBCT):  
Aplicação Médico-Legal

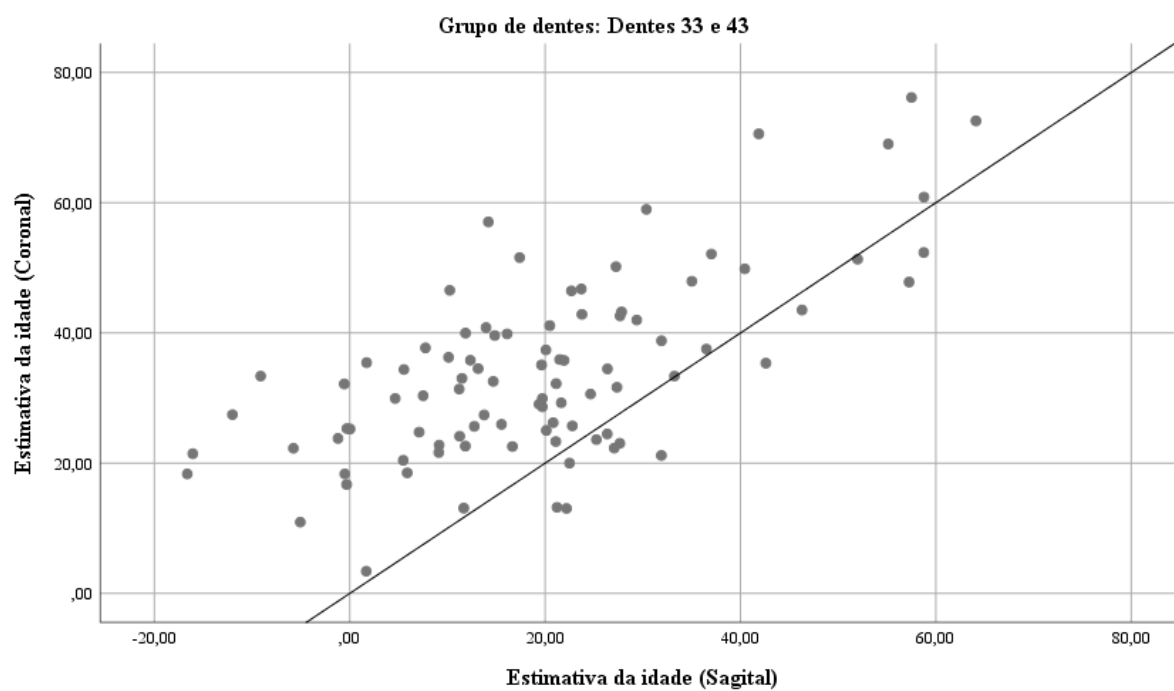
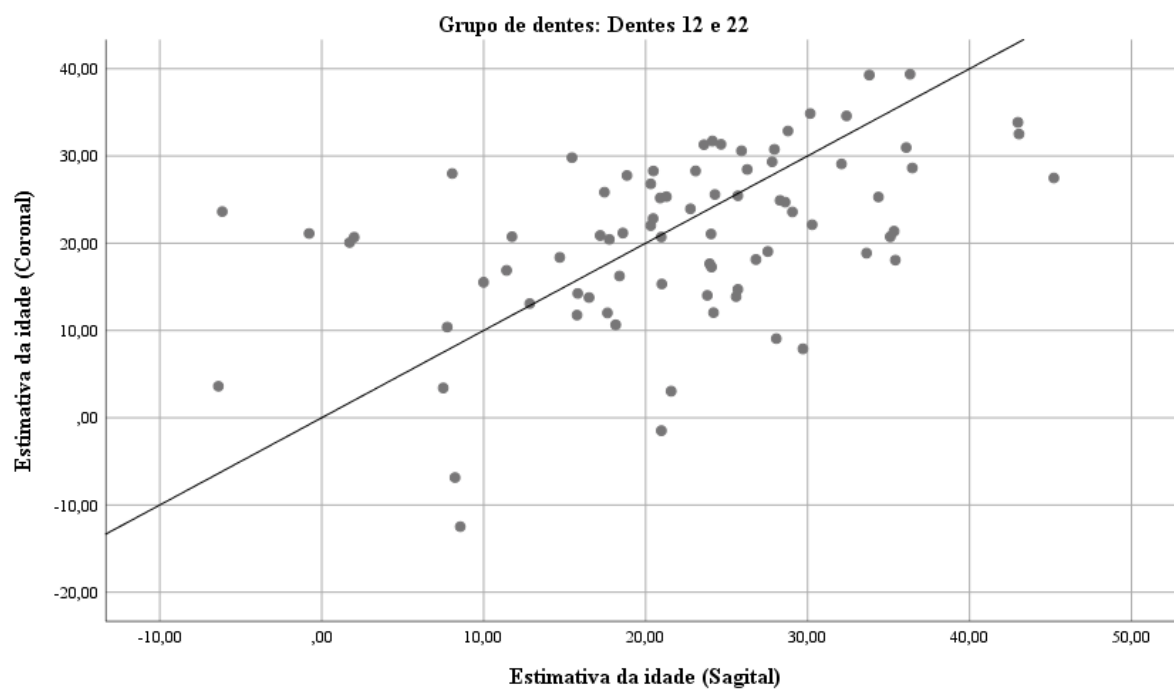
**Teste de amostras emparelhadas**

Grupo de dentes			Diferenças emparelhadas					t	df	Sig. (2 extremidades)
			Média	Erro Desvio	Erro padrão da média	95% Intervalo de Confiança da Diferença				
						Inferior	Superior			
Dentes 11 e 21	Par 1	Estimativa da idade (Coronal) - Idade em anos	-19,74618	13,66543	1,69499	-23,13231	-16,36006	-11,650	64	,000
	Par 2	Estimativa da idade (Sagital) - Idade em anos	-17,68232	10,76489	1,33522	-20,34973	-15,01491	-13,243	64	,000
	Par 3	Estimativa da idade (Coronal) - Estimativa da idade (Sagital)	-2,06386	8,25704	1,02416	-4,10986	-,01787	-2,015	64	,048
Dentes 12 e 22	Par 1	Estimativa da idade (Coronal) - Idade em anos	-20,67855	14,97722	1,68507	-24,03326	-17,32383	-12,272	78	,000
	Par 2	Estimativa da idade (Sagital) - Idade em anos	-19,40366	12,82457	1,44288	-22,27620	-16,53111	-13,448	78	,000
	Par 3	Estimativa da idade (Coronal) - Estimativa da idade (Sagital)	-1,27489	10,39041	1,16901	-3,60221	1,05244	-1,091	78	,279
Dentes 33 e 43	Par 1	Estimativa da idade (Coronal) - Idade em anos	-17,04664	17,98631	1,87520	-20,77150	-13,32178	-9,091	91	,000
	Par 2	Estimativa da idade (Sagital) - Idade em anos	-31,64561	18,31949	1,90994	-35,43947	-27,85175	-16,569	91	,000
	Par 3	Estimativa da idade (Coronal) - Estimativa da idade (Sagital)	14,59897	12,72003	1,32615	11,96473	17,23322	11,008	91	,000

Estimativa da Idade pela proporção da área polpa/dente em Tomografia Computorizada de Feixe Cônico (CBCT):  
Aplicação Médico-Legal

			Estatísticas					
Grupo de dentes			Erro de estimativa (Coronal)	Erro de estimativa em termos absolutos (Coronal)	Erro de estimativa (Sagital)	Erro de estimativa em termos absolutos (Sagital)	Diferenças entre estimativas (estimativa coronal menos sagital)	Diferenças, em termos absolutos, entre estimativas (estimativa coronal menos sagital)
Dentes 11 e 21	N	Válido	65	65	65	65	65	65
		Omisso	0	0	0	0	0	0
	Média		-20,3000	21,1352	-18,2362	18,4373	-2,0639	6,3304
	Erro Desvio		13,66829	12,31564	10,76794	10,41429	8,25704	5,63957
	Intervalo		66,06	51,47	49,60	42,91	37,85	24,46
	Mínimo		-51,79	,31	-43,07	,16	-24,55	,09
	Máximo		14,27	51,79	6,54	43,07	13,30	24,55
	Percentis	25	-30,0196	12,4662	-25,4704	9,2553	-5,8028	1,7265
		50	-21,0665	21,0665	-19,6382	19,6382	-,9851	4,8788
		75	-12,1752	30,0196	-9,2553	25,4704	3,2181	8,6994
Dentes 12 e 22	N	Válido	79	79	79	79	79	79
		Omisso	0	0	0	0	0	0
	Média		-21,2260	21,3634	-19,9511	20,3136	-1,2749	8,1810
	Erro Desvio		14,95040	14,75095	12,85306	12,26461	10,39041	6,46679
	Intervalo		69,46	63,52	56,61	48,46	52,22	29,52
	Mínimo		-64,04	,52	-49,07	,62	-22,45	,24
	Máximo		5,42	64,04	7,54	49,07	29,76	29,76
	Percentis	25	-32,5523	10,2862	-29,2975	9,9942	-8,4975	3,0404
		50	-18,1610	18,1610	-19,3764	19,3764	-,2531	6,3019
		75	-10,2862	32,5523	-9,9942	29,2975	4,6977	10,9818
Dentes 33 e 43	N	Válido	92	92	92	92	92	92
		Omisso	0	0	0	0	0	0
	Média		-17,5557	20,5796	-32,1547	32,6458	14,5990	16,1156
	Erro Desvio		17,92583	14,30918	18,29709	17,39570	12,72003	10,71005
	Intervalo		80,17	55,98	91,06	74,68	53,58	42,73
	Mínimo		-56,02	,05	-75,38	,70	-10,72	,14
	Máximo		24,15	56,02	15,69	75,38	42,86	42,86
	Percentis	25	-30,1960	9,4426	-45,0837	18,7438	5,5171	7,7182
		50	-17,0620	18,9607	-32,3029	32,3029	14,1553	14,1553
		75	-3,3214	30,1960	-18,7438	45,0837	23,7671	23,7671

Estimativa da Idade pela proporção da área polpa/dente em Tomografia Computorizada de Feixe Cônico (CBCT):  
Aplicação Médico-Legal



**Teste de Kolmogorov-Smirnov de uma amostra**

Grupo de dentes			Estimativa da idade (Coronal)	Estimativa da idade (Sagital)	Diferenças entre estimativas (estimativa coronal menos sagital)
Dentes 11 e 21	N		65	65	65
	Parâmetros normais <sup>a,b</sup>	Média	23,9769	26,0408	-2,0639
		Desvio Padrão	9,47073	9,16204	8,25704
	Diferenças Mais Extremas	Absoluto	,068	,075	,108
		Positivo	,068	,075	,050
		Negativo	-,057	-,069	-,108
	Estatística do teste		,068	,075	,108
	Significância Sig. (bilateral)		,200 <sup>c,d</sup>	,200 <sup>c,d</sup>	,056 <sup>c</sup>
Dentes 12 e 22	N		79	79	79
	Parâmetros normais <sup>a,b</sup>	Média	20,9290	22,2039	-1,2749
		Desvio Padrão	9,77699	10,46895	10,39041
	Diferenças Mais Extremas	Absoluto	,088	,087	,074
		Positivo	,052	,049	,073
		Negativo	-,088	-,087	-,074
	Estatística do teste		,088	,087	,074
	Significância Sig. (bilateral)		,200 <sup>c,d</sup>	,200 <sup>c,d</sup>	,200 <sup>c,d</sup>
Dentes 33 e 43	N		92	92	92
	Parâmetros normais <sup>a,b</sup>	Média	34,1273	19,5283	14,5990
		Desvio Padrão	13,98559	16,77646	12,72003
	Diferenças Mais Extremas	Absoluto	,092	,104	,046
		Positivo	,092	,104	,041
		Negativo	-,064	-,050	-,046
	Estatística do teste		,092	,104	,046
	Significância Sig. (bilateral)		,055 <sup>c</sup>	,016 <sup>c</sup>	,200 <sup>c,d</sup>

**a. A distribuição do teste é Normal.**

b. Calculado dos dados.

c. Correção de Significância de Lilliefors.

d. Este é um limite inferior da significância verdadeira.

#### IV – Correlação de Pearson

		Correlações										
		Idade	C_RP	C_RT	C_RR	C_Aind	C_Bind	C_Cind	C_M	C_W	C_L	C_Dif
Idade	Correlação de Pearson	1	-,182**	,031	-,191**	-,225**	-,188**	-,156**	<b>-,321**</b>	-,194**	-,189**	<b>,080</b>
	Sig. (2 extremidades)		,000	,532	,000	,000	,000	,002	<b>,000</b>	,000	,000	<b>,107</b>
	N	402	402	402	402	402	402	402	402	402	402	402
C_RP	Correlação de Pearson	-,182**	1	,218**	,921**	-,023	-,215**	-,160**	,789**	-,212**	,987**	-,907**
	Sig. (2 extremidades)	,000		,000	,000	,648	,000	,001	,000	,000	,000	,000
	N	402	402	402	402	402	402	402	402	402	402	402
C_RT	Correlação de Pearson	,031	,218**	1	-,175**	,248**	,031	,004	,140**	,020	,063	-,044
	Sig. (2 extremidades)	,532	,000		,000	,000	,535	,943	,005	,689	,209	,375
	N	402	402	402	402	402	402	402	402	402	402	402
C_RR	Correlação de Pearson	-,191**	,921**	-,175**	1	-,127*	-,234**	-,168**	,736**	-,228**	,971**	-,900**
	Sig. (2 extremidades)	,000	,000	,000		,011	,000	,001	,000	,000	,000	,000
	N	402	402	402	402	402	402	402	402	402	402	402
C_Aind	Correlação de Pearson	-,225**	-,023	,248**	-,127*	1	,516**	,336**	,451**	,482**	-,065	,246**
	Sig. (2 extremidades)	,000	,648	,000	,011		,000	,000	,000	,000	,191	,000
	N	402	402	402	402	402	402	402	402	402	402	402
C_Bind	Correlação de Pearson	-,188**	-,215**	,031	-,234**	,516**	1	,583**	,337**	,898**	-,227**	,546**
	Sig. (2 extremidades)	,000	,000	,535	,000	,000		,000	,000	,000	,000	,000
	N	402	402	402	402	402	402	402	402	402	402	402
C_Cind	Correlação de Pearson	-,156**	-,160**	,004	-,168**	,336**	,583**	1	,329**	,881**	-,166**	,489**
	Sig. (2 extremidades)	,002	,001	,943	,001	,000	,000		,000	,000	,001	,000
	N	402	402	402	402	402	402	402	402	402	402	402
C_M	Correlação de Pearson	-,321**	,789**	,140**	,736**	,451**	,337**	,329**	1	,375**	,783**	-,503**
	Sig. (2 extremidades)	,000	,000	,005	,000	,000	,000	,000		,000	,000	,000
	N	402	402	402	402	402	402	402	402	402	402	402
C_W	Correlação de Pearson	-,194**	-,212**	,020	-,228**	,482**	,898**	,881**	,375**	1	-,222**	,583**
	Sig. (2 extremidades)	,000	,000	,689	,000	,000	,000	,000	,000		,000	,000
	N	402	402	402	402	402	402	402	402	402	402	402
C_L	Correlação de Pearson	-,189**	,987**	,063	,971**	-,065	-,227**	-,166**	,783**	-,222**	1	-,922**
	Sig. (2 extremidades)	,000	,000	,209	,000	,191	,000	,001	,000	,000		,000
	N	402	402	402	402	402	402	402	402	402	402	402
C_Dif	Correlação de Pearson	,080	-,907**	-,044	-,900**	,246**	,546**	,489**	-,503**	,583**	-,922**	1
	Sig. (2 extremidades)	,107	,000	,375	,000	,000	,000	,000	,000	,000	,000	
	N	402	402	402	402	402	402	402	402	402	402	402

\*\*. A correlação é significativa no nível 0,01 (2 extremidades).

\*. A correlação é significativa no nível 0,05 (2 extremidades).



Estimativa da Idade pela proporção da área polpa/dente em Tomografia Computorizada de Feixe Cônico (CBCT):  
Aplicação Médico-Legal

**Correlações para os Dentes 11 e 21**

		Idade	C_RP	C_RT	C_RR	C_Aind	C_Bind	C_Cind	C_M	C_W	C_L	C_Dif
Idade	Correlação de Pearson	1	-,335**	,052	-,343**	-,110	-,236	-,063	-,381**	-,181	-,348**	,222
	Sig. (2 extremidades)		,006	,680	,005	,384	,059	,620	,002	,150	,005	,076
	N	65	65	65	65	65	65	65	65	65	65	65
C_RP	Correlação de Pearson	-,335**	1	,214	,878**	,043	,069	-,077	,786**	,002	,981**	-,871**
	Sig. (2 extremidades)	,006		,086	,000	,734	,583	,543	,000	,984	,000	,000
	N	65	65	65	65	65	65	65	65	65	65	65
C_RT	Correlação de Pearson	,052	,214	1	-,277*	-,022	-,136	-,102	-,049	-,140	,021	-,087
	Sig. (2 extremidades)	,680	,086		,026	,863	,279	,417	,699	,267	,865	,492
	N	65	65	65	65	65	65	65	65	65	65	65
C_RR	Correlação de Pearson	-,343**	,878**	-,277*	1	,044	,128	-,025	,793**	,067	,954**	-,816**
	Sig. (2 extremidades)	,005	,000	,026		,728	,309	,843	,000	,598	,000	,000
	N	65	65	65	65	65	65	65	65	65	65	65
C_Aind	Correlação de Pearson	-,110	,043	-,022	,044	1	,424**	,211	,461**	,377**	,045	,143
	Sig. (2 extremidades)	,384	,734	,863	,728		,000	,092	,000	,002	,724	,256
	N	65	65	65	65	65	65	65	65	65	65	65
C_Bind	Correlação de Pearson	-,236	,069	-,136	,128	,424**	1	,491**	,568**	,886**	,095	,344**
	Sig. (2 extremidades)	,059	,583	,279	,309	,000		,000	,000	,000	,450	,005
	N	65	65	65	65	65	65	65	65	65	65	65
C_Cind	Correlação de Pearson	-,063	-,077	-,102	-,025	,211	,491**	1	,370**	,839**	-,058	,458**
	Sig. (2 extremidades)	,620	,543	,417	,843	,092	,000		,002	,000	,645	,000
	N	65	65	65	65	65	65	65	65	65	65	65
C_M	Correlação de Pearson	-,381**	,786**	-,049	,793**	,461**	,568**	,370**	1	,552**	,813**	-,455**
	Sig. (2 extremidades)	,002	,000	,699	,000	,000	,000	,002		,000	,000	,000
	N	65	65	65	65	65	65	65	65	65	65	65
C_W	Correlação de Pearson	-,181	,002	-,140	,067	,377**	,886**	,839**	,552**	1	,029	,459**
	Sig. (2 extremidades)	,150	,984	,267	,598	,002	,000	,000	,000		,821	,000
	N	65	65	65	65	65	65	65	65	65	65	65
C_L	Correlação de Pearson	-,348**	,981**	,021	,954**	,045	,095	-,058	,813**	,029	1	-,875**
	Sig. (2 extremidades)	,005	,000	,865	,000	,724	,450	,645	,000	,821		,000
	N	65	65	65	65	65	65	65	65	65	65	65
C_Dif	Correlação de Pearson	,222	-,871**	-,087	-,816**	,143	,344**	,458**	-,455**	,459**	-,875**	1
	Sig. (2 extremidades)	,076	,000	,492	,000	,256	,005	,000	,000	,000	,000	
	N	65	65	65	65	65	65	65	65	65	65	65

\*\* . A correlação é significativa no nível 0,01 (2 extremidades).

\* . A correlação é significativa no nível 0,05 (2 extremidades).

Estimativa da Idade pela proporção da área polpa/dente em Tomografia Computorizada de Feixe Cônico (CBCT):  
Aplicação Médico-Legal

**Correlações para os Dentes 31 e 41**

		Idade	C_RP	C_RT	C_RR	C_Aind	C_Bind	C_Cind	C_M	C_W	C_L	C_Dif
Idade	Correlação de Pearson	1	,351	,374	,301	-,680*	-,703*	-,805**	<b>-,061</b>	-,803**	,333	<b>-,554</b>
	Sig. (2 extremidades)		,319	,287	,399	,030	,023	,005	<b>,868</b>	,005	,347	<b>,097</b>
	N	10	10	10	10	10	10	10	10	10	10	10
C_RP	Correlação de Pearson	,351	1	,452	,985**	-,493	-,206	,078	,881**	-,092	,998**	-,956**
	Sig. (2 extremidades)	,319		,190	,000	,148	,569	,831	,001	,801	,000	,000
	N	10	10	10	10	10	10	10	10	10	10	10
C_RT	Correlação de Pearson	,374	,452	1	,293	-,326	-,436	-,018	,242	-,278	,393	-,450
	Sig. (2 extremidades)	,287	,190		,411	,359	,208	,960	,501	,436	,261	,192
	N	10	10	10	10	10	10	10	10	10	10	10
C_RR	Correlação de Pearson	,301	,985**	,293	1	-,465	-,147	,090	,896**	-,050	,994**	-,940**
	Sig. (2 extremidades)	,399	,000	,411		,176	,684	,804	,000	,890	,000	,000
	N	10	10	10	10	10	10	10	10	10	10	10
C_Aind	Correlação de Pearson	-,680*	-,493	-,326	-,465	1	,545	,555	-,099	,591	-,484	,629
	Sig. (2 extremidades)	,030	,148	,359	,176		,104	,096	,785	,072	,156	,051
	N	10	10	10	10	10	10	10	10	10	10	10
C_Bind	Correlação de Pearson	-,703*	-,206	-,436	-,147	,545	1	,721*	,233	,949**	-,184	,459
	Sig. (2 extremidades)	,023	,569	,208	,684	,104		,019	,518	,000	,611	,182
	N	10	10	10	10	10	10	10	10	10	10	10
C_Cind	Correlação de Pearson	-,805**	,078	-,018	,090	,555	,721*	1	,489	,903**	,083	,197
	Sig. (2 extremidades)	,005	,831	,960	,804	,096	,019		,151	,000	,820	,586
	N	10	10	10	10	10	10	10	10	10	10	10
C_M	Correlação de Pearson	-,061	,881**	,242	,896**	-,099	,233	,489	1	,367	,890**	-,716*
	Sig. (2 extremidades)	,868	,001	,501	,000	,785	,518	,151		,296	,001	,020
	N	10	10	10	10	10	10	10	10	10	10	10
C_W	Correlação de Pearson	-,803**	-,092	-,278	-,050	,591	,949**	,903**	,367	1	-,076	,374
	Sig. (2 extremidades)	,005	,801	,436	,890	,072	,000	,000	,296		,834	,287
	N	10	10	10	10	10	10	10	10	10	10	10
C_L	Correlação de Pearson	,333	,998**	,393	,994**	-,484	-,184	,083	,890**	-,076	1	-,953**
	Sig. (2 extremidades)	,347	,000	,261	,000	,156	,611	,820	,001	,834		,000
	N	10	10	10	10	10	10	10	10	10	10	10
C_Dif	Correlação de Pearson	-,554	-,956**	-,450	-,940**	,629	,459	,197	-,716*	,374	-,953**	1
	Sig. (2 extremidades)	,097	,000	,192	,000	,051	,182	,586	,020	,287	,000	
	N	10	10	10	10	10	10	10	10	10	10	10

\*. A correlação é significativa no nível 0,05 (2 extremidades).

\*\*. A correlação é significativa no nível 0,01 (2 extremidades).

Estimativa da Idade pela proporção da área polpa/dente em Tomografia Computorizada de Feixe Cônico (CBCT):  
Aplicação Médico-Legal

**Correlações para os Dentes 12 e 22**

		Idade	C_RP	C_RT	C_RR	C_Aind	C_Bind	C_Cind	C_M	C_W	C_L	C_Dif
Idade	Correlação de Pearson	1	-,247*	,063	-,279*	-,288*	,066	-,171	<b>-,338**</b>	-,063	-,264*	<b>,186</b>
	Sig. (2 extremidades)		,028	,582	,013	,010	,564	,131	<b>,002</b>	,584	,019	<b>,100</b>
	N	79	79	79	79	79	79	79	79	79	79	79
C_RP	Correlação de Pearson	-,247*	1	,271*	,937**	,127	-,208	-,260*	,783**	-,261*	,990**	-,904**
	Sig. (2 extremidades)	,028		,016	,000	,263	,065	,020	,000	,020	,000	,000
	N	79	79	79	79	79	79	79	79	79	79	79
C_RT	Correlação de Pearson	,063	,271*	1	-,079	,153	,094	,011	,186	,057	,135	-,085
	Sig. (2 extremidades)	,582	,016		,487	,177	,410	,921	,101	,618	,235	,455
	N	79	79	79	79	79	79	79	79	79	79	79
C_RR	Correlação de Pearson	-,279*	,937**	-,079	1	,074	-,251*	-,272*	,743**	-,291**	,977**	-,905**
	Sig. (2 extremidades)	,013	,000	,487		,515	,026	,015	,000	,009	,000	,000
	N	79	79	79	79	79	79	79	79	79	79	79
C_Aind	Correlação de Pearson	-,288*	,127	,153	,074	1	,461**	,454**	,599**	,508**	,108	,122
	Sig. (2 extremidades)	,010	,263	,177	,515		,000	,000	,000	,000	,343	,284
	N	79	79	79	79	79	79	79	79	79	79	79
C_Bind	Correlação de Pearson	,066	-,208	,094	-,251*	,461**	1	,622**	,327**	,894**	-,228*	,552**
	Sig. (2 extremidades)	,564	,065	,410	,026	,000		,000	,003	,000	,043	,000
	N	79	79	79	79	79	79	79	79	79	79	79
C_Cind	Correlação de Pearson	-,171	-,260*	,011	-,272*	,454**	,622**	1	,296**	,907**	-,269*	,590**
	Sig. (2 extremidades)	,131	,020	,921	,015	,000	,000		,008	,000	,016	,000
	N	79	79	79	79	79	79	79	79	79	79	79
C_M	Correlação de Pearson	-,338**	,783**	,186	,743**	,599**	,327**	,296**	1	,346**	,779**	-,485**
	Sig. (2 extremidades)	,002	,000	,101	,000	,000	,003	,008		,002	,000	,000
	N	79	79	79	79	79	79	79	79	79	79	79
C_W	Correlação de Pearson	-,063	-,261*	,057	-,291**	,508**	,894**	,907**	,346**	1	-,277*	,634**
	Sig. (2 extremidades)	,584	,020	,618	,009	,000	,000	,000	,002		,013	,000
	N	79	79	79	79	79	79	79	79	79	79	79
C_L	Correlação de Pearson	-,264*	,990**	,135	,977**	,108	-,228*	-,269*	,779**	-,277*	1	-,919**
	Sig. (2 extremidades)	,019	,000	,235	,000	,343	,043	,016	,000	,013		,000
	N	79	79	79	79	79	79	79	79	79	79	79
C_Dif	Correlação de Pearson	,186	-,904**	-,085	-,905**	,122	,552**	,590**	-,485**	,634**	-,919**	1
	Sig. (2 extremidades)	,100	,000	,455	,000	,284	,000	,000	,000	,000	,000	
	N	79	79	79	79	79	79	79	79	79	79	79

\*. A correlação é significativa no nível 0,05 (2 extremidades).

\*\*. A correlação é significativa no nível 0,01 (2 extremidades).

Estimativa da Idade pela proporção da área polpa/dente em Tomografia Computorizada de Feixe Cônico (CBCT):  
Aplicação Médico-Legal

**Correlações para os Dentes 32 e 42**

		Idade	C_RP	C_RT	C_RR	C_Aind	C_Bind	C_Cind	C_M	C_W	C_L	C_Dif
Idade	Correlação de Pearson	1	,163	-,288	,251	-,600**	-,517**	-,320	<b>-,239</b>	-,446*	,206	<b>-,402*</b>
	Sig. (2 extremidades)		,381	,116	,174	,000	,003	,079	<b>,195</b>	,012	,267	<b>,025</b>
	N	31	31	31	31	31	31	31	31	31	31	31
C_RP	Correlação de Pearson	,163	1	-,406*	,944**	-,257	-,129	-,105	,645**	-,124	,989**	-,841**
	Sig. (2 extremidades)	,381		,023	,000	,162	,490	,574	,000	,507	,000	,000
	N	31	31	31	31	31	31	31	31	31	31	31
C_RT	Correlação de Pearson	-,288	-,406*	1	-,678**	,019	,009	-,161	-,460**	-,076	-,537**	,379*
	Sig. (2 extremidades)	,116	,023		,000	,919	,961	,387	,009	,686	,002	,035
	N	31	31	31	31	31	31	31	31	31	31	31
C_RR	Correlação de Pearson	,251	,944**	-,678**	1	-,226	-,128	-,046	,666**	-,094	,983**	-,821**
	Sig. (2 extremidades)	,174	,000	,000		,222	,492	,804	,000	,615	,000	,000
	N	31	31	31	31	31	31	31	31	31	31	31
C_Aind	Correlação de Pearson	-,600**	-,257	,019	-,226	1	,710**	,663**	,464**	,725**	-,247	,585**
	Sig. (2 extremidades)	,000	,162	,919	,222		,000	,000	,009	,000	,181	,001
	N	31	31	31	31	31	31	31	31	31	31	31
C_Bind	Correlação de Pearson	-,517**	-,129	,009	-,128	,710**	1	,800**	,604**	,954**	-,130	,617**
	Sig. (2 extremidades)	,003	,490	,961	,492	,000		,000	,000	,000	,485	,000
	N	31	31	31	31	31	31	31	31	31	31	31
C_Cind	Correlação de Pearson	-,320	-,105	-,161	-,046	,663**	,800**	1	,626**	,943**	-,080	,572**
	Sig. (2 extremidades)	,079	,574	,387	,804	,000	,000		,000	,000	,670	,001
	N	31	31	31	31	31	31	31	31	31	31	31
C_M	Correlação de Pearson	-,239	,645**	-,460**	,666**	,464**	,604**	,626**	1	,648**	,664**	-,170
	Sig. (2 extremidades)	,195	,000	,009	,000	,009	,000	,000		,000	,000	,362
	N	31	31	31	31	31	31	31	31	31	31	31
C_W	Correlação de Pearson	-,446*	-,124	-,076	-,094	,725**	,954**	,943**	,648**	1	-,112	,628**
	Sig. (2 extremidades)	,012	,507	,686	,615	,000	,000	,000	,000		,549	,000
	N	31	31	31	31	31	31	31	31	31	31	31
C_L	Correlação de Pearson	,206	,989**	-,537**	,983**	-,247	-,130	-,080	,664**	-,112	1	-,844**
	Sig. (2 extremidades)	,267	,000	,002	,000	,181	,485	,670	,000	,549		,000
	N	31	31	31	31	31	31	31	31	31	31	31
C_Dif	Correlação de Pearson	-,402*	-,841**	,379*	-,821**	,585**	,617**	,572**	-,170	,628**	-,844**	1
	Sig. (2 extremidades)	,025	,000	,035	,000	,001	,000	,001	,362	,000	,000	
	N	31	31	31	31	31	31	31	31	31	31	31

\*\* . A correlação é significativa no nível 0,01 (2 extremidades).

\* . A correlação é significativa no nível 0,05 (2 extremidades).

Estimativa da Idade pela proporção da área polpa/dente em Tomografia Computorizada de Feixe Cônico (CBCT):  
Aplicação Médico-Legal

**Correlações para os Dentes 13 e 23**

		Idade	C_RP	C_RT	C_RR	C_Aind	C_Bind	C_Cind	C_M	C_W	C_L	C_Dif
Idade	Correlação de Pearson	1	-,226*	-,025	-,222*	-,083	-,244**	-,332**	<b>-,382**</b>	-,329**	-,228*	<b>,058</b>
	Sig. (2 extremidades)		,011	,782	,013	,360	,006	,000	<b>,000</b>	,000	,010	<b>,522</b>
	N	125	125	125	125	125	125	125	125	125	125	125
C_RP	Correlação de Pearson	-,226*	1	,268**	,930**	-,235**	-,169	-,074	,817**	-,142	,989**	-,896**
	Sig. (2 extremidades)	,011		,003	,000	,008	,060	,411	,000	,114	,000	,000
	N	125	125	125	125	125	125	125	125	125	125	125
C_RT	Correlação de Pearson	-,025	,268**	1	-,104	,107	,040	,130	,180*	,095	,122	-,064
	Sig. (2 extremidades)	,782	,003		,248	,234	,657	,149	,045	,291	,177	,480
	N	125	125	125	125	125	125	125	125	125	125	125
C_RR	Correlação de Pearson	-,222*	,930**	-,104	1	-,284**	-,188*	-,126	,775**	-,182*	,974**	-,901**
	Sig. (2 extremidades)	,013	,000	,248		,001	,036	,161	,000	,042	,000	,000
	N	125	125	125	125	125	125	125	125	125	125	125
C_Aind	Correlação de Pearson	-,083	-,235**	,107	-,284**	1	,569**	,361**	,209*	,540**	-,259**	,442**
	Sig. (2 extremidades)	,360	,008	,234	,001		,000	,000	,019	,000	,004	,000
	N	125	125	125	125	125	125	125	125	125	125	125
C_Bind	Correlação de Pearson	-,244**	-,169	,040	-,188*	,569**	1	,513**	,352**	,882**	-,179*	,516**
	Sig. (2 extremidades)	,006	,060	,657	,036	,000		,000	,000	,000	,045	,000
	N	125	125	125	125	125	125	125	125	125	125	125
C_Cind	Correlação de Pearson	-,332**	-,074	,130	-,126	,361**	,513**	1	,375**	,856**	-,096	,435**
	Sig. (2 extremidades)	,000	,411	,149	,161	,000	,000		,000	,000	,285	,000
	N	125	125	125	125	125	125	125	125	125	125	125
C_M	Correlação de Pearson	-,382**	,817**	,180*	,775**	,209*	,352**	,375**	1	,417**	,814**	-,518**
	Sig. (2 extremidades)	,000	,000	,045	,000	,019	,000	,000		,000	,000	,000
	N	125	125	125	125	125	125	125	125	125	125	125
C_W	Correlação de Pearson	-,329**	-,142	,095	-,182*	,540**	,882**	,856**	,417**	1	-,161	,548**
	Sig. (2 extremidades)	,000	,114	,291	,042	,000	,000	,000	,000		,073	,000
	N	125	125	125	125	125	125	125	125	125	125	125
C_L	Correlação de Pearson	-,228*	,989**	,122	,974**	-,259**	-,179*	-,096	,814**	-,161	1	-,913**
	Sig. (2 extremidades)	,010	,000	,177	,000	,004	,045	,285	,000	,073		,000
	N	125	125	125	125	125	125	125	125	125	125	125
C_Dif	Correlação de Pearson	,058	-,896**	-,064	-,901**	,442**	,516**	,435**	-,518**	,548**	-,913**	1
	Sig. (2 extremidades)	,522	,000	,480	,000	,000	,000	,000	,000	,000	,000	
	N	125	125	125	125	125	125	125	125	125	125	125

\*. A correlação é significativa no nível 0,05 (2 extremidades).

\*\*. A correlação é significativa no nível 0,01 (2 extremidades).

Estimativa da Idade pela proporção da área polpa/dente em Tomografia Computorizada de Feixe Cônico (CBCT):  
Aplicação Médico-Legal

**Correlações para os Dentes 33 e 43**

		Idade	C_RP	C_RT	C_RR	C_Aind	C_Bind	C_Cind	C_M	C_W	C_L	C_Dif
Idade	Correlação de Pearson	1	-,116	,077	-,143	-,183	-,013	-,016	<b>-,178</b>	-,016	-,128	<b>,100</b>
	Sig. (2 extremidades)		,273	,463	,175	,081	,905	,881	<b>,089</b>	,881	,225	<b>,345</b>
	N	92	92	92	92	92	92	92	92	92	92	92
C_RP	Correlação de Pearson	-,116	1	,286**	,947**	-,089	-,486**	-,139	,827**	-,354**	,992**	-,936**
	Sig. (2 extremidades)	,273		,006	,000	,398	,000	,186	,000	,001	,000	,000
	N	92	92	92	92	92	92	92	92	92	92	92
C_RT	Correlação de Pearson	,077	,286**	1	-,032	,001	,047	,052	,189	,056	,165	-,117
	Sig. (2 extremidades)	,463	,006		,759	,991	,654	,619	,072	,598	,116	,267
	N	92	92	92	92	92	92	92	92	92	92	92
C_RR	Correlação de Pearson	-,143	,947**	-,032	1	-,102	-,524**	-,171	,795**	-,393**	,980**	-,939**
	Sig. (2 extremidades)	,175	,000	,759		,334	,000	,104	,000	,000	,000	,000
	N	92	92	92	92	92	92	92	92	92	92	92
C_Aind	Correlação de Pearson	-,183	-,089	,001	-,102	1	,583**	,521**	,400**	,617**	-,095	,288**
	Sig. (2 extremidades)	,081	,398	,991	,334		,000	,000	,000	,000	,366	,005
	N	92	92	92	92	92	92	92	92	92	92	92
C_Bind	Correlação de Pearson	-,013	-,486**	,047	-,524**	,583**	1	,604**	,005	,901**	-,507**	,722**
	Sig. (2 extremidades)	,905	,000	,654	,000	,000		,000	,966	,000	,000	,000
	N	92	92	92	92	92	92	92	92	92	92	92
C_Cind	Correlação de Pearson	-,016	-,139	,052	-,171	,521**	,604**	1	,339**	,890**	-,153	,428**
	Sig. (2 extremidades)	,881	,186	,619	,104	,000	,000		,001	,000	,145	,000
	N	92	92	92	92	92	92	92	92	92	92	92
C_M	Correlação de Pearson	-,178	,827**	,189	,795**	,400**	,005	,339**	1	,187	,825**	-,615**
	Sig. (2 extremidades)	,089	,000	,072	,000	,000	,966	,001		,074	,000	,000
	N	92	92	92	92	92	92	92	92	92	92	92
C_W	Correlação de Pearson	-,016	-,354**	,056	-,393**	,617**	,901**	,890**	,187	1	-,373**	,646**
	Sig. (2 extremidades)	,881	,001	,598	,000	,000	,000	,000	,074		,000	,000
	N	92	92	92	92	92	92	92	92	92	92	92
C_L	Correlação de Pearson	-,128	,992**	,165	,980**	-,095	-,507**	-,153	,825**	-,373**	1	-,949**
	Sig. (2 extremidades)	,225	,000	,116	,000	,366	,000	,145	,000	,000		,000
	N	92	92	92	92	92	92	92	92	92	92	92
C_Dif	Correlação de Pearson	,100	-,936**	-,117	-,939**	,288**	,722**	,428**	-,615**	,646**	-,949**	1
	Sig. (2 extremidades)	,345	,000	,267	,000	,005	,000	,000	,000	,000	,000	
	N	92	92	92	92	92	92	92	92	92	92	92

\*\* . A correlação é significativa no nível 0,01 (2 extremidades).

## V – Avaliação dos coeficientes da regressão linear de Kvaal

### Corte coronal, idade em meses

**Dentes 11 e 21: Variáveis Inseridas/Removidas<sup>a,b</sup>**

Modelo	Variáveis inseridas	Variáveis removidas	Método
1	Género, C_M, C_Dif <sup>c</sup>		Inserir
2		C_Dif	Backward (critério: Probabilidade de F a ser removido $\geq ,100$ ).
3		Género	Backward (critério: Probabilidade de F a ser removido $\geq ,100$ ).

a. Grupo de dentes = Dentes 11 e 21

b. Variável Dependente: Idade

c. Todas as variáveis solicitadas inseridas.

**Dentes 11 e 21: Resumo do modelo<sup>a</sup>**

Modelo	R	R quadrado	R quadrado ajustado	Erro padrão da estimativa
1	,389 <sup>b</sup>	,152	,110	153,771
2	,387 <sup>c</sup>	,150	,122	152,689
3	,381 <sup>d</sup>	<b>,145</b>	,132	<b>151,877</b>

a. Grupo de dentes = Dentes 11 e 21

b. Preditores: (Constante), Género, C\_M, C\_Dif

c. Preditores: (Constante), Género, C\_M

d. Preditores: (Constante), C\_M

Estimativa da Idade pela proporção da área polpa/dente em Tomografia Computorizada de Feixe Cônico (CBCT):  
Aplicação Médico-Legal

**Dentes 11 e 21: ANOVA<sup>a,b</sup>**

Modelo		Soma dos Quadrados	df	Quadrado Médio	Z	Sig.
1	Regressão	257725,116	3	85908,372	3,633	,018 <sup>c</sup>
	Resíduo	1442383,100	61	23645,625		
	Total	1700108,215	64			
2	Regressão	254648,414	2	127324,207	5,461	,007 <sup>d</sup>
	Resíduo	1445459,801	62	23313,868		
	Total	1700108,215	64			
3	Regressão	246911,943	1	246911,943	10,704	,002 <sup>e</sup>
	Resíduo	1453196,272	63	23066,607		
	Total	1700108,215	64			

a. Grupo de dentes = Dentes 11 e 21

b. Variável Dependente: Idade

c. Preditores: (Constante), Género, C\_M, C\_Dif

d. Preditores: (Constante), Género, C\_M

e. Preditores: (Constante), C\_M

**Dentes 11 e 21: Coeficientes<sup>a,b</sup>**

Modelo		Coeficientes não padronizados		Coeficientes padronizados	t	Sig.
		B	Erro Erro	Beta		
1	(Constante)	1162,247	199,455		5,827	,000
	C_M	-1085,157	412,799	-,349	-2,629	,011
	C_Dif	68,121	188,847	,049	,361	,720
	Género	-20,859	42,074	-,060	-,496	,622
2	(Constante)	1151,694	195,909		5,879	,000
	C_M	-1149,835	369,207	-,370	-3,114	,003
	Género	-23,654	41,062	-,068	-,576	,567
3	(Constante)	1162,789	193,923		5,996	,000
	C_M	-1184,995	362,191	-,381	-3,272	,002

a. Grupo de dentes = Dentes 11 e 21

b. Variável Dependente: Idade



Estimativa da Idade pela proporção da área polpa/dente em Tomografia Computorizada de Feixe Cônico (CBCT):  
Aplicação Médico-Legal

**Dentes 11 e 21: Variáveis excluídas<sup>a,b</sup>**

Modelo	Beta In	t	Sig.	Correlação parcial	Estatísticas de colinearidade
					Tolerância
2 C_Dif	,049 <sup>c</sup>	,361	,720	,046	,766
3 C_Dif	,061 <sup>d</sup>	,463	,645	,059	,793
Gênero	-,068 <sup>d</sup>	-,576	,567	-,073	,973

a. Grupo de dentes = Dentes 11 e 21

b. Variável Dependente: Idade

c. Preditores no Modelo: (Constante), Gênero, C\_M

d. Preditores no Modelo: (Constante), C\_M

**Dentes 31 e 41: Variáveis Inseridas/Removidas<sup>a,b</sup>**

Modelo	Variáveis inseridas	Variáveis removidas	Método
1	Gênero, C_Dif, C_M <sup>c</sup>	.	Inserir

a. Grupo de dentes = Dentes 31 e 41

b. Variável Dependente: Idade

c. Todas as variáveis solicitadas inseridas.

**Dentes 31 e 41: Resumo do modelo<sup>a</sup>**

Modelo	R	R quadrado	R quadrado ajustado	Erro padrão da estimativa
1	,957 <sup>b</sup>	<b>,915</b>	,873	<b>83,726</b>

a. Grupo de dentes = Dentes 31 e 41

b. Preditores: (Constante), Gênero, C\_Dif, C\_M

**Dentes 31 e 41: ANOVA<sup>a,b</sup>**

Modelo	Soma dos Quadrados	df	Quadrado Médio	Z	Sig.
1 Regressão	454790,169	3	151596,723	21,626	,001 <sup>c</sup>
Resíduo	42060,331	6	7010,055		
Total	496850,500	9			

a. Grupo de dentes = Dentes 31 e 41

b. Variável Dependente: Idade

c. Preditores: (Constante), Gênero, C\_Dif, C\_M

**Dentes 31 e 41: Coeficientes<sup>a,b</sup>**

Modelo	Coeficientes não padronizados		Coeficientes padronizados	t	Sig.
	B	Erro Erro	Beta		
1 (Constante)	721,557	205,643		3,509	,013
C_M	-1683,573	554,183	-,594	-3,038	,023
C_Dif	-1312,092	177,895	-1,257	-7,376	,000
Género	-255,138	71,508	-,561	-3,568	,012

a. Grupo de dentes = Dentes 31 e 41

b. Variável Dependente: Idade

**Dentes 12 e 22: Variáveis Inseridas/Removidas<sup>a,b</sup>**

Modelo	Variáveis inseridas	Variáveis removidas	Método
1	Género, C_M, C_Dif <sup>c</sup>		Inserir
2		Género	Backward (critério: Probabilidade de F a ser removido >= ,100).
3		C_Dif	Backward (critério: Probabilidade de F a ser removido >= ,100).

a. Grupo de dentes = Dentes 12 e 22

b. Variável Dependente: Idade

c. Todas as variáveis solicitadas inseridas.

**Dentes 12 e 22: Resumo do modelo<sup>a</sup>**

Modelo	R	R quadrado	R quadrado ajustado	Erro padrão da estimativa
1	,339 <sup>b</sup>	,115	,079	162,789
2	,339 <sup>c</sup>	,115	,091	161,718
3	,338 <sup>d</sup>	<b>,114</b>	,103	<b>160,725</b>

a. Grupo de dentes = Dentes 12 e 22

b. Preditores: (Constante), Género, C\_M, C\_Dif

c. Preditores: (Constante), C\_M, C\_Dif

d. Preditores: (Constante), C\_M

Estimativa da Idade pela proporção da área polpa/dente em Tomografia Computorizada de Feixe Cônico (CBCT):  
Aplicação Médico-Legal

**Dentes 12 e 22: ANOVA<sup>a,b</sup>**

Modelo		Soma dos Quadrados	df	Quadrado Médio	Z	Sig.
1	Regressão	257806,080	3	85935,360	3,243	,027 <sup>c</sup>
	Resíduo	1987527,389	75	26500,365		
	Total	2245333,468	78			
2	Regressão	257725,526	2	128862,763	4,927	,010 <sup>d</sup>
	Resíduo	1987607,943	76	26152,736		
	Total	2245333,468	78			
3	Regressão	256227,799	1	256227,799	9,919	,002 <sup>e</sup>
	Resíduo	1989105,670	77	25832,541		
	Total	2245333,468	78			

a. Grupo de dentes = Dentes 12 e 22

b. Variável Dependente: Idade

c. Preditores: (Constante), Género, C\_M, C\_Dif

d. Preditores: (Constante), C\_M, C\_Dif

e. Preditores: (Constante), C\_M

**Dentes 12 e 22: Coeficientes<sup>a,b</sup>**

Modelo		Coeficientes não padronizados		Coeficientes padronizados	t	Sig.
		B	Erro Erro	Beta		
1	(Constante)	1089,738	189,165		5,761	,000
	C_M	-1069,760	411,074	-,323	-2,602	,011
	C_Dif	37,525	153,976	,031	,244	,808
	Género	2,064	37,430	,006	,055	,956
2	(Constante)	1090,014	187,854		5,802	,000
	C_M	-1070,361	408,225	-,324	-2,622	,011
	C_Dif	36,045	150,620	,030	,239	,812
3	(Constante)	1090,961	186,659		5,845	,000
	C_M	-1117,704	354,893	-,338	-3,149	,002

a. Grupo de dentes = Dentes 12 e 22

b. Variável Dependente: Idade

**Dentes 12 e 22: Variáveis excluídas<sup>a,b</sup>**

Modelo	Beta In	t	Sig.	Correlação parcial	Estatísticas de colinearidade
					Tolerância
2 Género	,006 <sup>c</sup>	,055	,956	,006	,965
3 Género	,001 <sup>d</sup>	,013	,990	,001	,996
C_Dif	,030 <sup>d</sup>	,239	,812	,027	,765

a. Grupo de dentes = Dentes 12 e 22

b. Variável Dependente: Idade

c. Preditores no Modelo: (Constante), C\_M, C\_Dif

d. Preditores no Modelo: (Constante), C\_M

**Dentes 32 e 42: Variáveis Inseridas/Removidas<sup>a,b</sup>**

Modelo	Variáveis inseridas	Variáveis removidas	Método
1	Género, C_M, C_Dif <sup>c</sup>	.	Inserir

a. Grupo de dentes = Dentes 32 e 42

b. Variável Dependente: Idade

c. Todas as variáveis solicitadas inseridas.

**Dentes 32 e 42: Resumo do modelo<sup>a</sup>**

Modelo	R	R quadrado	R quadrado ajustado	Erro padrão da estimativa
1	,739 <sup>b</sup>	,547	,496	127,425

a. Grupo de dentes = Dentes 32 e 42

b. Preditores: (Constante), Género, C\_M, C\_Dif

**Dentes 32 e 42: ANOVA<sup>a,b</sup>**

Modelo	Soma dos Quadrados	df	Quadrado Médio	Z	Sig.
1 Regressão	528501,774	3	176167,258	10,850	,000 <sup>c</sup>
Resíduo	438403,065	27	16237,151		
Total	966904,839	30			

a. Grupo de dentes = Dentes 32 e 42

b. Variável Dependente: Idade

c. Preditores: (Constante), Género, C\_M, C\_Dif

**Dentes 32 e 42: Coeficientes<sup>a,b</sup>**

Modelo	Coeficientes não padronizados		Coeficientes padronizados	t	Sig.
	B	Erro Erro	Beta		
1 (Constante)	731,969	212,959		3,437	,002
C_M	-950,039	414,970	-,301	-2,289	,030
C_Dif	-709,106	167,893	-,567	-4,224	,000
Género	-207,158	50,065	-,548	-4,138	,000

a. Grupo de dentes = Dentes 32 e 42

b. Variável Dependente: Idade

**Dentes 13 e 23: Variáveis Inseridas/Removidas<sup>a,b</sup>**

Modelo	Variáveis inseridas	Variáveis removidas	Método
1	Género, C_M, C_Dif <sup>c</sup>		Inserir
2		Género	Backward (critério: Probabilidade de F a ser removido $\geq ,100$ ).

a. Grupo de dentes = Dentes 13 e 23

b. Variável Dependente: Idade

c. Todas as variáveis solicitadas inseridas.

**Dentes 13 e 23: Resumo do modelo<sup>a</sup>**

Modelo	R	R quadrado	R quadrado ajustado	Erro padrão da estimativa
1	,418 <sup>b</sup>	,174	,154	151,463
2	,416 <sup>c</sup>	<b>,173</b>	,159	<b>150,987</b>

a. Grupo de dentes = Dentes 13 e 23

b. Preditores: (Constante), Género, C\_M, C\_Dif

c. Preditores: (Constante), C\_M, C\_Dif

Estimativa da Idade pela proporção da área polpa/dente em Tomografia Computorizada de Feixe Cônico (CBCT):  
Aplicação Médico-Legal

**Dentes 13 e 23: ANOVA<sup>a,b</sup>**

Modelo		Soma dos Quadrados	df	Quadrado Médio	Z	Sig.
1	Regressão	586578,322	3	195526,107	8,523	,000 <sup>c</sup>
	Resíduo	2775872,878	121	22941,098		
	Total	3362451,200	124			
2	Regressão	581207,355	2	290603,678	12,747	,000 <sup>d</sup>
	Resíduo	2781243,845	122	22797,081		
	Total	3362451,200	124			

a. Grupo de dentes = Dentes 13 e 23

b. Variável Dependente: Idade

c. Preditores: (Constante), Género, C\_M, C\_Dif

d. Preditores: (Constante), C\_M, C\_Dif

**Dentes 13 e 23: Coeficientes<sup>a,b</sup>**

Modelo		Coeficientes não padronizados		Coeficientes padronizados	t	Sig.
		B	Erro	Beta		
1	(Constante)	1236,965	153,564		8,055	,000
	C_M	-1771,756	355,969	-,481	-4,977	,000
	C_Dif	-256,859	128,327	-,193	-2,002	,048
	Género	-13,208	27,297	-,040	-,484	,629
2	(Constante)	1234,222	152,976		8,068	,000
	C_M	-1774,155	354,816	-,481	-5,000	,000
	C_Dif	-254,032	127,791	-,191	-1,988	,049

a. Grupo de dentes = Dentes 13 e 23

b. Variável Dependente: Idade

**Dentes 13 e 23: Variáveis excluídas<sup>a,b</sup>**

Deites 15 e 25: variáveis excluídas						
Modelo		Beta In	t	Sig.	Correlação parcial	Estatísticas de colinearidade
						Tolerância
2	Género	-.040 <sup>c</sup>	-.484	.629	-.044	.996

a. Grupo de dentes = Dentes 13 e 23

b. Variável Dependente: Idade

c. Preditores no Modelo: (Constante), C\_M, C\_Dif

**Dentes 33 e 43: Variáveis Inseridas/Removidas<sup>a,b</sup>**

Modelo	Variáveis inseridas	Variáveis removidas	Método
1	Género, C_M, C_Dif <sup>c</sup>		Inserir
2		C_Dif	Backward (critério: Probabilidade de F a ser removido $\geq ,100$ ).
3		Género	Backward (critério: Probabilidade de F a ser removido $\geq ,100$ ).

a. Grupo de dentes = Dentes 33 e 43

b. Variável Dependente: Idade

c. Todas as variáveis solicitadas inseridas.

**Dentes 33 e 43: Resumo do modelo<sup>a</sup>**

Modelo	R	R quadrado	R quadrado ajustado	Erro padrão da estimativa
1	,249 <sup>b</sup>	,062	,030	165,280
2	,243 <sup>c</sup>	,059	,038	164,607
3	,178 <sup>d</sup>	<b>,032</b>	,021	<b>166,025</b>

a. Grupo de dentes = Dentes 33 e 43

b. Preditores: (Constante), Género, C\_M, C\_Dif

c. Preditores: (Constante), Género, C\_M

d. Preditores: (Constante), C\_M

Estimativa da Idade pela proporção da área polpa/dente em Tomografia Computorizada de Feixe Cônico (CBCT):  
Aplicação Médico-Legal

**Dentes 33 e 43: ANOVA<sup>a,b</sup>**

Modelo		Soma dos Quadrados	df	Quadrado Médio	Z	Sig.
1	Regressão	158443,885	3	52814,628	1,933	,130 <sup>c</sup>
	Resíduo	2403950,593	88	27317,620		
	Total	2562394,478	91			
2	Regressão	150909,375	2	75454,688	2,785	,067 <sup>d</sup>
	Resíduo	2411485,103	89	27095,338		
	Total	2562394,478	91			
3	Regressão	81610,477	1	81610,477	2,961	,089 <sup>e</sup>
	Resíduo	2480784,001	90	27564,267		
	Total	2562394,478	91			

a. Grupo de dentes = Dentes 33 e 43

b. Variável Dependente: Idade

c. Preditores: (Constante), Género, C\_M, C\_Dif

d. Preditores: (Constante), Género, C\_M

e. Preditores: (Constante), C\_M

**Dentes 33 e 43: Coeficientes<sup>a,b</sup>**

Modelo		Coeficientes não padronizados		Coeficientes padronizados	t	Sig.
		B	Erro Erro	Beta		
1	(Constante)	928,685	161,200		5,761	,000
	C_M	-672,320	405,689	-,219	-1,657	,101
	C_Dif	-71,425	136,003	-,071	-,525	,601
	Género	-59,925	35,830	-,178	-1,672	,098
2	(Constante)	907,190	155,282		5,842	,000
	C_M	-539,241	315,526	-,176	-1,709	,091
	Género	-55,371	34,623	-,164	-1,599	,113
3	(Constante)	887,154	156,110		5,683	,000
	C_M	-547,523	318,202	-,178	-1,721	,089

a. Grupo de dentes = Dentes 33 e 43

b. Variável Dependente: Idade



**Dentes 33 e 43: Variáveis excluídas<sup>a,b</sup>**

Modelo	Beta In	t	Sig.	Correlação parcial	Estatísticas de colinearidade
					Tolerância
2 C_Dif	-,071 <sup>c</sup>	-,525	,601	-,056	,585
3 C_Dif	-,016 <sup>d</sup>	-,123	,902	-,013	,622
Género	-,164 <sup>d</sup>	-1,599	,113	-,167	1,000

a. Grupo de dentes = Dentes 33 e 43

b. Variável Dependente: Idade

c. Preditores no Modelo: (Constante), Género, C\_M

d. Preditores no Modelo: (Constante), C\_M

## Corte coronal, idade em anos

**Dentes 11 e 21: Variáveis Inseridas/Removidas<sup>a,b</sup>**

Modelo	Variáveis inseridas	Variáveis removidas	Método
1	C_Dif, Género, C_M <sup>c</sup>		Inserir
2		C_Dif	Backward (critério: Probabilidade de F a ser removido >= ,100).
3		Género	Backward (critério: Probabilidade de F a ser removido >= ,100).

a. Grupo de dentes = Dentes 11 e 21

b. Variável Dependente: Idade em anos

c. Todas as variáveis solicitadas inseridas.

**Dentes 11 e 21: Resumo do modelo<sup>a</sup>**

Modelo	R	R quadrado	R quadrado ajustado	Erro padrão da estimativa
1	,389 <sup>b</sup>	,151	,110	12,792
2	,386 <sup>c</sup>	,149	,122	12,704
3	,380 <sup>d</sup>	<b>,145</b>	,131	<b>12,637</b>

a. Grupo de dentes = Dentes 11 e 21

b. Preditores: (Constante), C\_Dif, Género, C\_M

c. Preditores: (Constante), Género, C\_M

d. Preditores: (Constante), C\_M

**Dentes 11 e 21: ANOVA<sup>a,b</sup>**

Modelo		Soma dos Quadrados	df	Quadrado Médio	Z	Sig.
1	Regressão	1778,916	3	592,972	3,624	,018 <sup>c</sup>
	Resíduo	9982,099	61	163,641		
	Total	11761,015	64			
2	Regressão	1754,796	2	877,398	5,436	,007 <sup>d</sup>
	Resíduo	10006,219	62	161,391		
	Total	11761,015	64			
3	Regressão	1700,166	1	1700,166	10,646	,002 <sup>e</sup>
	Resíduo	10060,850	63	159,696		
	Total	11761,015	64			

a. Grupo de dentes = Dentes 11 e 21

b. Variável Dependente: Idade em anos

c. Preditores: (Constante), C\_Dif, Género, C\_M

d. Preditores: (Constante), Género, C\_M

e. Preditores: (Constante), C\_M

**Dentes 11 e 21: Coeficientes<sup>a,b</sup>**

Modelo		Coeficientes não padronizados		Coeficientes padronizados	t	Sig.
		B	Erro Erro	Beta		
1	(Constante)	96,124	16,593		5,793	,000
	Género	-1,740	3,500	-,061	-,497	,621
	C_M	-89,650	34,341	-,347	-2,611	,011
	C_Dif	6,032	15,710	,052	,384	,702
2	(Constante)	95,190	16,300		5,840	,000
	Género	-1,988	3,416	-,069	-,582	,563
	C_M	-95,377	30,719	-,369	-3,105	,003
3	(Constante)	96,122	16,136		5,957	,000
	C_M	-98,331	30,136	-,380	-3,263	,002

a. Grupo de dentes = Dentes 11 e 21

b. Variável Dependente: Idade em anos

**Dentes 11 e 21: Variáveis excluídas<sup>a,b</sup>**

Modelo		Beta In	t	Sig.	Correlação parcial	Estatísticas de colinearidade
						Tolerância
2	C_Dif	,052 <sup>c</sup>	,384	,702	,049	,766
3	C_Dif	,064 <sup>d</sup>	,487	,628	,062	,793
	Género	-,069 <sup>d</sup>	-,582	,563	-,074	,973

a. Grupo de dentes = Dentes 11 e 21

b. Variável Dependente: Idade em anos

c. Preditores no Modelo: (Constante), Género, C\_M

d. Preditores no Modelo: (Constante), C\_M

**Dentes 12 e 22: Variáveis Inseridas/Removidas<sup>a,b</sup>**

Modelo	Variáveis inseridas	Variáveis removidas	Método
1	C_Dif, Género, C_M <sup>c</sup>		Inserir
2		Género	Backward (critério: Probabilidade de F a ser removido $\geq ,100$ ).
3		C_Dif	Backward (critério: Probabilidade de F a ser removido $\geq ,100$ ).

a. Grupo de dentes = Dentes 12 e 22

b. Variável Dependente: Idade em anos

c. Todas as variáveis solicitadas inseridas.

**Dentes 12 e 22: Resumo do modelo<sup>a</sup>**

Modelo	R	R quadrado	R quadrado ajustado	Erro padrão da estimativa
1	,338 <sup>b</sup>	,114	,079	13,583
2	,338 <sup>c</sup>	,114	,091	13,493
3	,337 <sup>d</sup>	<b>,114</b>	,102	<b>13,411</b>

a. Grupo de dentes = Dentes 12 e 22

b. Preditores: (Constante), C\_Dif, Género, C\_M

c. Preditores: (Constante), C\_Dif, C\_M

d. Preditores: (Constante), C\_M

**Dentes 12 e 22: ANOVA<sup>a,b</sup>**

Modelo		Soma dos Quadrados	df	Quadrado Médio	Z	Sig.
1	Regressão	1785,907	3	595,302	3,227	,027 <sup>c</sup>
	Resíduo	13836,929	75	184,492		
	Total	15622,835	78			
2	Regressão	1785,650	2	892,825	4,904	,010 <sup>d</sup>
	Resíduo	13837,185	76	182,068		
	Total	15622,835	78			
3	Regressão	1773,718	1	1773,718	9,862	,002 <sup>e</sup>
	Resíduo	13849,118	77	179,859		
	Total	15622,835	78			

a. Grupo de dentes = Dentes 12 e 22

b. Variável Dependente: Idade em anos

c. Preditores: (Constante), C\_Dif, Género, C\_M

d. Preditores: (Constante), C\_Dif, C\_M

e. Preditores: (Constante), C\_M

**Dentes 12 e 22: Coeficientes<sup>a,b</sup>**

Modelo		Coeficientes não padronizados		Coeficientes padronizados	t	Sig.
		B	Erro	Beta		
1	(Constante)	90,188	15,783		5,714	,000
	Género	,116	3,123	,004	,037	,970
	C_M	-88,735	34,299	-,322	-2,587	,012
	C_Dif	3,301	12,847	,032	,257	,798
2	(Constante)	90,204	15,674		5,755	,000
	C_M	-88,768	34,061	-,322	-2,606	,011
	C_Dif	3,217	12,567	,032	,256	,799
3	(Constante)	90,289	15,575		5,797	,000
	C_M	-92,994	29,613	-,337	-3,140	,002

a. Grupo de dentes = Dentes 12 e 22

b. Variável Dependente: Idade em anos

**Dentes 12 e 22: Variáveis excluídas<sup>a,b</sup>**

Modelo	Beta In	t	Sig.	Correlação parcial	Estatísticas de colinearidade
					Tolerância
2 Género	,004 <sup>c</sup>	,037	,970	,004	,965
3 Género	-,001 <sup>d</sup>	-,008	,994	-,001	,996
C_Dif	,032 <sup>d</sup>	,256	,799	,029	,765

a. Grupo de dentes = Dentes 12 e 22

b. Variável Dependente: Idade em anos

c. Preditores no Modelo: (Constante), C\_Dif, C\_M

d. Preditores no Modelo: (Constante), C\_M

**Dentes 13 e 23: Variáveis Inseridas/Removidas<sup>a,b</sup>**

Modelo	Variáveis inseridas	Variáveis removidas	Método
1	C_Dif, Género, C_M <sup>c</sup>	.	Inserir
2	.	Género	Backward (critério: Probabilidade de F a ser removido >= ,100).

a. Grupo de dentes = Dentes 13 e 23

b. Variável Dependente: Idade em anos

c. Todas as variáveis solicitadas inseridas.

**Dentes 13 e 23: Resumo do modelo<sup>a</sup>**

Modelo	R	R quadrado	R quadrado ajustado	Erro padrão da estimativa
1	,414 <sup>b</sup>	,171	,151	12,638
2	,411 <sup>c</sup>	<b>,169</b>	,156	<b>12,601</b>

a. Grupo de dentes = Dentes 13 e 23

b. Preditores: (Constante), C\_Dif, Género, C\_M

c. Preditores: (Constante), C\_Dif, C\_M

Estimativa da Idade pela proporção da área polpa/dente em Tomografia Computorizada de Feixe Cônico (CBCT):  
Aplicação Médico-Legal

**Dentes 13 e 23: ANOVA<sup>a,b</sup>**

Modelo	Soma dos Quadrados	df	Quadrado Médio	Z	Sig.
1 Regressão	3992,206	3	1330,735	8,331	,000 <sup>c</sup>
Resíduo	19326,642	121	159,724		
Total	23318,848	124			
2 Regressão	3948,320	2	1974,160	12,434	,000 <sup>d</sup>
Resíduo	19370,528	122	158,775		
Total	23318,848	124			

a. Grupo de dentes = Dentes 13 e 23

b. Variável Dependente: Idade em anos

c. Preditores: (Constante), C\_Dif, Género, C\_M

d. Preditores: (Constante), C\_Dif, C\_M

**Dentes 13 e 23: Coeficientes<sup>a,b</sup>**

Modelo		Coeficientes não padronizados		Coeficientes padronizados	t	Sig.
		B	Erro Erro	Beta		
1	(Constante)	102,022	12,813		7,962	,000
	Género	-1,194	2,278	-,043	-,524	,601
	C_M	-145,946	29,702	-,475	-4,914	,000
	C_Dif	-21,037	10,708	-,190	-1,965	,052
2	(Constante)	101,774	12,767		7,972	,000
	C_M	-146,162	29,611	-,476	-4,936	,000
	C_Dif	-20,782	10,665	-,188	-1,949	,054

a. Grupo de dentes = Dentes 13 e 23

b. Variável Dependente: Idade em anos

**Dentes 13 e 23: Variáveis excluídas<sup>a,b</sup>**

Modelo	Beta In	t	Sig.	Correlação parcial	Estatísticas de colinearidade
					Tolerância
2 Género	-,043 <sup>c</sup>	-,524	,601	-,048	,996

a. Grupo de dentes = Dentes 13 e 23

b. Variável Dependente: Idade em anos

c. Preditores no Modelo: (Constante), C\_Dif, C\_M

**Dentes 33 e 43: Variáveis Inseridas/Removidas<sup>a,b</sup>**

Modelo	Variáveis inseridas	Variáveis removidas	Método
1	C_Dif, Género, C_M <sup>c</sup>		Inserir
2		C_Dif	Backward (critério: Probabilidade de F a ser removido $\geq ,100$ ).
3		Género	Backward (critério: Probabilidade de F a ser removido $\geq ,100$ ).

a. Grupo de dentes = Dentes 33 e 43

b. Variável Dependente: Idade em anos

c. Todas as variáveis solicitadas inseridas.

**Dentes 33 e 43: Resumo do modelo<sup>a</sup>**

Modelo	R	R quadrado	R quadrado ajustado	Erro padrão da estimativa
1	,247 <sup>b</sup>	,061	,029	13,814
2	,241 <sup>c</sup>	,058	,037	13,758
3	,175 <sup>d</sup>	<b>,031</b>	,020	<b>13,878</b>

a. Grupo de dentes = Dentes 33 e 43

b. Preditores: (Constante), C\_Dif, Género, C\_M

c. Preditores: (Constante), Género, C\_M

d. Preditores: (Constante), C\_M



Estimativa da Idade pela proporção da área polpa/dente em Tomografia Computorizada de Feixe Cônico (CBCT):  
Aplicação Médico-Legal

**Dentes 33 e 43: ANOVA<sup>a,b</sup>**

Modelo		Soma dos Quadrados	df	Quadrado Médio	Z	Sig.
1	Regressão	1087,990	3	362,663	1,900	,135 <sup>c</sup>
	Resíduo	16793,227	88	190,832		
	Total	17881,217	91			
2	Regressão	1036,127	2	518,064	2,737	,070 <sup>d</sup>
	Resíduo	16845,090	89	189,271		
	Total	17881,217	91			
3	Regressão	547,132	1	547,132	2,841	,095 <sup>e</sup>
	Resíduo	17334,086	90	192,601		
	Total	17881,217	91			

a. Grupo de dentes = Dentes 33 e 43

b. Variável Dependente: Idade em anos

c. Preditores: (Constante), C\_Dif, Género, C\_M

d. Preditores: (Constante), Género, C\_M

e. Preditores: (Constante), C\_M

**Dentes 33 e 43: Coeficientes<sup>a,b</sup>**

Modelo		Coeficientes não padronizados		Coeficientes padronizados	t	Sig.
		B	Erro Erro	Beta		
1	(Constante)	76,499	13,473		5,678	,000
	Género	-5,029	2,995	-,179	-1,679	,097
	C_M	-55,176	33,908	-,215	-1,627	,107
	C_Dif	-5,926	11,367	-,070	-,521	,603
2	(Constante)	74,715	12,978		5,757	,000
	Género	-4,651	2,894	-,165	-1,607	,112
	C_M	-44,135	26,371	-,172	-1,674	,098
3	(Constante)	73,032	13,049		5,597	,000
	C_M	-44,831	26,599	-,175	-1,685	,095

a. Grupo de dentes = Dentes 33 e 43

b. Variável Dependente: Idade em anos

**Dentes 33 e 43: Variáveis excluídas<sup>a,b</sup>**

Modelo	Beta In	t	Sig.	Correlação parcial	Estatísticas de colinearidade
					Tolerância
2 C_Dif	-,070 <sup>c</sup>	-,521	,603	-,055	,585
3 C_Dif	-,016 <sup>d</sup>	-,117	,907	-,012	,622
Género	-,165 <sup>d</sup>	-1,607	,112	-,168	1,000

a. Grupo de dentes = Dentes 33 e 43

b. Variável Dependente: Idade em anos

c. Preditores no Modelo: (Constante), Género, C\_M

d. Preditores no Modelo: (Constante), C\_M

## Corte sagital, idade em anos

**Dentes 11 e 21: Variáveis Inseridas/Removidas<sup>a,b</sup>**

Modelo	Variáveis inseridas	Variáveis removidas	Método
1	S_Dif, Género, S_M <sup>c</sup>		Inserir
2		Género	Backward (critério: Probabilidade de F a ser removido >= ,100).
3		S_Dif	Backward (critério: Probabilidade de F a ser removido >= ,100).

a. Grupo de dentes = Dentes 11 e 21

b. Variável Dependente: Idade em anos

c. Todas as variáveis solicitadas inseridas.

**Dentes 11 e 21: Resumo do modelo<sup>a</sup>**

Modelo	R	R quadrado	R quadrado ajustado	Erro padrão da estimativa
1	,630 <sup>b</sup>	,397	,367	10,783
2	,630 <sup>c</sup>	,397	,377	10,697
3	,628 <sup>d</sup>	<b>,394</b>	,385	<b>10,632</b>

a. Grupo de dentes = Dentes 11 e 21

b. Preditores: (Constante), S\_Dif, Género, S\_M

c. Preditores: (Constante), S\_Dif, S\_M

d. Preditores: (Constante), S\_M

**Dentes 11 e 21: ANOVA<sup>a,b</sup>**

Modelo		Soma dos Quadrados	df	Quadrado Médio	Z	Sig.
1	Regressão	4668,977	3	1556,326	13,386	,000 <sup>c</sup>
	Resíduo	7092,038	61	116,263		
	Total	11761,015	64			
2	Regressão	4666,384	2	2333,192	20,390	,000 <sup>d</sup>
	Resíduo	7094,632	62	114,430		
	Total	11761,015	64			
3	Regressão	4639,390	1	4639,390	41,041	,000 <sup>e</sup>
	Resíduo	7121,625	63	113,042		
	Total	11761,015	64			

a. Grupo de dentes = Dentes 11 e 21

b. Variável Dependente: Idade em anos

c. Preditores: (Constante), S\_Dif, Género, S\_M

d. Preditores: (Constante), S\_Dif, S\_M

e. Preditores: (Constante), S\_M

**Dentes 11 e 21: Coeficientes<sup>a,b</sup>**

Modelo		Coeficientes não padronizados		Coeficientes padronizados	t	Sig.
		B	Erro Erro	Beta		
1	(Constante)	128,579	13,798		9,319	,000
	Género	,439	2,940	,015	,149	,882
	S_M	-166,708	31,968	-,669	-5,215	,000
	S_Dif	-7,015	14,626	-,061	-,480	,633
2	(Constante)	128,240	13,501		9,498	,000
	S_M	-165,871	31,224	-,666	-5,312	,000
	S_Dif	-7,047	14,509	-,061	-,486	,629
3	(Constante)	128,872	13,357		9,649	,000
	S_M	-156,520	24,432	-,628	-6,406	,000

a. Grupo de dentes = Dentes 11 e 21

b. Variável Dependente: Idade em anos

**Dentes 11 e 21: Variáveis excluídas<sup>a,b</sup>**

Modelo		Beta In	t	Sig.	Correlação parcial	Estatísticas de colinearidade
						Tolerância
2	Género	,015 <sup>c</sup>	,149	,882	,019	,946
3	Género	,016 <sup>d</sup>	,157	,875	,020	,947
	S_Dif	-,061 <sup>d</sup>	-,486	,629	-,062	,620

a. Grupo de dentes = Dentes 11 e 21

b. Variável Dependente: Idade em anos

c. Preditores no Modelo: (Constante), S\_Dif, S\_M

d. Preditores no Modelo: (Constante), S\_M

**Dentes 12 e 22: Variáveis Inseridas/Removidas<sup>a,b</sup>**

Modelo	Variáveis inseridas	Variáveis removidas	Método
1	S_Dif, Género, S_M <sup>c</sup>		Inserir
2		Género	Backward (critério: Probabilidade de F a ser removido >= ,100).

a. Grupo de dentes = Dentes 12 e 22

b. Variável Dependente: Idade em anos

c. Todas as variáveis solicitadas inseridas.

Estimativa da Idade pela proporção da área polpa/dente em Tomografia Computorizada de Feixe Cônico (CBCT):  
Aplicação Médico-Legal

**Dentes 12 e 22: Resumo do modelo<sup>a</sup>**

Modelo	R	R quadrado	R quadrado ajustado	Erro padrão da estimativa
1	,493 <sup>b</sup>	,244	,213	12,553
2	,493 <sup>c</sup>	<b>,243</b>	,223	<b>12,472</b>

a. Grupo de dentes = Dentes 12 e 22

b. Preditores: (Constante), S\_Dif, Género, S\_M

c. Preditores: (Constante), S\_Dif, S\_M

**Dentes 12 e 22: ANOVA<sup>a,b</sup>**

Modelo		Soma dos Quadrados	df	Quadrado Médio	Z	Sig.
1	Regressão	3804,327	3	1268,109	8,047	,000 <sup>c</sup>
	Resíduo	11818,508	75	157,580		
	Total	15622,835	78			
2	Regressão	3801,085	2	1900,542	12,218	,000 <sup>d</sup>
	Resíduo	11821,750	76	155,549		
	Total	15622,835	78			

a. Grupo de dentes = Dentes 12 e 22

b. Variável Dependente: Idade em anos

c. Preditores: (Constante), S\_Dif, Género, S\_M

d. Preditores: (Constante), S\_Dif, S\_M

**Dentes 12 e 22: Coeficientes<sup>a,b</sup>**

Modelo		Coeficientes não padronizados		Coeficientes padronizados	t	Sig.
		B	Erro	Beta		
1	(Constante)	99,955	14,304		6,988	,000
	Género	,408	2,845	,014	,143	,886
	S_M	-143,756	29,490	-,562	-4,875	,000
	S_Dif	-25,094	13,392	-,216	-1,874	,065
2	(Constante)	99,982	14,210		7,036	,000
	S_M	-143,448	29,222	-,561	-4,909	,000
	S_Dif	-25,083	13,306	-,215	-1,885	,063

a. Grupo de dentes = Dentes 12 e 22

b. Variável Dependente: Idade em anos

**Dentes 12 e 22: Variáveis excluídas<sup>a,b</sup>**

Modelo	Beta In	t	Sig.	Correlação parcial	Estatísticas de colinearidade
					Tolerância
2	Género	,014 <sup>c</sup>	,143	,886	,017
					,994

a. Grupo de dentes = Dentes 12 e 22

b. Variável Dependente: Idade em anos

c. Preditores no Modelo: (Constante), S\_Dif, S\_M

**Dentes 13 e 23: Variáveis Inseridas/Removidas<sup>a,b</sup>**

Modelo	Variáveis inseridas	Variáveis removidas	Método
1	S_Dif, Género, S_M <sup>c</sup>		Inserir
2		Género	Backward (critério: Probabilidade de F a ser removido >= ,100).
3		S_Dif	Backward (critério: Probabilidade de F a ser removido >= ,100).

a. Grupo de dentes = Dentes 13 e 23

b. Variável Dependente: Idade em anos

c. Todas as variáveis solicitadas inseridas.

**Dentes 13 e 23: Resumo do modelo<sup>a</sup>**

Modelo	R	R quadrado	R quadrado ajustado	Erro padrão da estimativa
1	,336 <sup>b</sup>	,113	,091	13,076
2	,332 <sup>c</sup>	,110	,095	13,043
3	,327 <sup>d</sup>	<b>,107</b>	,100	<b>13,013</b>

a. Grupo de dentes = Dentes 13 e 23

b. Preditores: (Constante), S\_Dif, Género, S\_M

c. Preditores: (Constante), S\_Dif, S\_M

d. Preditores: (Constante), S\_M

Estimativa da Idade pela proporção da área polpa/dente em Tomografia Computorizada de Feixe Cônico (CBCT):  
Aplicação Médico-Legal

**Dentes 13 e 23: ANOVA<sup>a,b</sup>**

Modelo		Soma dos Quadrados	df	Quadrado Médio	Z	Sig.
1	Regressão	2629,324	3	876,441	5,126	,002 <sup>c</sup>
	Resíduo	20689,524	121	170,988		
	Total	23318,848	124			
2	Regressão	2563,346	2	1281,673	7,534	,001 <sup>d</sup>
	Resíduo	20755,502	122	170,127		
	Total	23318,848	124			
3	Regressão	2489,815	1	2489,815	14,703	,000 <sup>e</sup>
	Resíduo	20829,033	123	169,342		
	Total	23318,848	124			

a. Grupo de dentes = Dentes 13 e 23

b. Variável Dependente: Idade em anos

c. Preditores: (Constante), S\_Dif, Género, S\_M

d. Preditores: (Constante), S\_Dif, S\_M

e. Preditores: (Constante), S\_M

**Dentes 13 e 23: Coeficientes<sup>a,b</sup>**

Modelo		Coeficientes não padronizados		Coeficientes padronizados	t	Sig.
		B	Erro Erro	Beta		
1	(Constante)	85,193	12,292		6,931	,000
	Género	-1,467	2,362	-,053	-,621	,536
	S_M	-87,076	22,825	-,349	-3,815	,000
	S_Dif	-7,741	10,892	-,065	-,711	,479
2	(Constante)	84,859	12,249		6,928	,000
	S_M	-86,810	22,764	-,348	-3,813	,000
	S_Dif	-7,112	10,818	-,060	-,657	,512
3	(Constante)	87,313	11,640		7,501	,000
	S_M	-81,568	21,272	-,327	-3,834	,000

a. Grupo de dentes = Dentes 13 e 23

b. Variável Dependente: Idade em anos

**Dentes 13 e 23: Variáveis excluídas<sup>a,b</sup>**

Modelo		Beta In	t	Sig.	Correlação parcial	Estatísticas de colinearidade
						Tolerância
2	Género	-,053 <sup>c</sup>	-,621	,536	-,056	,991
3	Género	-,048 <sup>d</sup>	-,559	,577	-,051	1,000
	S_Dif	-,060 <sup>d</sup>	-,657	,512	-,059	,877

a. Grupo de dentes = Dentes 13 e 23

b. Variável Dependente: Idade em anos

c. Preditores no Modelo: (Constante), S\_Dif, S\_M

d. Preditores no Modelo: (Constante), S\_M

**Dentes 33 e 43: Variáveis Inseridas/Removidas<sup>a,b</sup>**

Modelo	Variáveis inseridas	Variáveis removidas	Método
1	S_Dif, Género, S_M <sup>c</sup>	.	Inserir

a. Grupo de dentes = Dentes 33 e 43

b. Variável Dependente: Idade em anos

c. Todas as variáveis solicitadas inseridas.

**Dentes 33 e 43: Resumo do modelo<sup>a</sup>**

Modelo	R	R quadrado	R quadrado ajustado	Erro padrão da estimativa
1	,388 <sup>b</sup>	<b>,150</b>	,122	<b>13,138</b>

a. Grupo de dentes = Dentes 33 e 43

b. Preditores: (Constante), S\_Dif, Género, S\_M

**Dentes 33 e 43: ANOVA<sup>a,b</sup>**

Modelo		Soma dos Quadrados	df	Quadrado Médio	Z	Sig.
1	Regressão	2690,869	3	896,956	5,196	,002 <sup>c</sup>
	Resíduo	15190,349	88	172,618		
	Total	17881,217	91			

a. Grupo de dentes = Dentes 33 e 43

b. Variável Dependente: Idade em anos

c. Preditores: (Constante), S\_Dif, Género, S\_M



Estimativa da Idade pela proporção da área polpa/dente em Tomografia Computorizada de Feixe Cônico (CBCT):  
Aplicação Médico-Legal

**Dentes 33 e 43: Coeficientes<sup>a,b</sup>**

Modelo	Coeficientes não padronizados		Coeficientes padronizados	t	Sig.
	B	Erro Erro	Beta		
1 (Constante)	81,561	12,360		6,599	,000
Género	-5,304	2,774	-,189	-1,912	,059
S_M	-76,075	21,898	-,356	-3,474	,001
S_Dif	-18,533	10,761	-,177	-1,722	,089

a. Grupo de dentes = Dentes 33 e 43

b. Variável Dependente: Idade em anos

## VI – Regressão linear

### Variáveis, corte coronal

**Dentes 11 e 21: Variáveis Inseridas/Removidas<sup>a,b</sup>**

Modelo	Variáveis inseridas	Variáveis removidas	Método
1	C_Cind, C_RR, Género, C_RT, C_Aind, C_Bind, C_RP <sup>c</sup>	.	Inserir
2	.	C_Cind	Backward (critério: Probabilidade de F a ser removido $\geq ,100$ ).
3	.	C_Aind	Backward (critério: Probabilidade de F a ser removido $\geq ,100$ ).
4	.	Género	Backward (critério: Probabilidade de F a ser removido $\geq ,100$ ).
5	.	C_Bind	Backward (critério: Probabilidade de F a ser removido $\geq ,100$ ).

a. Grupo de dentes = Dentes 11 e 21

b. Variável Dependente: Idade em anos

c. Todas as variáveis solicitadas inseridas.

**Dentes 11 e 21: Resumo do modelo<sup>a</sup>**

Modelo	R	R quadrado	R quadrado ajustado	Erro padrão da estimativa
1	,459 <sup>b</sup>	,210	,113	12,765
2	,459 <sup>c</sup>	,210	,129	12,655
3	,458 <sup>d</sup>	,210	,143	12,552
4	,457 <sup>e</sup>	,209	,156	12,454
5	,428 <sup>f</sup>	<b>,183</b>	,143	<b>12,548</b>

a. Grupo de dentes = Dentes 11 e 21

b. Preditores: (Constante), C\_Cind, C\_RR, Género, C\_RT, C\_Aind, C\_Bind, C\_RP

c. Preditores: (Constante), C\_RR, Género, C\_RT, C\_Aind, C\_Bind, C\_RP

d. Preditores: (Constante), C\_RR, Género, C\_RT, C\_Bind, C\_RP

e. Preditores: (Constante), C\_RR, C\_RT, C\_Bind, C\_RP

f. Preditores: (Constante), C\_RR, C\_RT, C\_RP

**Dentes 11 e 21: ANOVA<sup>a,b</sup>**

Modelo		Soma dos Quadrados	df	Quadrado Médio	Z	Sig.
1	Regressão	2472,811	7	353,259	2,168	,051 <sup>c</sup>
	Resíduo	9288,204	57	162,951		
	Total	11761,015	64			
2	Regressão	2472,797	6	412,133	2,574	,028 <sup>d</sup>
	Resíduo	9288,219	58	160,142		
	Total	11761,015	64			
3	Regressão	2465,853	5	493,171	3,130	,014 <sup>e</sup>
	Resíduo	9295,163	59	157,545		
	Total	11761,015	64			
4	Regressão	2455,202	4	613,800	3,958	,006 <sup>f</sup>
	Resíduo	9305,813	60	155,097		
	Total	11761,015	64			
5	Regressão	2156,937	3	718,979	4,567	<b>,006<sup>g</sup></b>
	Resíduo	9604,079	61	157,444		
	Total	11761,015	64			

a. Grupo de dentes = Dentes 11 e 21

b. Variável Dependente: Idade em anos

c. Preditores: (Constante), C\_Cind, C\_RR, Género, C\_RT, C\_Aind, C\_Bind, C\_RP

d. Preditores: (Constante), C\_RR, Género, C\_RT, C\_Aind, C\_Bind, C\_RP

e. Preditores: (Constante), C\_RR, Género, C\_RT, C\_Bind, C\_RP

f. Preditores: (Constante), C\_RR, C\_RT, C\_Bind, C\_RP

g. Preditores: (Constante), C\_RR, C\_RT, C\_RP

Estimativa da Idade pela proporção da área polpa/dente em Tomografia Computorizada de Feixe Cônico (CBCT):  
Aplicação Médico-Legal

Dentes 11 e 21: Coeficientes <sup>a,b</sup>						
Modelo		Coeficientes não padronizados		Coeficientes padronizados	t	Sig.
		B	Erro Erro	Beta		
1	(Constante)	-406,596	289,540		-1,404	,166
	Gênero	-1,136	3,776	-,039	-,301	,765
	C_RP	-464,105	260,704	-4,420	-1,780	,080
	C_RT	317,131	184,303	2,128	1,721	,091
	C_RR	671,208	405,867	4,157	1,654	,104
	C_Aind	5,513	26,713	,028	,206	,837
	C_Bind	-35,208	29,795	-,183	-1,182	,242
	C_Cind	,291	30,940	,001	,009	,993
2	(Constante)	-406,805	286,188		-1,421	,161
	Gênero	-1,134	3,740	-,039	-,303	,763
	C_RP	-464,356	257,087	-4,423	-1,806	,076
	C_RT	317,296	181,883	2,129	1,745	,086
	C_RR	671,576	400,479	4,159	1,677	,099
	C_Aind	5,514	26,481	,028	,208	,836
	C_Bind	-35,081	26,325	-,182	-1,333	,188
3	(Constante)	-401,853	282,877		-1,421	,161
	Gênero	-,931	3,580	-,032	-,260	,796
	C_RP	-460,911	254,466	-4,390	-1,811	,075
	C_RT	315,015	180,075	2,114	1,749	,085
	C_RR	665,944	396,312	4,124	1,680	,098
	C_Bind	-32,599	23,281	-,169	-1,400	,167
4	(Constante)	-421,863	270,084		-1,562	,124
	C_RP	-479,330	242,501	-4,565	-1,977	,053
	C_RT	327,955	171,712	2,201	1,910	,061
	C_RR	693,527	378,872	4,295	1,831	,072
	C_Bind	-31,414	22,653	-,163	-1,387	,171
5	(Constante)	<b>-484,166</b>	268,329		-1,804	,076
	C_RP	<b>-526,419</b>	241,921	-5,014	-2,176	,033
	C_RT	<b>363,717</b>	171,044	2,441	2,126	,038
	C_RR	<b>764,473</b>	378,232	4,734	2,021	,048

a. Grupo de dentes = Dentes 11 e 21

b. Variável Dependente: Idade em anos

**Dentes 11 e 21: Variáveis excluídas<sup>a,b</sup>**

Modelo	Beta In	t	Sig.	Correlação parcial	Estatísticas de colinearidade
					Tolerância
2 C_Cind	,001 <sup>c</sup>	,009	,993	,001	,739
3 C_Cind	,001 <sup>d</sup>	,011	,991	,001	,739
C_Aind	,028 <sup>d</sup>	,208	,836	,027	,748
4 C_Cind	,000 <sup>e</sup>	-,001	,999	,000	,741
C_Aind	,017 <sup>e</sup>	,135	,893	,018	,803
Género	-,032 <sup>e</sup>	-,260	,796	-,034	,865
5 C_Cind	-,080 <sup>f</sup>	-,684	,496	-,088	,986
C_Aind	-,052 <sup>f</sup>	-,436	,664	-,056	,964
Género	,002 <sup>f</sup>	,014	,989	,002	,899
C_Bind	-,163 <sup>f</sup>	-1,387	,171	-,176	,954

a. Grupo de dentes = Dentes 11 e 21

b. Variável Dependente: Idade em anos

c. Preditores no Modelo: (Constante), C\_RR, Género, C\_RT, C\_Aind, C\_Bind, C\_RP

d. Preditores no Modelo: (Constante), C\_RR, Género, C\_RT, C\_Bind, C\_RP

e. Preditores no Modelo: (Constante), C\_RR, C\_RT, C\_Bind, C\_RP

f. Preditores no Modelo: (Constante), C\_RR, C\_RT, C\_RP

**Dentes 12 e 22: Variáveis Inseridas/Removidas<sup>a,b</sup>**

Modelo	Variáveis inseridas	Variáveis removidas	Método
1	C_Cind, C_RT, Género, C_RR, C_Aind, C_Bind, C_RP <sup>c</sup>	.	Inserir
2	.	C_RP	Backward (critério: Probabilidade de F a ser removido $\geq ,100$ ).
3	.	Género	Backward (critério: Probabilidade de F a ser removido $\geq ,100$ ).
4	.	C_RT	Backward (critério: Probabilidade de F a ser removido $\geq ,100$ ).

a. Grupo de dentes = Dentes 12 e 22

b. Variável Dependente: Idade em anos

c. Todas as variáveis solicitadas inseridas.

**Dentes 12 e 22: Resumo do modelo<sup>a</sup>**

Modelo	R	R quadrado	R quadrado ajustado	Erro padrão da estimativa
1	,485 <sup>b</sup>	,235	,160	12,973
2	,485 <sup>c</sup>	,235	,171	12,882
3	,484 <sup>d</sup>	,234	,182	12,804
4	,480 <sup>e</sup>	<b>,231</b>	,189	<b>12,743</b>

a. Grupo de dentes = Dentes 12 e 22

b. Preditores: (Constante), C\_Cind, C\_RT, Género, C\_RR, C\_Aind, C\_Bind, C\_RP

c. Preditores: (Constante), C\_Cind, C\_RT, Género, C\_RR, C\_Aind, C\_Bind

d. Preditores: (Constante), C\_Cind, C\_RT, C\_RR, C\_Aind, C\_Bind

e. Preditores: (Constante), C\_Cind, C\_RR, C\_Aind, C\_Bind

**Dentes 12 e 22: ANOVA<sup>a,b</sup>**

Modelo		Soma dos Quadrados	df	Quadrado Médio	Z	Sig.
1	Regressão	3674,481	7	524,926	3,119	,006 <sup>c</sup>
	Resíduo	11948,355	71	168,287		
	Total	15622,835	78			
2	Regressão	3674,405	6	612,401	3,690	,003 <sup>d</sup>
	Resíduo	11948,430	72	165,950		
	Total	15622,835	78			
3	Regressão	3655,534	5	731,107	4,460	,001 <sup>e</sup>
	Resíduo	11967,301	73	163,936		
	Total	15622,835	78			
4	Regressão	3606,062	4	901,515	5,552	,001 <sup>f</sup>
	Resíduo	12016,774	74	162,389		
	Total	15622,835	78			

a. Grupo de dentes = Dentes 12 e 22

b. Variável Dependente: Idade em anos

c. Preditores: (Constante), C\_Cind, C\_RT, Género, C\_RR, C\_Aind, C\_Bind, C\_RP

d. Preditores: (Constante), C\_Cind, C\_RT, Género, C\_RR, C\_Aind, C\_Bind

e. Preditores: (Constante), C\_Cind, C\_RT, C\_RR, C\_Aind, C\_Bind

f. Preditores: (Constante), C\_Cind, C\_RR, C\_Aind, C\_Bind

Estimativa da Idade pela proporção da área polpa/dente em Tomografia Computorizada de Feixe Cônico (CBCT):  
Aplicação Médico-Legal

**Dentes 12 e 22: Coeficientes<sup>a,b</sup>**

Modelo		Coeficientes não padronizados		Coeficientes padronizados	t	Sig.
		B	Erro Erro	Beta		
1	(Constante)	59,711	326,798		,183	,856
	Género	1,034	3,082	,037	,335	,738
	C_RP	-6,192	293,059	-,060	-,021	,983
	C_RT	16,713	219,665	,076	,076	,940
	C_RR	-32,512	435,164	-,205	-,075	,941
	C_Aind	-55,661	25,637	-,280	-2,171	,033
	C_Bind	77,135	32,542	,335	2,370	,020
	C_Cind	-69,898	31,239	-,323	-2,238	,028
2	(Constante)	66,566	38,670		1,721	,089
	Género	1,032	3,059	,037	,337	,737
	C_RT	12,099	23,380	,055	,517	,606
	C_RR	-41,699	18,177	-,263	-2,294	,025
	C_Aind	-55,710	25,354	-,281	-2,197	,031
	C_Bind	77,100	32,273	,335	2,389	,020
	C_Cind	-69,826	30,832	-,323	-2,265	,027
3	(Constante)	65,590	38,326		1,711	,091
	C_RT	12,725	23,164	,058	,549	,584
	C_RR	-40,488	17,711	-,256	-2,286	,025
	C_Aind	-57,059	24,884	-,287	-2,293	,025
	C_Bind	75,395	31,681	,328	2,380	,020
	C_Cind	-67,858	30,091	-,314	-2,255	,027
4	(Constante)	<b>84,756</b>	15,789		5,368	,000
	C_RR	<b>-41,578</b>	17,516	-,263	-2,374	,020
	C_Aind	<b>-54,754</b>	24,411	-,276	-2,243	,028
	C_Bind	<b>76,288</b>	31,490	,332	2,423	,018
	C_Cind	<b>-69,786</b>	29,744	-,323	-2,346	,022

a. Grupo de dentes = Dentes 12 e 22

b. Variável Dependente: Idade em anos



**Dentes 12 e 22: Variáveis excluídas<sup>a,b</sup>**

Modelo	Beta In	t	Sig.	Correlação parcial	Estatísticas de colinearidade
					Tolerância
2 C_RP	-,060 <sup>c</sup>	-,021	,983	-,003	,001
3 C_RP	-,029 <sup>d</sup>	-,010	,992	-,001	,001
Gênero	,037 <sup>d</sup>	,337	,737	,040	,905
4 C_RP	,164 <sup>e</sup>	,545	,587	,064	,116
Gênero	,041 <sup>e</sup>	,381	,704	,045	,911
C_RT	,058 <sup>e</sup>	,549	,584	,064	,955

a. Grupo de dentes = Dentes 12 e 22

b. Variável Dependente: Idade em anos

c. Preditores no Modelo: (Constante), C\_Cind, C\_RT, Gênero, C\_RR, C\_Aind, C\_Bind

d. Preditores no Modelo: (Constante), C\_Cind, C\_RT, C\_RR, C\_Aind, C\_Bind

e. Preditores no Modelo: (Constante), C\_Cind, C\_RR, C\_Aind, C\_Bind

**Dentes 13 e 23: Variáveis Inseridas/Removidas<sup>a,b</sup>**

Modelo	Variáveis inseridas	Variáveis removidas	Método
1	C_Cind, Género, C_RP, C_RT, C_Aind, C_Bind, C_RR <sup>c</sup>	.	Inserir
2	.	Género	Backward (critério: Probabilidade de F a ser removido >= ,100).
3	.	C_RR	Backward (critério: Probabilidade de F a ser removido >= ,100).
4	.	C_Aind	Backward (critério: Probabilidade de F a ser removido >= ,100).
5	.	C_RT	Backward (critério: Probabilidade de F a ser removido >= ,100).
6	.	C_Bind	Backward (critério: Probabilidade de F a ser removido >= ,100).

a. Grupo de dentes = Dentes 13 e 23

b. Variável Dependente: Idade em anos

c. Todas as variáveis solicitadas inseridas.

**Dentes 13 e 23: Resumo do modelo<sup>a</sup>**

Modelo	R	R quadrado	R quadrado ajustado	Erro padrão da estimativa
1	,445 <sup>b</sup>	,198	,150	12,644
2	,444 <sup>c</sup>	,197	,156	12,597
3	,443 <sup>d</sup>	,196	,162	12,552
4	,441 <sup>e</sup>	,195	,168	12,509
5	,431 <sup>f</sup>	,186	,165	12,528
6	,413 <sup>g</sup>	<b>,170</b>	,157	<b>12,592</b>

a. Grupo de dentes = Dentes 13 e 23

b. Preditores: (Constante), C\_Cind, Género, C\_RP, C\_RT, C\_Aind, C\_Bind, C\_RR

c. Preditores: (Constante), C\_Cind, C\_RP, C\_RT, C\_Aind, C\_Bind, C\_RR

d. Preditores: (Constante), C\_Cind, C\_RP, C\_RT, C\_Aind, C\_Bind

e. Preditores: (Constante), C\_Cind, C\_RP, C\_RT, C\_Bind

f. Preditores: (Constante), C\_Cind, C\_RP, C\_Bind

g. Preditores: (Constante), C\_Cind, C\_RP

**Dentes 13 e 23: ANOVA<sup>a,b</sup>**

Modelo		Soma dos Quadrados	df	Quadrado Médio	Z	Sig.
1	Regressão	4614,883	7	659,269	4,124	,000 <sup>c</sup>
	Resíduo	18703,965	117	159,863		
	Total	23318,848	124			
2	Regressão	4593,635	6	765,606	4,825	,000 <sup>d</sup>
	Resíduo	18725,213	118	158,688		
	Total	23318,848	124			
3	Regressão	4568,862	5	913,772	5,799	,000 <sup>e</sup>
	Resíduo	18749,986	119	157,563		
	Total	23318,848	124			
4	Regressão	4540,882	4	1135,220	7,255	,000 <sup>f</sup>
	Resíduo	18777,966	120	156,483		
	Total	23318,848	124			
5	Regressão	4327,628	3	1442,543	9,191	,000 <sup>g</sup>
	Resíduo	18991,220	121	156,952		
	Total	23318,848	124			
6	Regressão	3974,536	2	1987,268	12,533	,000 <sup>h</sup>
	Resíduo	19344,312	122	158,560		
	Total	23318,848	124			

a. Grupo de dentes = Dentes 13 e 23

b. Variável Dependente: Idade em anos

c. Preditores: (Constante), C\_Cind, Género, C\_RP, C\_RT, C\_Aind, C\_Bind, C\_RR

d. Preditores: (Constante), C\_Cind, C\_RP, C\_RT, C\_Aind, C\_Bind, C\_RR

e. Preditores: (Constante), C\_Cind, C\_RP, C\_RT, C\_Aind, C\_Bind

f. Preditores: (Constante), C\_Cind, C\_RP, C\_RT, C\_Bind

g. Preditores: (Constante), C\_Cind, C\_RP, C\_Bind

h. Preditores: (Constante), C\_Cind, C\_RP

Estimativa da Idade pela proporção da área polpa/dente em Tomografia Computorizada de Feixe Cônico (CBCT):  
Aplicação Médico-Legal

**Dentes 13 e 23: Coeficientes<sup>a,b</sup>**

Modelo		Coeficientes não padronizados		Coeficientes padronizados	t	Sig.
		B	Erro Erro	Beta		
1	(Constante)	-39,205	297,021		-,132	,895
	Género	-,839	2,302	-,031	-,365	,716
	C_RP	-127,742	265,938	-1,198	-,480	,632
	C_RT	94,251	202,719	,429	,465	,643
	C_RR	142,190	389,197	,883	,365	,716
	C_Aind	12,267	31,238	,041	,393	,695
	C_Bind	-37,134	24,702	-,167	-1,503	,135
	C_Cind	-71,612	23,894	-,293	-2,997	,003
2	(Constante)	-47,985	294,954		-,163	,871
	C_RP	-135,177	264,179	-1,268	-,512	,610
	C_RT	100,071	201,346	,455	,497	,620
	C_RR	152,782	386,683	,948	,395	,693
	C_Aind	13,391	30,971	,045	,432	,666
	C_Bind	-37,892	24,524	-,170	-1,545	,125
	C_Cind	-71,402	23,800	-,292	-3,000	,003
3	(Constante)	68,065	26,869		2,533	,013
	C_RP	-30,865	9,468	-,289	-3,260	,001
	C_RT	20,883	19,191	,095	1,088	,279
	C_Aind	12,998	30,846	,043	,421	,674
	C_Bind	-37,434	24,409	-,168	-1,534	,128
	C_Cind	-71,575	23,711	-,292	-3,019	,003
4	(Constante)	68,607	26,747		2,565	,012
	C_RP	-31,697	9,228	-,297	-3,435	,001
	C_RT	22,080	18,914	,100	1,167	,245
	C_Bind	-32,647	21,531	-,146	-1,516	,132
	C_Cind	-70,748	23,549	-,289	-3,004	,003
5	(Constante)	96,735	11,629		8,318	,000
	C_RP	-28,692	8,875	-,269	-3,233	,002
	C_Bind	-32,340	21,562	-,145	-1,500	,136
	C_Cind	-67,215	23,388	-,275	-2,874	,005
6	(Constante)	<b>90,821</b>	10,996		8,259	,000
	C_RP	<b>-26,662</b>	8,816	-,250	-3,024	,003
	C_Cind	<b>-85,065</b>	20,237	-,348	-4,204	,000

a. Grupo de dentes = Dentes 13 e 23

b. Variável Dependente: Idade em anos

**Dentes 13 e 23: Variáveis excluídas<sup>a,b</sup>**

Modelo		Beta In	t	Sig.	Correlação parcial	Estatísticas de colinearidade
						Tolerância
2	Género	-,031 <sup>c</sup>	-,365	,716	-,034	,976
3	Género	-,033 <sup>d</sup>	-,394	,694	-,036	,981
	C_RR	,948 <sup>d</sup>	,395	,693	,036	,001
4	Género	-,036 <sup>e</sup>	-,434	,665	-,040	,990
	C_RR	,915 <sup>e</sup>	,383	,703	,035	,001
	C_Aind	,043 <sup>e</sup>	,421	,674	,039	,635
5	Género	-,042 <sup>f</sup>	-,505	,615	-,046	,994
	C_RR	-,254 <sup>f</sup>	-1,125	,263	-,102	,132
	C_Aind	,060 <sup>f</sup>	,589	,557	,054	,649
	C_RT	,100 <sup>f</sup>	1,167	,245	,106	,906
6	Género	-,046 <sup>g</sup>	-,560	,576	-,051	,996
	C_RR	-,251 <sup>g</sup>	-1,106	,271	-,100	,132
	C_Aind	-,015 <sup>g</sup>	-,169	,866	-,015	,826
	C_RT	,099 <sup>g</sup>	1,143	,255	,103	,906
	C_Bind	-,145 <sup>g</sup>	-1,500	,136	-,135	,720

a. Grupo de dentes = Dentes 13 e 23

b. Variável Dependente: Idade em anos

c. Preditores no Modelo: (Constante), C\_Cind, C\_RP, C\_RT, C\_Aind, C\_Bind, C\_RR

d. Preditores no Modelo: (Constante), C\_Cind, C\_RP, C\_RT, C\_Aind, C\_Bind

e. Preditores no Modelo: (Constante), C\_Cind, C\_RP, C\_RT, C\_Bind

f. Preditores no Modelo: (Constante), C\_Cind, C\_RP, C\_Bind

g. Preditores no Modelo: (Constante), C\_Cind, C\_RP

**Dentes 33 e 43: Variáveis Inseridas/Removidas<sup>a,b</sup>**

Modelo	Variáveis inseridas	Variáveis removidas	Método
1	C_Cind, C_RT, C_RR, Género, C_Aind, C_Bind, C_RP <sup>c</sup>	.	Inserir
2	.	C_Bind	Backward (critério: Probabilidade de F a ser removido >= ,100).
3	.	C_RR	Backward (critério: Probabilidade de F a ser removido >= ,100).
4	.	C_Cind	Backward (critério: Probabilidade de F a ser removido >= ,100).
5	.	C_RT	Backward (critério: Probabilidade de F a ser removido >= ,100).
6	.	C_RP	Backward (critério: Probabilidade de F a ser removido >= ,100).

a. Grupo de dentes = Dentes 33 e 43

b. Variável Dependente: Idade em anos

c. Todas as variáveis solicitadas inseridas.

**Dentes 33 e 43: Resumo do modelo<sup>a</sup>**

Modelo	R	R quadrado	R quadrado ajustado	Erro padrão da estimativa
1	,308 <sup>b</sup>	,095	,019	13,881
2	,307 <sup>c</sup>	,094	,031	13,802
3	,306 <sup>d</sup>	,094	,041	13,728
4	,301 <sup>e</sup>	,091	,049	13,672
5	,290 <sup>f</sup>	,084	,053	13,641
6	,269 <sup>g</sup>	<b>,073</b>	,052	<b>13,650</b>

a. Grupo de dentes = Dentes 33 e 43

b. Preditores: (Constante), C\_Cind, C\_RT, C\_RR, Género, C\_Aind, C\_Bind, C\_RP

c. Preditores: (Constante), C\_Cind, C\_RT, C\_RR, Género, C\_Aind, C\_RP

d. Preditores: (Constante), C\_Cind, C\_RT, Género, C\_Aind, C\_RP

e. Preditores: (Constante), C\_RT, Género, C\_Aind, C\_RP

f. Preditores: (Constante), Género, C\_Aind, C\_RP

g. Preditores: (Constante), Género, C\_Aind



**Dentes 33 e 43: ANOVA<sup>a,b</sup>**

Modelo		Soma dos Quadrados	df	Quadrado Médio	Z	Sig.
1	Regressão	1696,890	7	242,413	1,258	,281 <sup>c</sup>
	Resíduo	16184,327	84	192,671		
	Total	17881,217	91			
2	Regressão	1689,163	6	281,527	1,478	,195 <sup>d</sup>
	Resíduo	16192,054	85	190,495		
	Total	17881,217	91			
3	Regressão	1674,397	5	334,879	1,777	,126 <sup>e</sup>
	Resíduo	16206,820	86	188,451		
	Total	17881,217	91			
4	Regressão	1618,614	4	404,654	2,165	,080 <sup>f</sup>
	Resíduo	16262,603	87	186,926		
	Total	17881,217	91			
5	Regressão	1507,591	3	502,530	2,701	,050 <sup>g</sup>
	Resíduo	16373,627	88	186,064		
	Total	17881,217	91			
6	Regressão	1298,084	2	649,042	3,483	,035 <sup>h</sup>
	Resíduo	16583,133	89	186,327		
	Total	17881,217	91			

a. Grupo de dentes = Dentes 33 e 43

b. Variável Dependente: Idade em anos

c. Preditores: (Constante), C\_Cind, C\_RT, C\_RR, Género, C\_Aind, C\_Bind, C\_RP

d. Preditores: (Constante), C\_Cind, C\_RT, C\_RR, Género, C\_Aind, C\_RP

e. Preditores: (Constante), C\_Cind, C\_RT, Género, C\_Aind, C\_RP

f. Preditores: (Constante), C\_RT, Género, C\_Aind, C\_RP

g. Preditores: (Constante), Género, C\_Aind, C\_RP

h. Preditores: (Constante), Género, C\_Aind

Estimativa da Idade pela proporção da área polpa/dente em Tomografia Computorizada de Feixe Cônico (CBCT):  
Aplicação Médico-Legal

**Dentes 33 e 43: Coeficientes<sup>a,b</sup>**

Modelo		Coeficientes não padronizados		Coeficientes padronizados	t	Sig.
		B	Erro Erro	Beta		
1	(Constante)	-8,712	201,618		-,043	,966
	Género	-4,715	3,073	-,168	-1,534	,129
	C_RP	-68,784	190,306	-,835	-,361	,719
	C_RT	54,341	132,377	,304	,410	,682
	C_RR	86,659	288,081	,664	,301	,764
	C_Aind	-50,459	29,658	-,237	-1,701	,093
	C_Bind	-7,658	38,241	-,035	-,200	,842
	C_Cind	18,767	31,582	,082	,594	,554
2	(Constante)	-3,939	199,070		-,020	,984
	Género	-4,687	3,052	-,167	-1,535	,128
	C_RP	-62,498	186,637	-,759	-,335	,739
	C_RT	49,957	129,815	,280	,385	,701
	C_RR	79,056	283,951	,605	,278	,781
	C_Aind	-53,244	26,047	-,250	-2,044	,044
	C_Cind	15,948	28,110	,070	,567	,572
3	(Constante)	50,889	28,953		1,758	,082
	Género	-4,739	3,030	-,169	-1,564	,122
	C_RP	-10,598	9,064	-,129	-1,169	,246
	C_RT	14,238	19,704	,080	,723	,472
	C_Aind	-54,042	25,750	-,254	-2,099	,039
	C_Cind	15,128	27,805	,066	,544	,588
4	(Constante)	52,450	28,693		1,828	,071
	Género	-4,860	3,010	-,173	-1,615	,110
	C_RP	-11,181	8,964	-,136	-1,247	,216
	C_RT	15,077	19,564	,084	,771	,443
	C_Aind	-46,966	22,134	-,221	-2,122	,037
5	(Constante)	73,021	10,503		6,952	,000
	Género	-5,378	2,927	-,191	-1,837	,070
	C_RP	-9,009	8,490	-,109	-1,061	,292
	C_Aind	-47,093	22,082	-,221	-2,133	,036
6	(Constante)	<b>63,380</b>	5,274		12,018	,000
	Género	<b>-5,723</b>	2,911	-,203	-1,966	,052
	C_Aind	<b>-45,449</b>	22,043	-,213	-2,062	,042

a. Grupo de dentes = Dentes 33 e 43

b. Variável Dependente: Idade em anos

**Dentes 33 e 43: Variáveis excluídas<sup>a,b</sup>**

Modelo	Beta In	t	Sig.	Correlação parcial	Estatísticas de colinearidade
					Tolerância
2 C_Bind	-,035 <sup>c</sup>	-,200	,842	-,022	,347
3 C_Bind	-,028 <sup>d</sup>	-,163	,871	-,018	,353
C_RR	,605 <sup>d</sup>	,278	,781	,030	,002
4 C_Bind	,014 <sup>e</sup>	,089	,930	,010	,435
C_RR	,476 <sup>e</sup>	,221	,826	,024	,002
C_Cind	,066 <sup>e</sup>	,544	,588	,059	,709
5 C_Bind	,041 <sup>f</sup>	,271	,787	,029	,462
C_RR	-,238 <sup>f</sup>	-,727	,469	-,078	,098
C_Cind	,073 <sup>f</sup>	,604	,547	,065	,713
C_RT	,084 <sup>f</sup>	,771	,443	,082	,872
6 C_Bind	,101 <sup>g</sup>	,789	,432	,084	,640
C_RR	-,129 <sup>g</sup>	-1,241	,218	-,131	,960
C_Cind	,085 <sup>g</sup>	,706	,482	,075	,720
C_RT	,041 <sup>g</sup>	,397	,692	,042	,967
C_RP	-,109 <sup>g</sup>	-1,061	,292	-,112	,980

a. Grupo de dentes = Dentes 33 e 43

b. Variável Dependente: Idade em anos

c. Preditores no Modelo: (Constante), C\_Cind, C\_RT, C\_RR, Género, C\_Aind, C\_RP

d. Preditores no Modelo: (Constante), C\_Cind, C\_RT, Género, C\_Aind, C\_RP

e. Preditores no Modelo: (Constante), C\_RT, Género, C\_Aind, C\_RP

f. Preditores no Modelo: (Constante), Género, C\_Aind, C\_RP

g. Preditores no Modelo: (Constante), Género, C\_Aind

## Variáveis, corte sagital

**Dentes 11 e 21: Variáveis Inseridas/Removidas<sup>a,b</sup>**

Modelo	Variáveis inseridas	Variáveis removidas	Método
1	S_Cind, S_RP, Género, S_Aind, S_RT, S_Bind, S_RR <sup>c</sup>	.	Inserir
2	.	Género	Backward (critério: Probabilidade de F a ser removido $\geq ,100$ ).
3	.	S_Bind	Backward (critério: Probabilidade de F a ser removido $\geq ,100$ ).
4	.	S_RT	Backward (critério: Probabilidade de F a ser removido $\geq ,100$ ).
5	.	S_RR	Backward (critério: Probabilidade de F a ser removido $\geq ,100$ ).
6	.	S_Aind	Backward (critério: Probabilidade de F a ser removido $\geq ,100$ ).

a. Grupo de dentes = Dentes 11 e 21

b. Variável Dependente: Idade em anos

c. Todas as variáveis solicitadas inseridas.

**Dentes 11 e 21: Resumo do modelo<sup>a</sup>**

Modelo	R	R quadrado	R quadrado ajustado	Erro padrão da estimativa
1	,681 <sup>b</sup>	,463	,397	10,525
2	,680 <sup>c</sup>	,462	,407	10,442
3	,674 <sup>d</sup>	,454	,408	10,433
4	,662 <sup>e</sup>	,438	,401	10,496
5	,651 <sup>f</sup>	,424	,396	10,536
6	,642 <sup>g</sup>	<b>,412</b>	,393	<b>10,565</b>

a. Grupo de dentes = Dentes 11 e 21

b. Preditores: (Constante), S\_Cind, S\_RP, Género, S\_Aind, S\_RT, S\_Bind, S\_RR

c. Preditores: (Constante), S\_Cind, S\_RP, S\_Aind, S\_RT, S\_Bind, S\_RR

d. Preditores: (Constante), S\_Cind, S\_RP, S\_Aind, S\_RT, S\_RR

e. Preditores: (Constante), S\_Cind, S\_RP, S\_Aind, S\_RR

f. Preditores: (Constante), S\_Cind, S\_RP, S\_Aind

g. Preditores: (Constante), S\_Cind, S\_RP

**Dentes 11 e 21: ANOVA<sup>a,b</sup>**

Modelo		Soma dos Quadrados	df	Quadrado Médio	Z	Sig.
1	Regressão	5447,033	7	778,148	7,025	,000 <sup>c</sup>
	Resíduo	6313,983	57	110,772		
	Total	11761,015	64			
2	Regressão	5437,494	6	906,249	8,312	,000 <sup>d</sup>
	Resíduo	6323,521	58	109,026		
	Total	11761,015	64			
3	Regressão	5338,863	5	1067,773	9,810	,000 <sup>e</sup>
	Resíduo	6422,152	59	108,850		
	Total	11761,015	64			
4	Regressão	5151,677	4	1287,919	11,692	,000 <sup>f</sup>
	Resíduo	6609,338	60	110,156		
	Total	11761,015	64			
5	Regressão	4989,124	3	1663,041	14,980	,000 <sup>g</sup>
	Resíduo	6771,892	61	111,015		
	Total	11761,015	64			
6	Regressão	4840,982	2	2420,491	21,686	,000 <sup>h</sup>
	Resíduo	6920,033	62	111,613		
	Total	11761,015	64			

a. Grupo de dentes = Dentes 11 e 21

b. Variável Dependente: Idade em anos

c. Preditores: (Constante), S\_Cind, S\_RP, Género, S\_Aind, S\_RT, S\_Bind, S\_RR

d. Preditores: (Constante), S\_Cind, S\_RP, S\_Aind, S\_RT, S\_Bind, S\_RR

e. Preditores: (Constante), S\_Cind, S\_RP, S\_Aind, S\_RT, S\_RR

f. Preditores: (Constante), S\_Cind, S\_RP, S\_Aind, S\_RR

g. Preditores: (Constante), S\_Cind, S\_RP, S\_Aind

h. Preditores: (Constante), S\_Cind, S\_RP

Estimativa da Idade pela proporção da área polpa/dente em Tomografia Computorizada de Feixe Cônico (CBCT):  
Aplicação Médico-Legal

**Dentes 11 e 21: Coeficientes<sup>a,b</sup>**

Modelo		Coeficientes não padronizados		Coeficientes padronizados	t	Sig.
		B	Erro Erro	Beta		
1	(Constante)	-146,524	214,724		-,682	,498
	Género	,859	2,927	,030	,293	,770
	S_RP	-264,330	165,224	-3,094	-1,600	,115
	S_RT	149,869	119,748	1,409	1,252	,216
	S_RR	403,543	295,842	2,186	1,364	,178
	S_Aind	-29,534	28,281	-,139	-1,044	,301
	S_Bind	-34,603	37,775	-,127	-,916	,364
	S_Cind	-54,729	35,145	-,199	-1,557	,125
2	(Constante)	-137,008	210,582		-,651	,518
	S_RP	-256,308	161,658	-3,000	-1,585	,118
	S_RT	144,183	117,236	1,356	1,230	,224
	S_RR	390,229	290,030	2,114	1,345	,184
	S_Aind	-28,809	27,950	-,136	-1,031	,307
	S_Bind	-35,522	37,347	-,131	-,951	,345
	S_Cind	-53,709	34,696	-,196	-1,548	,127
3	(Constante)	-155,881	209,476		-,744	,460
	S_RP	-269,432	160,938	-3,154	-1,674	,099
	S_RT	153,120	116,764	1,440	1,311	,195
	S_RR	414,858	288,638	2,247	1,437	,156
	S_Aind	-40,808	24,921	-,193	-1,638	,107
	S_Cind	-67,993	31,252	-,248	-2,176	,034
4	(Constante)	118,241	13,657		8,658	,000
	S_RP	-59,227	14,456	-,693	-4,097	,000
	S_RR	38,626	31,797	,209	1,215	,229
	S_Aind	-35,027	24,675	-,165	-1,420	,161
	S_Cind	-74,508	31,039	-,271	-2,400	,019
5	(Constante)	125,405	12,366		10,141	,000
	S_RP	-44,833	8,312	-,525	-5,394	,000
	S_Aind	-27,761	24,032	-,131	-1,155	,253
	S_Cind	-74,988	31,157	-,273	-2,407	,019
6	(Constante)	<b>122,790</b>	12,190		10,073	,000
	S_RP	<b>-45,001</b>	8,333	-,527	-5,400	,000
	S_Cind	<b>-93,512</b>	26,786	-,341	-3,491	,001

a. Grupo de dentes = Dentes 11 e 21

b. Variável Dependente: Idade em anos

**Dentes 11 e 21: Variáveis excluídas<sup>a,b</sup>**

Modelo	Beta In	t	Sig.	Correlação parcial	Estatísticas de colinearidade
					Tolerância
2 Género	,030 <sup>c</sup>	,293	,770	,039	,909
3 Género	,038 <sup>d</sup>	,371	,712	,049	,916
S_Bind	-,131 <sup>d</sup>	-,951	,345	-,124	,492
4 Género	,016 <sup>e</sup>	,163	,871	,021	,938
S_Bind	-,144 <sup>e</sup>	-1,049	,299	-,135	,495
S_RT	1,440 <sup>e</sup>	1,311	,195	,168	,008
5 Género	,026 <sup>f</sup>	,254	,801	,033	,944
S_Bind	-,158 <sup>f</sup>	-1,149	,255	-,147	,499
S_RT	-,129 <sup>f</sup>	-1,062	,293	-,136	,640
S_RR	,209 <sup>f</sup>	1,215	,229	,155	,316
6 Género	,020 <sup>g</sup>	,198	,844	,025	,946
S_Bind	-,190 <sup>g</sup>	-1,550	,126	-,195	,619
S_RT	-,092 <sup>g</sup>	-,773	,443	-,098	,673
S_RR	,150 <sup>g</sup>	,890	,377	,113	,335
S_Aind	-,131 <sup>g</sup>	-1,155	,253	-,146	,734

a. Grupo de dentes = Dentes 11 e 21

b. Variável Dependente: Idade em anos

c. Preditores no Modelo: (Constante), S\_Cind, S\_RP, S\_Aind, S\_RT, S\_Bind, S\_RR

d. Preditores no Modelo: (Constante), S\_Cind, S\_RP, S\_Aind, S\_RT, S\_RR

e. Preditores no Modelo: (Constante), S\_Cind, S\_RP, S\_Aind, S\_RR

f. Preditores no Modelo: (Constante), S\_Cind, S\_RP, S\_Aind

g. Preditores no Modelo: (Constante), S\_Cind, S\_RP



**Dentes 12 e 22: Variáveis Inseridas/Removidas<sup>a,b</sup>**

Modelo	Variáveis inseridas	Variáveis removidas	Método
1	S_Cind, Género, S_RP, S_Aind, S_RT, S_Bind, S_RR <sup>c</sup>		Inserir
2		Género	Backward (critério: Probabilidade de F a ser removido $\geq ,100$ ).
3		S_Bind	Backward (critério: Probabilidade de F a ser removido $\geq ,100$ ).
4		S_Cind	Backward (critério: Probabilidade de F a ser removido $\geq ,100$ ).

a. Grupo de dentes = Dentes 12 e 22

b. Variável Dependente: Idade em anos

c. Todas as variáveis solicitadas inseridas.

**Dentes 12 e 22: Resumo do modelo<sup>a</sup>**

Modelo	R	R quadrado	R quadrado ajustado	Erro padrão da estimativa
1	,570 <sup>b</sup>	,325	,258	12,187
2	,570 <sup>c</sup>	,325	,269	12,103
3	,569 <sup>d</sup>	,324	,278	12,027
4	,551 <sup>e</sup>	<b>,304</b>	,266	<b>12,121</b>

a. Grupo de dentes = Dentes 12 e 22

b. Preditores: (Constante), S\_Cind, Género, S\_RP, S\_Aind, S\_RT, S\_Bind, S\_RR

c. Preditores: (Constante), S\_Cind, S\_RP, S\_Aind, S\_RT, S\_Bind, S\_RR

d. Preditores: (Constante), S\_Cind, S\_RP, S\_Aind, S\_RT, S\_RR

e. Preditores: (Constante), S\_RP, S\_Aind, S\_RT, S\_RR

**Dentes 12 e 22: ANOVA<sup>a,b</sup>**

Modelo		Soma dos Quadrados	df	Quadrado Médio	Z	Sig.
1	Regressão	5077,804	7	725,401	4,884	,000 <sup>c</sup>
	Resíduo	10545,032	71	148,522		
	Total	15622,835	78			
2	Regressão	5075,388	6	845,898	5,774	,000 <sup>d</sup>
	Resíduo	10547,447	72	146,492		
	Total	15622,835	78			
3	Regressão	5064,259	5	1012,852	7,003	,000 <sup>e</sup>
	Resíduo	10558,577	73	144,638		
	Total	15622,835	78			
4	Regressão	4750,950	4	1187,737	8,084	,000 <sup>f</sup>
	Resíduo	10871,886	74	146,917		
	Total	15622,835	78			

a. Grupo de dentes = Dentes 12 e 22

b. Variável Dependente: Idade em anos

c. Preditores: (Constante), S\_Cind, Género, S\_RP, S\_Aind, S\_RT, S\_Bind, S\_RR

d. Preditores: (Constante), S\_Cind, S\_RP, S\_Aind, S\_RT, S\_Bind, S\_RR

e. Preditores: (Constante), S\_Cind, S\_RP, S\_Aind, S\_RT, S\_RR

f. Preditores: (Constante), S\_RP, S\_Aind, S\_RT, S\_RR

Estimativa da Idade pela proporção da área polpa/dente em Tomografia Computorizada de Feixe Cônico (CBCT):  
Aplicação Médico-Legal

**Dentes 12 e 22: Coeficientes<sup>a,b</sup>**

Modelo		Coeficientes não padronizados		Coeficientes padronizados	t	Sig.
		B	Erro Erro	Beta		
1	(Constante)	-361,332	262,851		-1,375	,174
	Género	,354	2,773	,013	,128	,899
	S_RP	-361,637	205,212	-3,961	-1,762	,082
	S_RT	266,855	150,530	1,929	1,773	,081
	S_RR	580,888	357,306	2,790	1,626	,108
	S_Aind	-67,521	23,244	-,370	-2,905	,005
	S_Bind	7,986	29,976	,036	,266	,791
	S_Cind	-43,063	30,005	-,174	-1,435	,156
2	(Constante)	-360,325	260,932		-1,381	,172
	S_RP	-360,767	203,693	-3,951	-1,771	,081
	S_RT	266,334	149,443	1,925	1,782	,079
	S_RR	579,413	354,670	2,783	1,634	,107
	S_Aind	-67,417	23,071	-,369	-2,922	,005
	S_Bind	8,194	29,726	,037	,276	,784
	S_Cind	-43,285	29,749	-,175	-1,455	,150
3	(Constante)	-372,572	255,488		-1,458	,149
	S_RP	-371,059	198,969	-4,064	-1,865	,066
	S_RT	273,581	146,178	1,977	1,872	,065
	S_RR	597,255	346,499	2,869	1,724	,089
	S_Aind	-64,102	19,562	-,351	-3,277	,002
	S_Cind	-40,108	27,251	-,162	-1,472	,145
4	(Constante)	<b>-471,280</b>	248,463		-1,897	,062
	S_RP	<b>-443,654</b>	194,272	-4,859	-2,284	,025
	S_RT	<b>326,338</b>	142,827	2,358	2,285	,025
	S_RR	<b>726,234</b>	337,865	3,488	2,149	,035
	S_Aind	<b>-75,834</b>	18,004	-,415	-4,212	,000

a. Grupo de dentes = Dentes 12 e 22

b. Variável Dependente: Idade em anos

**Dentes 12 e 22: Variáveis excluídas<sup>a,b</sup>**

Modelo		Beta In	t	Sig.	Correlação parcial	Estatísticas de colinearidade
						Tolerância
2	Género	,013 <sup>c</sup>	,128	,899	,015	,985
3	Género	,014 <sup>d</sup>	,143	,887	,017	,988
	S_Bind	,037 <sup>d</sup>	,276	,784	,032	,523
4	Género	,020 <sup>e</sup>	,200	,842	,023	,990
	S_Bind	-,039 <sup>e</sup>	-,310	,757	-,036	,615
	S_Cind	-,162 <sup>e</sup>	-1,472	,145	-,170	,762

a. Grupo de dentes = Dentes 12 e 22

b. Variável Dependente: Idade em anos

c. Preditores no Modelo: (Constante), S\_Cind, S\_RP, S\_Aind, S\_RT, S\_Bind, S\_RR

d. Preditores no Modelo: (Constante), S\_Cind, S\_RP, S\_Aind, S\_RT, S\_RR

e. Preditores no Modelo: (Constante), S\_RP, S\_Aind, S\_RT, S\_RR

**Dentes 13 e 23: Variáveis Inseridas/Removidas<sup>a,b</sup>**

Modelo	Variáveis inseridas	Variáveis removidas	Método
1	S_Cind, S_RP, Género, S_Aind, S_RT, S_Bind, S_RR <sup>c</sup>	.	Inserir
2	.	S_Cind	Backward (critério: Probabilidade de F a ser removido $\geq ,100$ ).
3	.	S_RP	Backward (critério: Probabilidade de F a ser removido $\geq ,100$ ).
4	.	S_Aind	Backward (critério: Probabilidade de F a ser removido $\geq ,100$ ).
5	.	Género	Backward (critério: Probabilidade de F a ser removido $\geq ,100$ ).
6	.	S_RT	Backward (critério: Probabilidade de F a ser removido $\geq ,100$ ).

a. Grupo de dentes = Dentes 13 e 23

b. Variável Dependente: Idade em anos

c. Todas as variáveis solicitadas inseridas.

**Dentes 13 e 23: Resumo do modelo<sup>a</sup>**

Modelo	R	R quadrado	R quadrado ajustado	Erro padrão da estimativa
1	,367 <sup>b</sup>	,134	,083	13,134
2	,367 <sup>c</sup>	,134	,090	13,079
3	,366 <sup>d</sup>	,134	,098	13,025
4	,366 <sup>e</sup>	,134	,105	12,973
5	,360 <sup>f</sup>	,129	,108	12,952
6	,343 <sup>g</sup>	<b>,118</b>	,104	<b>12,984</b>

a. Grupo de dentes = Dentes 13 e 23

b. Preditores: (Constante), S\_Cind, S\_RP, Género, S\_Aind, S\_RT, S\_Bind, S\_RR

c. Preditores: (Constante), S\_RP, Género, S\_Aind, S\_RT, S\_Bind, S\_RR

d. Preditores: (Constante), Género, S\_Aind, S\_RT, S\_Bind, S\_RR

e. Preditores: (Constante), Género, S\_RT, S\_Bind, S\_RR

f. Preditores: (Constante), S\_RT, S\_Bind, S\_RR

g. Preditores: (Constante), S\_Bind, S\_RR

**Dentes 13 e 23: ANOVA<sup>a,b</sup>**

Modelo		Soma dos Quadrados	df	Quadrado Médio	Z	Sig.
1	Regressão	3135,217	7	447,888	2,596	,016 <sup>c</sup>
	Resíduo	20183,631	117	172,510		
	Total	23318,848	124			
2	Regressão	3135,217	6	522,536	3,055	,008 <sup>d</sup>
	Resíduo	20183,631	118	171,048		
	Total	23318,848	124			
3	Regressão	3129,446	5	625,889	3,689	,004 <sup>e</sup>
	Resíduo	20189,402	119	169,659		
	Total	23318,848	124			
4	Regressão	3122,751	4	780,688	4,639	,002 <sup>f</sup>
	Resíduo	20196,097	120	168,301		
	Total	23318,848	124			
5	Regressão	3019,262	3	1006,421	5,999	,001 <sup>g</sup>
	Resíduo	20299,586	121	167,765		
	Total	23318,848	124			
6	Regressão	2751,119	2	1375,560	8,159	,000 <sup>h</sup>
	Resíduo	20567,729	122	168,588		
	Total	23318,848	124			

a. Grupo de dentes = Dentes 13 e 23

b. Variável Dependente: Idade em anos

c. Preditores: (Constante), S\_Cind, S\_RP, Género, S\_Aind, S\_RT, S\_Bind, S\_RR

d. Preditores: (Constante), S\_RP, Género, S\_Aind, S\_RT, S\_Bind, S\_RR

e. Preditores: (Constante), Género, S\_Aind, S\_RT, S\_Bind, S\_RR

f. Preditores: (Constante), Género, S\_RT, S\_Bind, S\_RR

g. Preditores: (Constante), S\_RT, S\_Bind, S\_RR

h. Preditores: (Constante), S\_Bind, S\_RR

Estimativa da Idade pela proporção da área polpa/dente em Tomografia Computorizada de Feixe Cônico (CBCT):  
Aplicação Médico-Legal

**Dentes 13 e 23: Coeficientes<sup>a,b</sup>**

Modelo		Coeficientes não padronizados		Coeficientes padronizados	t	Sig.
		B	Erro Erro	Beta		
1	(Constante)	150,317	220,179		,683	,496
	Género	-1,778	2,470	-,065	-,720	,473
	S_RP	32,718	179,278	,310	,183	,856
	S_RT	-41,972	137,388	-,254	-,305	,761
	S_RR	-91,441	288,393	-,486	-,317	,752
	S_Aind	3,861	19,210	,019	,201	,841
	S_Bind	-43,222	16,988	-,273	-2,544	,012
	S_Cind	,010	23,904	,000	,000	1,000
2	(Constante)	150,312	218,917		,687	,494
	Género	-1,777	2,440	-,065	-,728	,468
	S_RP	32,713	178,090	,310	,184	,855
	S_RT	-41,968	136,518	-,254	-,307	,759
	S_RR	-91,433	286,576	-,486	-,319	,750
	S_Aind	3,862	18,929	,019	,204	,839
	S_Bind	-43,219	14,915	-,273	-2,898	,004
3	(Constante)	110,393	26,297		4,198	,000
	Género	-1,864	2,384	-,068	-,782	,436
	S_RT	-17,037	14,665	-,103	-1,162	,248
	S_RR	-38,879	16,456	-,207	-2,363	,020
	S_Aind	3,743	18,841	,019	,199	,843
	S_Bind	-43,451	14,802	-,275	-2,936	,004
4	(Constante)	110,088	26,147		4,210	,000
	Género	-1,862	2,375	-,068	-,784	,434
	S_RT	-16,571	14,418	-,100	-1,149	,253
	S_RR	-38,191	16,022	-,203	-2,384	,019
	S_Bind	-42,426	13,818	-,268	-3,070	,003
5	(Constante)	111,659	26,029		4,290	,000
	S_RT	-18,043	14,272	-,109	-1,264	,209
	S_RR	-38,828	15,976	-,206	-2,430	,017
	S_Bind	-40,806	13,641	-,258	-2,991	,003
6	(Constante)	<b>82,781</b>	12,510		6,617	,000
	S_RR	<b>-37,746</b>	15,992	-,201	-2,360	,020
	S_Bind	<b>-43,978</b>	13,441	-,278	-3,272	,001

a. Grupo de dentes = Dentes 13 e 23

b. Variável Dependente: Idade em anos



**Dentes 13 e 23: Variáveis excluídas<sup>a,b</sup>**

Modelo	Beta In	t	Sig.	Correlação parcial	Estatísticas de colinearidade
					Tolerância
2 S_Cind	,000 <sup>c</sup>	,000	1,000	,000	,691
3 S_Cind	-,001 <sup>d</sup>	-,012	,990	-,001	,694
S_RP	,310 <sup>d</sup>	,184	,855	,017	,003
4 S_Cind	,002 <sup>e</sup>	,017	,987	,002	,709
S_RP	,299 <sup>e</sup>	,178	,859	,016	,003
S_Aind	,019 <sup>e</sup>	,199	,843	,018	,806
5 S_Cind	-,009 <sup>f</sup>	-,094	,926	-,009	,723
S_RP	,536 <sup>f</sup>	,325	,745	,030	,003
S_Aind	,019 <sup>f</sup>	,196	,845	,018	,806
Género	-,068 <sup>f</sup>	-,784	,434	-,071	,965
6 S_Cind	-,010 <sup>g</sup>	-,100	,921	-,009	,723
S_RP	-,217 <sup>g</sup>	-1,221	,224	-,110	,229
S_Aind	-,001 <sup>g</sup>	-,010	,992	-,001	,828
Género	-,081 <sup>g</sup>	-,941	,349	-,085	,982
S_RT	-,109 <sup>g</sup>	-1,264	,209	-,114	,964

a. Grupo de dentes = Dentes 13 e 23

b. Variável Dependente: Idade em anos

c. Preditores no Modelo: (Constante), S\_RP, Género, S\_Aind, S\_RT, S\_Bind, S\_RR

d. Preditores no Modelo: (Constante), Género, S\_Aind, S\_RT, S\_Bind, S\_RR

e. Preditores no Modelo: (Constante), Género, S\_RT, S\_Bind, S\_RR

f. Preditores no Modelo: (Constante), S\_RT, S\_Bind, S\_RR

g. Preditores no Modelo: (Constante), S\_Bind, S\_RR

**Dentes 33 e 43: Variáveis Inseridas/Removidas<sup>a,b</sup>**

Modelo	Variáveis inseridas	Variáveis removidas	Método
1	S_Cind, S_RP, Género, S_RT, S_Aind, S_Bind, S_RR <sup>c</sup>	.	Inserir
2	.	S_RT	Backward (critério: Probabilidade de F a ser removido $\geq ,100$ ).
3	.	S_RP	Backward (critério: Probabilidade de F a ser removido $\geq ,100$ ).
4	.	S_Aind	Backward (critério: Probabilidade de F a ser removido $\geq ,100$ ).
5	.	S_Cind	Backward (critério: Probabilidade de F a ser removido $\geq ,100$ ).

a. Grupo de dentes = Dentes 33 e 43

b. Variável Dependente: Idade em anos

c. Todas as variáveis solicitadas inseridas.

**Dentes 33 e 43: Resumo do modelo<sup>a</sup>**

Modelo	R	R quadrado	R quadrado ajustado	Erro padrão da estimativa
1	,433 <sup>b</sup>	,187	,120	13,152
2	,433 <sup>c</sup>	,187	,130	13,076
3	,431 <sup>d</sup>	,186	,139	13,011
4	,422 <sup>e</sup>	,178	,140	13,000
5	,401 <sup>f</sup>	<b>,160</b>	,132	<b>13,061</b>

a. Grupo de dentes = Dentes 33 e 43

b. Preditores: (Constante), S\_Cind, S\_RP, Género, S\_RT, S\_Aind, S\_Bind, S\_RR

c. Preditores: (Constante), S\_Cind, S\_RP, Género, S\_Aind, S\_Bind, S\_RR

d. Preditores: (Constante), S\_Cind, Género, S\_Aind, S\_Bind, S\_RR

e. Preditores: (Constante), S\_Cind, Género, S\_Bind, S\_RR

f. Preditores: (Constante), Género, S\_Bind, S\_RR

**Dentes 33 e 43: ANOVA<sup>a,b</sup>**

Modelo		Soma dos Quadrados	df	Quadrado Médio	Z	Sig.
1	Regressão	3350,844	7	478,692	2,767	,012 <sup>c</sup>
	Resíduo	14530,373	84	172,981		
	Total	17881,217	91			
2	Regressão	3348,385	6	558,064	3,264	,006 <sup>d</sup>
	Resíduo	14532,832	85	170,974		
	Total	17881,217	91			
3	Regressão	3323,045	5	664,609	3,926	,003 <sup>e</sup>
	Resíduo	14558,172	86	169,281		
	Total	17881,217	91			
4	Regressão	3177,819	4	794,455	4,701	,002 <sup>f</sup>
	Resíduo	14703,398	87	169,005		
	Total	17881,217	91			
5	Regressão	2869,904	3	956,635	5,608	<b>,001<sup>g</sup></b>
	Resíduo	15011,313	88	170,583		
	Total	17881,217	91			

a. Grupo de dentes = Dentes 33 e 43

b. Variável Dependente: Idade em anos

c. Preditores: (Constante), S\_Cind, S\_RP, Género, S\_RT, S\_Aind, S\_Bind, S\_RR

d. Preditores: (Constante), S\_Cind, S\_RP, Género, S\_Aind, S\_Bind, S\_RR

e. Preditores: (Constante), S\_Cind, Género, S\_Aind, S\_Bind, S\_RR

f. Preditores: (Constante), S\_Cind, Género, S\_Bind, S\_RR

g. Preditores: (Constante), Género, S\_Bind, S\_RR

Estimativa da Idade pela proporção da área polpa/dente em Tomografia Computorizada de Feixe Cônico (CBCT):  
Aplicação Médico-Legal

**Dentes 33 e 43: Coeficientes<sup>a,b</sup>**

Modelo	Coeficientes não padronizados		Coeficientes padronizados	t	Sig.
	B	Erro	Beta		
1 (Constante)	127,233	297,926		,427	,670
Género	-5,747	2,900	-,204	-1,982	,051
S_RP	37,354	248,776	,399	,150	,881
S_RT	-22,053	184,968	-,153	-,119	,905
S_RR	-96,228	401,719	-,537	-,240	,811
S_Aind	17,153	20,950	,109	,819	,415
S_Bind	-29,166	19,976	-,201	-1,460	,148
S_Cind	-44,484	30,517	-,216	-1,458	,149
2 (Constante)	91,749	13,435		6,829	,000
Género	-5,806	2,840	-,206	-2,044	,044
S_RP	7,792	20,241	,083	,385	,701
S_RR	-48,552	38,196	-,271	-1,271	,207
S_Aind	17,182	20,827	,109	,825	,412
S_Bind	-29,427	19,740	-,203	-1,491	,140
S_Cind	-44,424	30,335	-,216	-1,464	,147
3 (Constante)	92,038	13,347		6,896	,000
Género	-5,904	2,815	-,210	-2,097	,039
S_RR	-35,750	18,697	-,200	-1,912	,059
S_Aind	18,800	20,297	,119	,926	,357
S_Bind	-30,442	19,466	-,210	-1,564	,122
S_Cind	-46,880	29,510	-,228	-1,589	,116
4 (Constante)	90,526	13,236		6,839	,000
Género	-5,589	2,792	-,199	-2,002	,048
S_RR	-29,982	17,615	-,167	-1,702	,092
S_Bind	-26,587	19,001	-,184	-1,399	,165
S_Cind	-37,244	27,593	-,181	-1,350	,181
5 (Constante)	<b>90,037</b>	13,293		6,773	,000
Género	<b>-4,852</b>	2,751	-,173	-1,764	,081
S_RR	<b>-33,203</b>	17,534	-,185	-1,894	,062
S_Bind	<b>-43,764</b>	14,176	-,302	-3,087	,003

a. Grupo de dentes = Dentes 33 e 43

b. Variável Dependente: Idade em anos

**Dentes 33 e 43: Variáveis excluídas<sup>a,b</sup>**

Modelo	Beta In	t	Sig.	Correlação parcial	Estatísticas de colinearidade
					Tolerância
2 S_RT	-,153 <sup>c</sup>	-,119	,905	-,013	,006
3 S_RT	,039 <sup>d</sup>	,374	,709	,041	,882
S_RP	,083 <sup>d</sup>	,385	,701	,042	,205
4 S_RT	,056 <sup>e</sup>	,552	,583	,059	,919
S_RP	,119 <sup>e</sup>	,564	,574	,061	,214
S_Aind	,119 <sup>e</sup>	,926	,357	,099	,573
5 S_RT	,075 <sup>f</sup>	,743	,459	,079	,940
S_RP	,158 <sup>f</sup>	,754	,453	,081	,218
S_Aind	,047 <sup>f</sup>	,388	,699	,042	,654
S_Cind	-,181 <sup>f</sup>	-1,350	,181	-,143	,526

a. Grupo de dentes = Dentes 33 e 43

b. Variável Dependente: Idade em anos

c. Preditores no Modelo: (Constante), S\_Cind, S\_RP, Género, S\_Aind, S\_Bind, S\_RR

d. Preditores no Modelo: (Constante), S\_Cind, Género, S\_Aind, S\_Bind, S\_RR

e. Preditores no Modelo: (Constante), S\_Cind, Género, S\_Bind, S\_RR

f. Preditores no Modelo: (Constante), Género, S\_Bind, S\_RR